

ESTOQUE DE CARBONO NO SOLO E FLUXO DE GEE: exemplos na agricultura, pecuária e reflorestamento no Brasil

Introdução

Estoque de carbono nos solos do Brasil

Emissão de GEE pelas atividades agrícolas no Brasil

Mudança do estoque de carbono do solo devido ao uso da terra

Geral do Brasil

Conversão de vegetações nativas em agricultura

Conversão de pastagens plantadas em agricultura

Mudança do estoque de carbono do solo devido ao manejo agrícola

Considerações finais

Avaliação do estoque de C no solo e fluxo de GEE

Situações

Ecossistemas naturais não perturbados do Brasil

Emissão de GEE pelas atividades agrícolas no Brasil

Agrossistemas do Brasil

Mudança de uso da terra

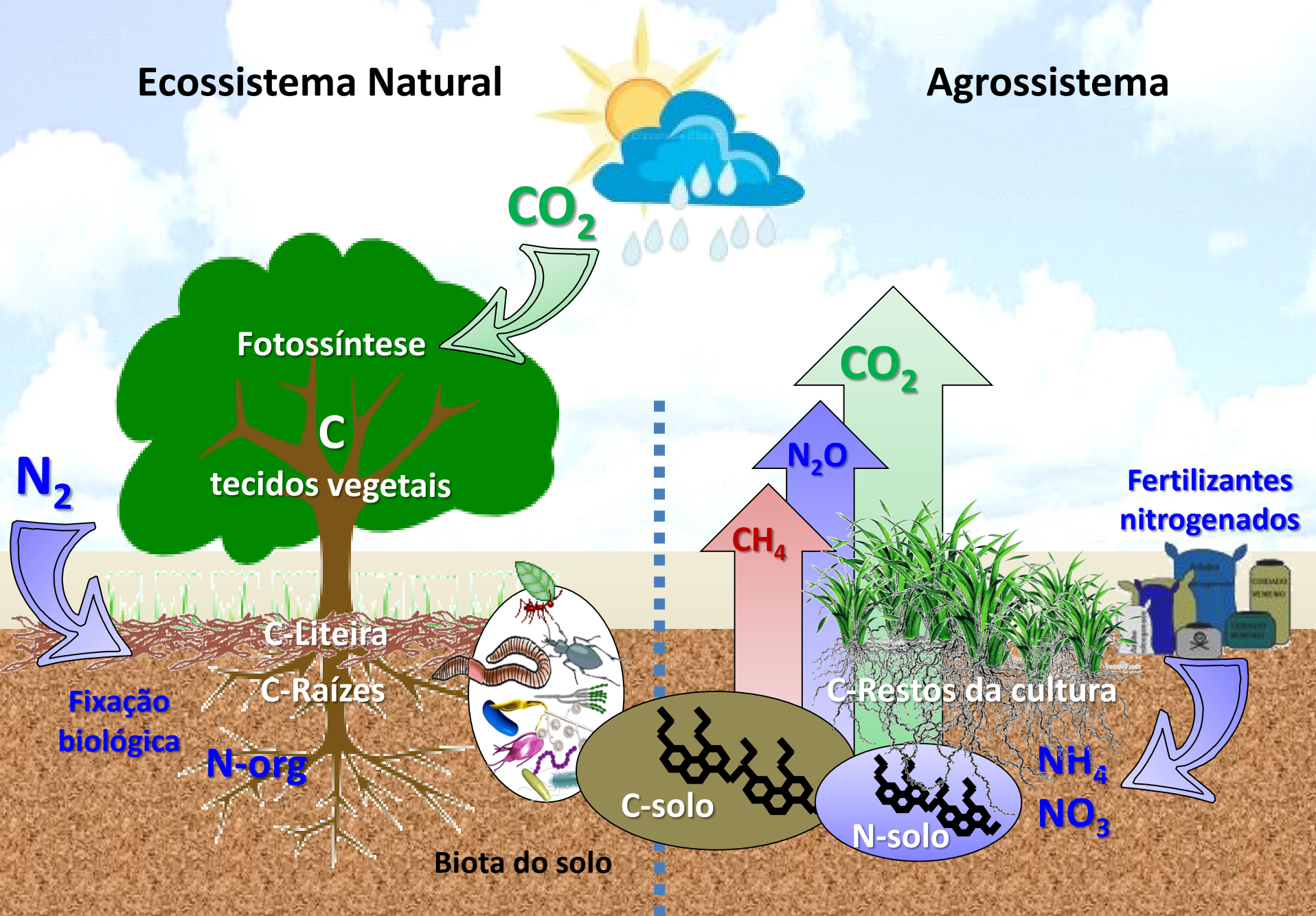
Mudança de manejo

Estratégias de avaliação

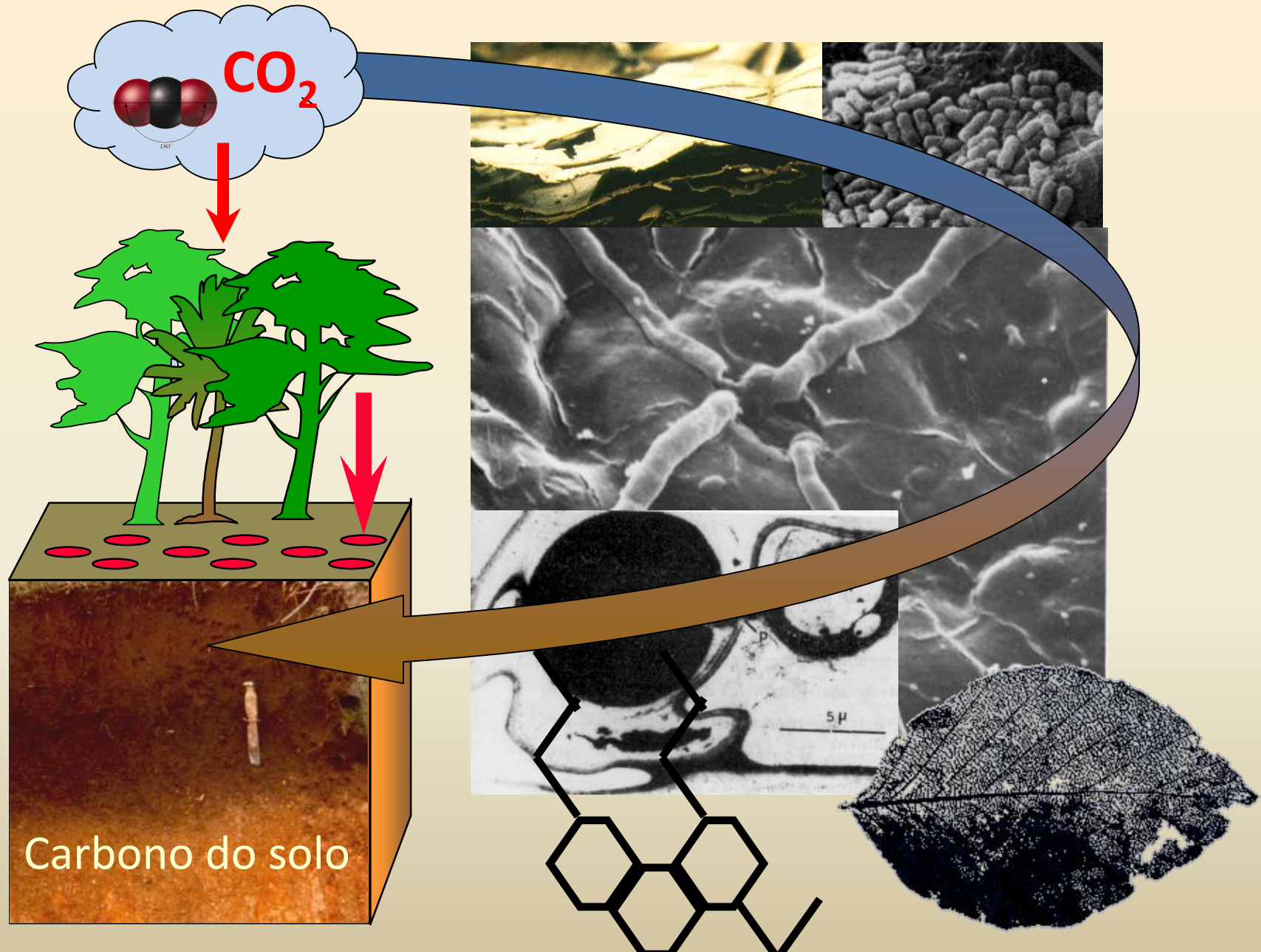
Utilizando fatores

Analisando amostras de terra
Cronossequências Pares

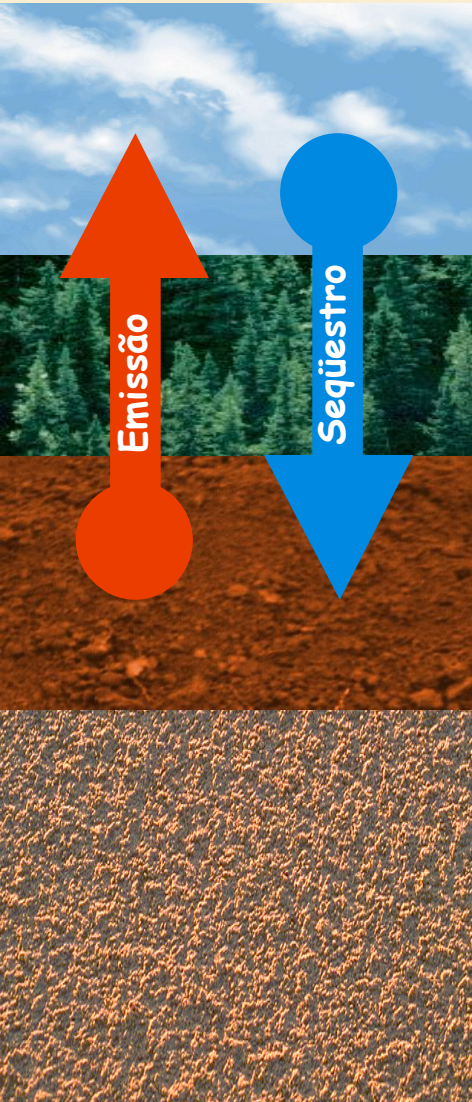
Carbono e Nitrogênio no Solo e Emissão de Gases do Efeito Estufa



FIXAÇÃO DE CARBONO NO SOLO



Importância da vegetação e do solo no aquecimento global



Atmosfera

Pg
750 - Δ

Vegetação

470-650

Solo (0-30cm)

~800

Solo
(1m)

1500-2000

Valores em Gt de C (1Gt = 10^9 t = 1 Pg)

Estoques (bilhões de toneladas)



750

600

~800
0-30 cm

1500-2000
(0-1m)

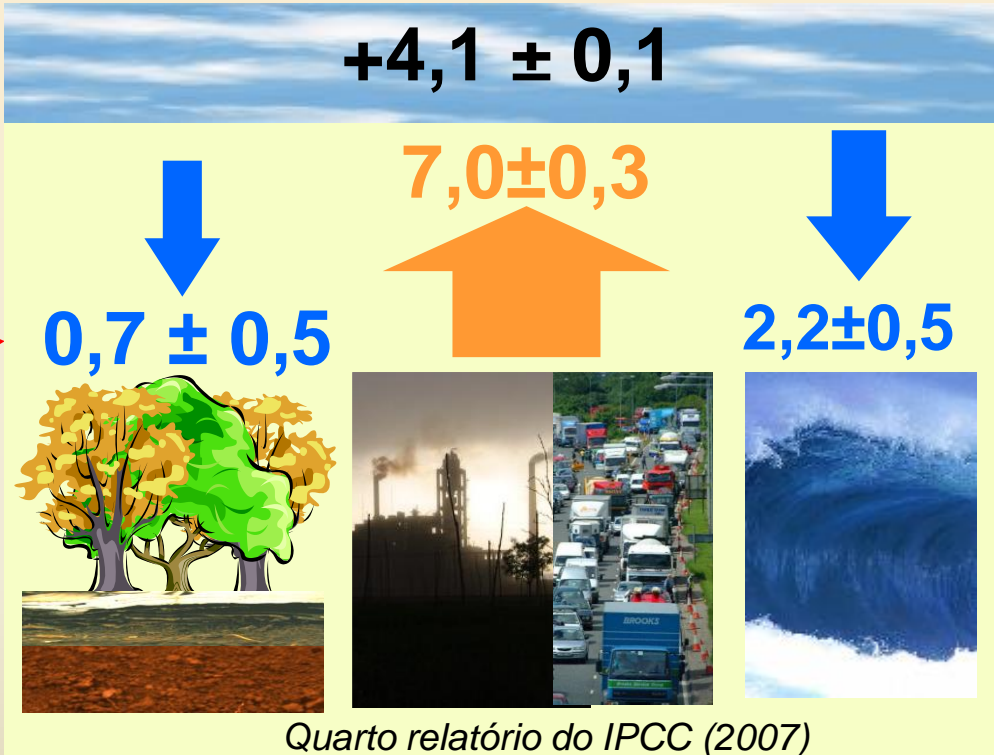
0,1%
Perturbação
mínima

Fluxos de Carbono (bilhões de toneladas)

+4,1 ± 0,1

7,0 ± 0,3

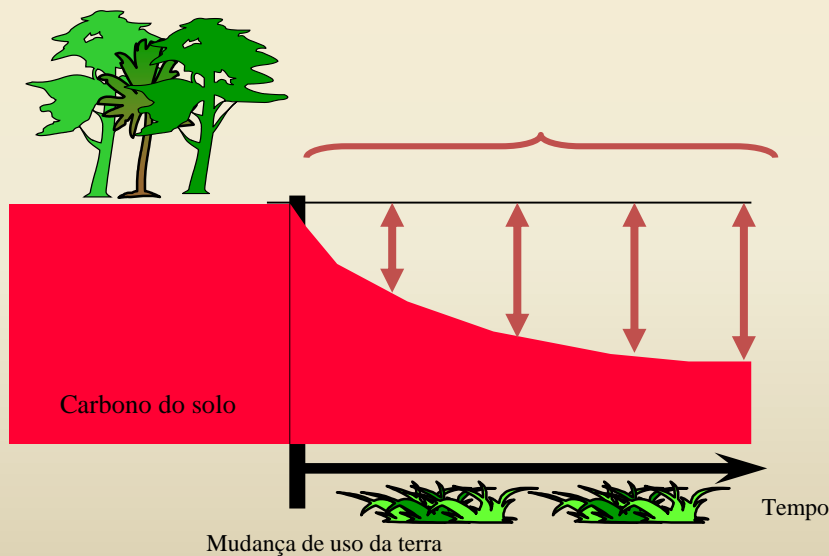
2,2 ± 0,5



Fatores que condicionam o estoque de C no solo

Oi Bri vamos procurar algo já pronto
em aulas anteriores

Cálculo para o Brasil: Estoques e Emissões



Avaliação do estoque de C no solo e fluxo de GEE

Situações

Ecossistemas naturais não perturbados do Brasil

Emissão de GEE pelas atividades agrícolas no Brasil

Agrossistemas do Brasil

Mudança de uso da terra

Mudança de manejo

Estratégias de avaliação

Utilizando fatores

Analisando amostras de terra
Cronossequências Pares

Mapa dos estoques de carbono

de acordo com a vegetação nativa e o tipo de solo

Informação necessária e metodologia

Mapa de solo
+
Mapa de vegetação

Mapa de associações “solo – vegetação”

Mapa de carbono

Base de dados de
Perfis de solo sob
vegetação nativa

Estoque representativo de cada associação



Mapa dos estoques de carbono

de acordo com a vegetação nativa e o tipo de solo



Informação necessária e metodologia

Mapa de solo

+

Mapa de vegetação

Mapa de associações “solo – vegetação”

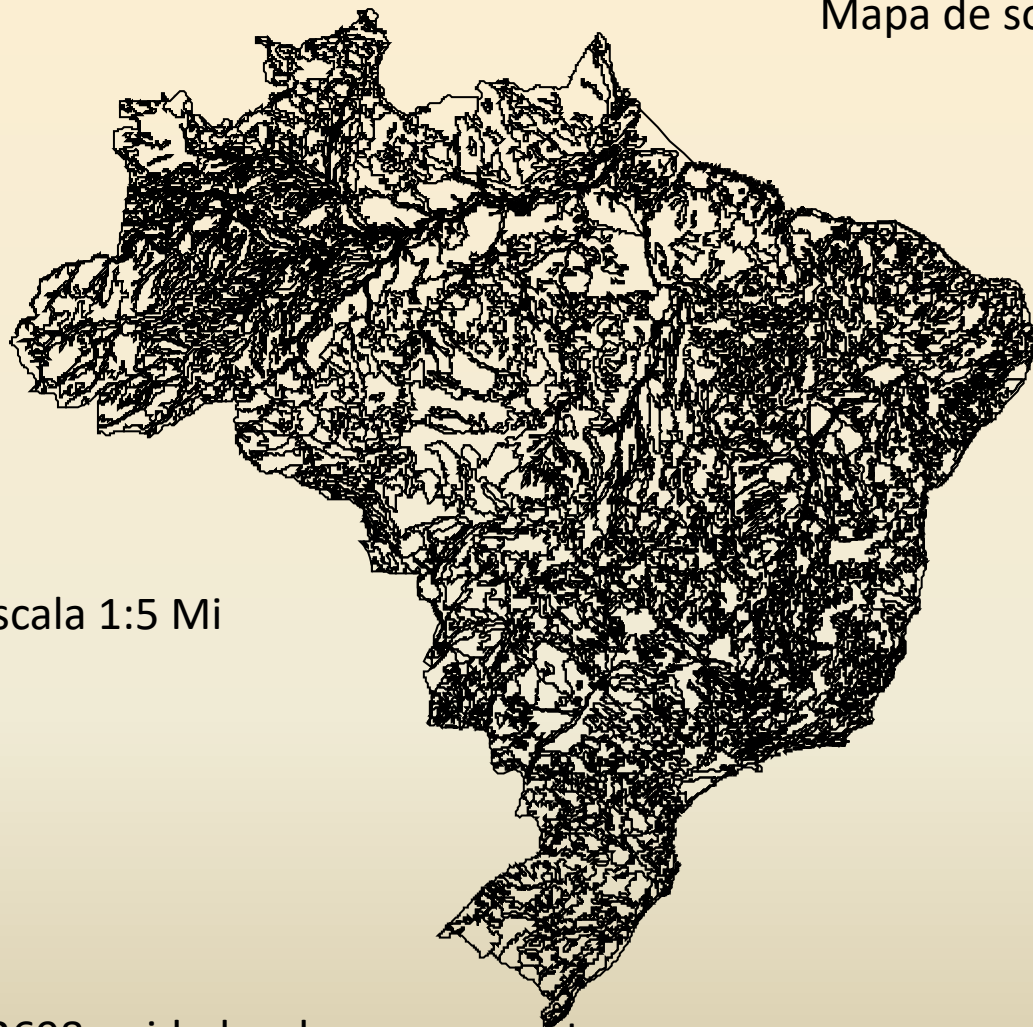
Base de dados de
Perfis de solo sob
vegetação nativa

Estoque representativo de cada associação

Mapa dos estoques de carbono



Mapa de solo da EMBRAPA (1981)

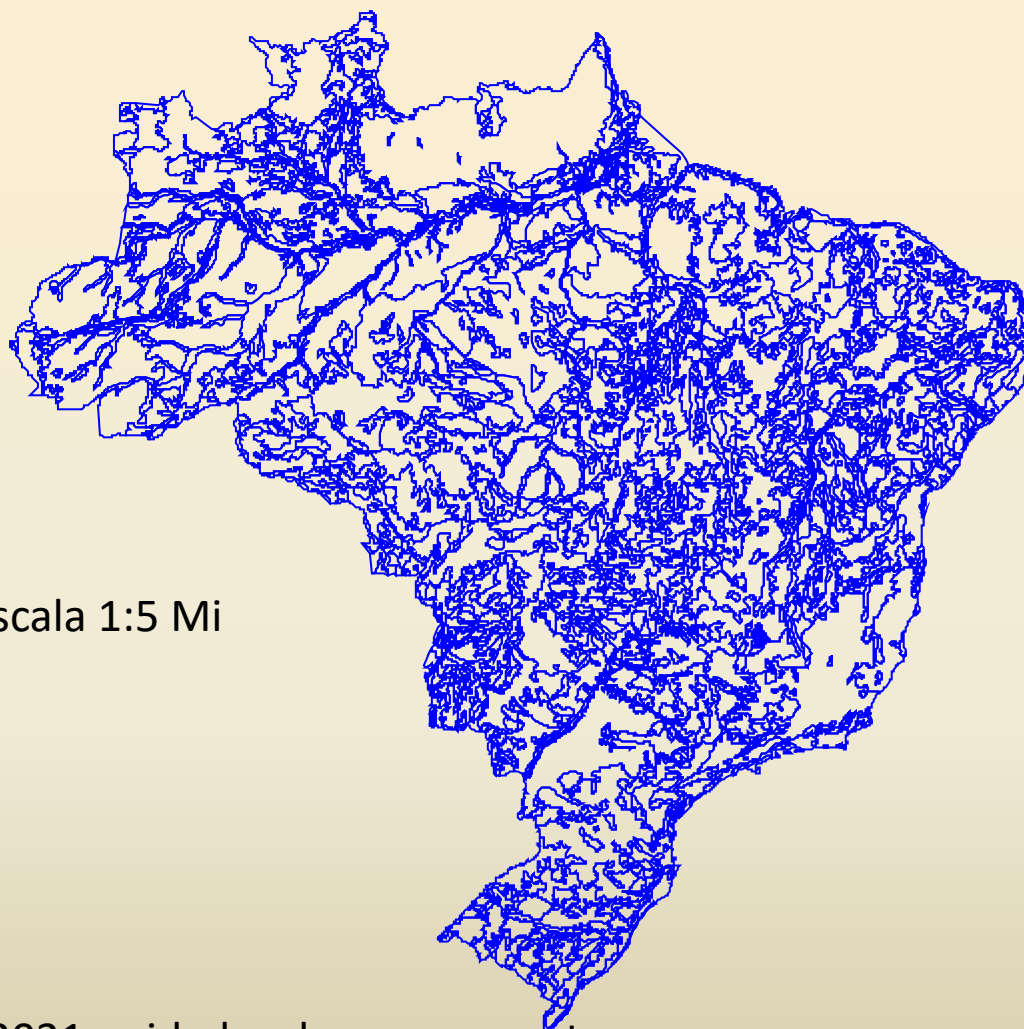


Escala 1:5 Mi

2698 unidades de mapeamento
69 grandes tipos de solo



Mapa dos estoques de carbono



2021 unidades de mapeamento
94 grandes tipos de vegetação

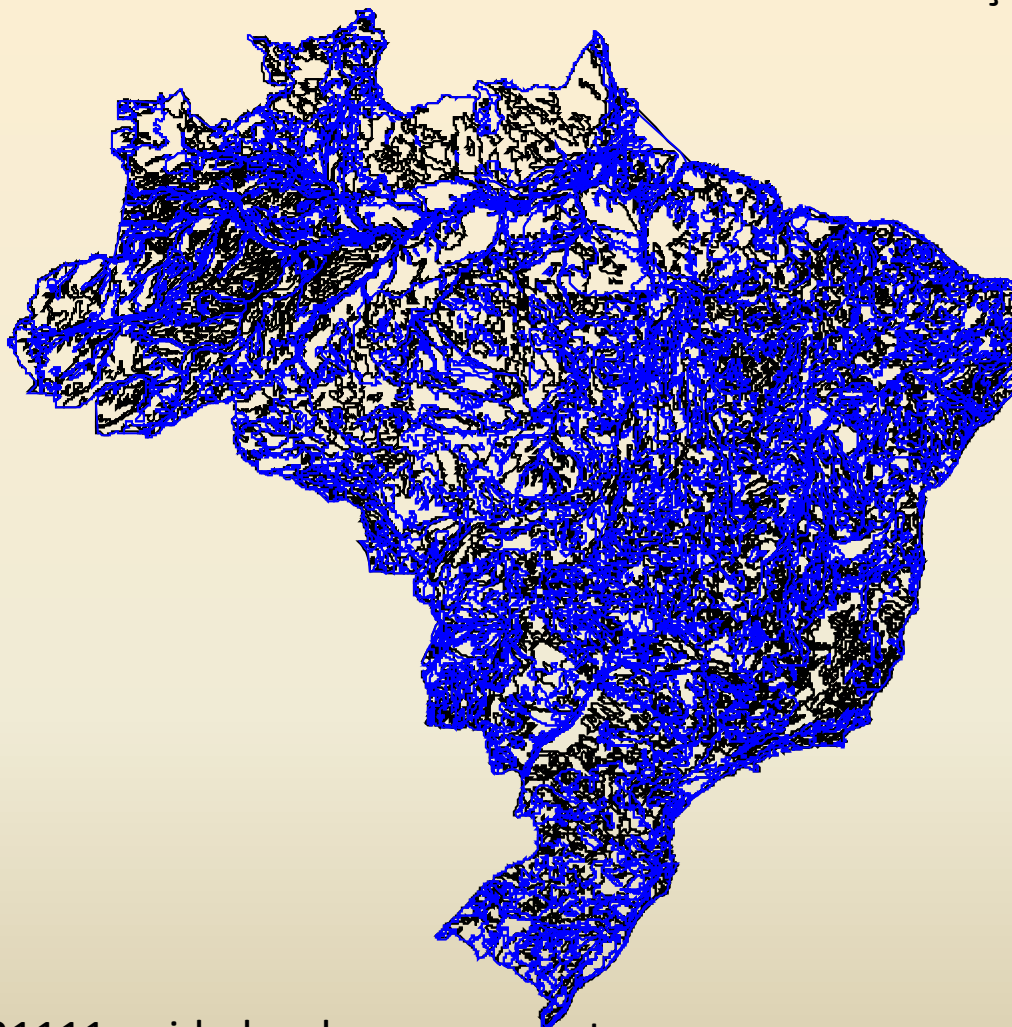
Mapa de vegetação do IBGE (1988)



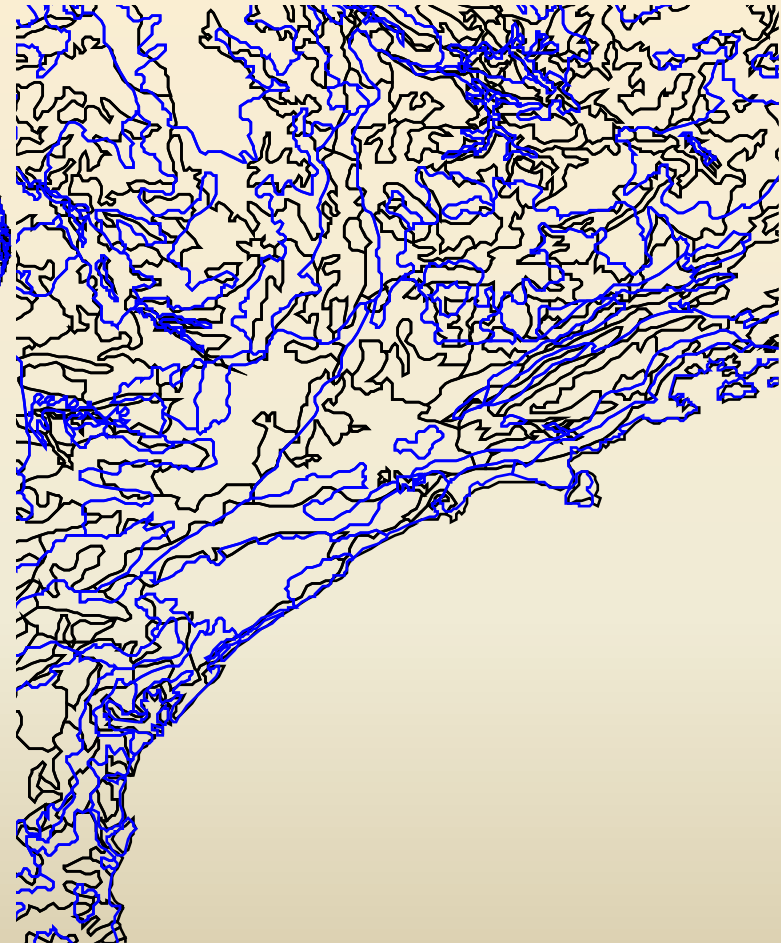
Mapa dos estoques de carbono



Combinação dos mapas de solo e vegetação



21111 unidades de mapeamento
6486 associações diferentes



!

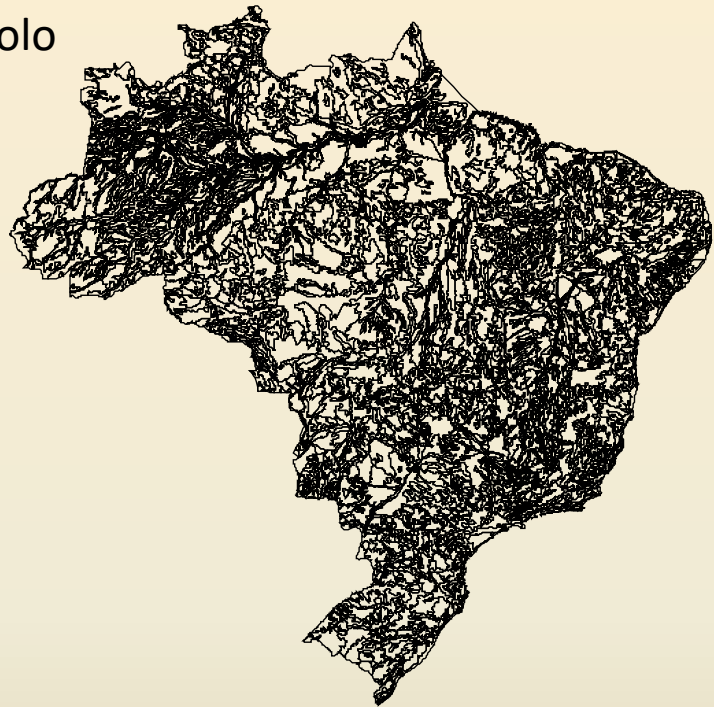
Simplificação necessária

Mapa dos estoques de carbono



Simplificação dos mapas de solo e vegetação

Solo

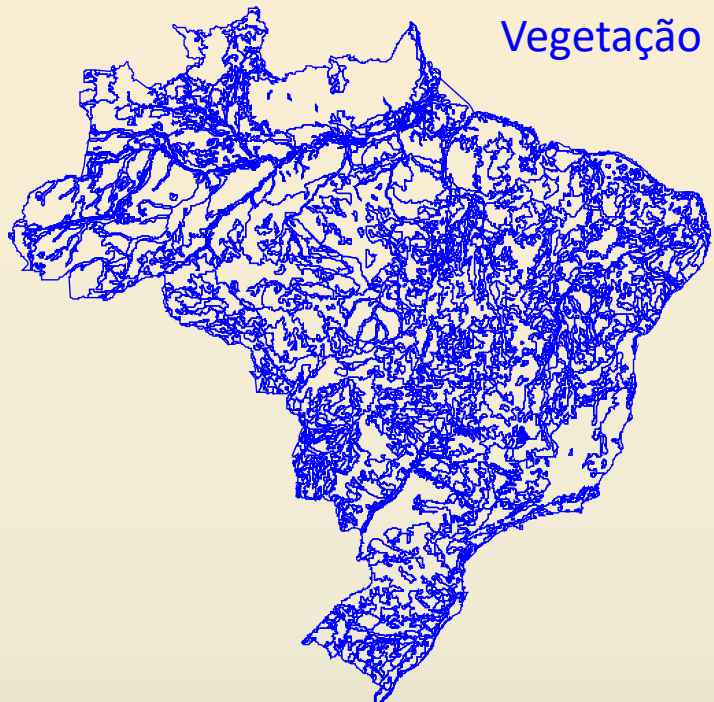


69 grandes tipos

Recomendações do manual do IPCC +particularidade brasileira



6 categorias



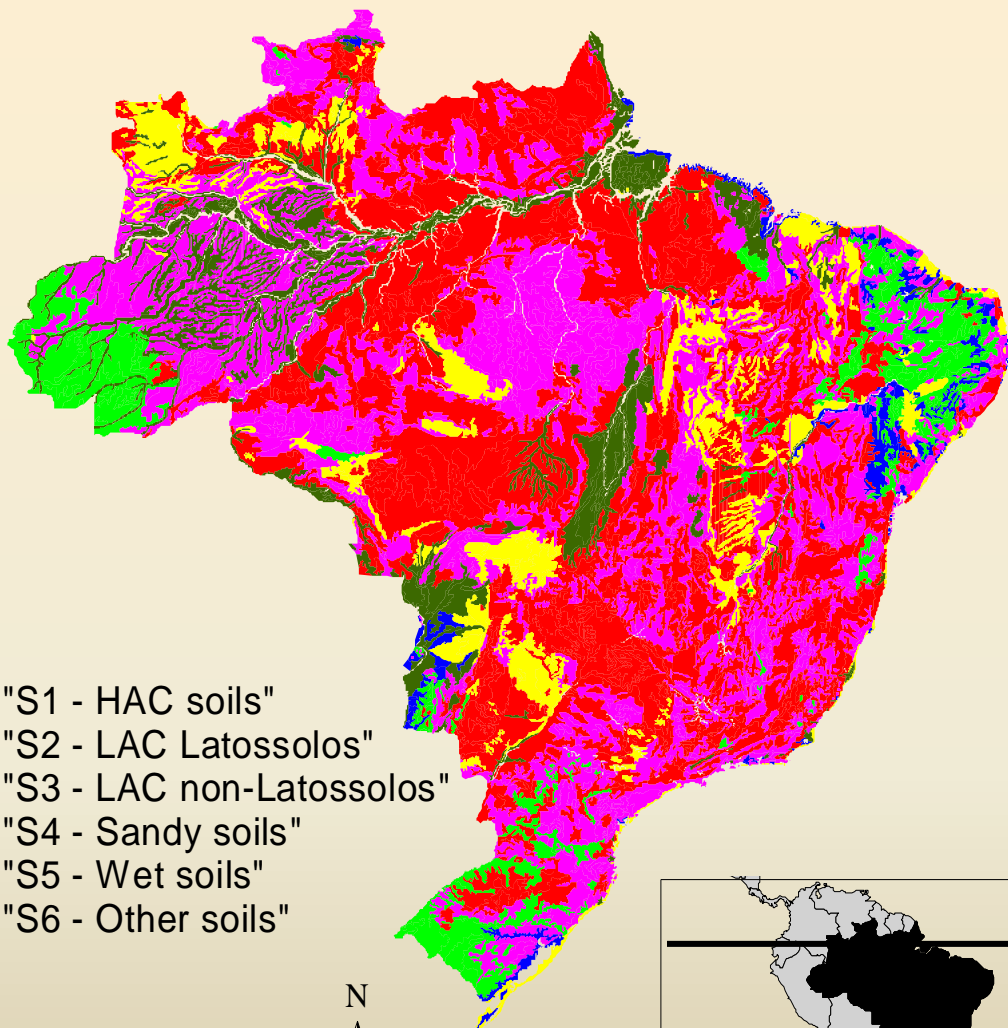
Vegetação

94 grandes tipos



15 categorias

Mapa dos estoques de carbono



- "S1 - HAC soils"
- "S2 - LAC Latossolos"
- "S3 - LAC non-Latossolos"
- "S4 - Sandy soils"
- "S5 - Wet soils"
- "S6 - Other soils"



1800 Kilometers

0

900



Mapa de solo
com
6 categorias

Mapa dos estoques de carbono



0 900 1800 Kilometers

Mapa de vegetação
com
15 categorias



Mapa dos estoques de carbono



Combinação dos mapas de solo e vegetação

Solo

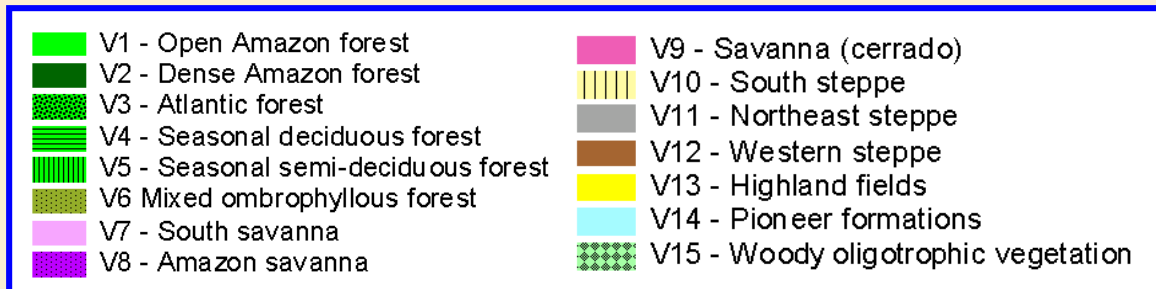
	"S1 - HAC soils"
	"S2 - LAC Latossolos"
	"S3 - LAC non-Latossolos"
	"S4 - Sandy soils"
	"S5 - Wet soils"
	"S6 - Other soils"

Vegetação

	V1 - Open Amazon forest
	V2 - Dense Amazon forest
	V3 - Atlantic forest
	V4 - Seasonal deciduous forest
	V5 - Seasonal semi-deciduous forest
	V6 Mixed ombrophylous forest
	V7 - South savanna
	V8 - Amazon savanna
	V9 - Savanna (cerrado)
	V10 - South steppe
	V11 - Northeast steppe
	V12 - Western steppe
	V13 - Highland fields
	V14 - Pioneer formations
	V15 - Woody oligotrophic vegetation

Em teoria existem: $6 \times 15 = 90$ associações

Mapa dos estoques de carbono



Vegetação

Solo

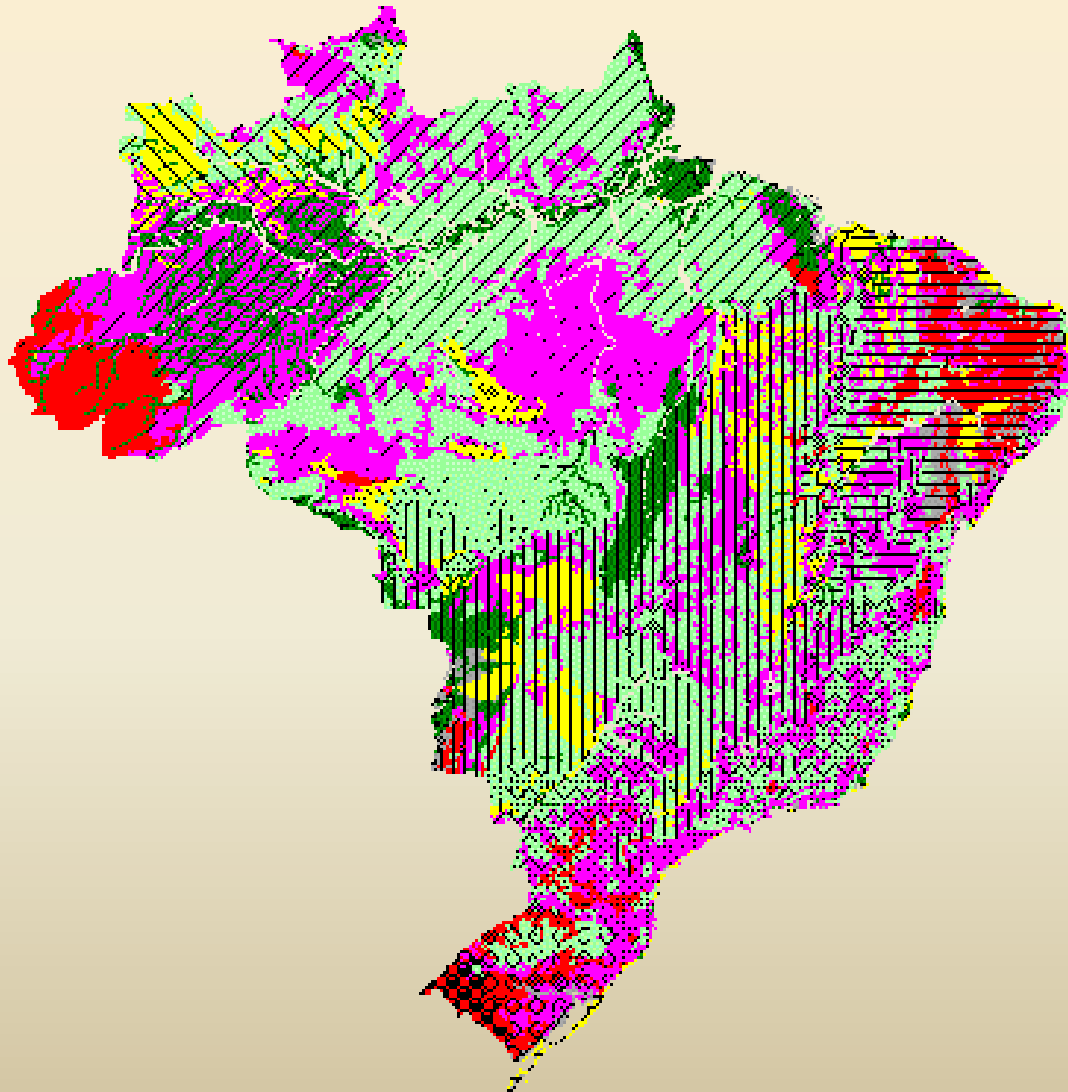
		V1	V2	V3	V4	V5	V6	V7	V8	V9	V10	V11	V12	V13	V14	V15
S1	N	127	81	52	58	80	74	134	8	132	80	592	8	3	10	2
	Area	190,436	28,169	7,522	39,268	20,423	37,557	35,969	2,480	24,522	44,089	214,586	1,133	821	350	75
S2	N	403	775	199	252	494	102	55	290	2,210	5	440		14	148	221
	Area	399,184	956,196	101,432	110,616	285,541	52,267	39,492	147,618	910,984	3,554	160,731		1,289	19,804	83,351
S3	N	868	885	346	290	424	176	118	331	1,822	22	677	6	21	86	116
	Area	537,116	683,673	116,546	99,825	229,264	80,378	50,480	125,568	523,716	4,239	211,325	350	8,078	9,319	43,287
S4	N	73	126	66	68	98			91	611		201			70	178
	Area	13,672	25,204	5,973	15,733	18,106			56,965	302,148		83,461			25,152	127,233
S5	N	414	832	28	26	65			167	500		55	22		179	109
	Area	101,156	300,211	3,781	5,002	15,611			37,706	206,474		12,265	6,315		64,539	26,797
S6	N		37	24	31	36			42	6	99		315	25		114
	Area		4,216	3,144	5,573	3,426			4,398	2,617	22,566		89,966	4,890		20,923

Na prática existem: 75 associações

Mapa dos estoques de carbono



Mapa das associações



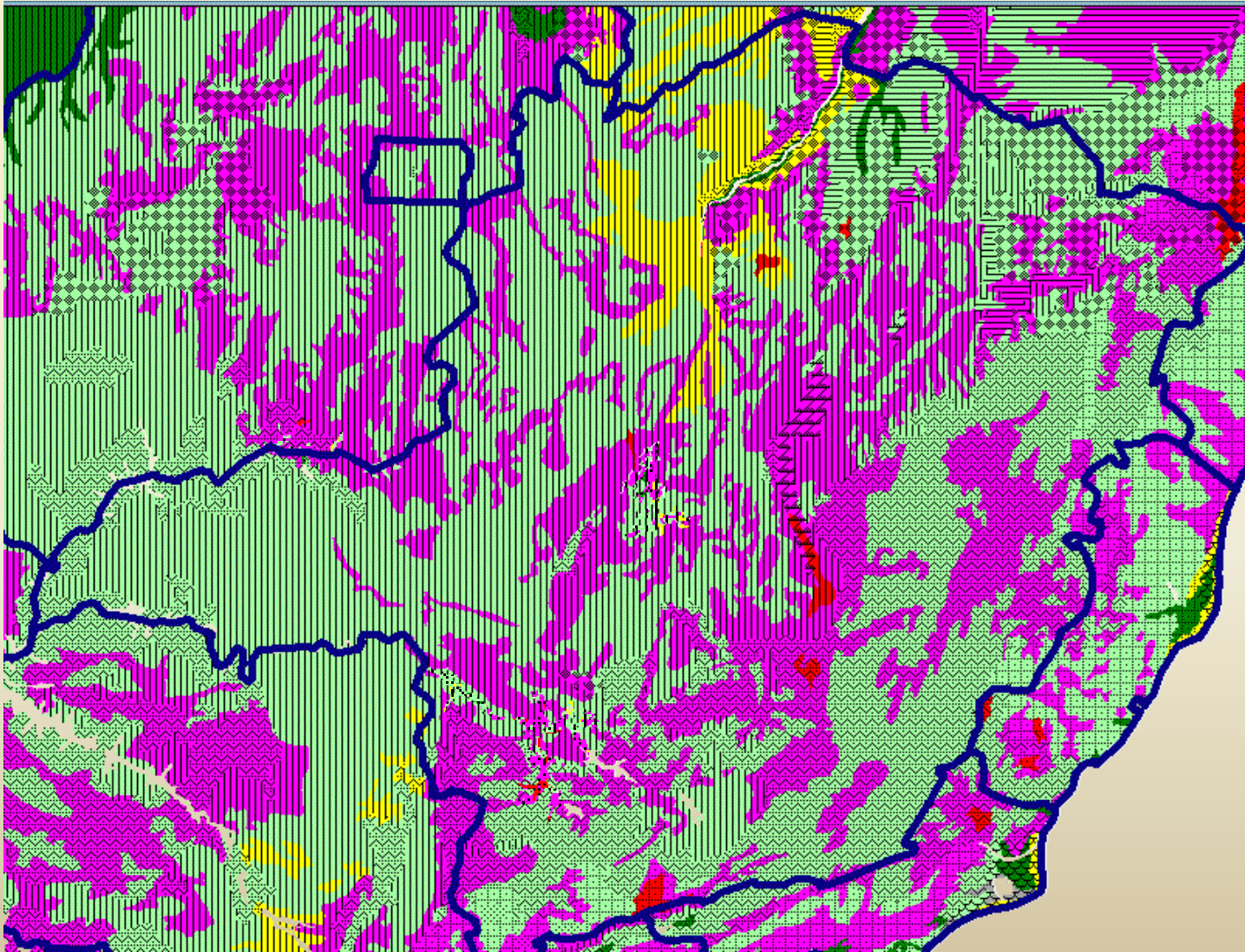
Legenda: solo – veg.

1 - 1	3 - 1	5 - 1
1 - 2	3 - 2	5 - 2
1 - 3	3 - 3	5 - 3
1 - 4	3 - 4	5 - 4
1 - 5	3 - 5	5 - 5
1 - 6	3 - 6	5 - 8
1 - 7	3 - 7	5 - 9
1 - 8	3 - 8	5 - 11
1 - 9	3 - 9	5 - 12
1 - 10	3 - 10	5 - 14
1 - 11	3 - 11	5 - 15
1 - 12	3 - 12	6 - 2
1 - 13	3 - 13	6 - 3
1 - 14	3 - 14	6 - 4
1 - 15	3 - 15	6 - 5
2 - 1	4 - 1	6 - 7
2 - 2	4 - 2	6 - 8
2 - 3	4 - 3	6 - 9
2 - 4	4 - 4	6 - 11
2 - 5	4 - 5	6 - 12
2 - 6	4 - 8	6 - 14
2 - 7	4 - 9	
2 - 8	4 - 11	
2 - 9	4 - 14	
2 - 10	4 - 15	
2 - 11		
2 - 13		
2 - 14		
2 - 15		

Mapa dos estoques de carbono



Mapa das associações



Mapa dos estoques de carbono

de acordo com a vegetação nativa e o tipo de solo



Informação necessária e metodologia

Mapa de solo
+
Mapa de vegetação

Mapa de associações “solo – vegetação”

Base de dados de
Perfis de solo sob
vegetação nativa

Estoque representativo de cada associação

Mapa dos estoques de carbono



Base de dados



Relatórios de levantamento de solos

Projeto Radambrasil

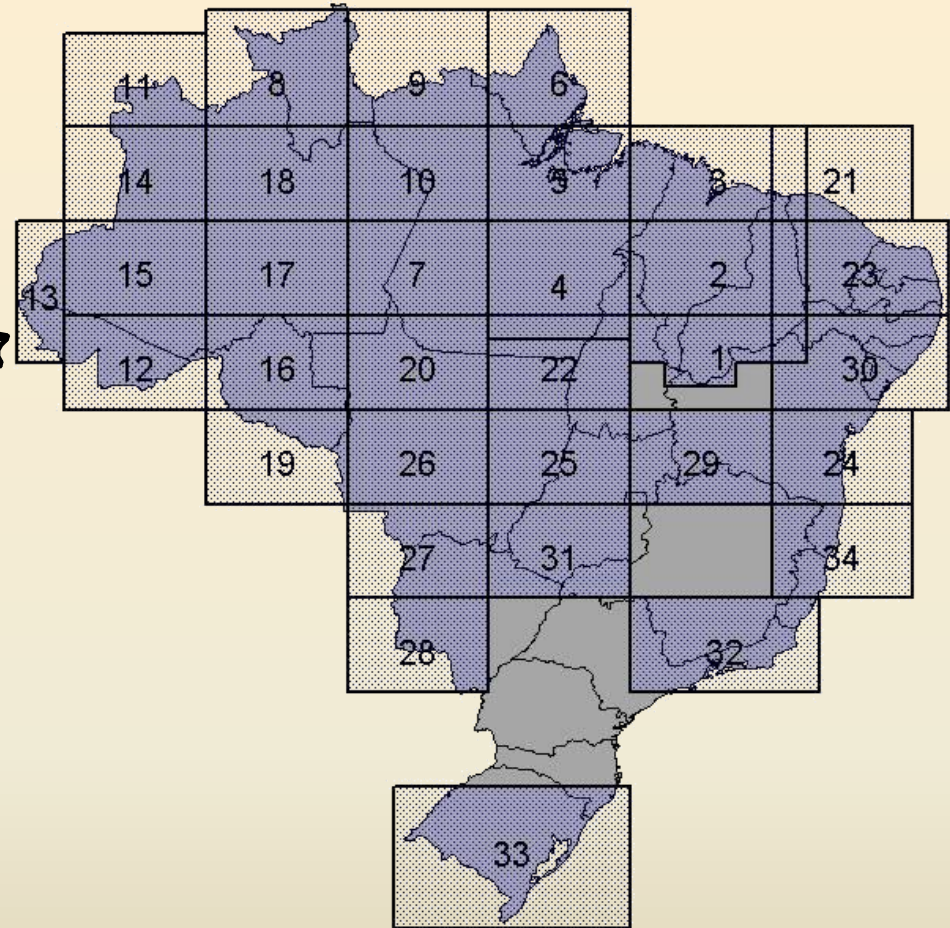


- Volume 1, parte das folhas SC-23 Rio São Francisco e SC-24 Aracaju, 1973;
- Volume 2, folha SB-23 Teresina e parte da folha SB-24 Jaguaribe, 1973;
- Volume 3, folha SA-23 São Luís e parte da folha SA-24 Fortaleza, 1973;
- Volume 4, folha SB-22 Araguaia e parte da folha SC-22 Tocantins, 1974;
- Volume 5, Folha SA-22 Belém, 1974;
- Volume 6, Folha NA/NB-22 Macapá, 1974;
- Volume 7, Folha SB-21 Tapajós, 1975;
- Volume 8, Folha NA-20 Boa Vista e parte das folhas NA-21 Tumucumaque, NB-20 Roraima e NB-21, 1975;
- Volume 9, Folha NA-21 Tumucumaque e parte da folha NB-21, 1975;
- Volume 10, Folha SA-21 Santarém, 1976;
- Volume 11, Folha NA-19 Pico da Neblina, 1976;
- Volume 12, Folha SC-19 Rio Branco, 1976;
- Volume 13, Folhas SB/SC-18 Javari/Contamana, 1977;
- Volume 14, Folha SA-19 Içá, 1977
- Volume 15, Folha SB-19 Juruá, 1977;
- Volume 16, Folha Sc-20 Porto Velho, 1978;
- Volume 17, Folha SB-20 Purus, 1978;
- Volume 18, Folha SA-20 Manaus, 1978;
- Volume 19, Folha SD-20 Guaporé, 1979;
- Volume 20, Folha SC-21 Juruena, 1980;
- Volume 21, Folha SA-24 Fortaleza, 1981;
- Volume 22, Folha SC-22 Tocantins, 1981;
- Volume 23, Folhas SB-24/25 Jaguaribe/Natal, 1981;
- Volume 24, Folha SD-24 Salvador, 1981;
- Volume 25, Folha SD-22 Goiás, 1981;
- Volume 26, Folha SD-21, Cuiabá, 1982;
- Volume 27, Folha SE-21 Corumbá e parte da folha SE-20, 1982;
- Volume 28, Folha SF-21 Campo Grande, 1982;
- Volume 29, Folha SD-23 Brasília, 1982;
- Volume 30, Folhas SC-24/25 Aracaju/Recife, 1983;
- Volume 31, Folha SE-22 Goiânia, 1983;
- Volume 32, Folhas SF-23/24 Rio de Janeiro/Vitória, 1983;

Mapa dos estoques de carbono



Base de dados



Relatório de levantamento de solos

Projeto Radambrasil

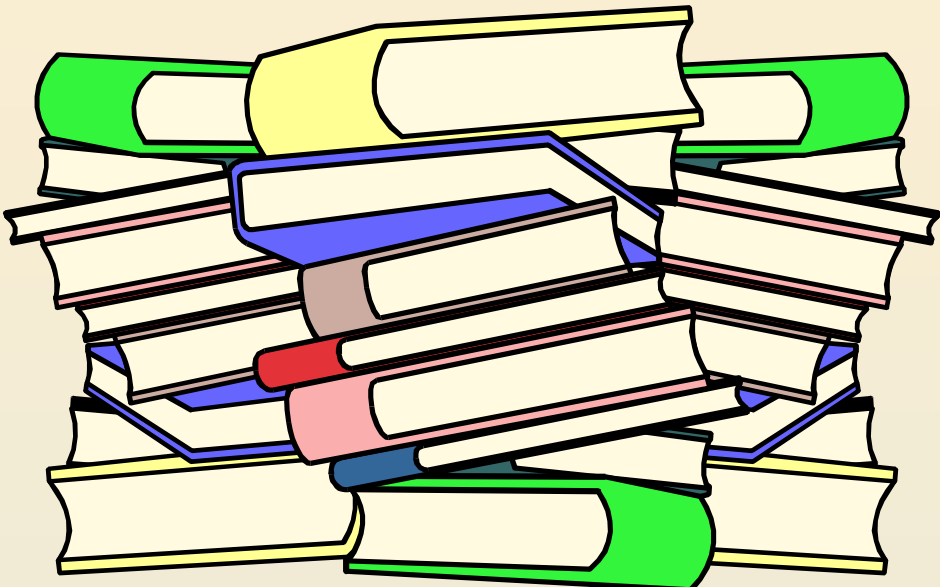
Levantamento da Embrapa

Outros levantamento (IAC,...)

Mapa dos estoques de carbono



Base de dados



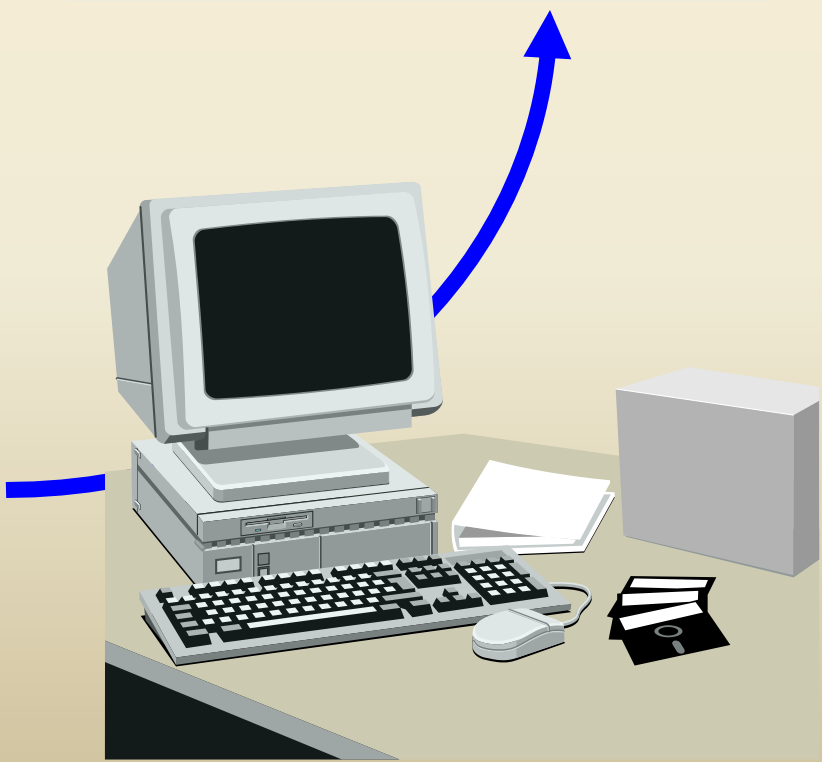
No total 3969 perfis de solo
(10457 camadas) constituem a
base de dados

Relatório de levantamento de solos

Projeto Radambrasil

Levantamento da Embrapa

Outros levantamento (IAC,...)



Mapa dos estoques de carbono

Analise da Base de dados



**Calculo dos estoque para cada perfil
para a camada 0-30 cm**

2694 valores

		Statistic on the CS by SVA														
		V1	V2	V3	V4	V5	V6	V7	V8	V9	V10	V11	V12	V13	V14	V15
S1	N	24	26	22	61	61	13	22	4	10	4	116	2	2	3	5.09
	Average	6.62	4.03	6.93	5.24	4.91	12.83	8.13	4.60	2.67	6.24	2.93	3.38	3.41	5.98	
	Min.	2.24	1.64	3.23	1.90	0.99	7.20	3.57	2.30	1.13	4.44	0.65	3.04	2.93	2.90	
	Max.	25.79	9.48	17.05	17.28	17.28	29.91	29.25	6.50	4.25	7.30	9.24	3.71	3.89	7.73	
	Median	5.09	3.22	5.83	4.67	4.09	9.88	6.42	4.80	2.44	6.60	2.42	3.38	3.41	7.30	
	SE	1.18	0.38	0.83	0.37	0.38	1.89	1.28	0.90	0.35	0.64	0.15	0.33	0.48	1.54	
S2	N	30	89	123	34	120	14	14	7	197	³	46	¹	¹	2	4.68
	Average	5.08	5.83	5.66	3.73	4.87	10.07	8.76	2.46	4.35	4.47	2.73	5.04	4.13	4.68	
	Min.	2.46	2.15	1.72	1.61	1.19	4.10	4.33	0.80	0.85	3.97	0.80				
	Max.	10.50	18.10	13.06	9.39	11.71	15.51	12.35	5.65	9.62	4.78	5.96				
	Median	4.75	5.19	5.23	3.08	4.43	10.25	9.09	1.98	4.31	4.66	2.58				4.68
	SE	0.38	0.29	0.20	0.32	0.21	0.75	0.61	0.66	0.13	0.25	0.17				0.06
S3	N	95	219	121	104	179	15	31	9	140	2	124	2	6	4	4
	Average	5.39	5.64	4.59	4.55	4.17	6.07	7.09	3.62	4.08	6.12	2.86	3.52	4.64	3.36	5.33
	Min.	1.56	1.06	1.11	0.97	1.15	1.11	0.80	1.05	0.40	6.07	0.74	2.86	2.97	2.58	1.70
	Max.	16.25	27.31	12.87	14.16	11.93	13.01	26.23	5.71	14.02	6.17	6.47	4.17	8.74	4.24	10.02
	Median	4.89	4.69	4.29	4.00	3.74	5.68	5.16	3.81	3.60	6.12	2.62	3.52	3.99	3.31	4.81
	SE	0.28	0.25	0.19	0.22	0.15	0.87	1.00	0.53	0.18	0.05	0.11	0.65	0.88	0.39	1.97
S4	N	7	8	9	2	7		1	3	33		15	4	1	14	6
	Average	5.10	4.62	8.17	2.59	3.70		3.85	3.44	2.09		1.66	3.74	8.64	5.43	5.27
	Min.	2.11	2.50	2.13	1.71	1.04			1.11	0.77		0.75	3.01		0.83	1.79
	Max.	11.25	5.98	18.97	3.46	8.02			4.83	4.30		2.95	4.85		14.89	7.39
	Median	4.11	5.06	6.33	2.59	2.70			4.37	1.92		1.51	3.54	5.02	6.17	
	SE	1.22	0.48	2.12	0.88	0.92			1.17	0.14		0.17	0.40		1.01	0.98
S5	N	34	24	29	17	11	5	5	37	30	2	10	7	50	11	
	Average	4.76	5.55	4.57	3.42	5.71	8.17	9.50	4.53	7.90	3.38	2.94	8.76	8.79	16.35	
	Min.	0.94	1.98	1.68	1.48	1.36	5.41	2.93	0.85	1.40	3.19	1.65	1.48	0.89	2.32	
	Max.	10.09	14.70	14.42	8.86	16.10	10.69	17.21	14.58	25.93	3.57	6.06	15.54	44.42	68.31	
	Median	4.36	5.27	3.58	3.27	5.36	8.54	7.42	3.46	6.65	3.38	2.51	10.52	5.92	9.05	
	SE	0.40	0.61	0.56	0.43	1.17	0.98	2.89	0.51	1.09	0.40	2.11	1.22	6.09		
S6	N	2	5	4	23	22		5	2	9	3	99	13	17	2	
	Average	7.87	4.17	41.25	3.51	4.08		4.07	2.90	4.90	7.76	2.50	2.22	9.97	12.09	
	Min.	1.69	1.45	2.14	0.86	1.83		2.32	1.42	0.25	3.88	0.48	1.42	0.56	4.29	
	Max.	14.04	6.64	79.30	11.37	8.34		7.19	4.38	16.83	14.42	9.98	3.47	58.30	19.89	
	Median	7.87	4.81	41.78	3.18	3.16		3.28	2.90	3.29	4.99	2.09	2.17	3.72	12.09	
	SE	6.17	1.02	21.58	0.46	0.40		0.86	1.48	1.59	3.34	0.16	0.16	3.77	7.80	

No total 3969 perfis de solo
(10457 camadas) constituem a
base de dados



Mapa dos estoques de carbono



Analise da Base de dados

2694 valores

No total 3969 perfis de solo (10457 camadas) constituem a base de dados

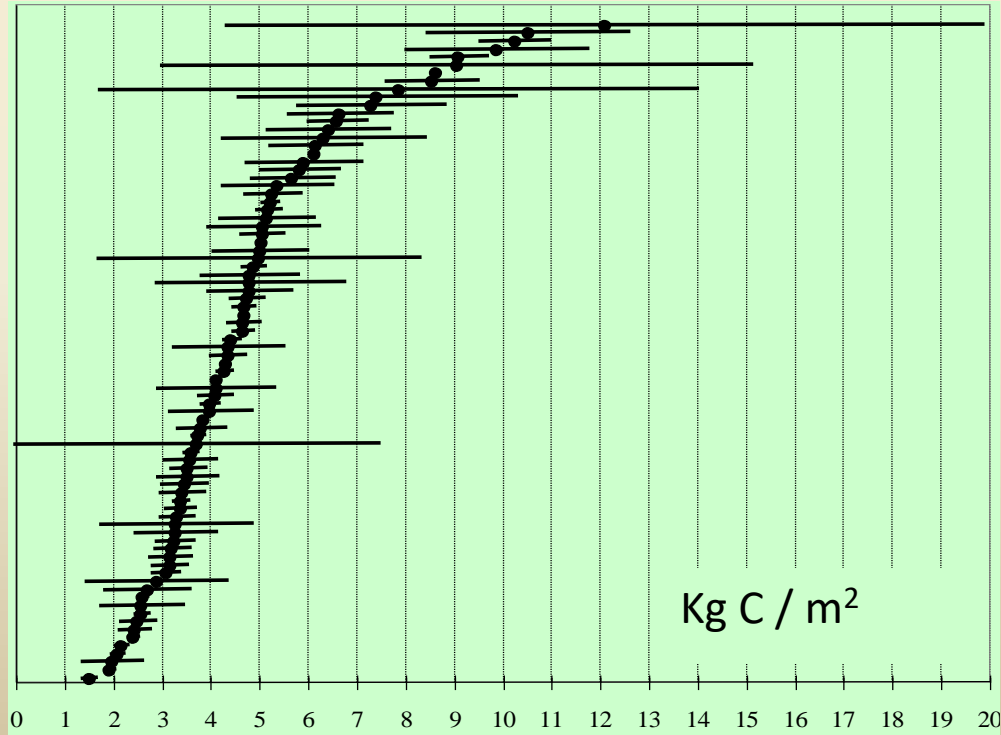


Mapa dos estoques de carbono



Analise da Base de dados

Valores medianas e desvio padrão



No total 3969 perfis de solo
(10457 camadas) constituem a
base de dados



Mapa dos estoques de carbono

de acordo com a vegetação nativa e o tipo de solo



Mapa de solo
+
Mapa de vegetação

Mapa de associações “solo – vegetação”



Mapa de carbono



Base de dados de
Perfis de solo sob
vegetação nativa

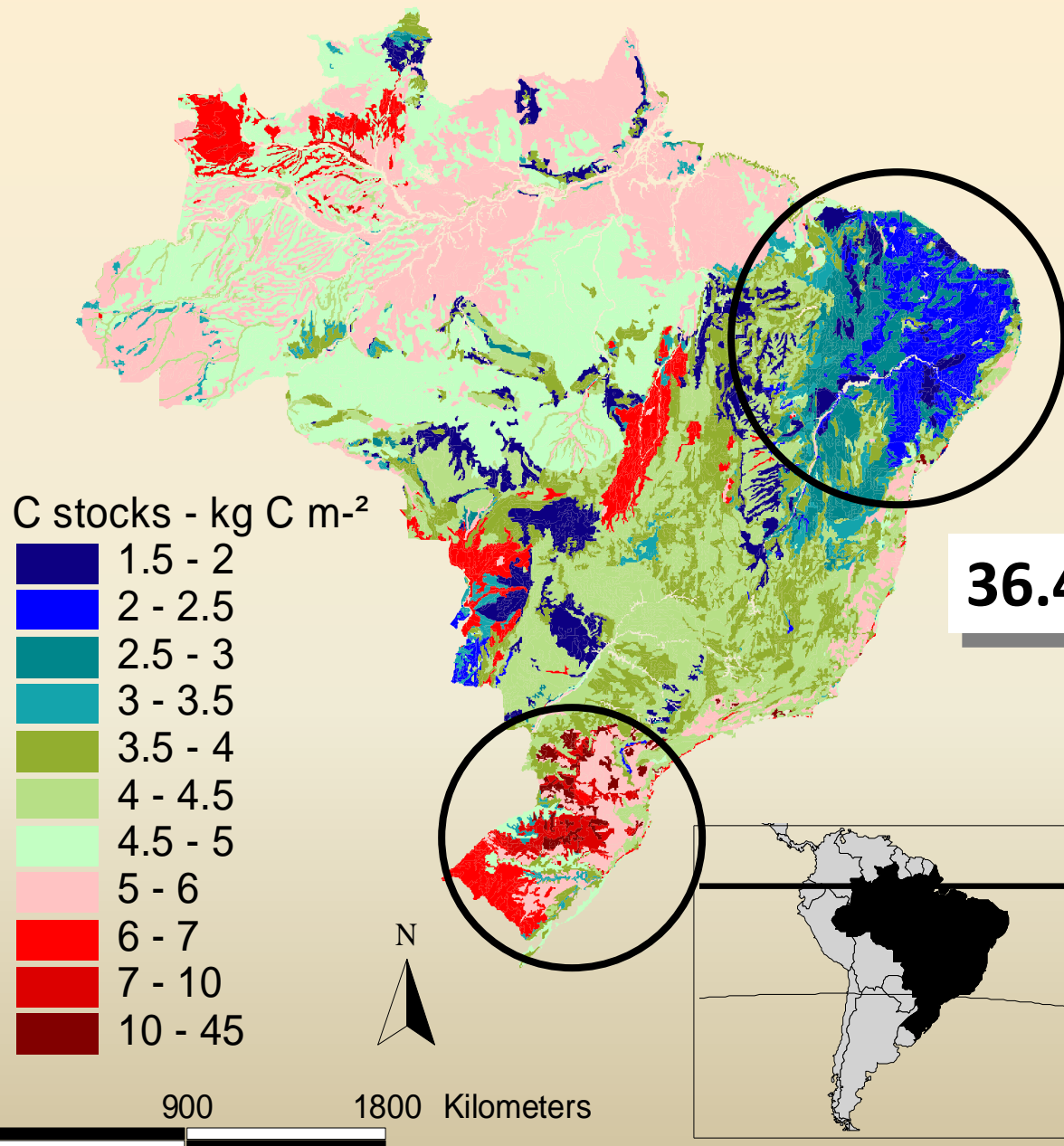
Estoque representativo de cada associação



Mapa dos estoques de carbono



0-30 cm



$36.4 \pm 3.4 \text{ Pg C}$



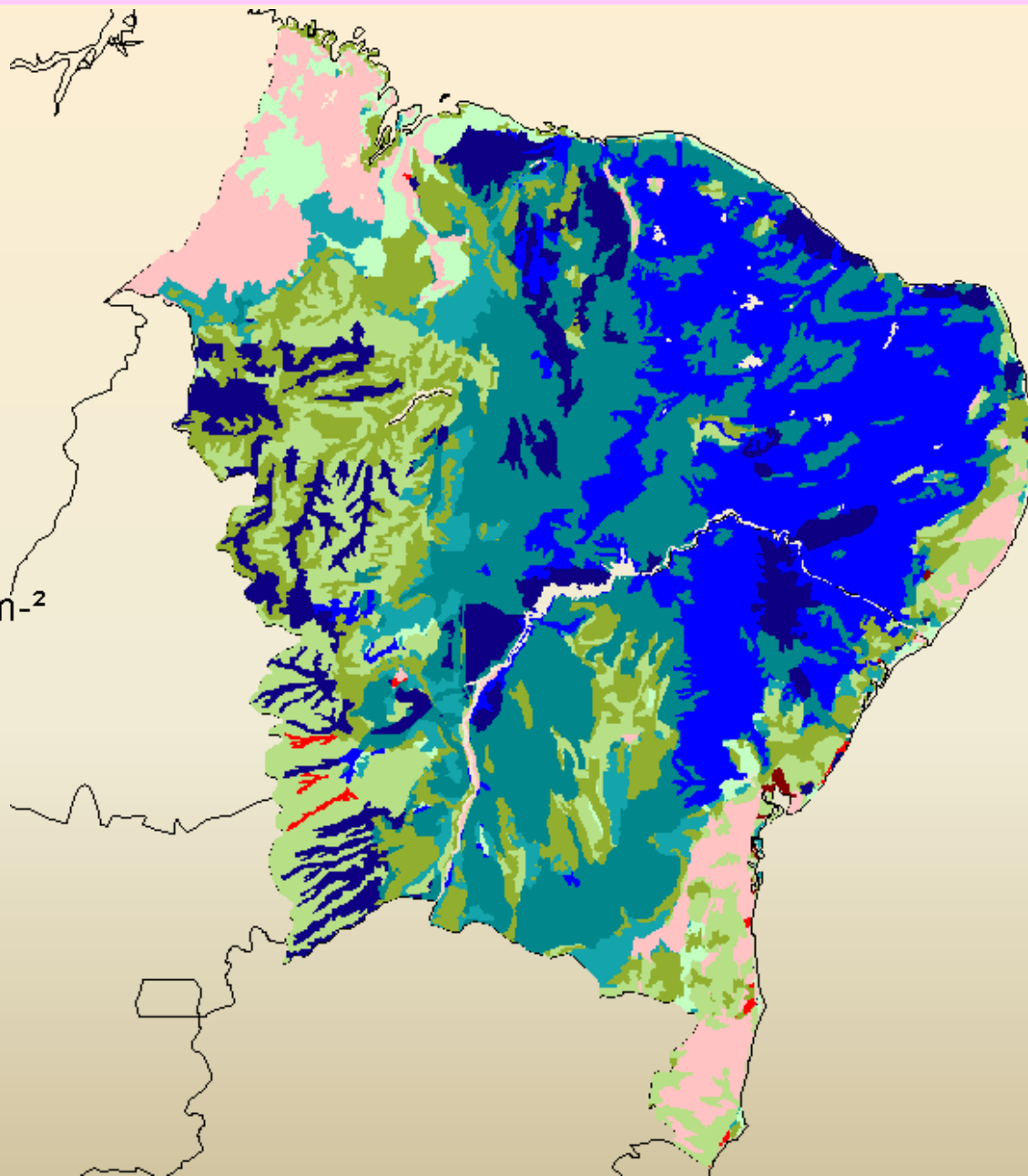
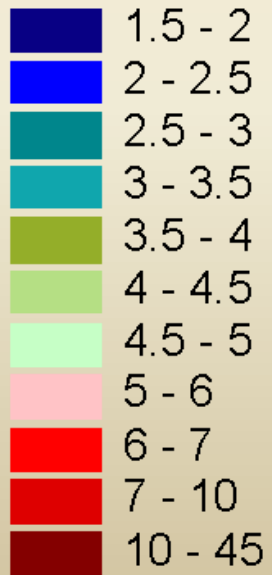
$1 \text{ Pg} = 10^{15} \text{ g} =$
1 Bilhão de toneladas

Mapa dos estoques de carbono

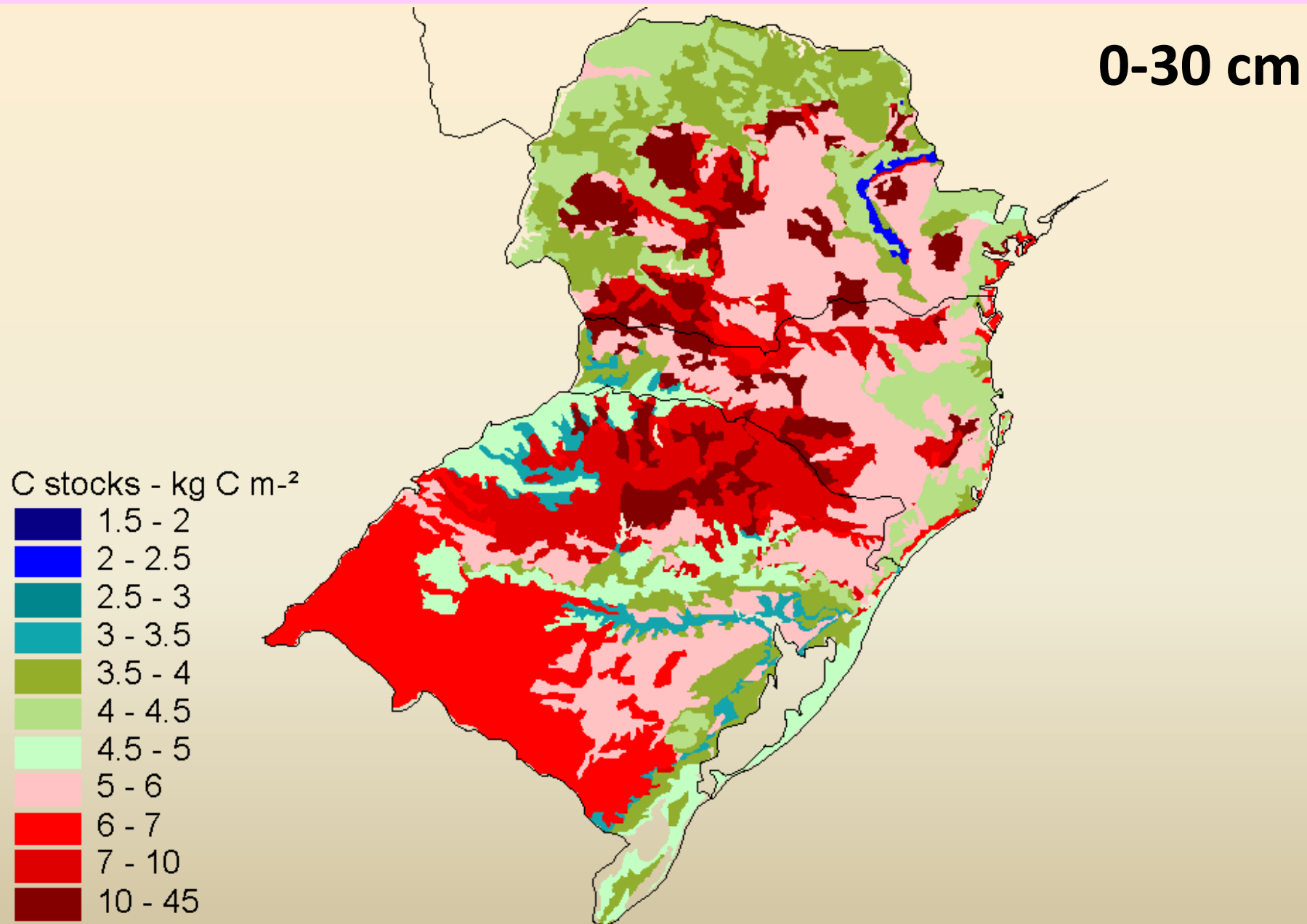


0-30 cm

C stocks - kg C m⁻²



Mapa dos estoques de carbono



Solução alternativa

Para cada Estado brasileiro

		STEPS 1 AND 2			STEP 3		
A Land-use/ Management Systems	B Soil type	C Soil Carbon (t) (Mg C/ha)	D Land Area (t-20) (Mha)	E Land Area (t) (Mha)	F Soil Carbon (t-20) (Tg)	G Soil Carbon (t) (Tg)	H Net change in Soil Carbon in Mineral Soils (Tg per 20 yr)
					$F = (C \times D)$	$G = (C \times E)$	$H = (G - F)$
Uso 1							
Uso 2							
Uso n							
Totals							

Note that land areas in columns D and E, summed over all land-use/management systems used in the inventory should be equal. Total land areas within each soil type, across all land-use systems, should also remain constant over the inventory period.

Estatísticas do IBGE

Informações de uso da terra



$$\text{Soil Carbon}_{\text{managed}} = \text{Soil Carbon}_{\text{native}} \times \text{Base factor} \times \text{Tillage factor} \times \text{Input factors}$$

de acordo com
a vegetação nativa
e os tipos de solo

Avaliação do estoque de C no solo e fluxo de GEE

Situações

Ecossistemas naturais não perturbados do Brasil

Emissão de GEE pelas atividades agrícolas no Brasil

Agrossistemas do Brasil

Mudança de uso da terra

Mudança de manejo

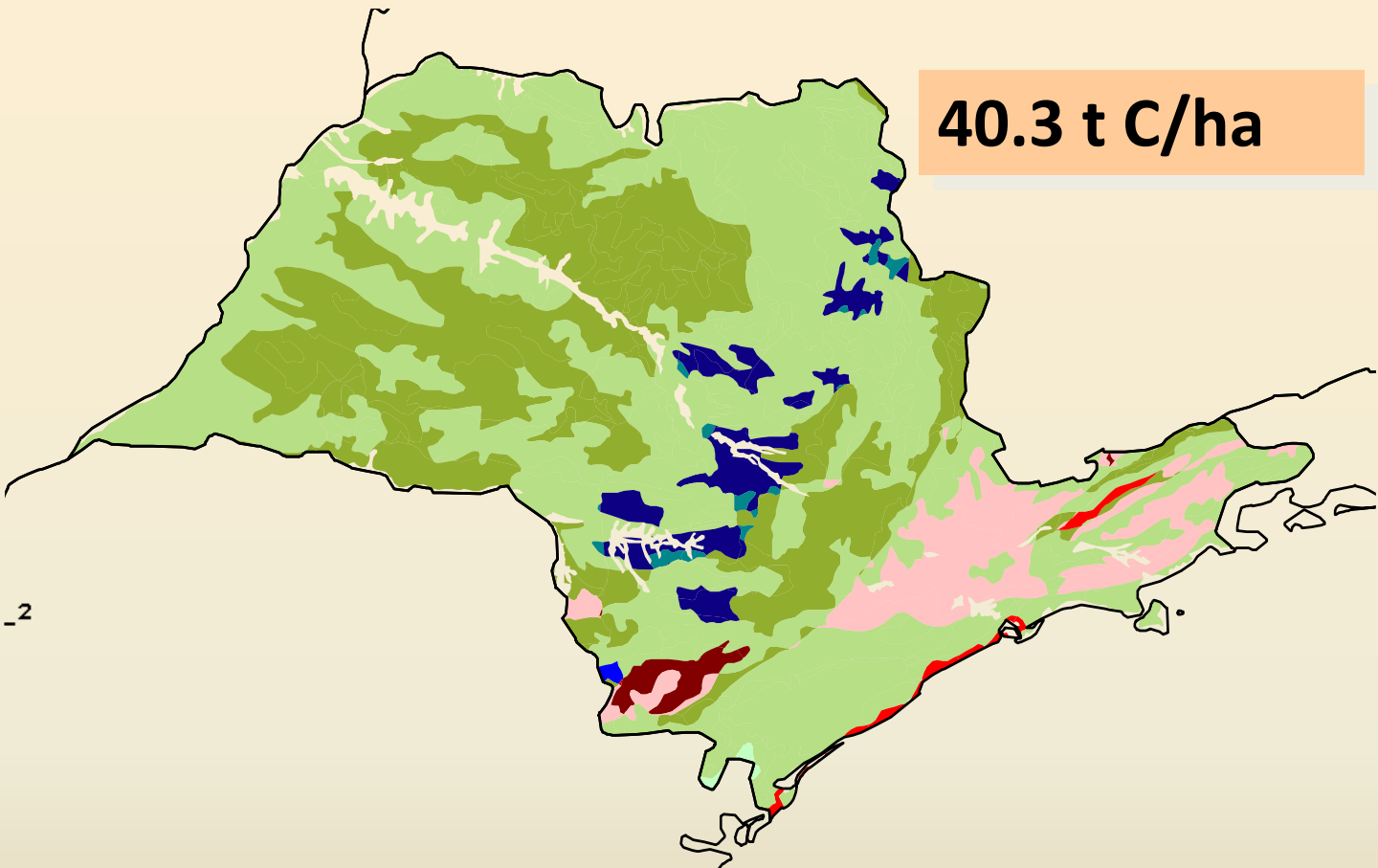
Estratégias de avaliação

Utilizando fatores

Analisando amostras de terra
Cronossequências Pares

Estoques representativo de cada estado

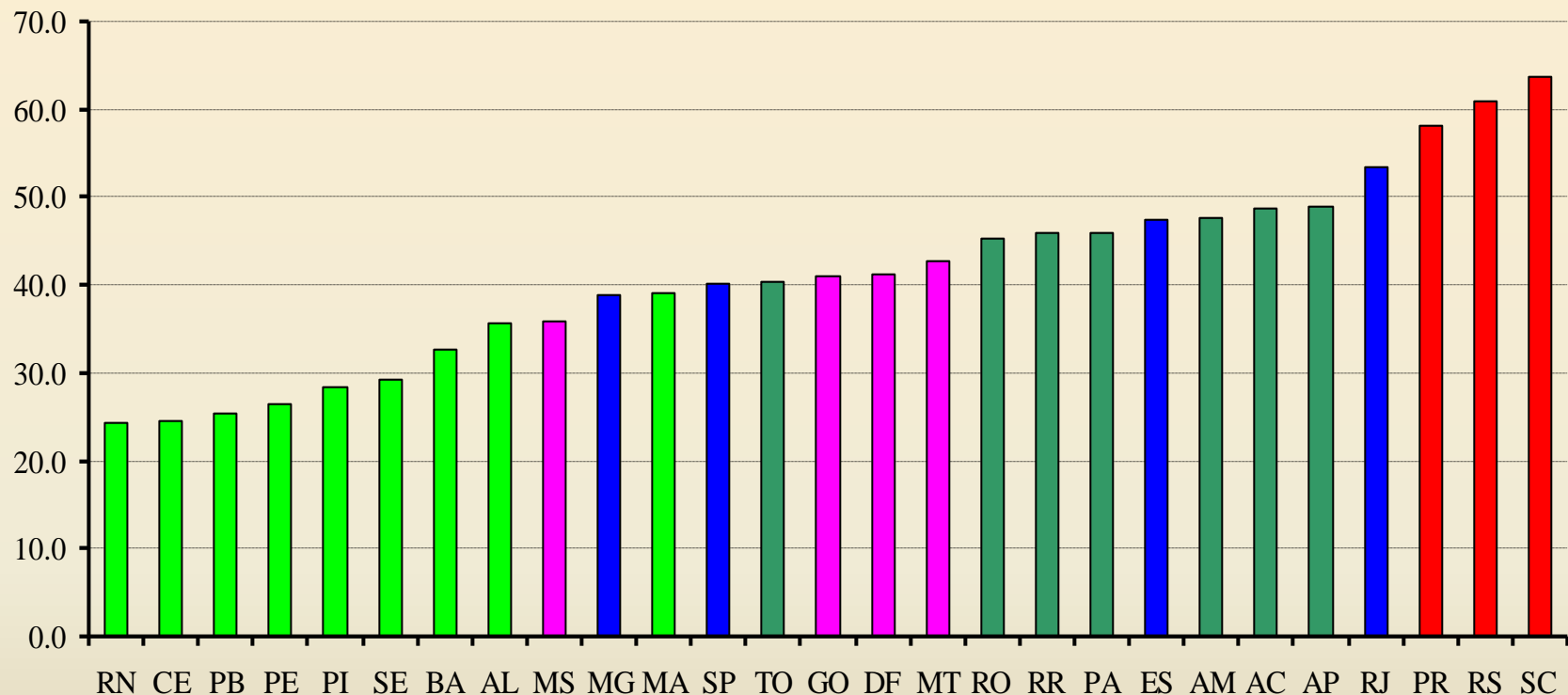
Exemplo do Estado
de São Paulo



Superfície total do Estado: 248,286 km²
Superfície das Associações: 247,191 km²
Estoque total: 995,2 Tg C (ou Milhões de toneladas)

Estoques representativo de cada estado

t C/ha



■ Norte

■ Nordeste

■ Centro

■ Sudeste

■ Sul

Solução alternativa

Para cada Estado brasileiro

		STEPS 1 AND 2			STEP 3		
A Land-use/ Management Systems	B Soil type	C Soil Carbon (t) (Mg C/ha)	D Land Area (t-20) (Mha)	E Land Area (t) (Mha)	F Soil Carbon (t-20) (Tg)	G Soil Carbon (t) (Tg)	H Net change in Soil Carbon in Mineral Soils (Tg per 20 yr)
					$F = (C \times D)$	$G = (C \times E)$	$H = (G - F)$
Uso 1	X						
Uso 2	X						
Uso n	X						
Totals							

Note that land areas in columns D and E, summed over all land-use/management systems used in the inventory should be equal. Total land areas within each soil type, across all land-use systems, should also remain constant over the inventory period.

Estatísticas do IBGE

Informações de uso da terra



$$\text{Soil Carbon}_{\text{managed}} = \text{Soil Carbon}_{\text{native}} \times \text{Base factor} \times \text{Tillage factor} \times \text{Input factors}$$

de acordo com
a vegetação nativa
e os tipos de solo

Solução alternativa

TABLE 5-10^a
COEFFICIENTS USED IN DEFAULT CALCULATION PROCEDURES

System	SG ^b	BF	Tillage Factor ^c			Input Factors ^d				
Temperate			No tillage	Red. tillage	Full tillage	Low input	Med. input	High input	Mature fallow	Shortened fallow
(>20 years)										
Tropical										
Long-term cultivated	A,B,C,D	0.6	1.1	1.0	0.9	0.8	0.9	1.1/1.2		
Long-term cultivated	E	0.5	1.1	1.0	0.8	0.8	0.9	1.1/1.2		
Wetland (Paddy) rice	All soils	1.1	ND	ND	ND	ND	ND	ND		
Shifting cultivation (including fallow)	All soils	0.8	ND	ND	ND	ND	ND	ND	1.0	0.8
Abandoned/ Degraded land	All soils	0.9								
Unimproved pasture	All soils	0.9				ND	ND	ND		
Improved pasture	All soils	1.1				N	Soil Carbon _{managed} = Soil Carbon _{native} × Base factor × Tillage factor × Input factors			

Solução alternativa

Para cada Estado brasileiro

		STEPS 1 AND 2			STEP 3		
A Land-use/ Management Systems	B Soil type	C Soil Carbon (t) (Mg C/ha)	D Land Area (t-20) (Mha)	E Land Area (t) (Mha)	F Soil Carbon (t-20) (Tg)	G Soil Carbon (t) (Tg)	H Net change in Soil Carbon in Mineral Soils (Tg per 20 yr)
					$F = (C \times D)$	$G = (C \times E)$	$H = (G - F)$
Uso 1	X1	X	X				
Uso 2	X2	X	X				
Uso n	Xn	X	X				
Totals							

Note that land areas in columns D and E, summed over all land-use/management systems used in the inventory should be equal. Total land areas within each soil type, across all land-use systems, should also remain constant over the inventory period.

Estatísticas do IBGE

Informações de uso da terra



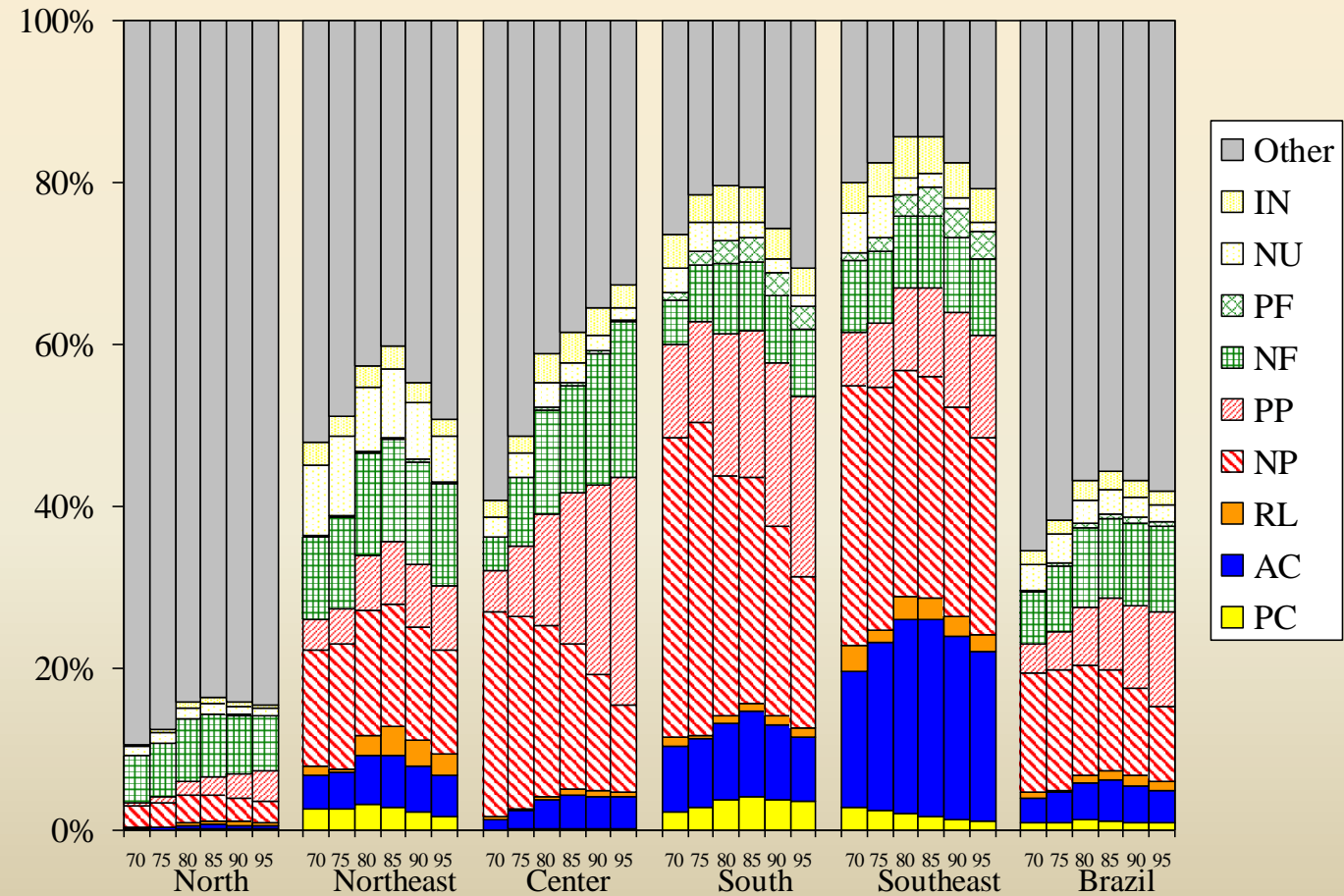
$$\text{Soil Carbon}_{\text{managed}} = \text{Soil Carbon}_{\text{native}} \times \text{Base factor} \times \text{Tillage factor} \times \text{Input factors}$$

de acordo com
a vegetação nativa
e os tipos de solo

Solução alternativa



Estatísticas do IBGE



RESULTADOS



Calculo dos fluxos médios
anuais em Gg* de CO₂ para
dois períodos de 20 anos:

1970-1990

1975-1995

1 Gg = 10⁹ g =
1000 toneladas

States/Region	1970-1990	1975-1995
Acre	805	789
Amapá	2,148	3,876
Amazonas	1,173	622
Pará	7,653	6,007
Rondônia	3,939	3,649
Roraima	699	884
Tocantins	6,100	2,709
North Region	22,517	18,536
Alagoas	1,500	593
Bahia	9,772	8,694
Ceará	-240	-722
Maranhão	8,040	4,224
Paraíba	-210	-847
Pernambuco	182	-845
Piauí	2,076	772
Rio Grande do Norte	-29	-239
Sergipe	342	176
Northeast Region	21,433	11,806
Distrito Federal	291	239
Goiás	7,385	-74
Mato Grosso	18,800	20,985
Mato Grosso do Sul	4,249	1,379
Center Region	30,725	22,530
Espírito Santo	1,300	675
Minas Gerais	3,282	-1,629
Rio de Janeiro	-909	-1,806
São Paulo	3,076	-877
Southeast Region	6,749	-3,637
Paraná	6,910	-425
Rio Grande do Sul	4,819	-2,303
Santa Catarina	106	-110
South Region	11,835	-2,838
BRAZIL	93,259	46,396

RESULTADOS



Período 1975 -1995
46396 Gg CO₂.ano

Qual é a margem de variação?

Calculo dos fluxos médios
anuais em Gg* de CO₂ para
dois períodos de 20 anos:

1970-1990

1975-1995

1 Gg = 10^9 g =
1000 toneladas

Avaliação do estoque de C no solo e fluxo de GEE

Situações

Ecossistemas naturais não perturbados do Brasil

Emissão de GEE pelas atividades agrícolas no Brasil

Agrossistemas do Brasil

Mudança de uso da terra

Mudança de manejo

Estratégias de avaliação

Utilizando fatores

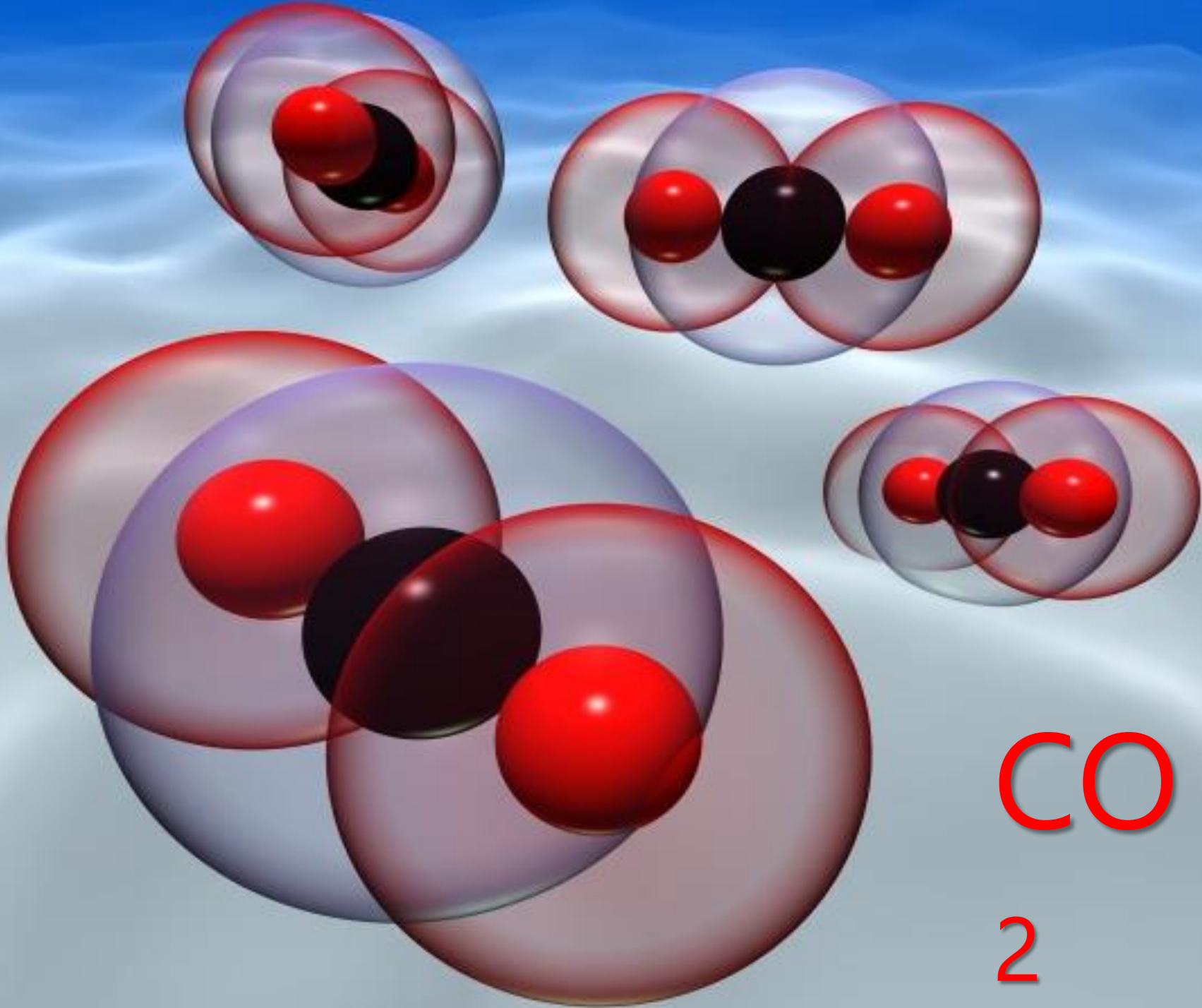
Analisando amostras de terra

Cronossequências

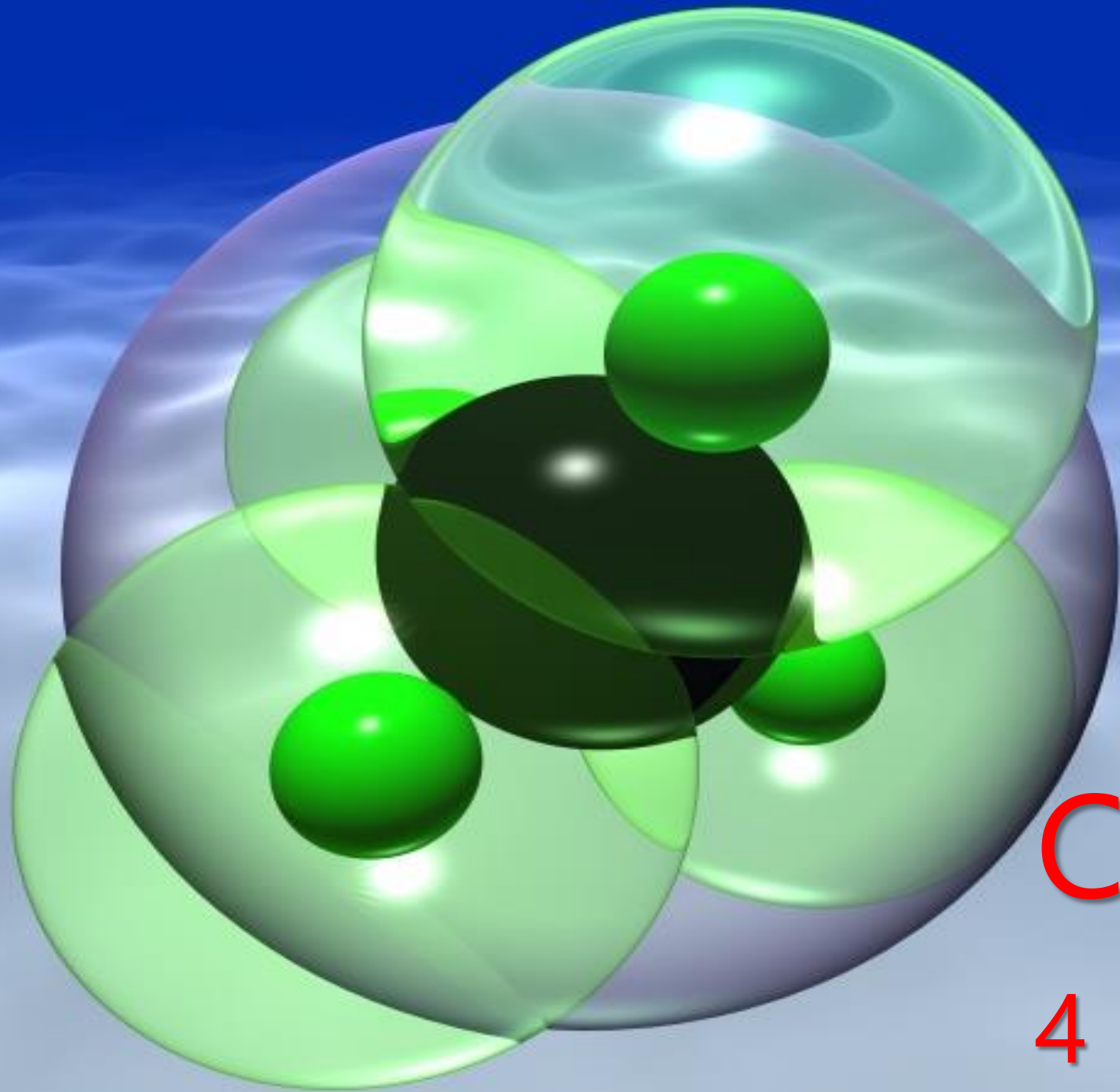
Pares



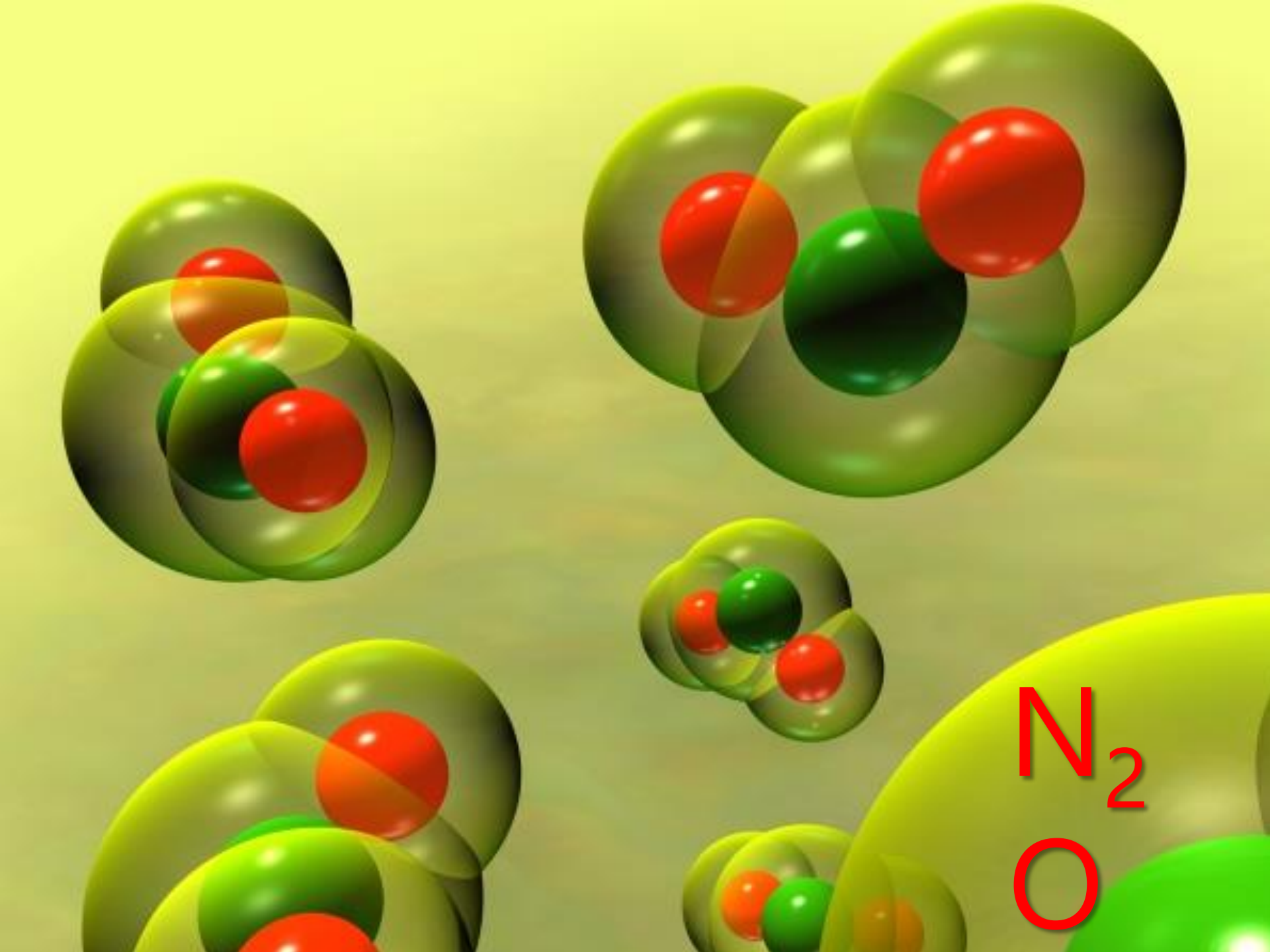
EMISSÃO DE GASES DO EFEITO ESTUFA NO BRASIL: a importância da agricultura e das pastagens



CO
 2



CH
4

 N_2O

Potencial de aquecimento global

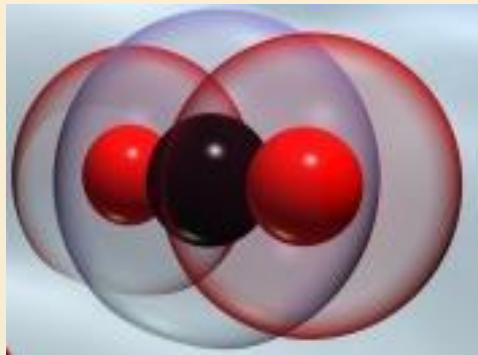
CO_2	CH_4	N_2O
1	25	298

Equivalente CO_2

$1 \text{ kg CH}_4 = 25 \text{ kg CO}_2$

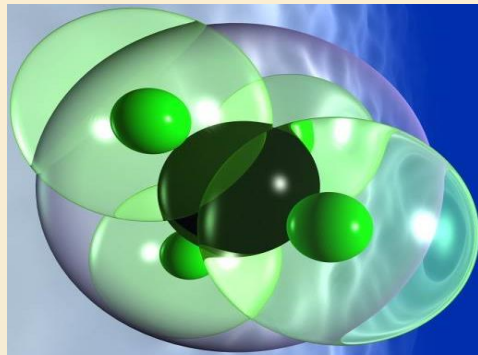
$1 \text{ kg N}_2\text{O} = 298 \text{ kg CO}_2$

Principais gases do efeito estufa emitidos na agropecuária

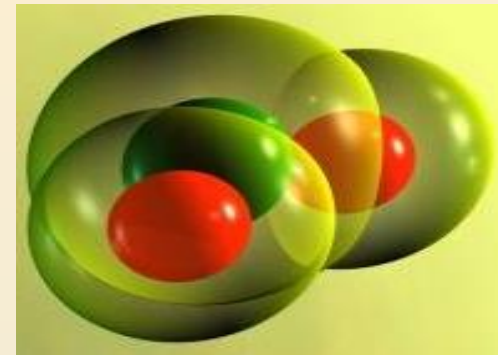


Potencial de
Aquecimento
Global

1



25



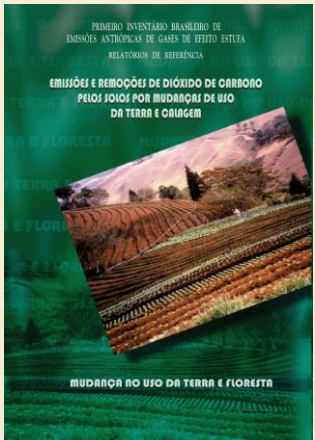
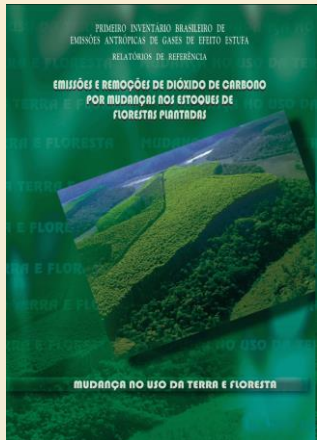
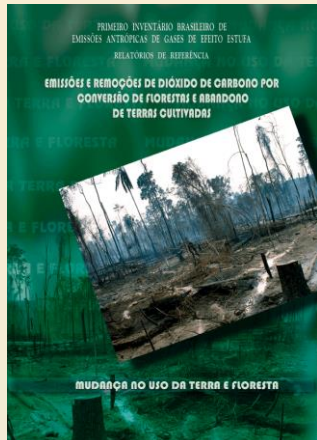
298

Equivalente em CO₂

CO₂eq → Ceq

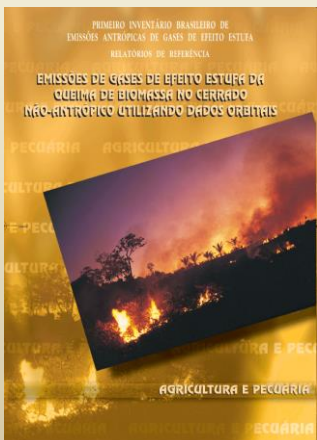
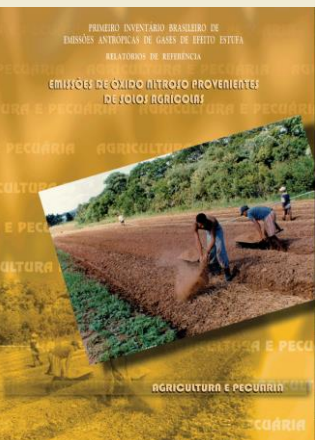
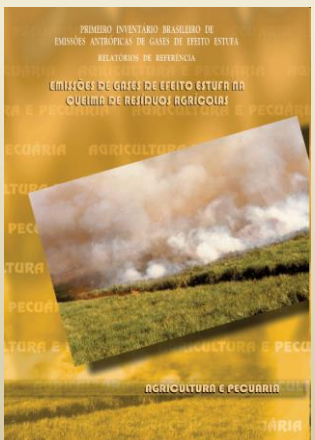
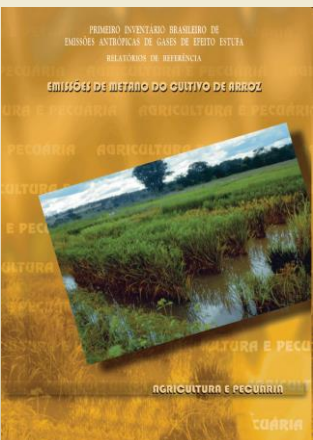
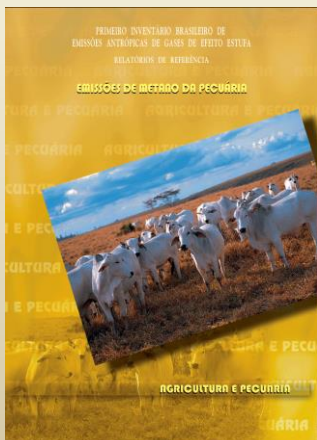
BRAZILIAN GREENHOUSE GAS EMISSIONS: THE IMPORTANCE OF AGRICULTURE AND LIVESTOCK

Carlos Clemente Cerri¹; Stoecio Malta Ferreira Maia²; Marcelo Valadares Galdos²; Carlos Eduardo Pellegrino Cerri³*; Brigitte Josefina Feigl¹; Martial Bernoux⁴



Terras abandonadas Forestas plantadas Solos (CO₂)

Sistématica
de
atualização



Pecuária

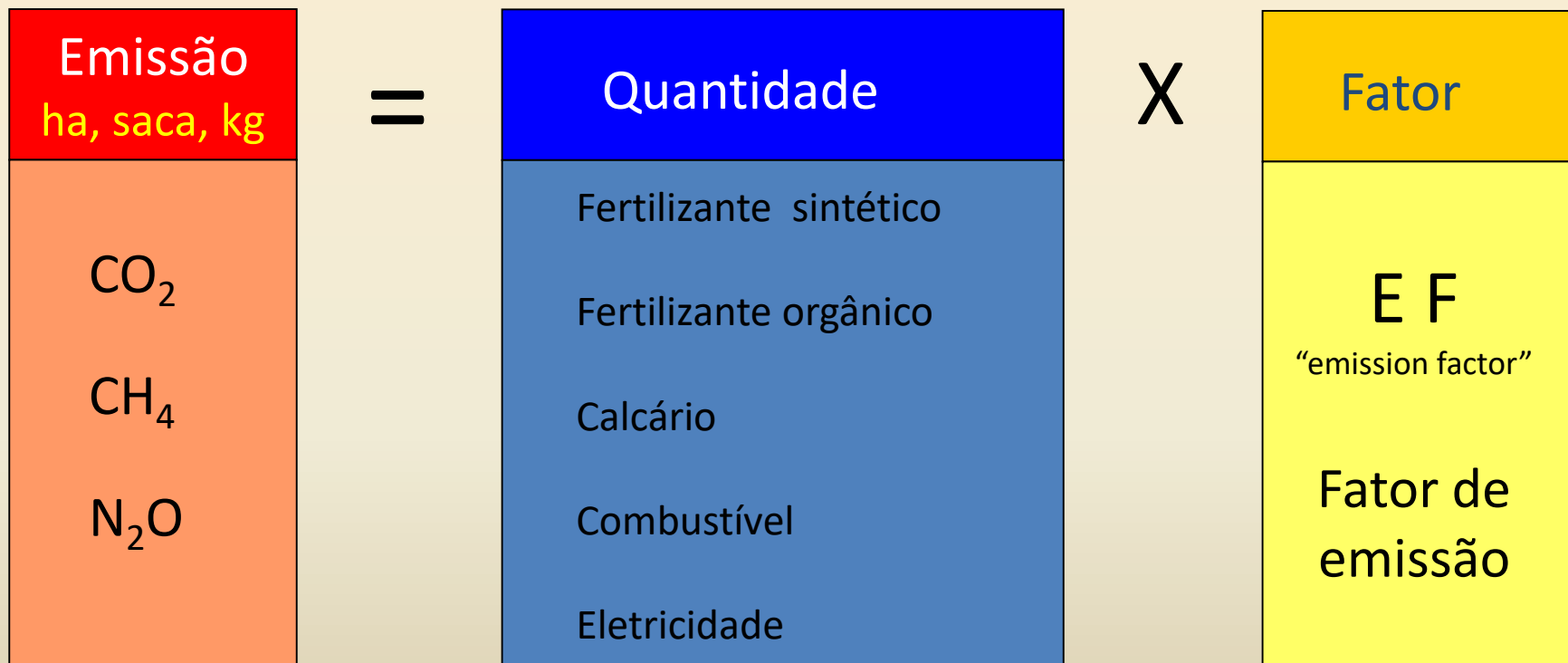
Arroz inundado

Queima de resíduos

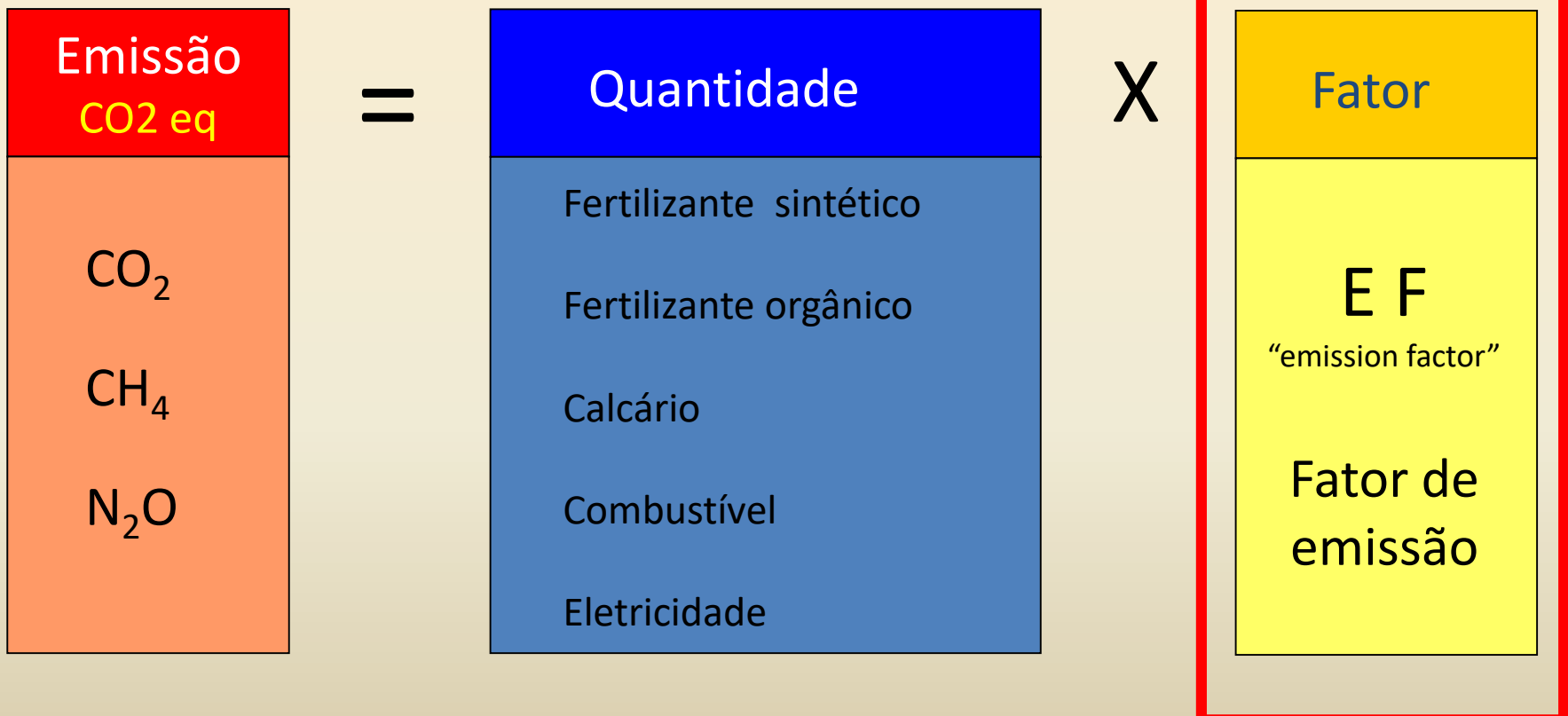
Solos (N₂O)

Queima do Cerrado

Princípio do cálculo das emissões



Princípio do cálculo das emissões



Princípio do cálculo das emissões

Fator

E F

“emission factor”

Fator de
emissão

- “Default”: dados da Literatura
- Medidas diretas no campo

Distribuição relativa (%) das emissões dos 3 setores

Conversão de florestas em outros usos



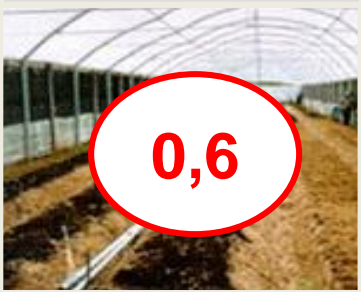
70

Fermentação entérica



15

Manejo dejetos animais



0,6

Animais em pastagem



4,6

Esterco



0,3

Decomposição MOS (solos minerais)



3,3

Decomposição MOS (solos Orgânicos)



0,5

Calagem



0,5

Cultivo de arroz



0,5

Queima de resíduos agrícolas



0,3

Fertilizantes sintéticos



0,4

Fixação biológica N



0,6

Resíduos de colheita



0,9

Volatilização e subsequente Deposição atmosférica de N



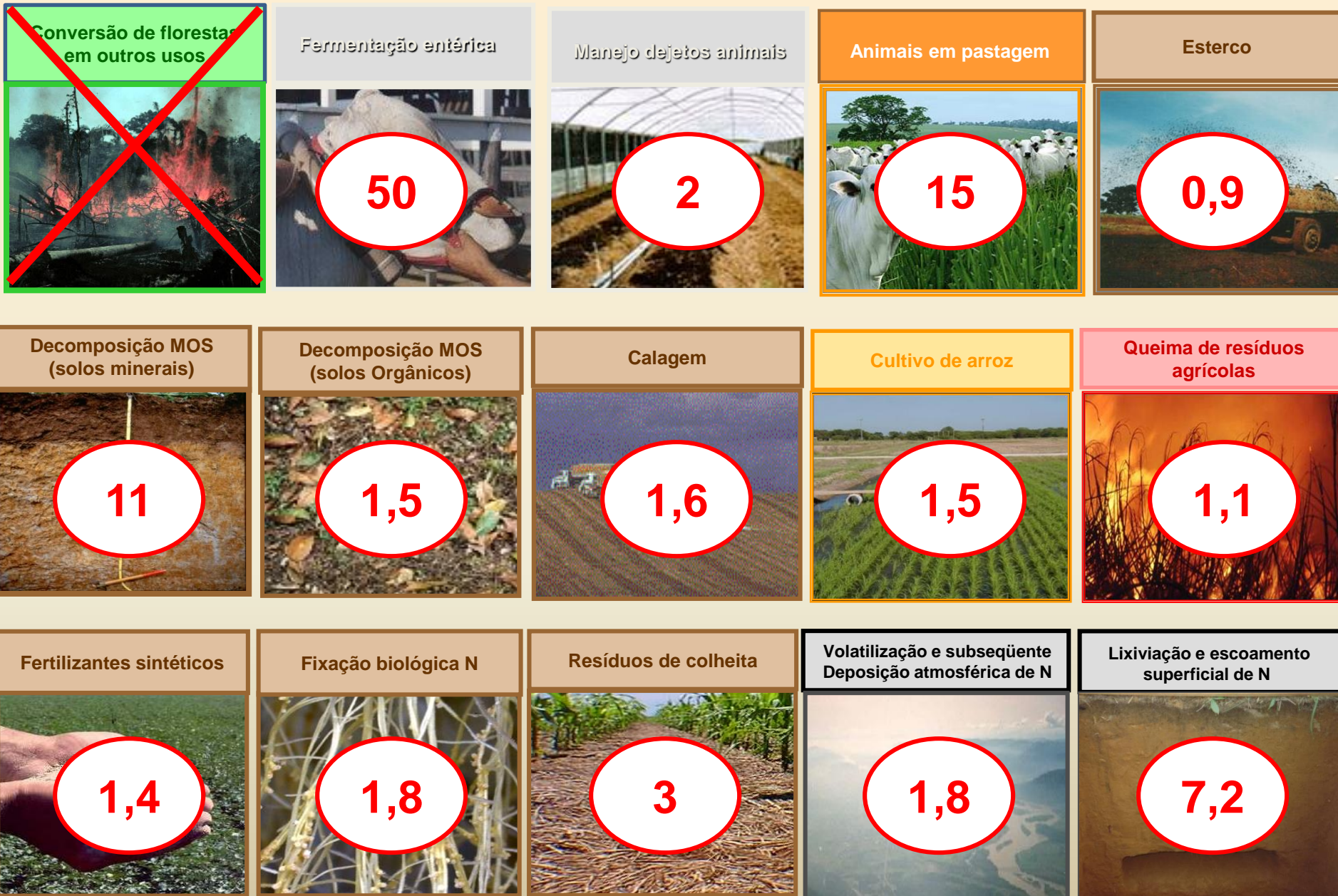
0,6

Lixiviação e escoamento superficial de N



2,1

Distribuição relativa (%) das emissões da agropecuária (excluindo desmatamento)



Princípio do cálculo das emissões

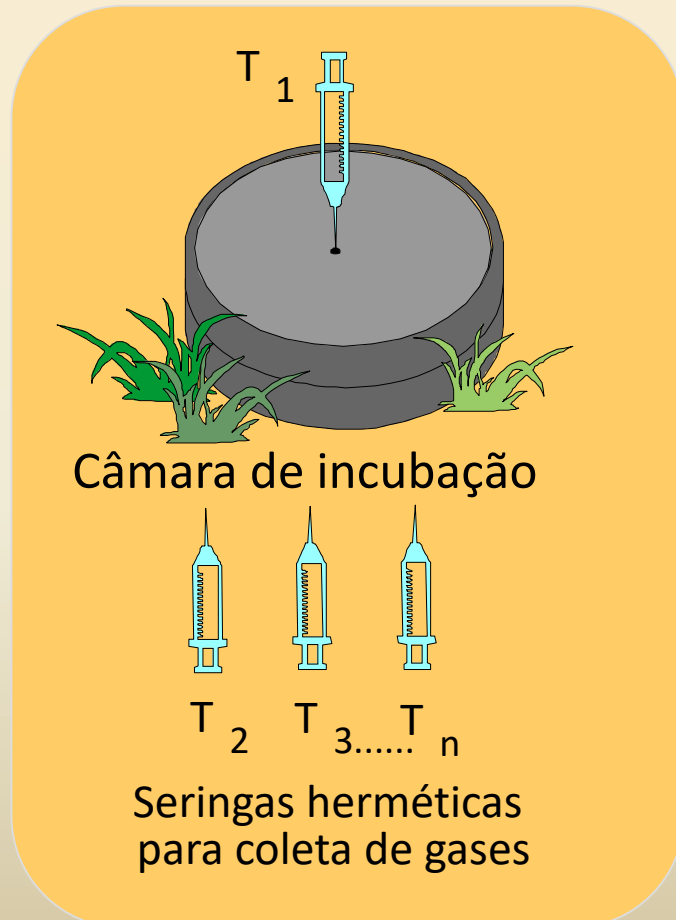
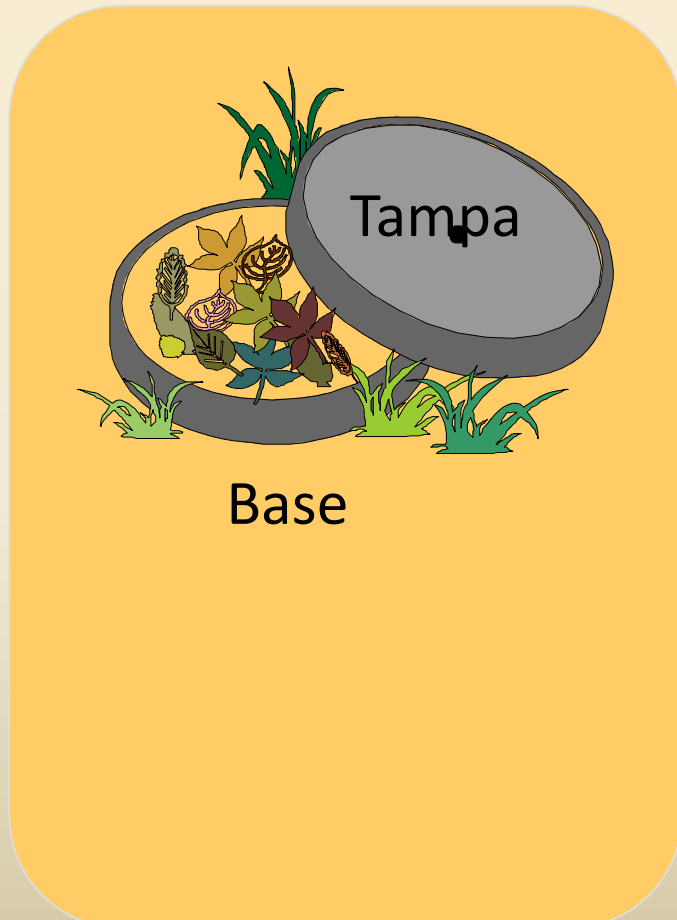
Fator
E F “emission factor”
Fator de emissão

“Default”: dados da Literatura

Medidas diretas no campo

Amostragem em campo

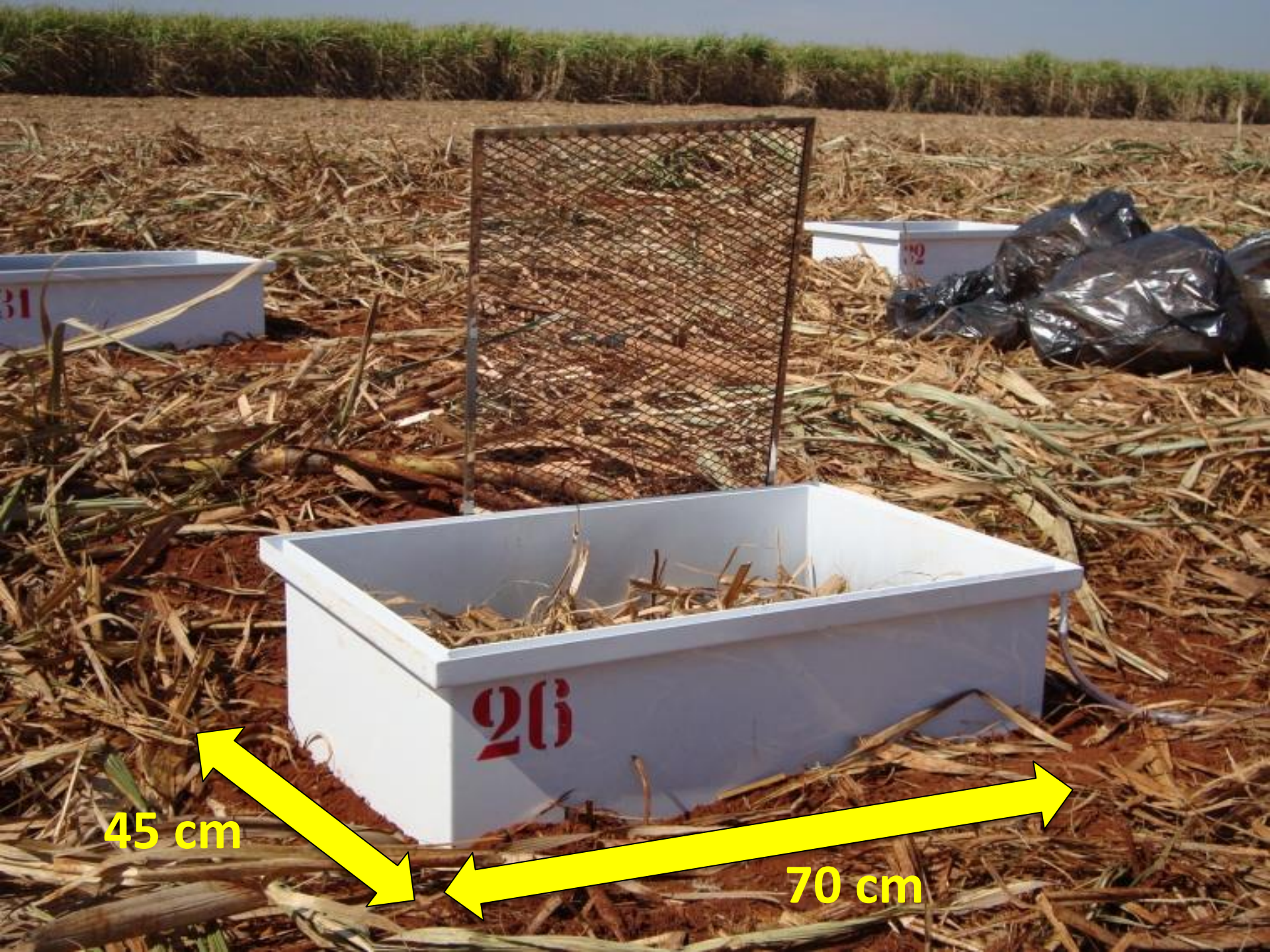
Sistema de coleta das amostras de gases











45 cm

70 cm

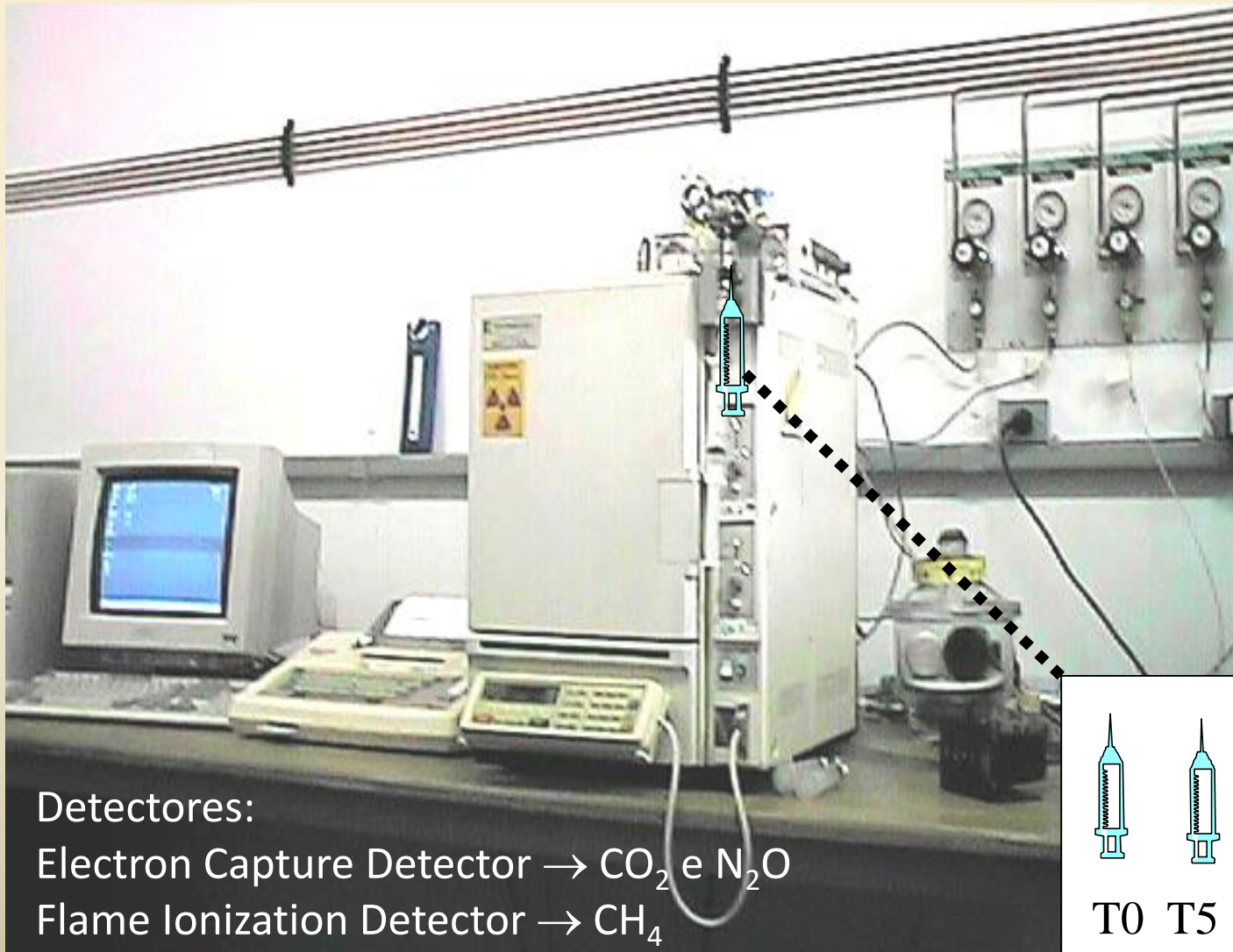








Análise cromatográfica das amostras no laboratório



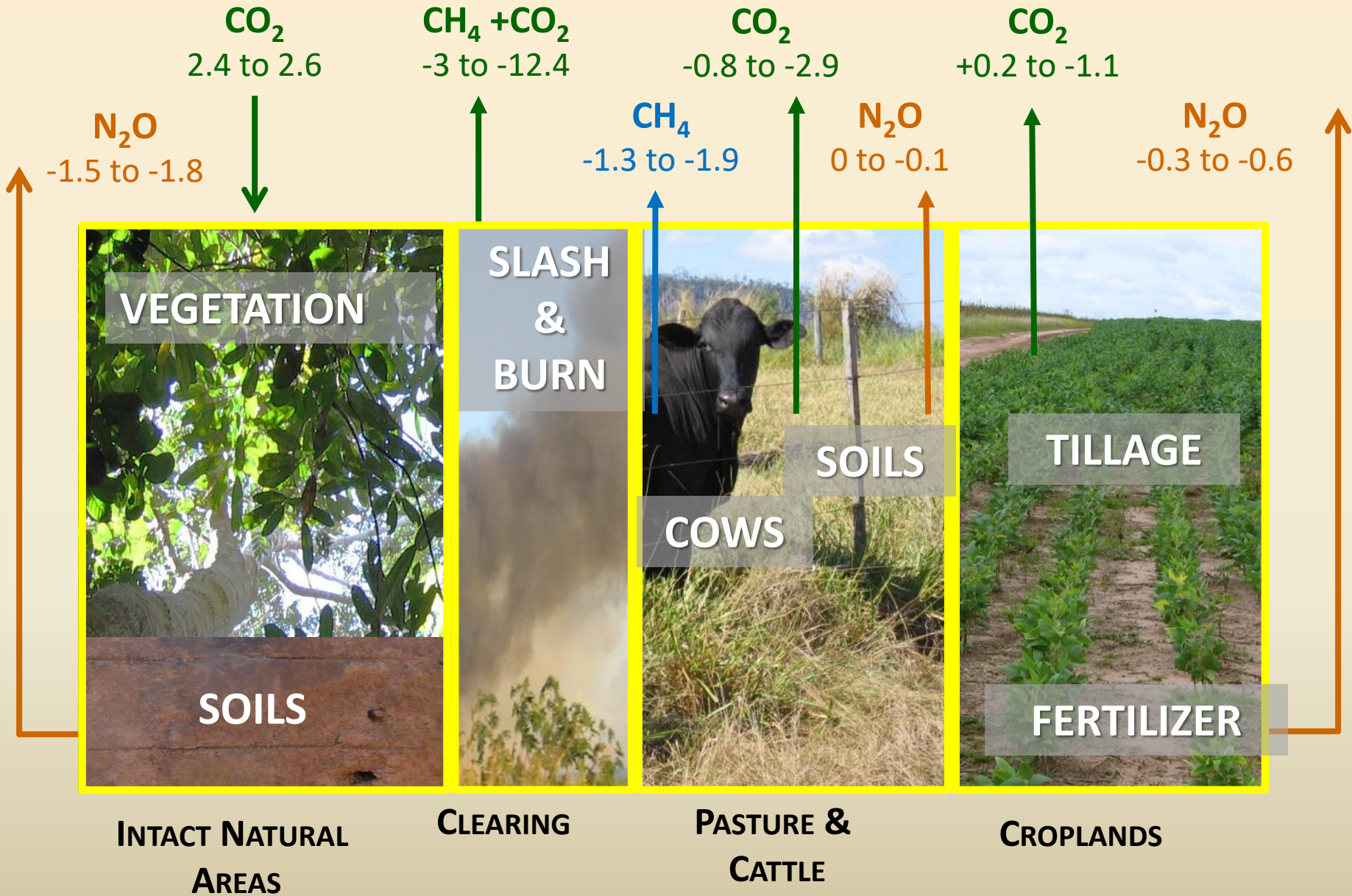
Detectores:

Electron Capture Detector → CO₂ e N₂O

Flame Ionization Detector → CH₄

T0 T5 T10 T20

Results: LCLUC GHG emissions (Pg CO₂-e)



ESTOQUE DE CARBONO NO SOLO E FLUXO DE GEE: exemplos na agricultura, pecuária e reflorestamento no Brasil

Introdução

Estoque de carbono nos solos do Brasil

Emissão de GEE pelas atividades agrícolas no Brasil

Mudança do estoque de carbono do solo devido ao uso da terra

Geral do Brasil

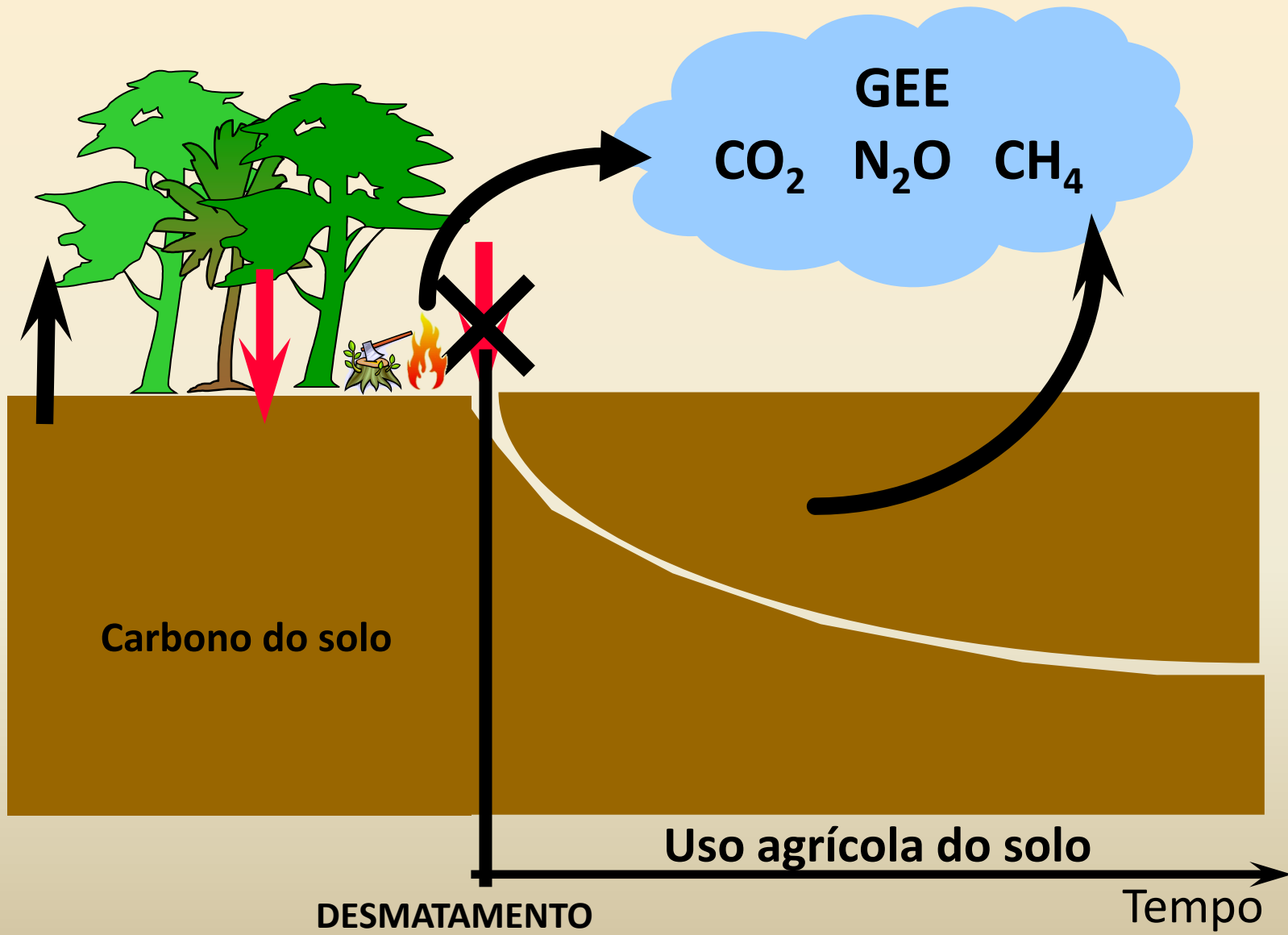
Conversão de vegetações nativas em agricultura

Conversão de pastagens plantadas em agricultura

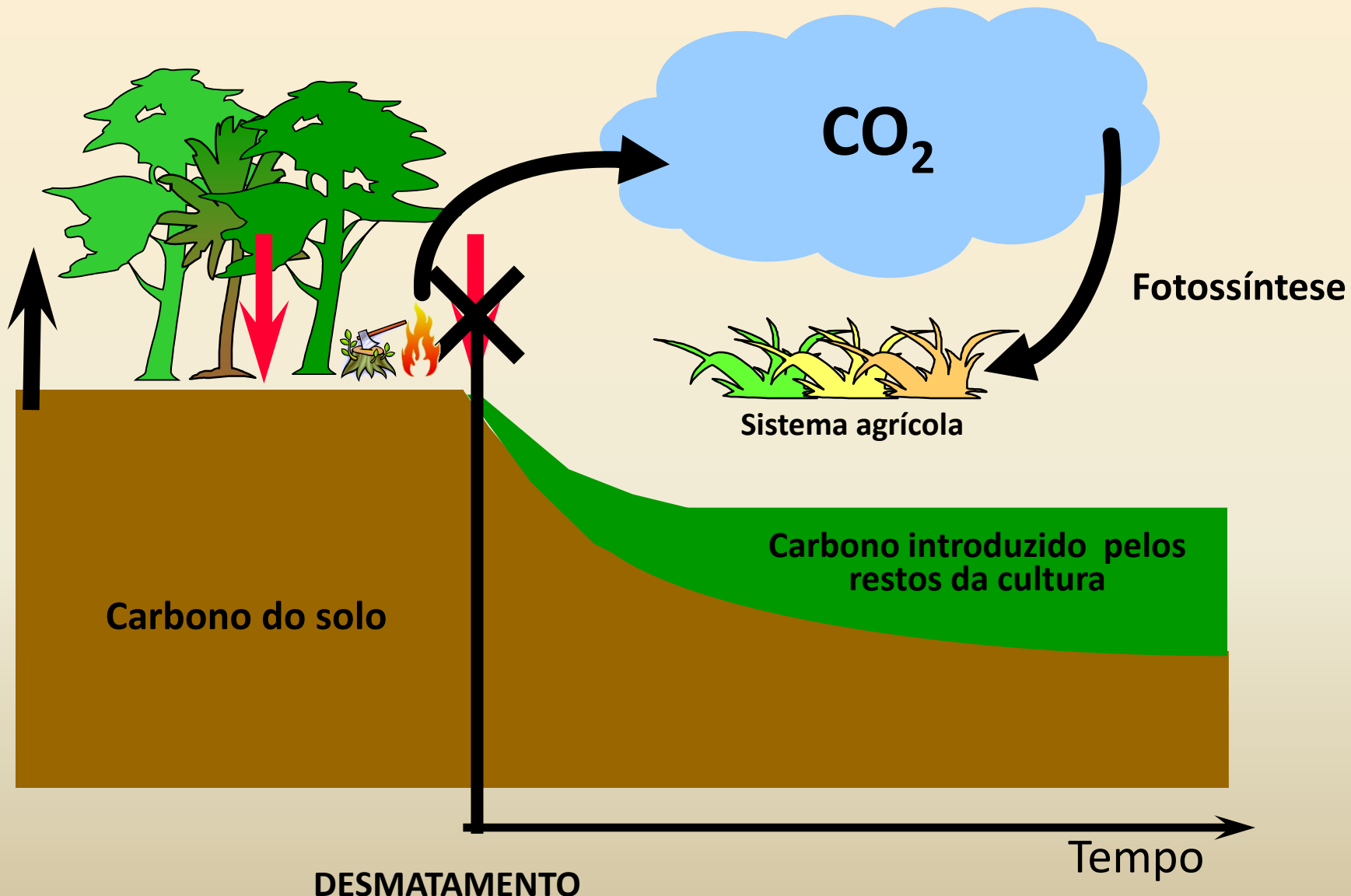
Mudança do estoque de carbono do solo devido ao manejo agrícola

Considerações finais

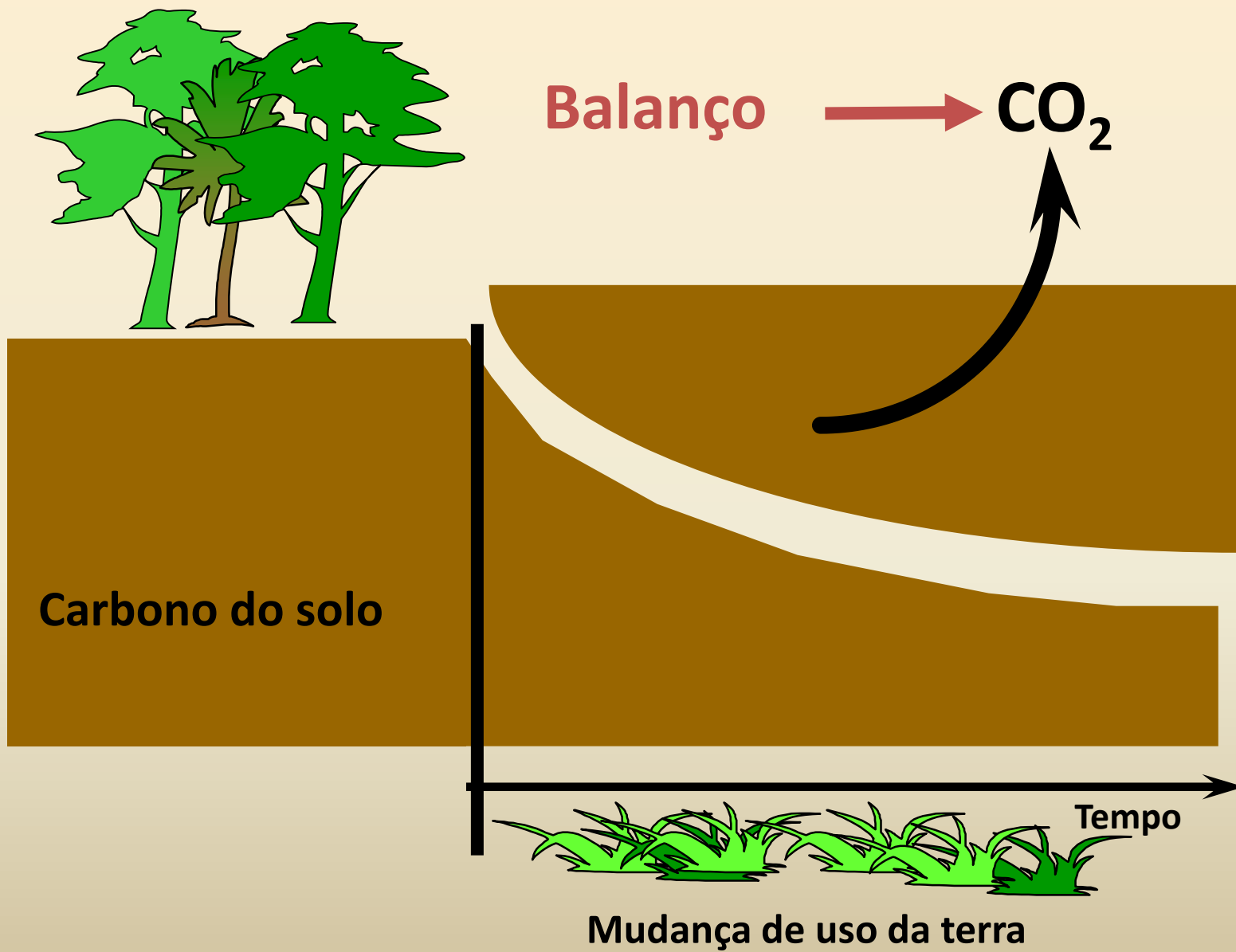
Dinâmica do carbono no solo



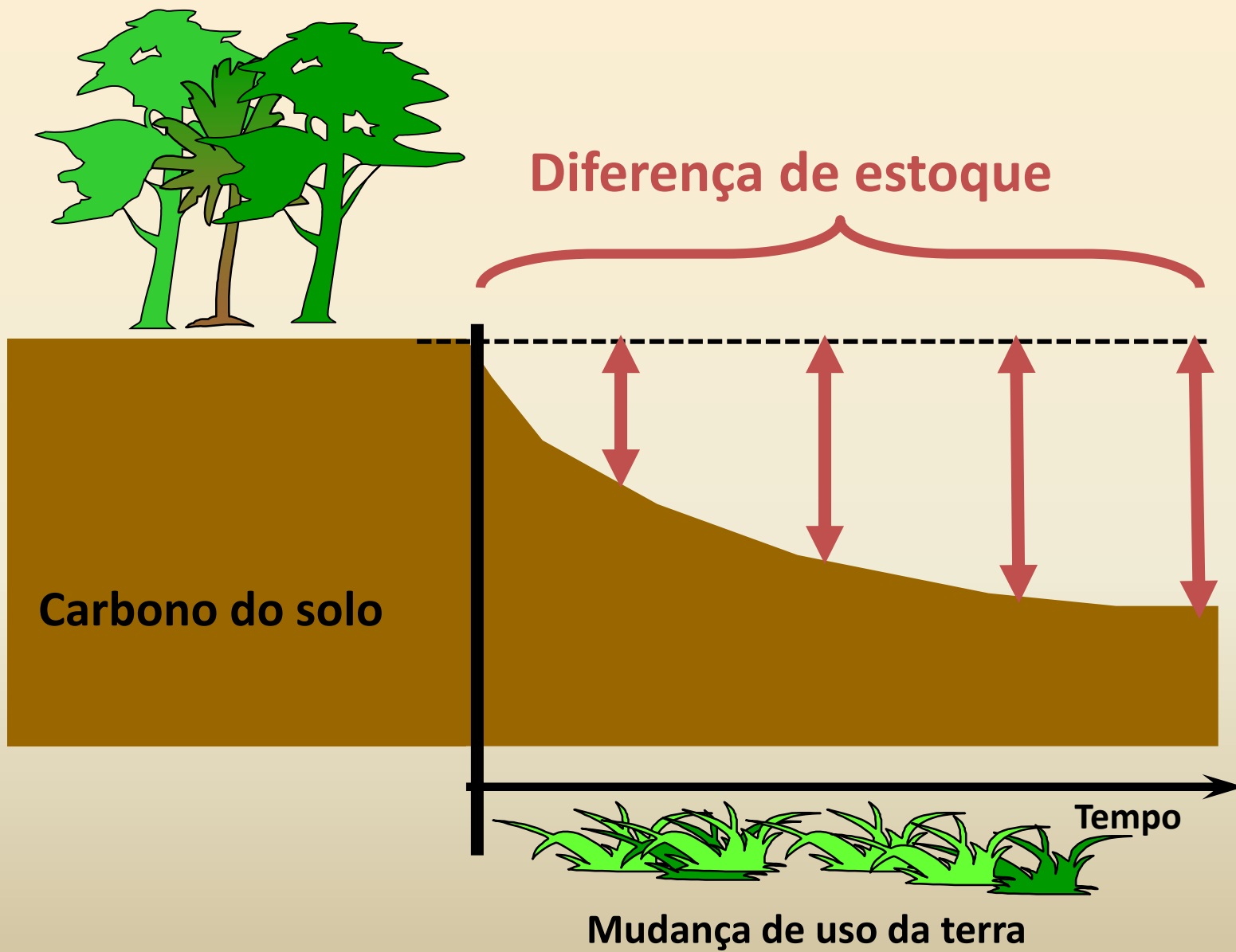
Dinâmica do carbono no solo



Determinação indireta: mudança nos estoques de C



Determinação indireta: mudança nos estoques de C



Avaliação do estoque de C no solo e fluxo de GEE

Situações

Ecossistemas naturais não perturbados do Brasil

Emissão de GEE pelas atividades agrícolas no Brasil

Agrossistemas do Brasil

Mudança de uso da terra

Mudança de manejo

Estratégias de avaliação

Utilizando fatores

Analisando amostras de terra

Cronossequências

Pares

ESTOQUE DE CARBONO NO SOLO E FLUXO DE GEE: exemplos na agricultura, pecuária e reflorestamento no Brasil

Introdução

Estoque de carbono nos solos do Brasil

Emissão de GEE pelas atividades agrícolas no Brasil

Mudança do estoque de carbono do solo devido ao uso da terra

Geral do Brasil

Conversão de vegetações nativas em agricultura

Conversão de pastagens plantadas em agricultura

Mudança do estoque de carbono do solo devido ao manejo agrícola

Considerações finais

Avaliação do estoque de C no solo e fluxo de GEE na mudança de uso da terra no Brasil

Conversão de vegetações nativas em agricultura

Floresta Amazônica em pastagens

Floresta Amazônica em palma

Cerradão em soja

Caatinga em agricultura

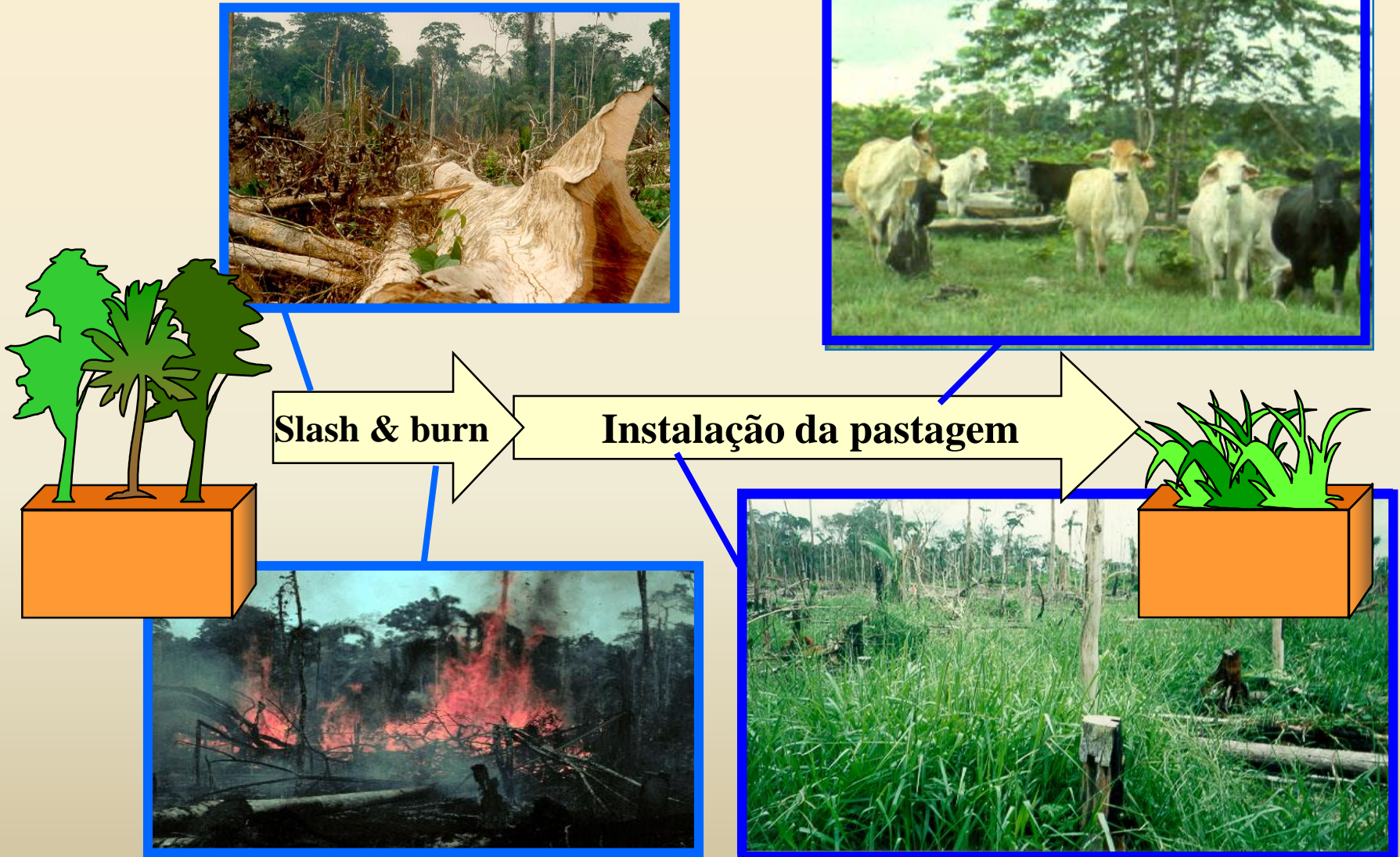
Conversão de pastagens plantadas em agricultura

Pastagem em soja e outras culturas

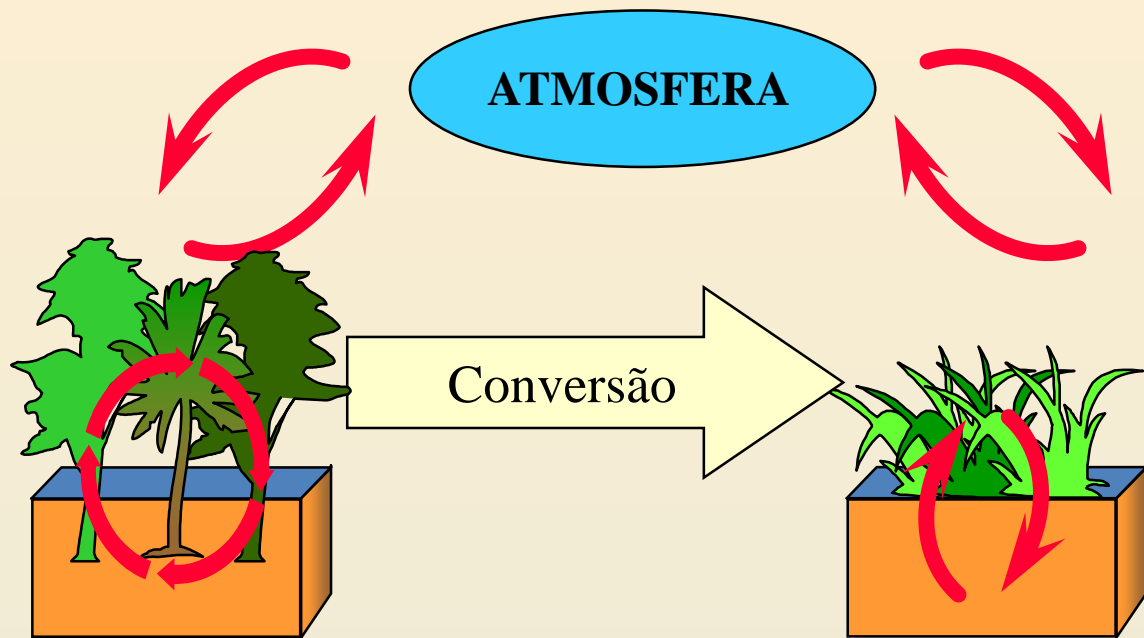
Pastagem em cana-de-açúcar

Pastagem em reflorestamento

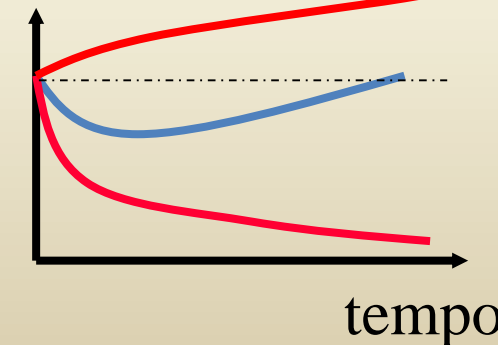
Conversão Floresta Amazônica em Pastagem



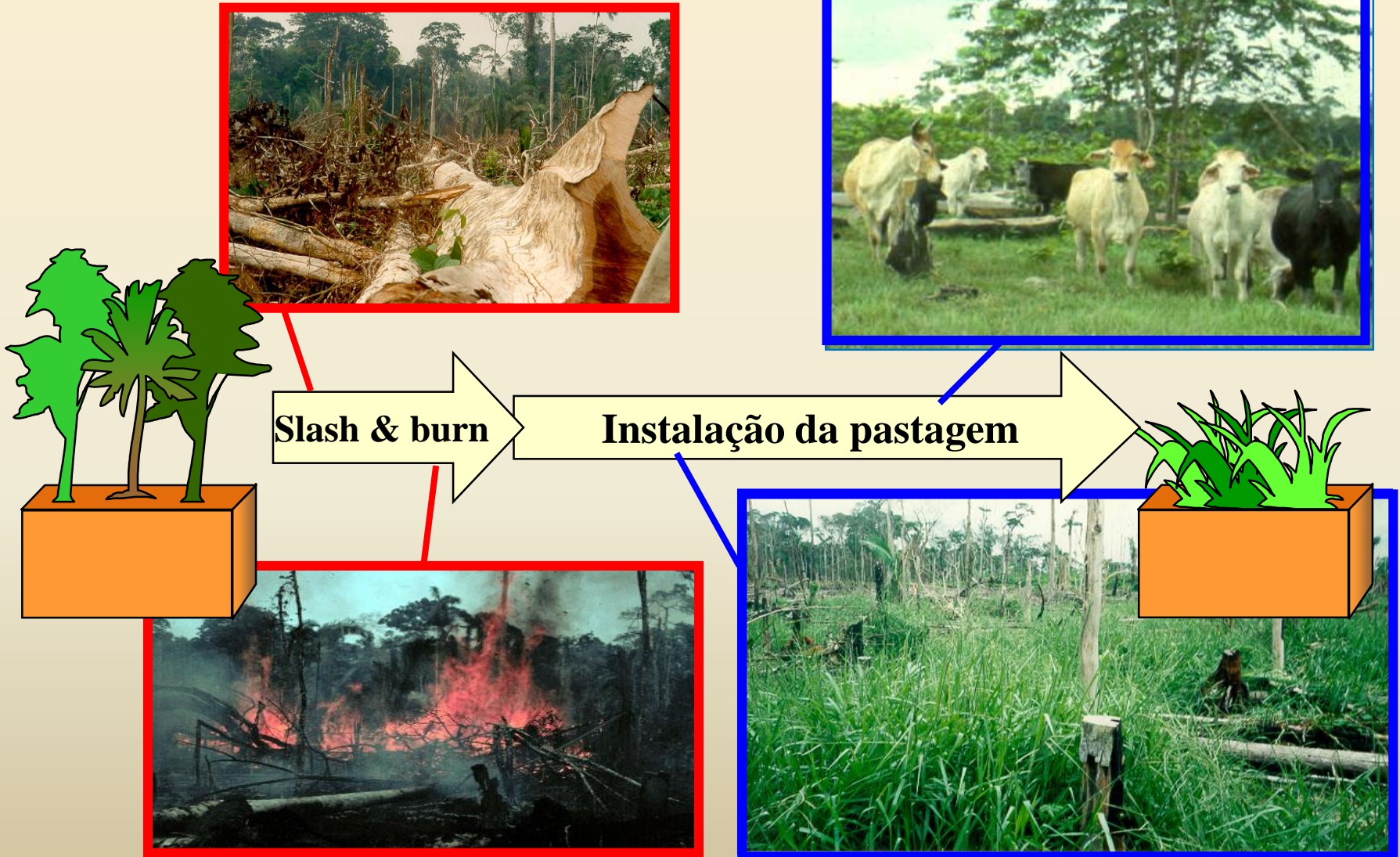
Conversão Floresta Amazônica em Pastagem



Estoques e fluxos



Conversão Floresta Amazônica em Pastagem

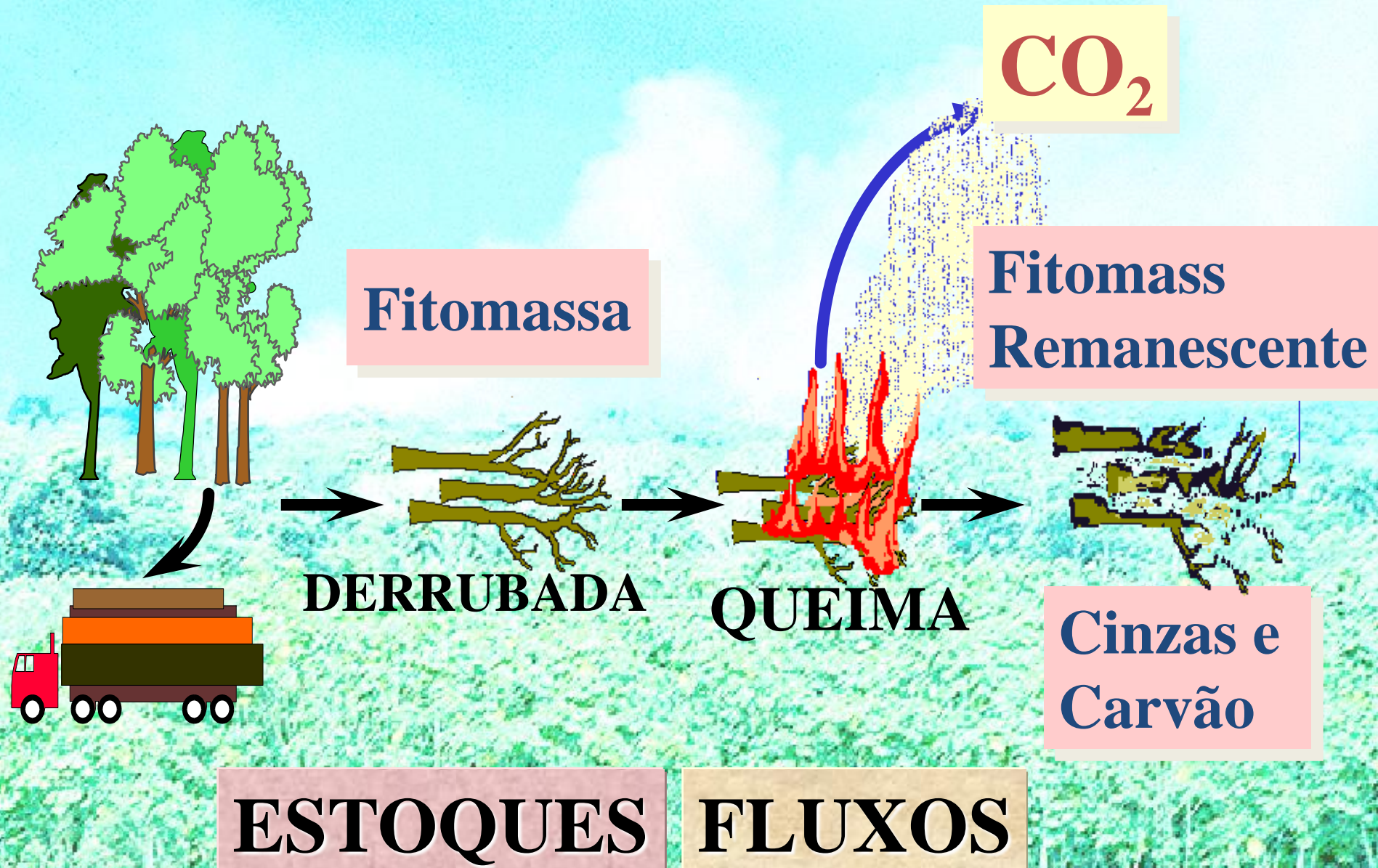




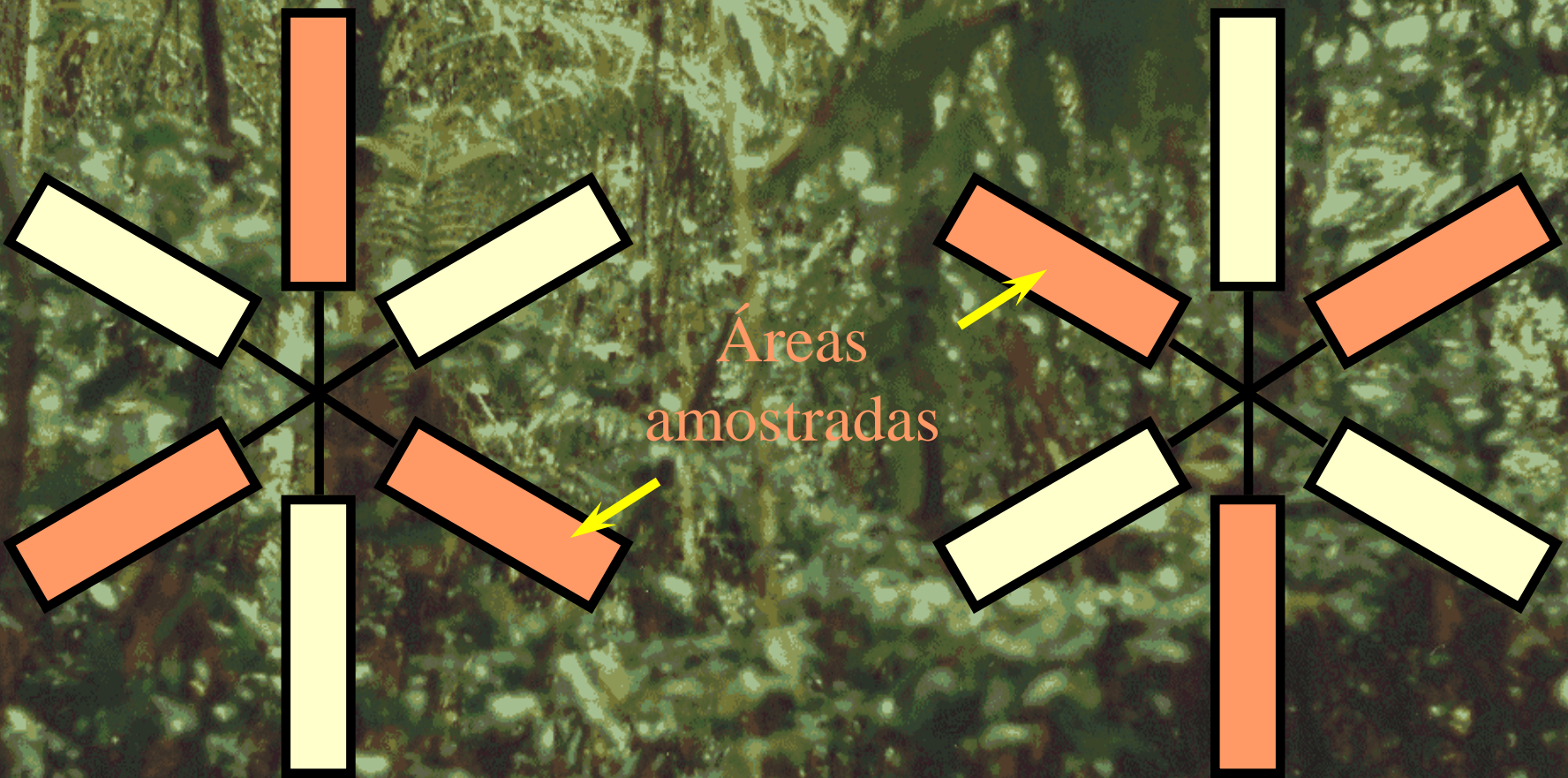
A photograph of a dense forest. Sunlight filters through the canopy of tall, thin trees, creating bright highlights and deep shadows. The overall color palette is dominated by shades of green and brown.

FITOMASSA AÉREA

DERRUBADA E QUEIMA



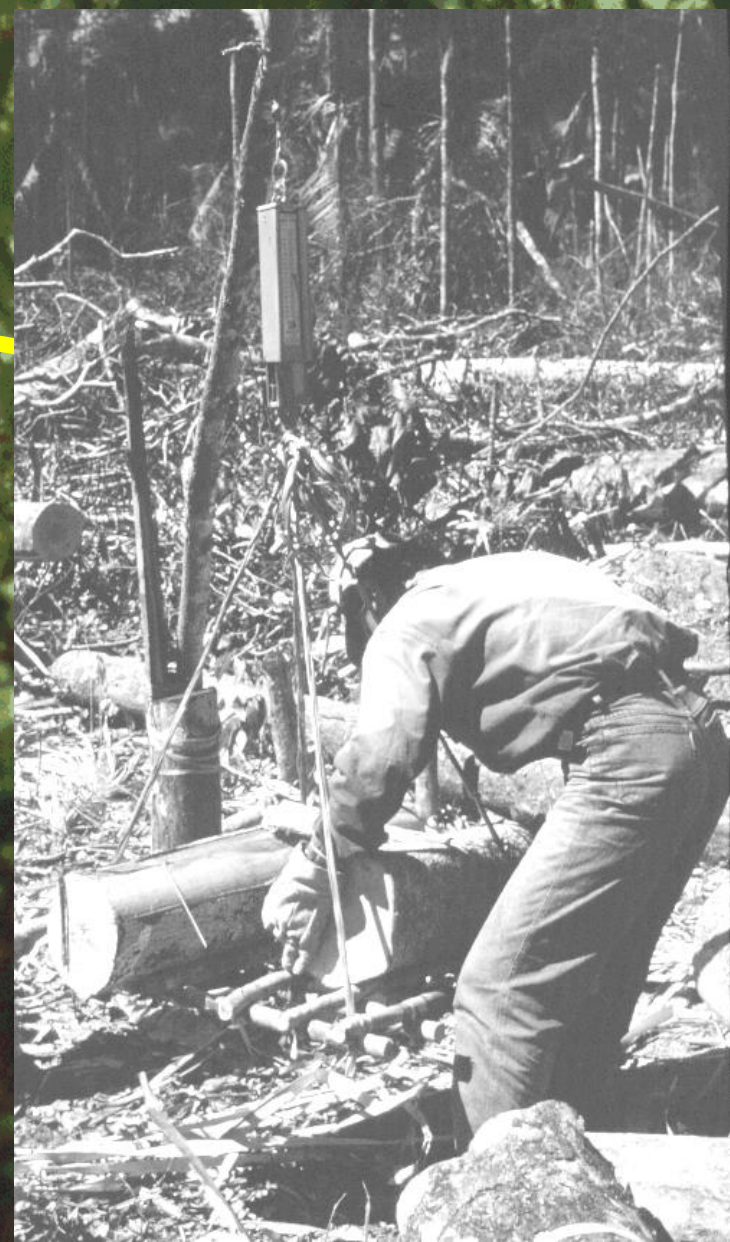
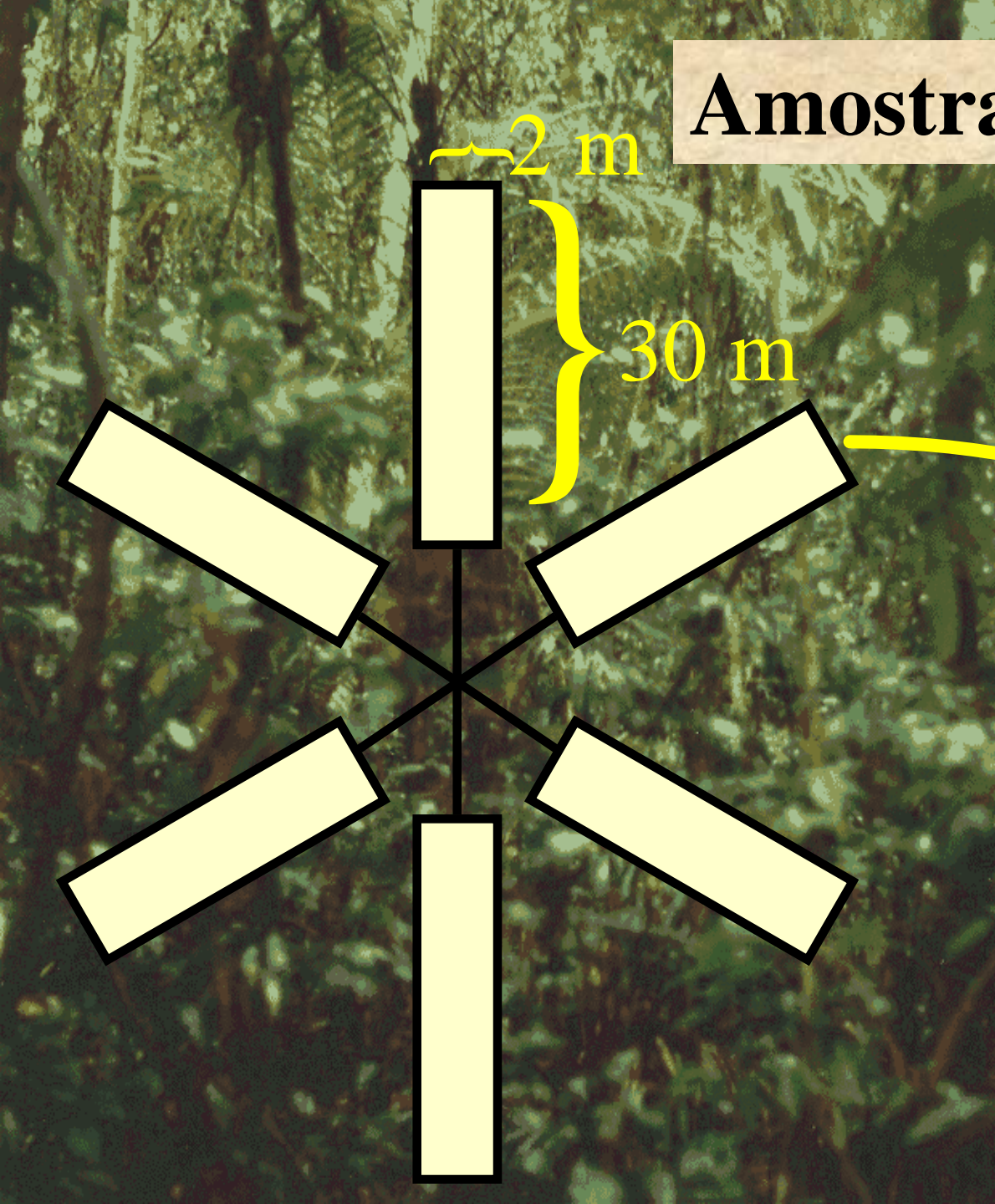
Amostragem destrutiva



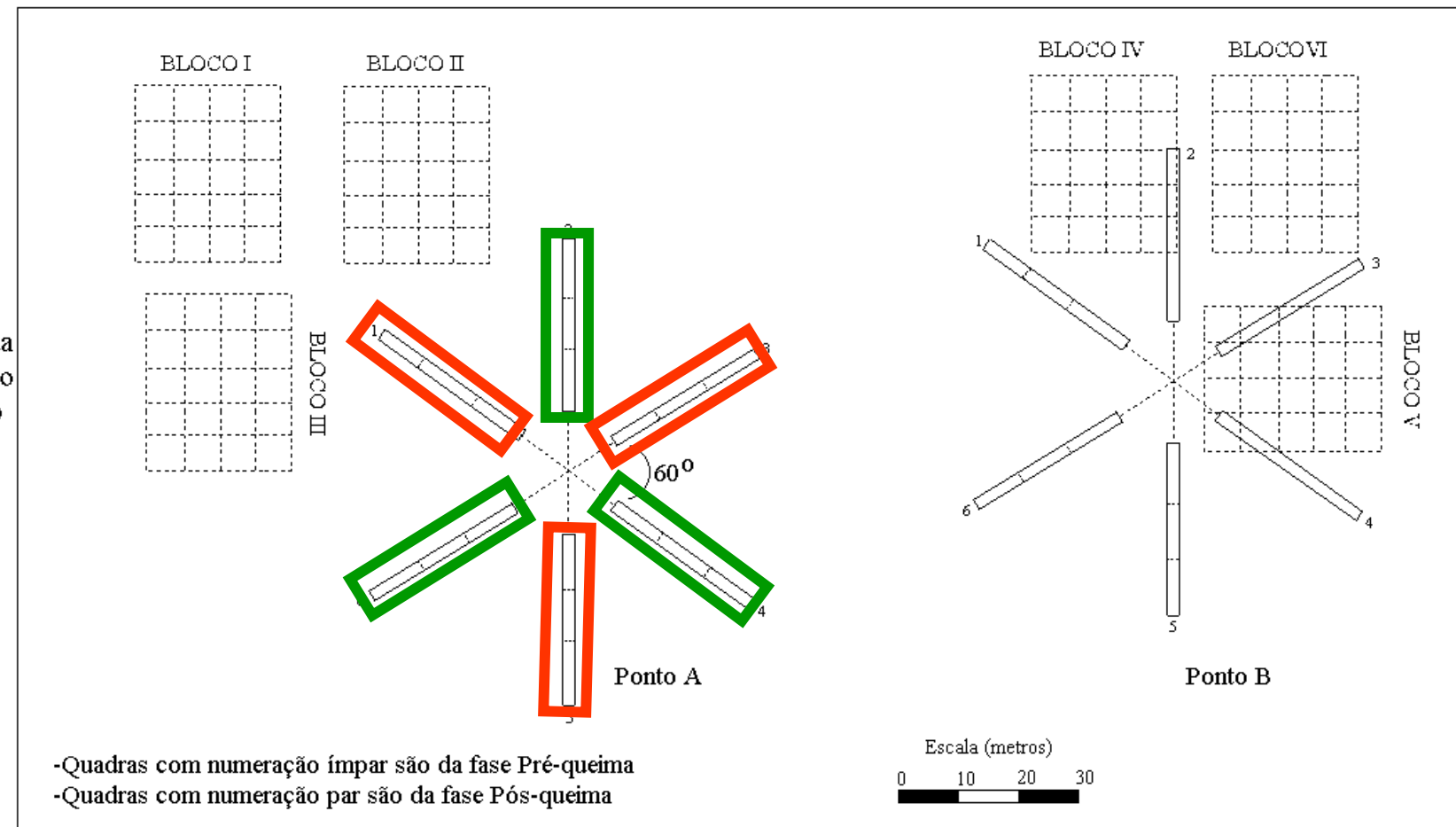
Antes a
queima

Após a
queima

Amostragem destrutiva



Borda com a floresta



Borda com capoeira







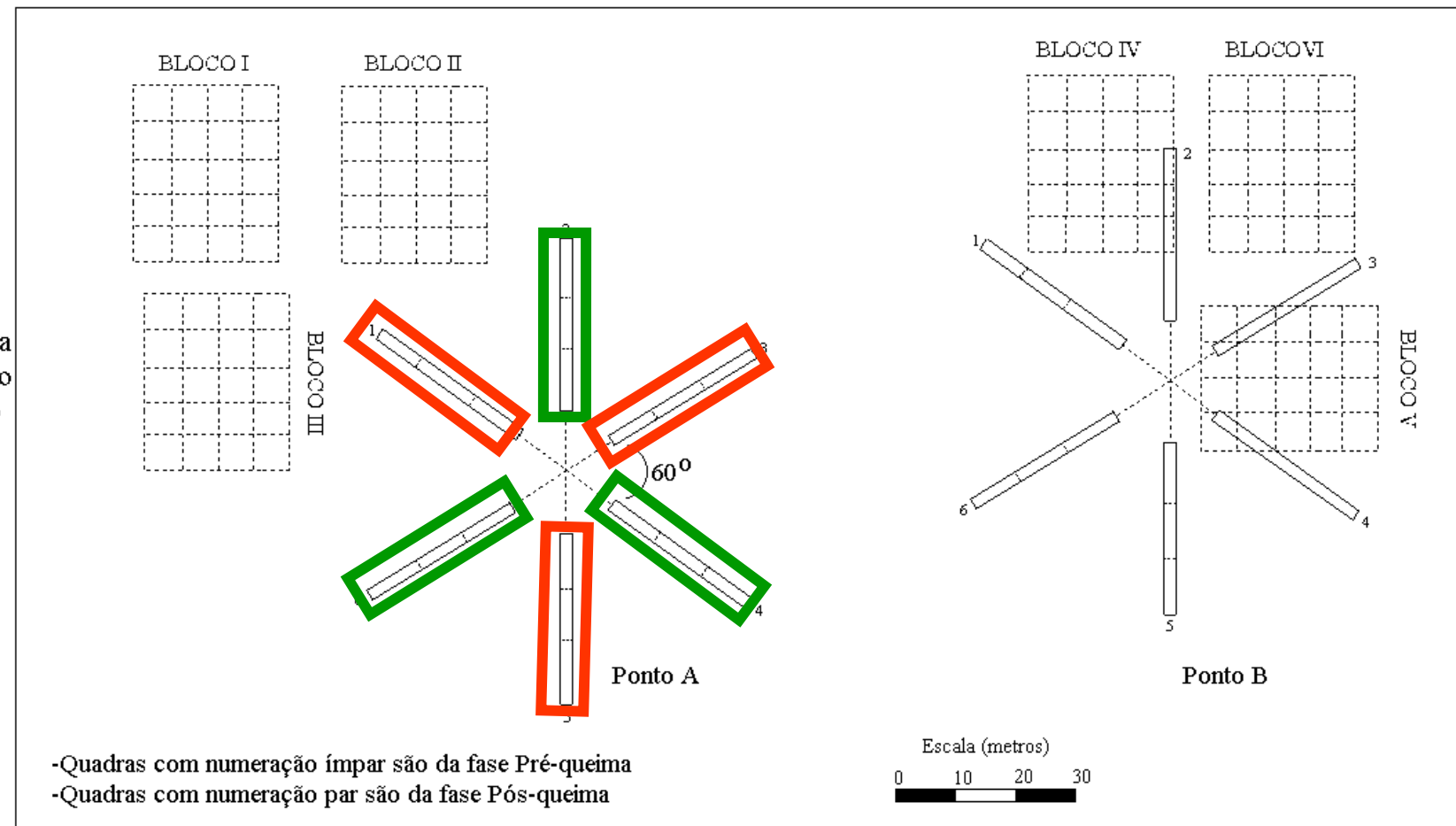


Weighing the biomass fractions in Feliz Natal – MT. Photo: Ciro A. Righi





Borda com a floresta



Borda com capoeira



Biomass residues after a burn in
Feliz Natal – MT,
Foto: Ciro A. Righi

Partial view of a dy-after burn
activity in Feliz Natal – MT.
Photo: Ciro A. Righi





Post-burn amostration ray in Feliz
Natal – MT. Foto: Ciro A. Righi



Charcoal scrapping which were cle
peaces in Feliz Natal-MT. Photo



View of a post-burn ray where the remaining biomass and charcoal formation were measured in Feliz Natal – MT. Photo: Ciro A. Righi



Partial view of the area with a tree totally burned in Feliz – MT. Photo: Ciro A. Righi





Matéria seca



Madeira

Cipós

Palmeiras

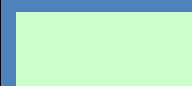
Liteira

Troncos
podres

0-5

5-10

>10 cm



306,5 t/ha

Antes da queima

Matéria seca



Madeira

Cipós

Palmeiras

Liteira

Troncos
podres

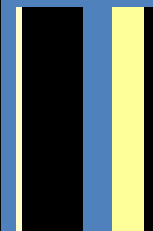
Carvão

Cinzas

0-5

5-10

>10 cm



196,6 t/ha

Após a queima

CARBONO



141,3 t C /ha

Antes da queima

CARBONO

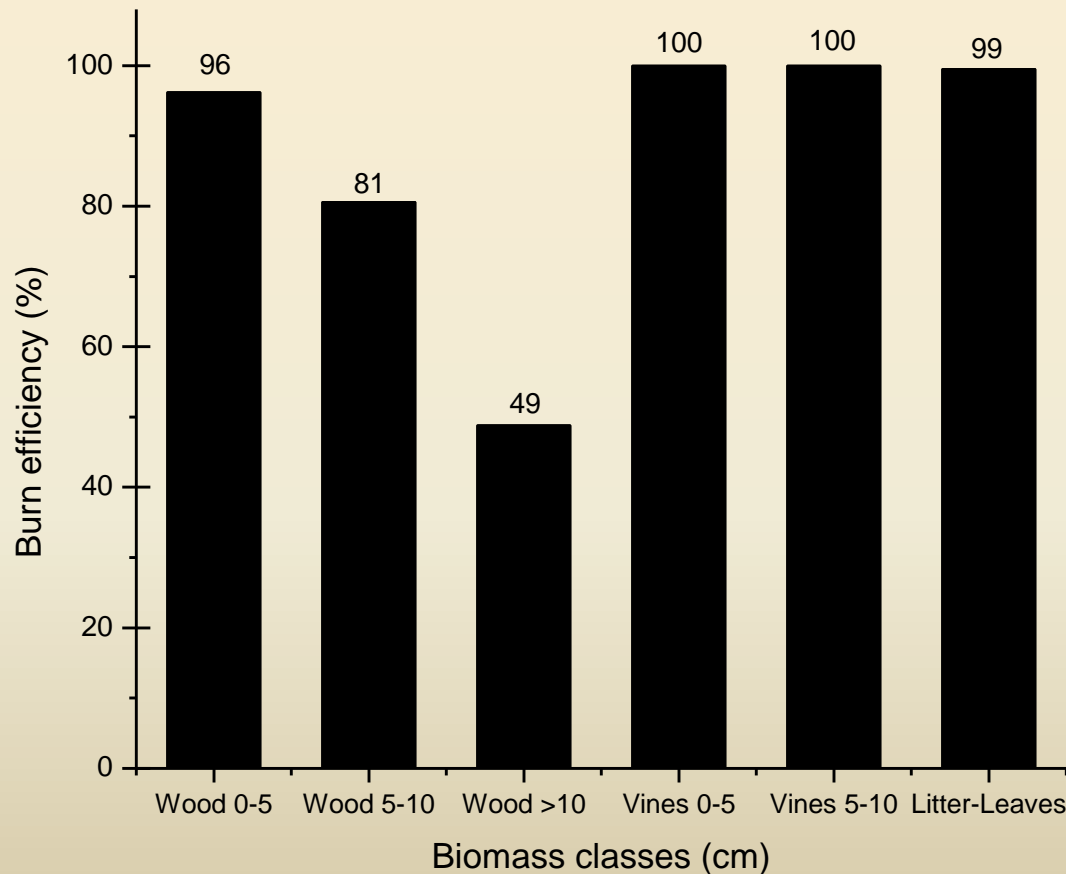


92,1
t C/ha

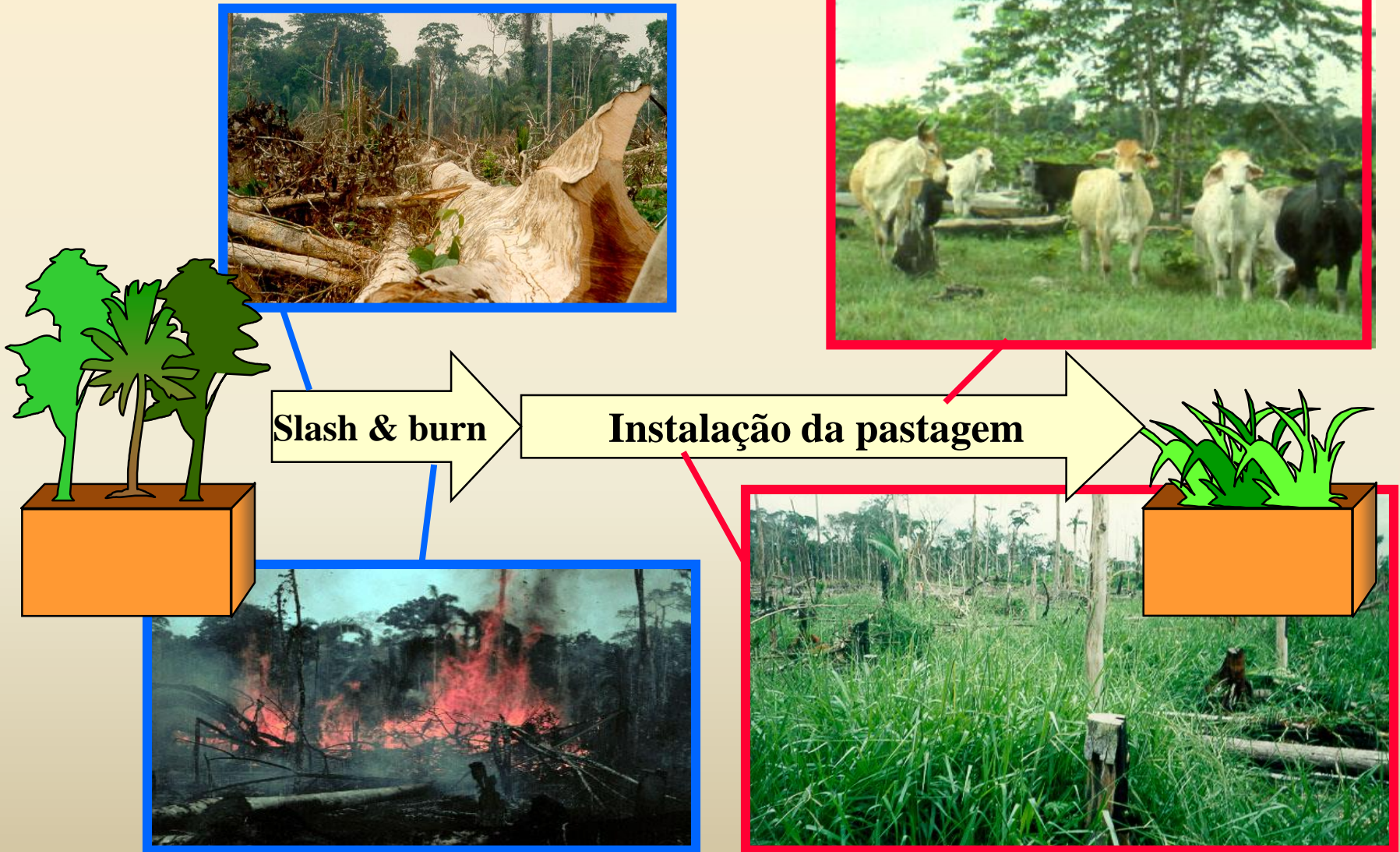
49,2
t C/ha

Eficiência da queima = 34.8%
Após a queima

Eficiência da queima (%)



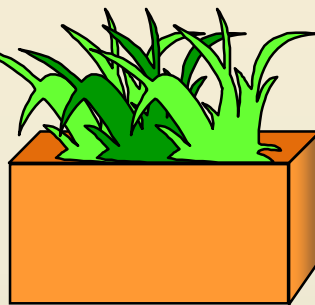
Conversão Floresta Amazônica em Pastagem



Conversão Floresta Amazônica em Pastagem



Mudança de estoque de C do solo na conversão da floresta Amazônica em pastagem



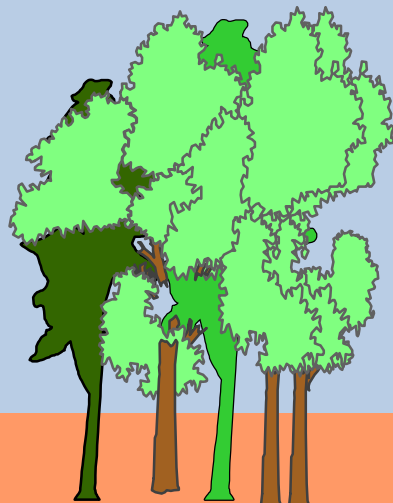
Instalação da Pastagem



Carbono kg m⁻²

Biomassa inicial

14.3



CO₂

4.9

8.9

Biomassa
remanescente

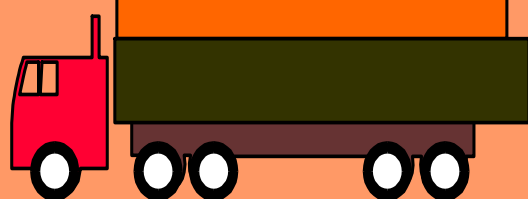


Corte

Queima

Carvão e Cinzas

0.5

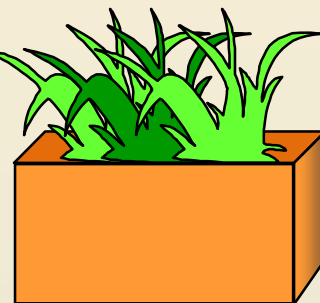


1 árvore/ha = 1.35*

Balanço de Carbono = Estoques + Fluxos + Outros



**Estoque de C no
sistema solo-planta**



Instalação da Pastagem



Fluxo de Gases

Amostragem do solo



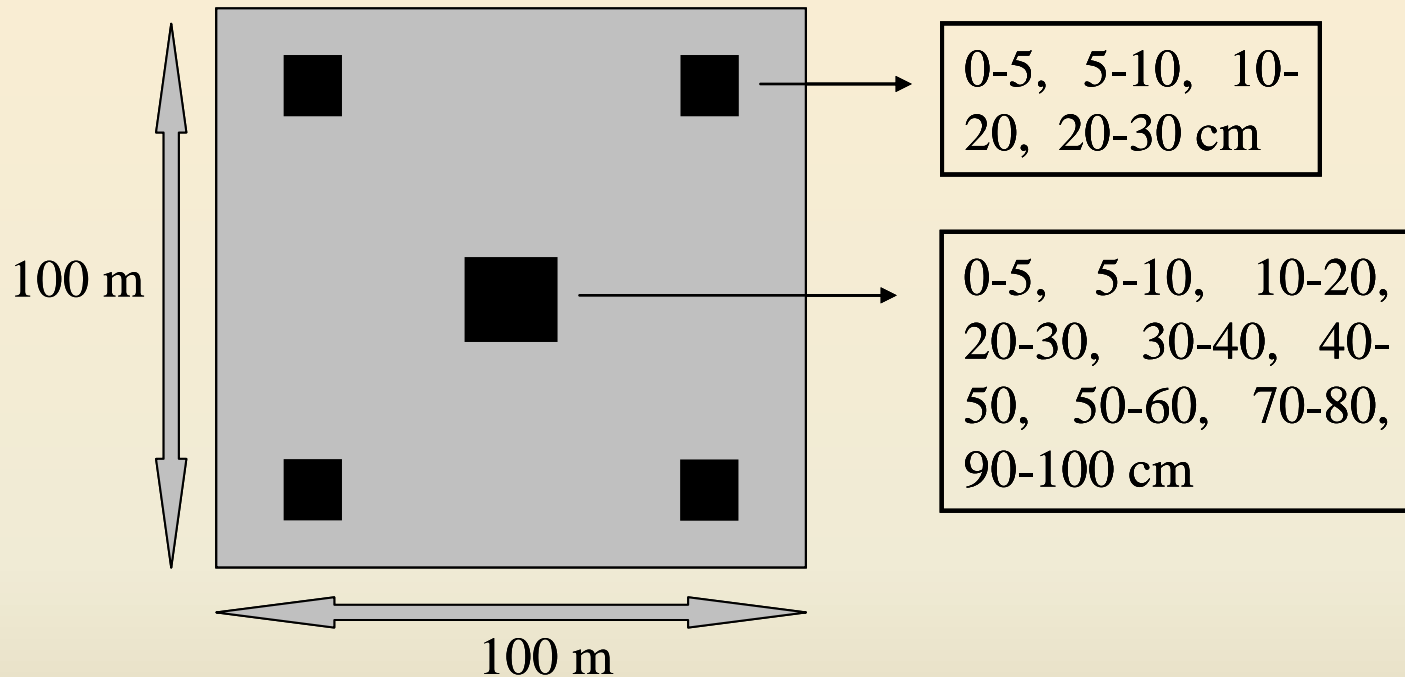
Densidade



cm



Esquema de amostragem do solo

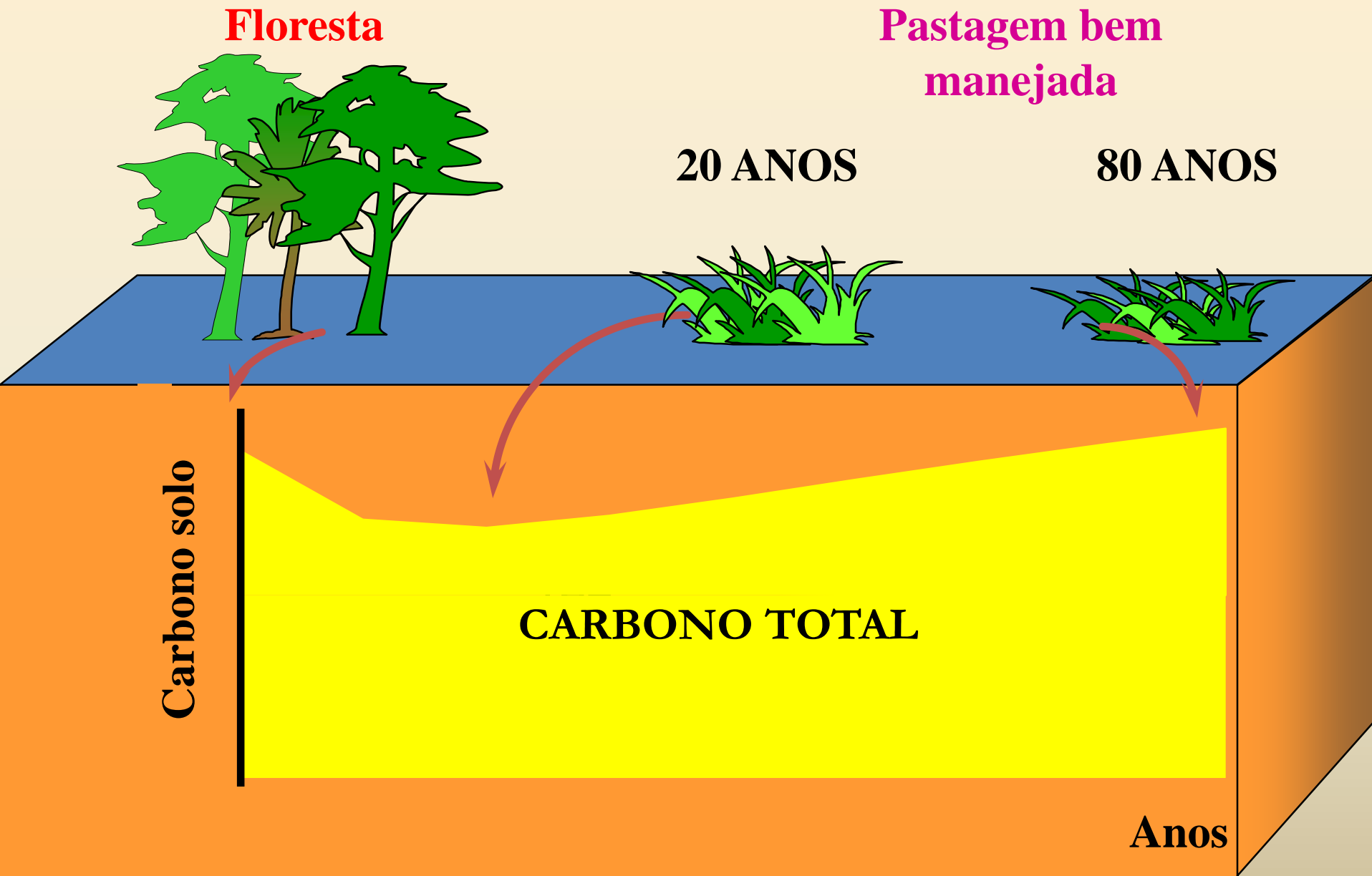


Preparo das amostras de solo



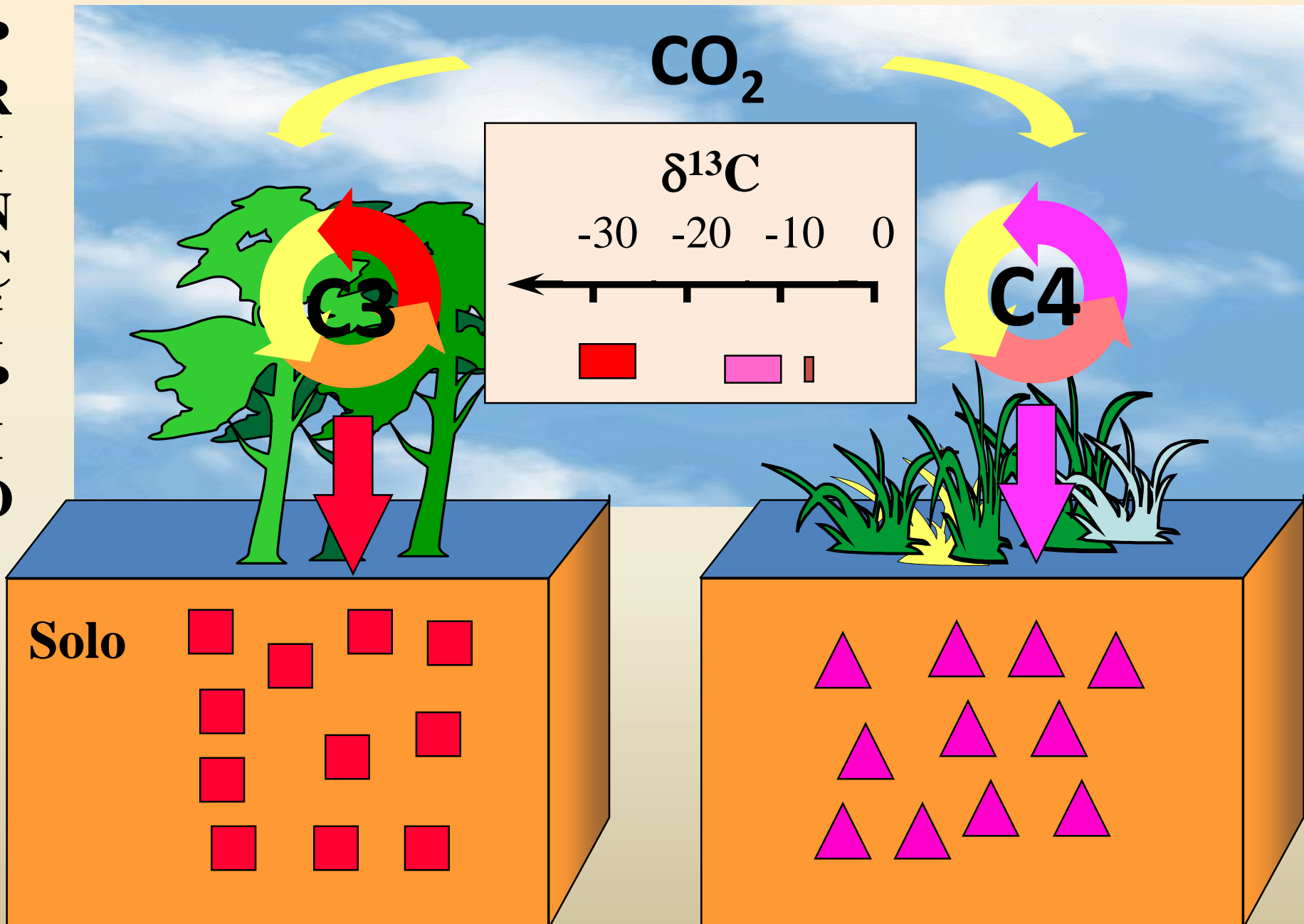
Determinação do C e N





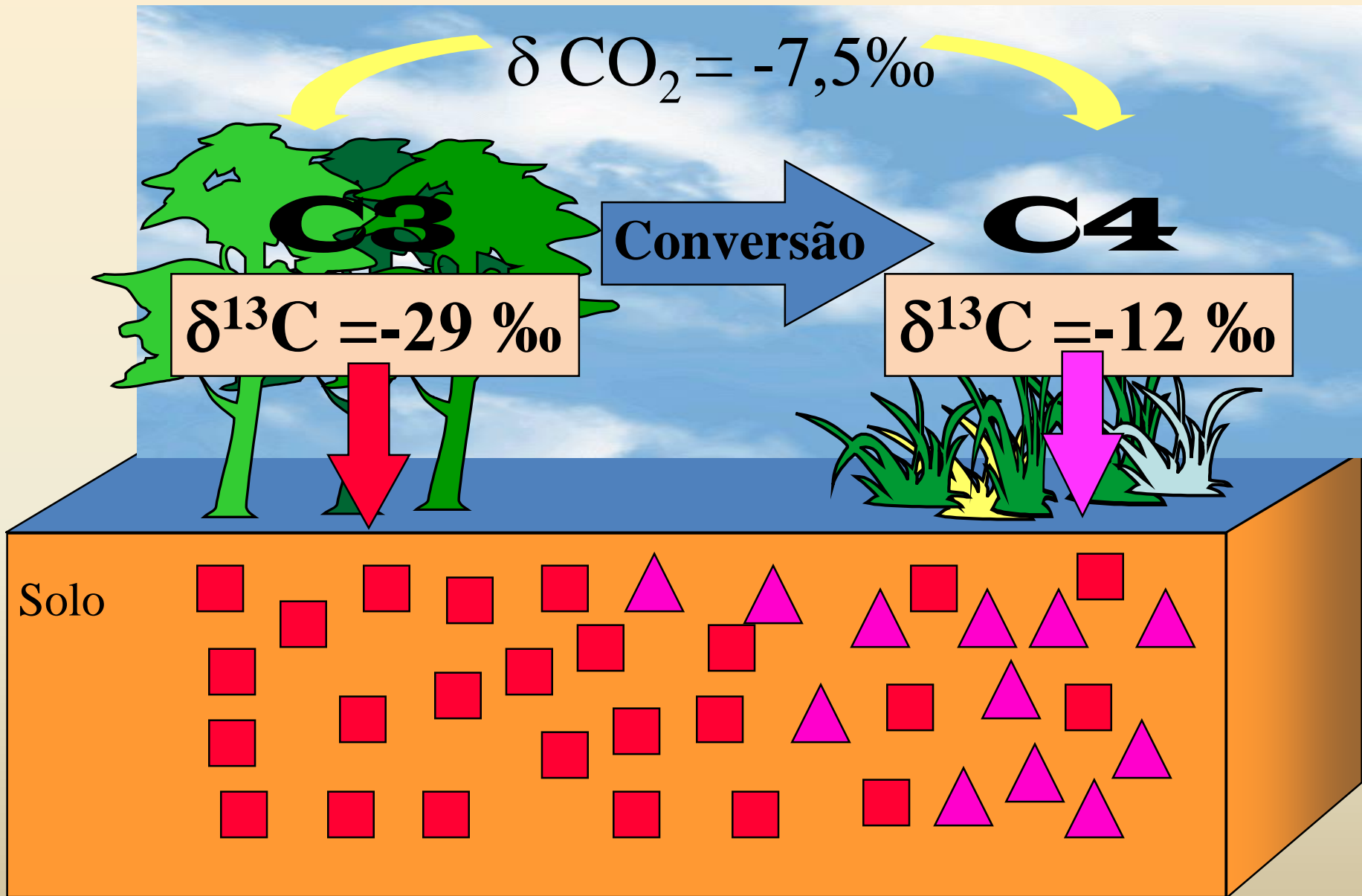
Origem do carbono do solo

P
R
I
N
C
Í
P
I
O



Origem do carbono do solo

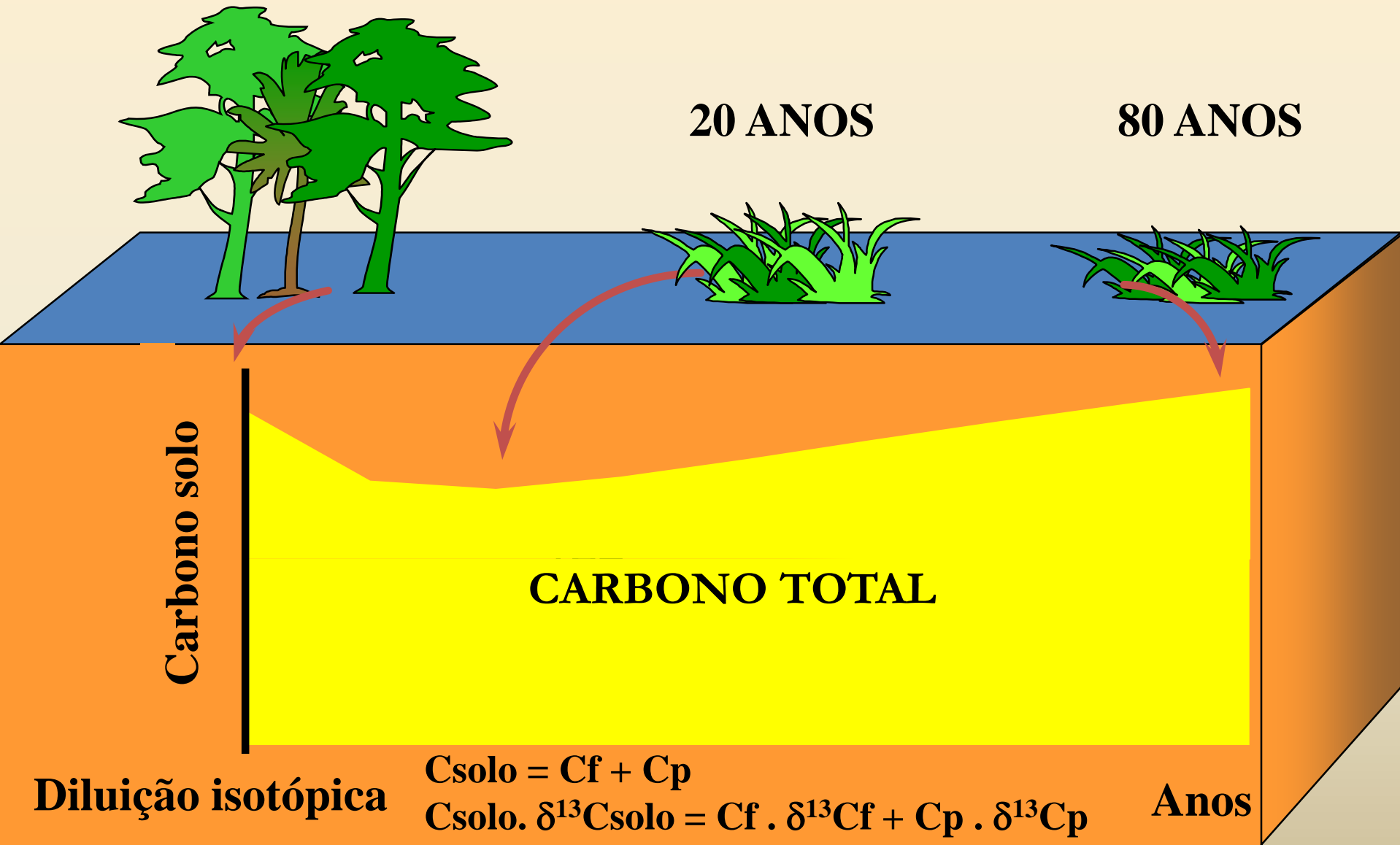
P
R
I
N
C
Í
P
I
O



Origem do carbono do solo

Floresta (C3)

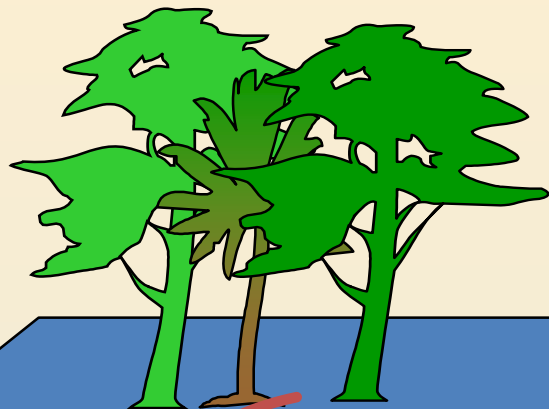
Pastagem bem manejada (C4)



Origem do carbono do solo

Floresta (C3)

$\delta^{13}\text{C} = -29 \text{ ‰}$

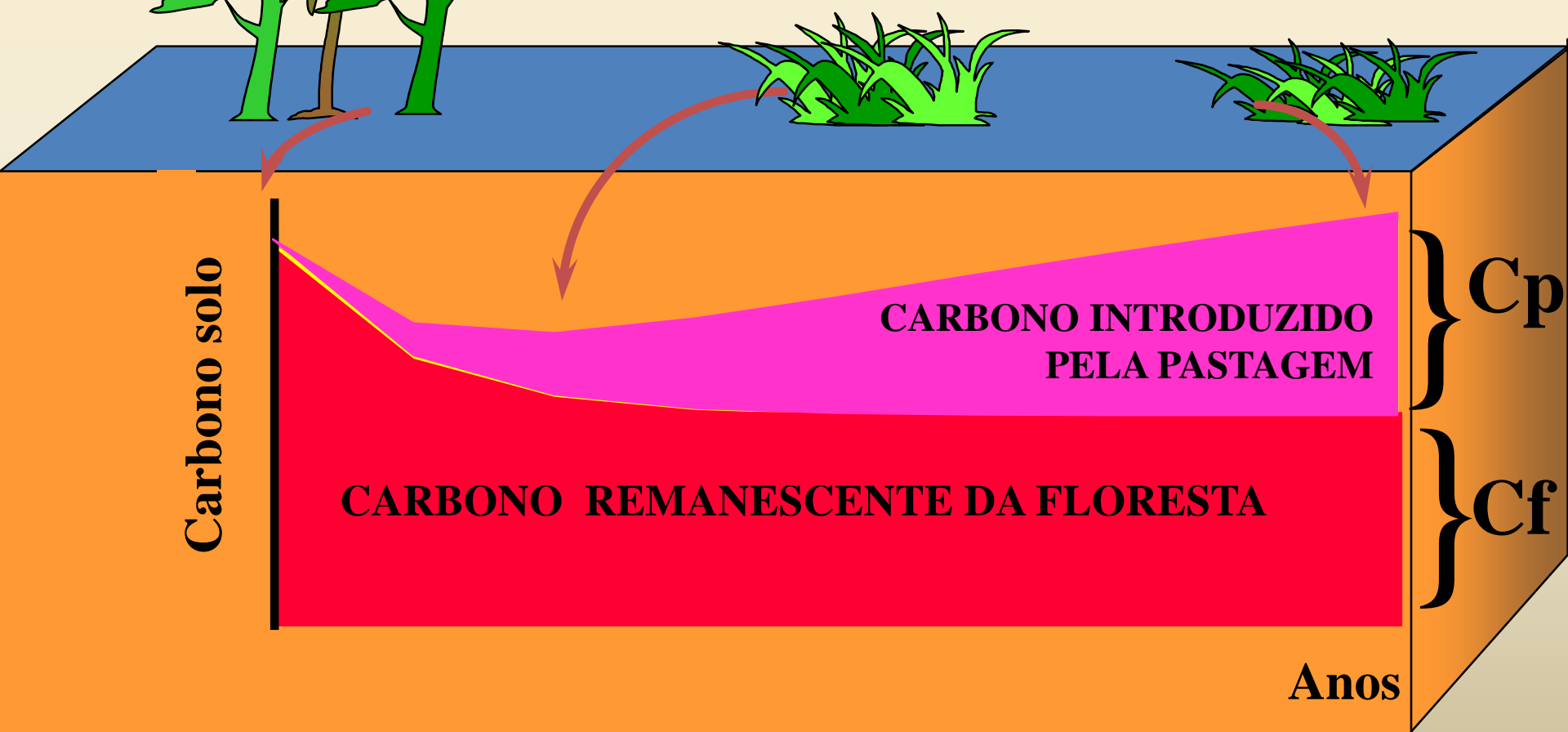


Pastagem bem manejada (C4)

$\delta^{13}\text{C} = -14 \text{ ‰}$

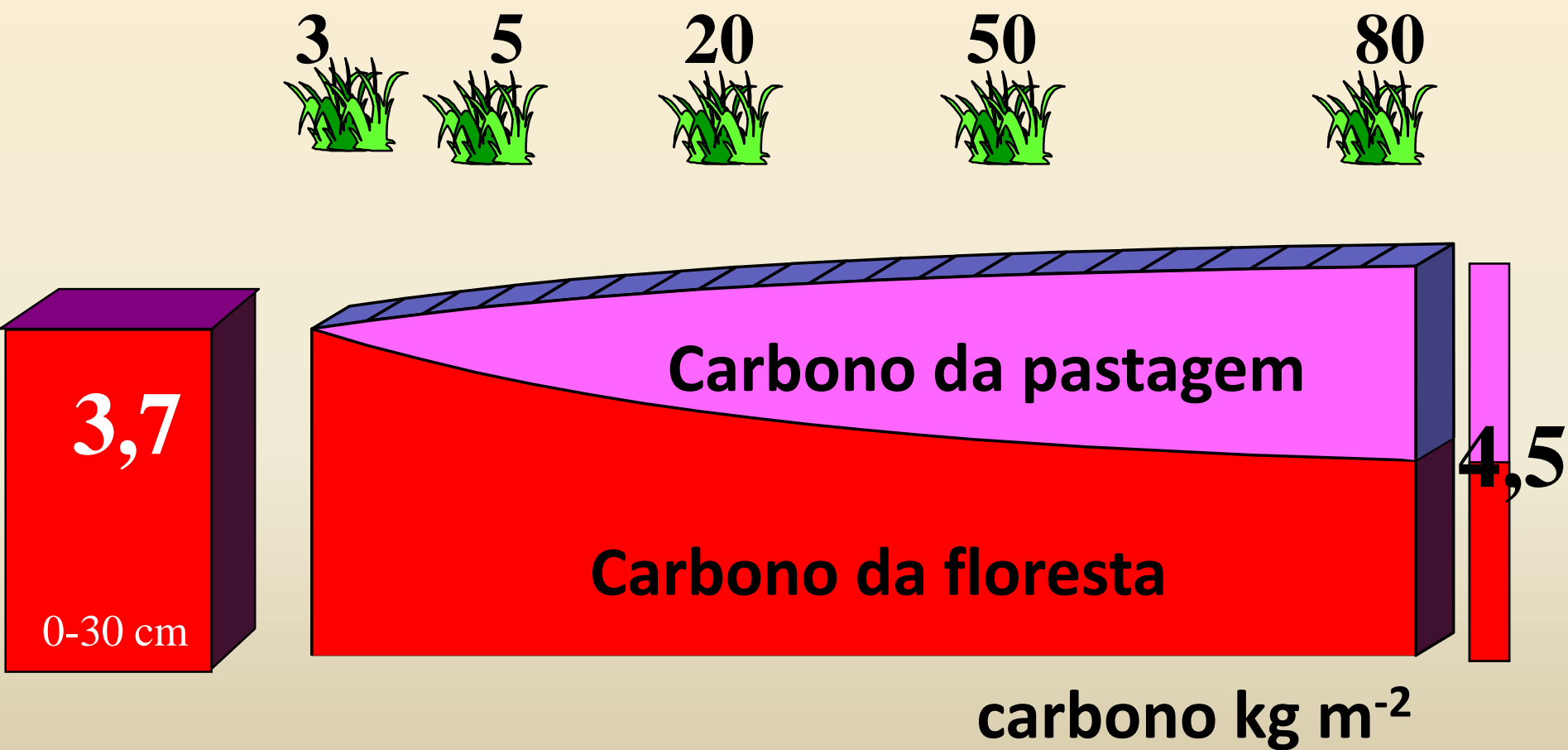
20 ANOS

80 ANOS



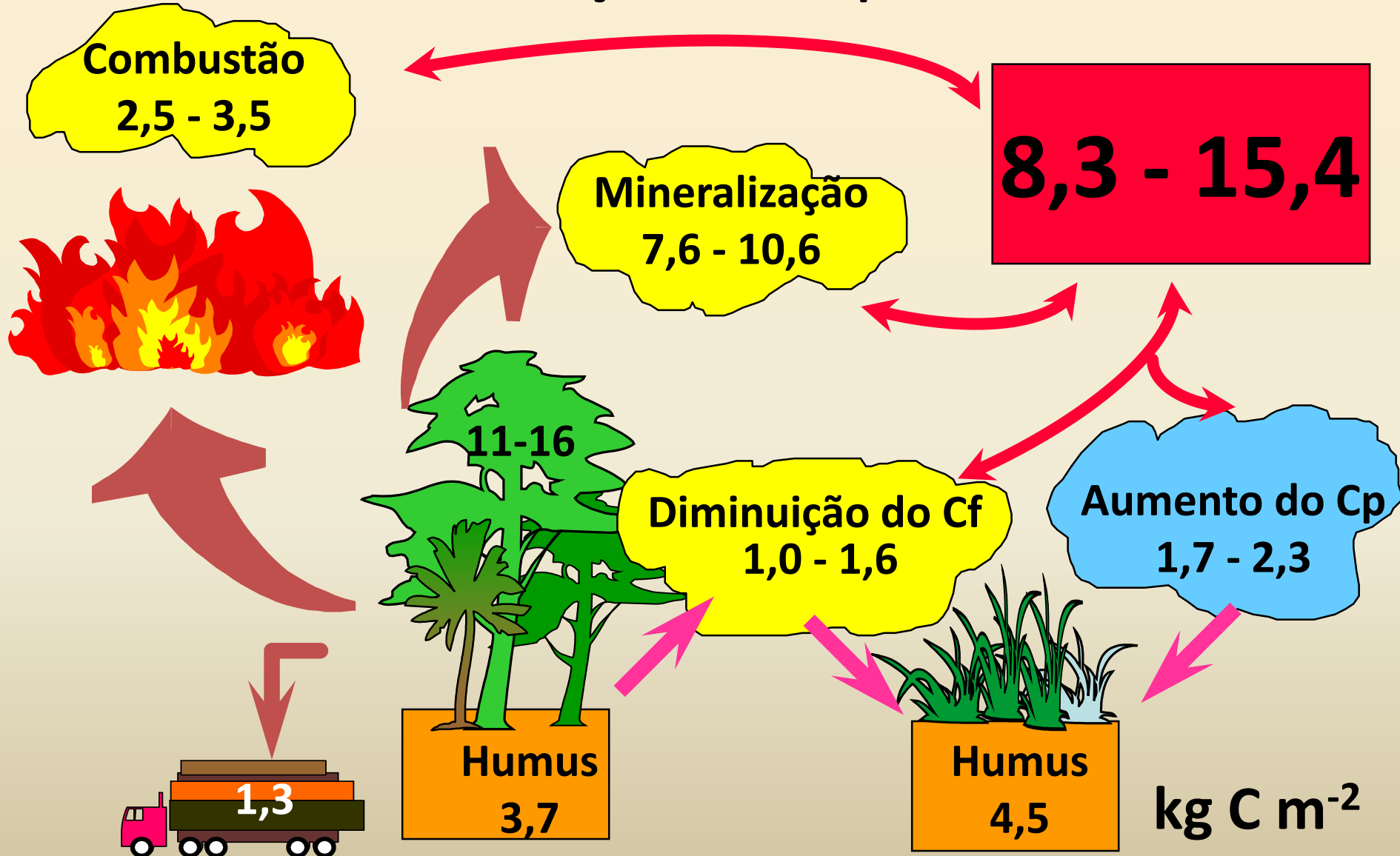
Origem do carbono do solo

Idade da pastagem (anos)



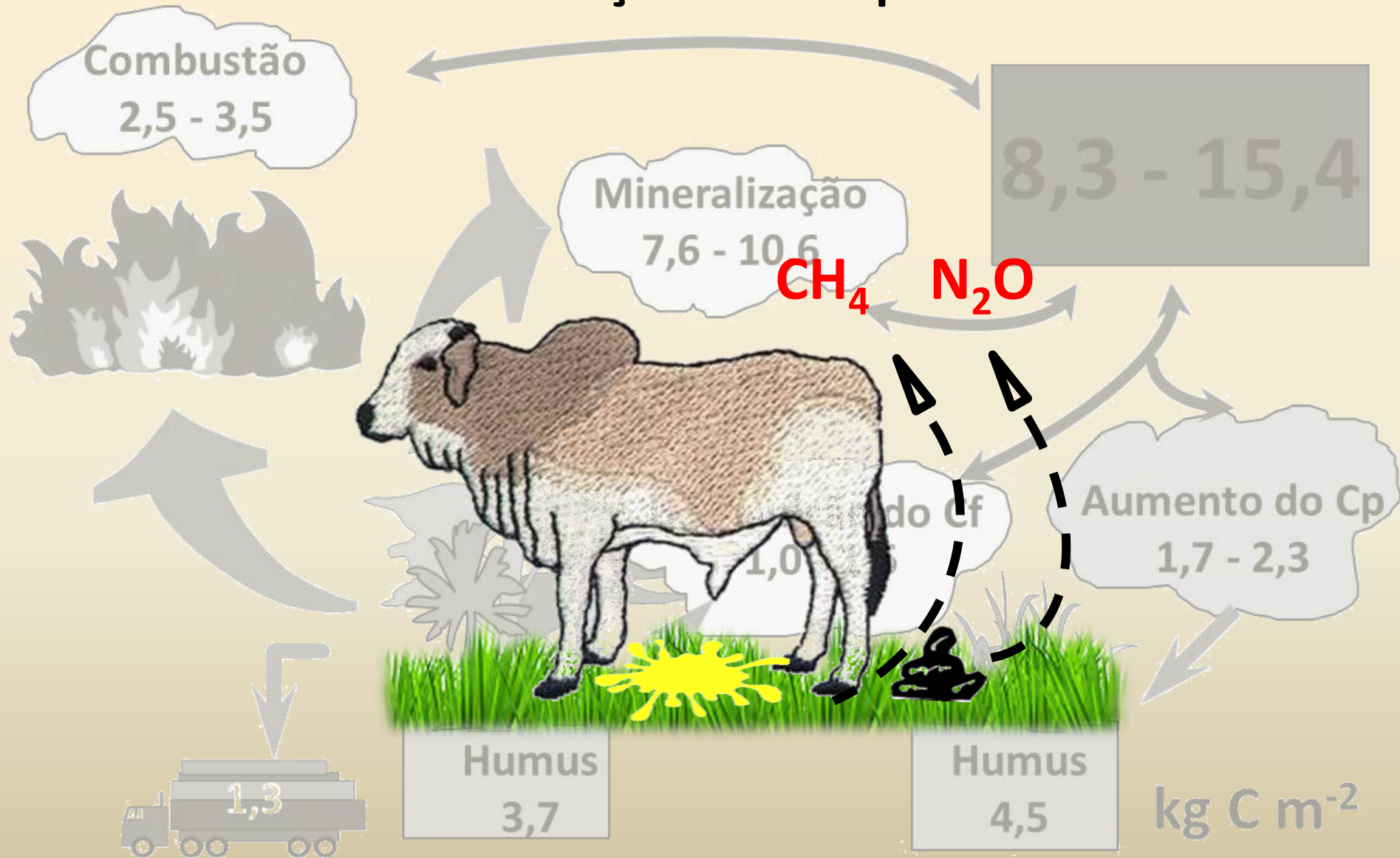
Dinâmica do carbono na conversão floresta/pastagem

Mudanças de Estoques



Dinâmica do carbono na conversão floresta/pastagem

Mudanças de Estoques



Avaliação do estoque de C no solo e fluxo de GEE na mudança de uso da terra no Brasil

Conversão de vegetações nativas em agricultura

Floresta Amazônica em pastagens

Floresta Amazônica em palma (dendê)

Cerradão em soja

Caatinga em agricultura

Conversão de pastagens plantadas em agricultura

Pastagem em soja e outras culturas

Pastagem em cana-de-açúcar

Culturas oleaginosas para produção de biodiesel



soja



girassol



mamona



dendê

Produtividade (kg ha^{-1})

3.000

1.600

1.500

20.000

Produção de óleo ($\text{L ha}^{-1} \text{ano}^{-1}$)

540

800

750

4.000

Fonte: CONAB

Clima: Afi

Precipitação annual : 2.500 mm

Temperatura média: 26,6 °C



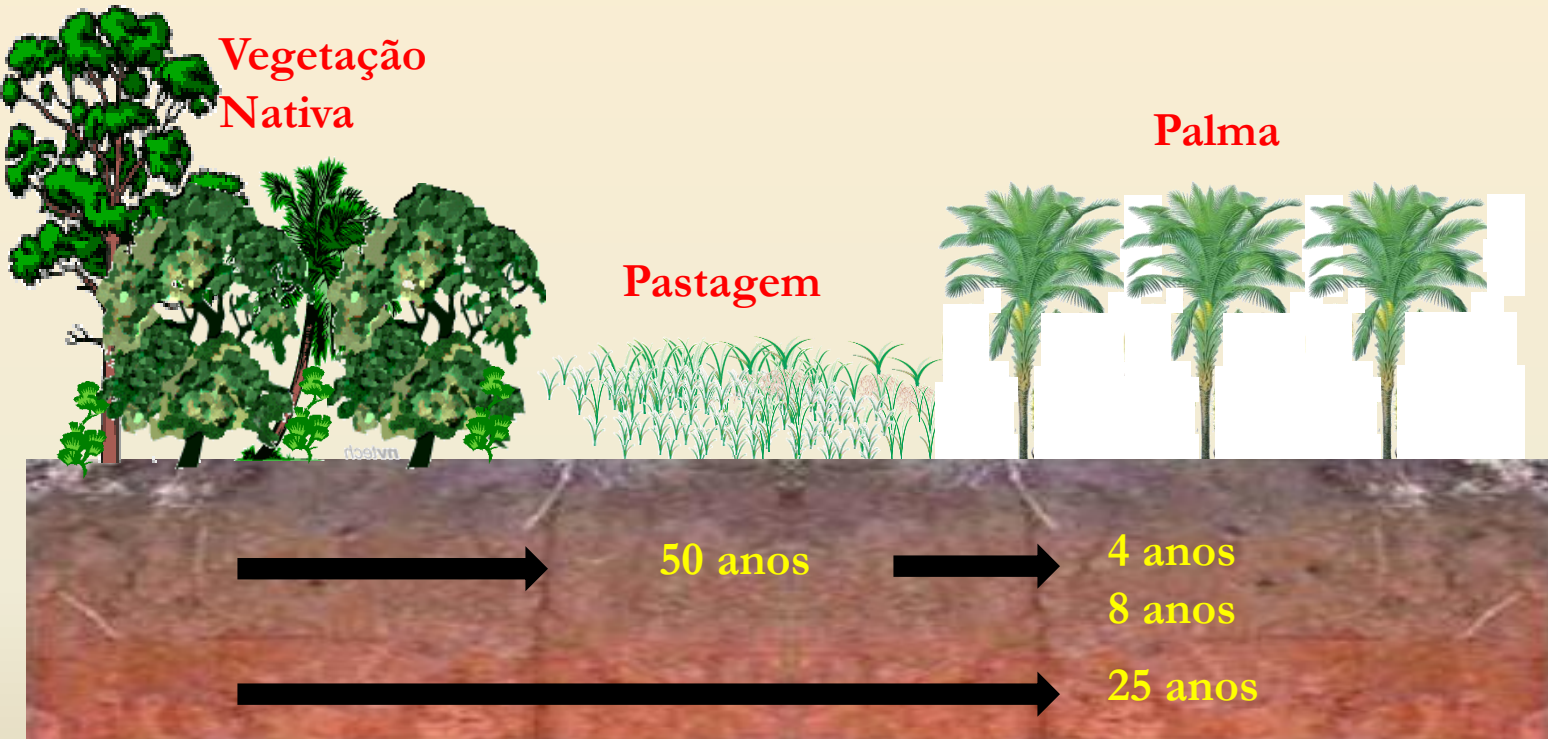
Tailândia

Fazenda Agropalma

48°46'W

2°27'S

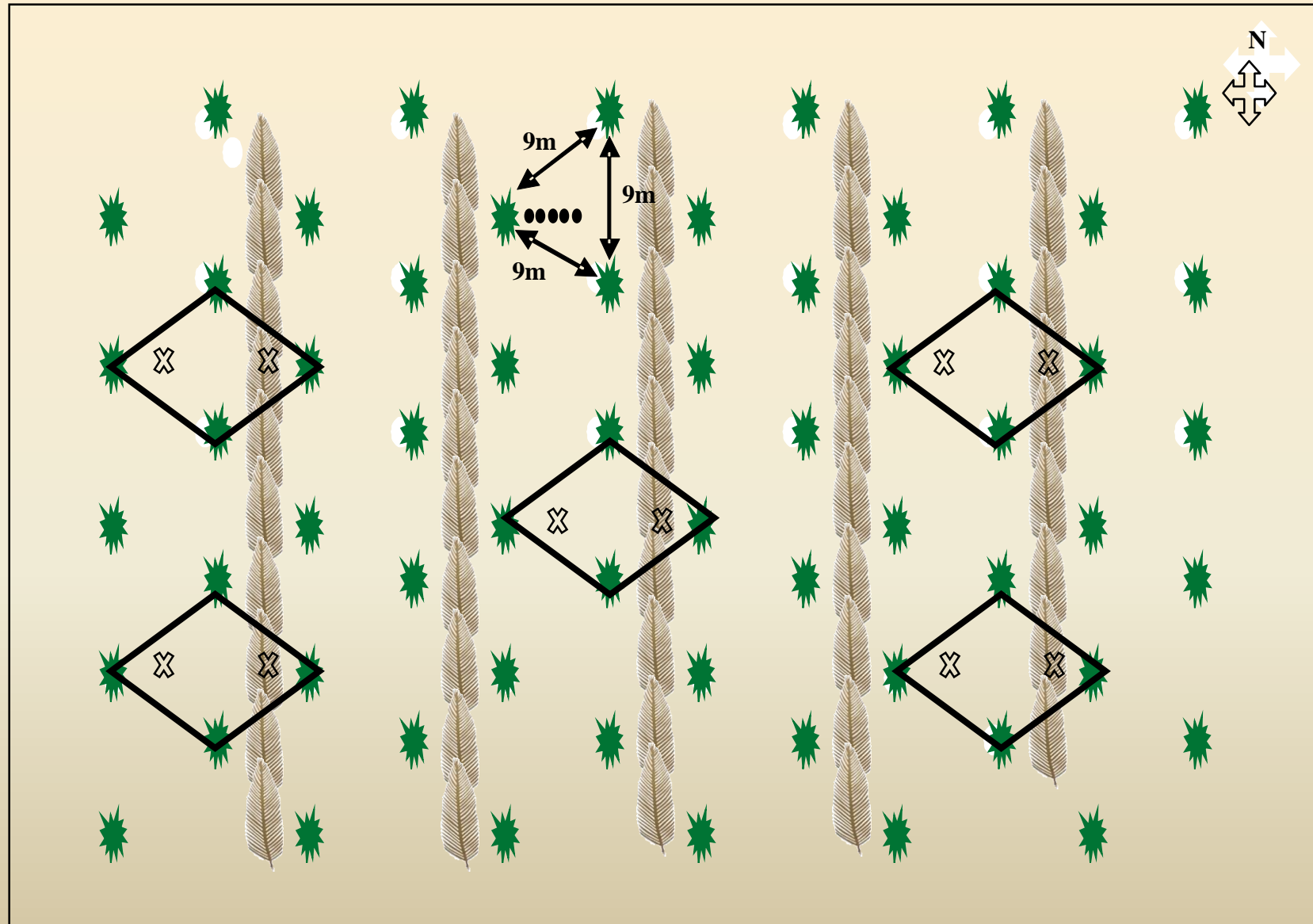
Mudança de uso da terra na região Amazônica



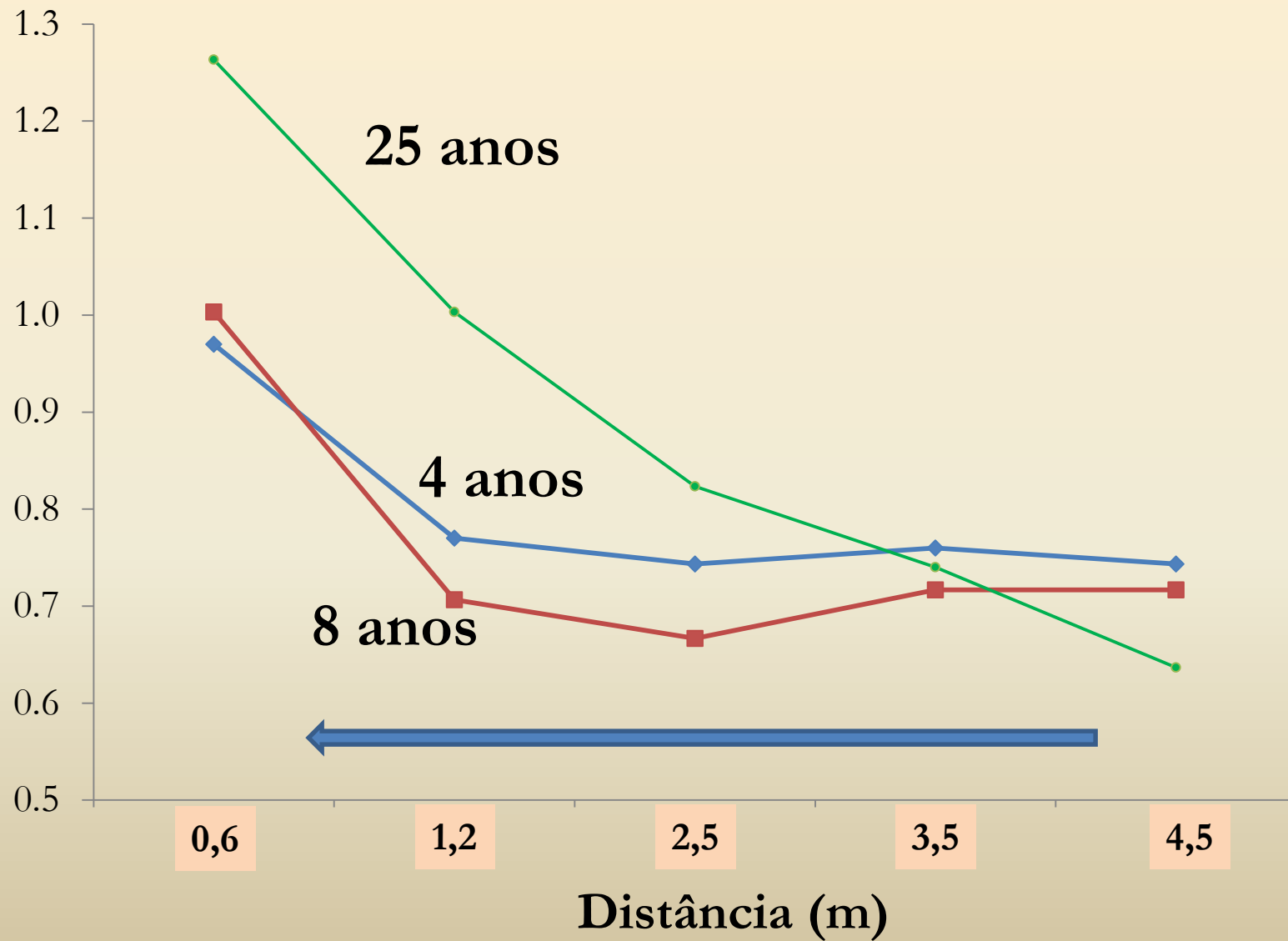
Determinação { variabilidade espacial do C do solo
os estoques de C do solo em área total



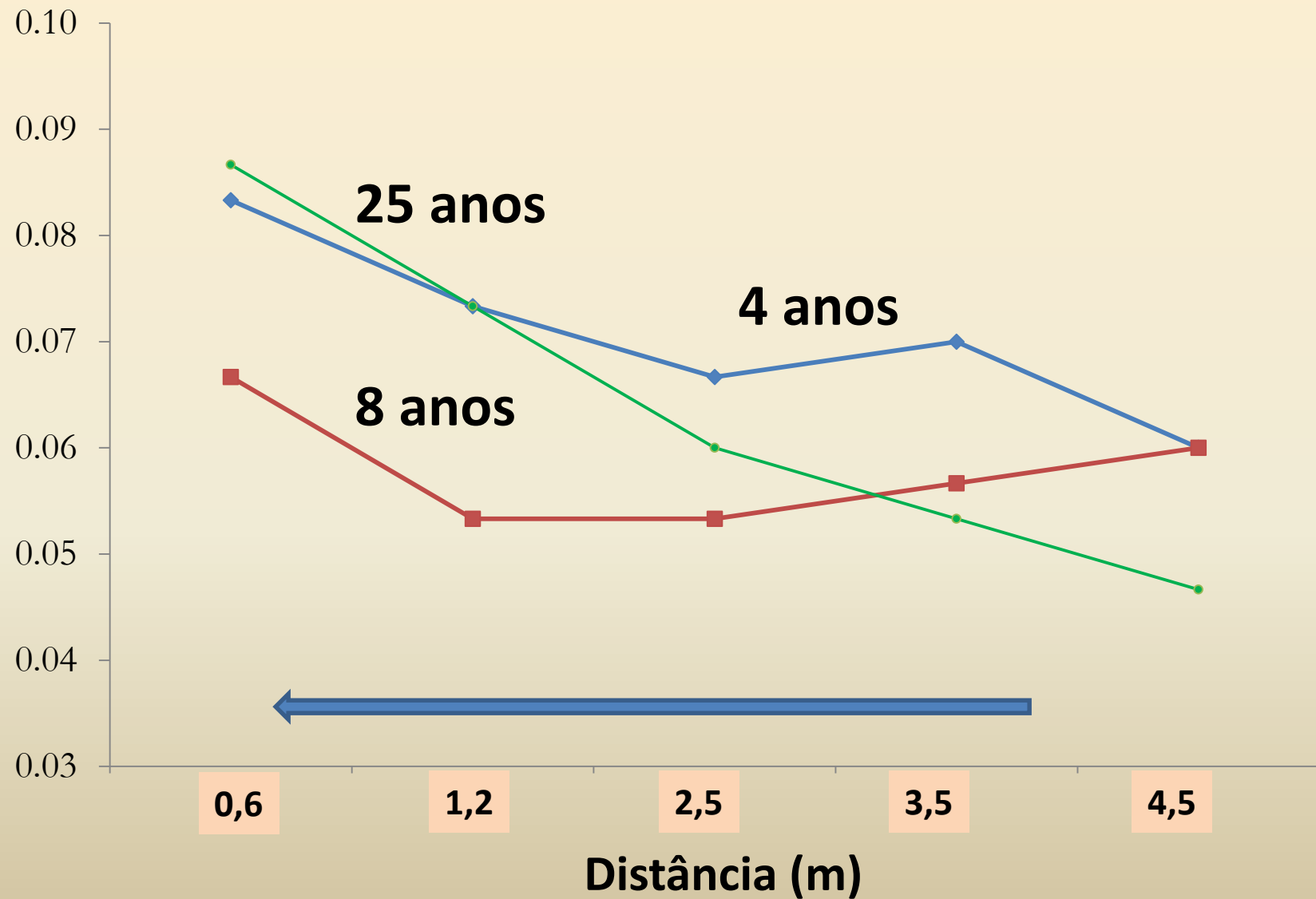
Amostragem do solo em áreas de cultivo comercial



Teor de C (%)

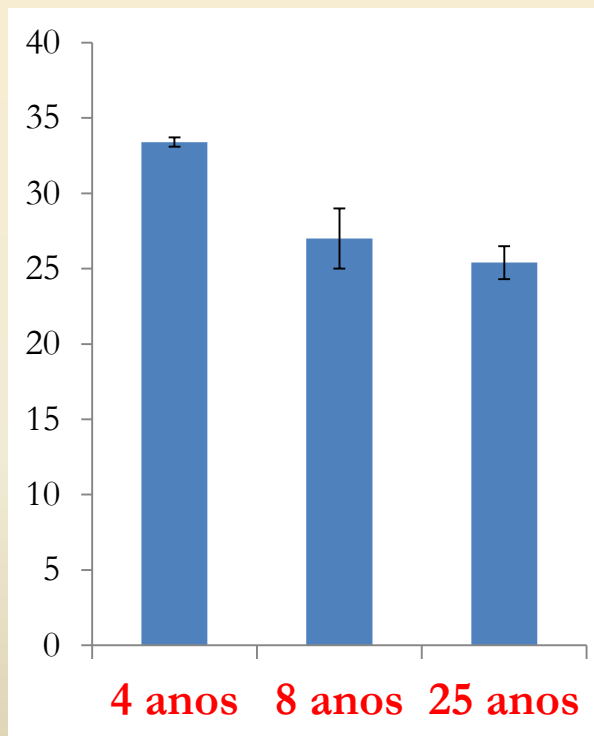


Teor de N (%)

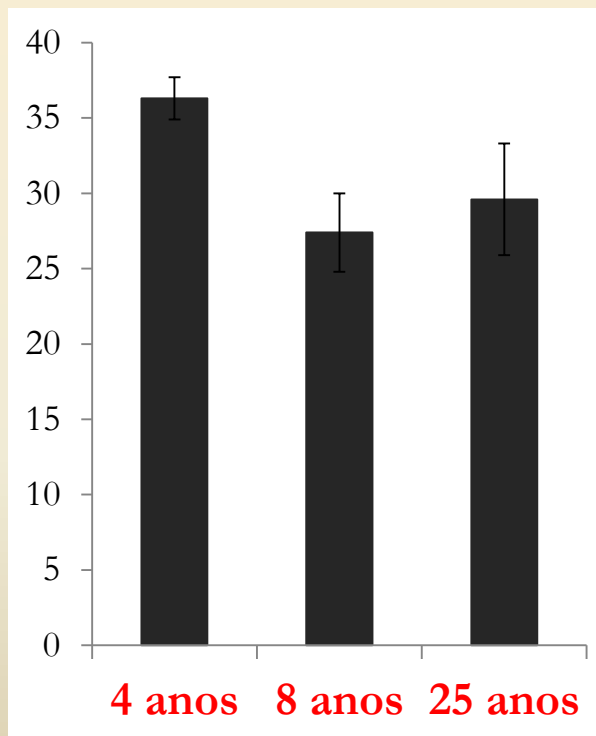


Estoques de C do solo Mg ha⁻¹

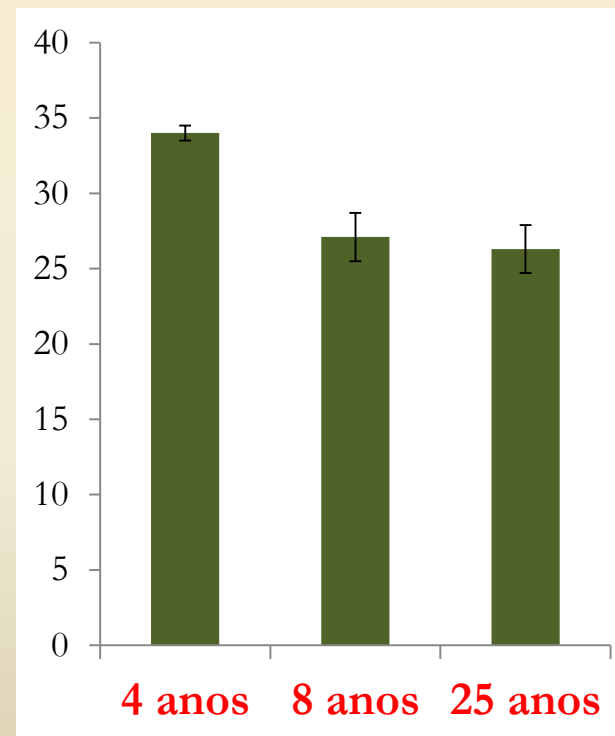
RUA LIMPA



LEIRAS

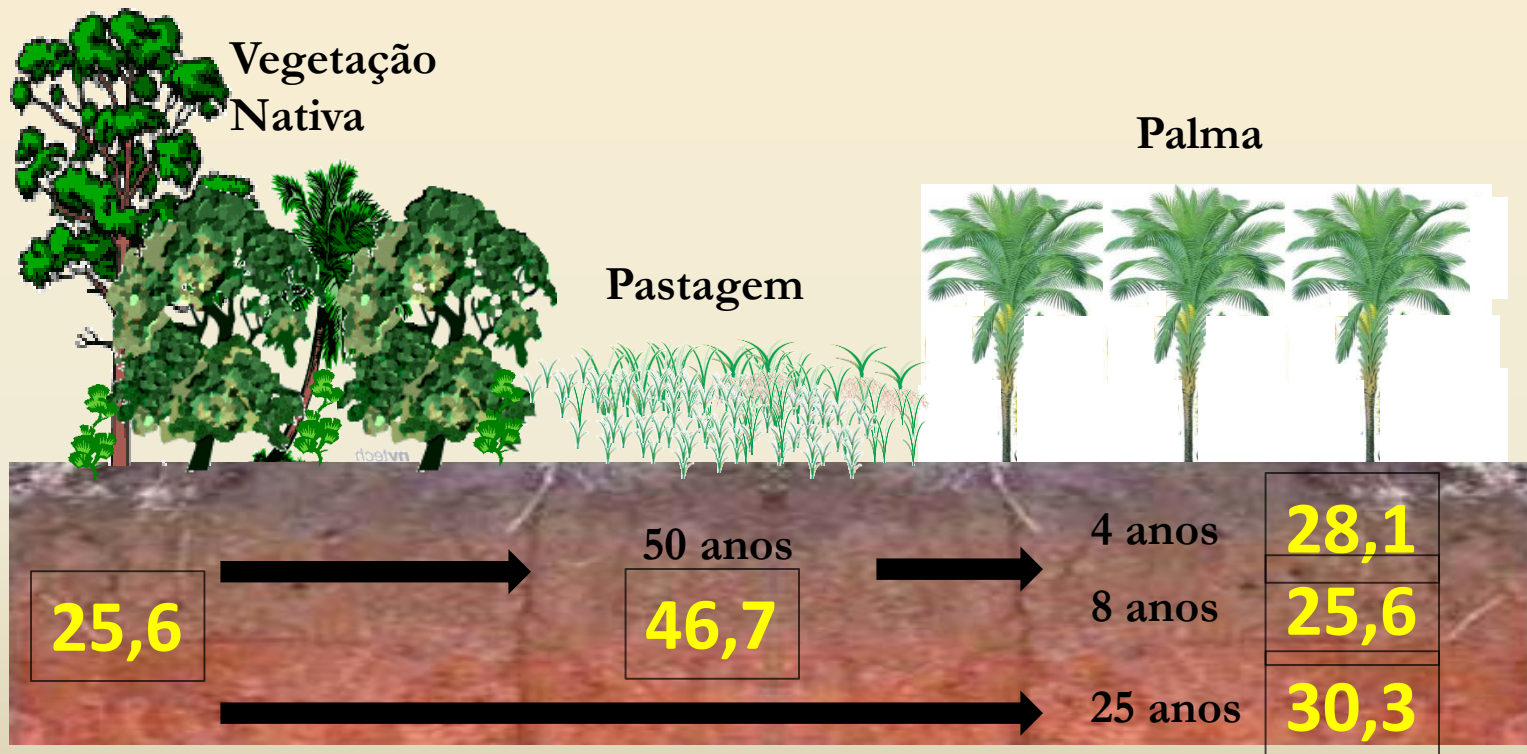


ÁREA TOTAL



Estoques de C do solo Mg ha⁻¹

0-30 cm



Avaliação das emissões de GEE nas diferentes fases de cultivo

Viveiro
12 meses



Início da produção
3 anos



Adulta
Após 3 anos



Principais emissões de GEE pelo solo

Viveiro



DOSES

- 1 - Controle
- 2 - 0,25 kg/ ha
- 3 - 0,77 kg/ ha

Principais emissões de GEE pelo solo

Início da produção



DOSES

1 - Controle

2 - 15,4 kg/ ha

Principais emissões de GEE pelo solo



DOSES

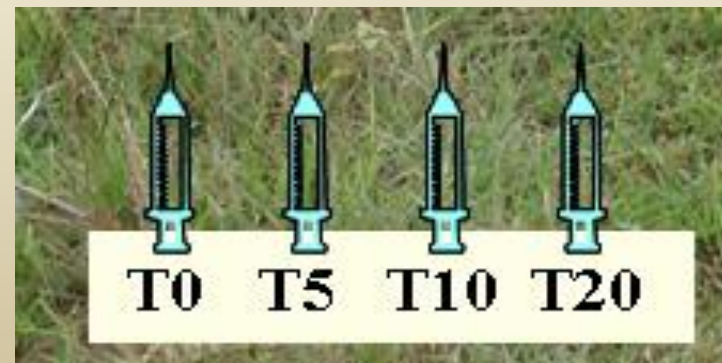
- 1 - Controle
- 2 - 24 kg/ ha
- 3 - 51 kg/ ha
- 4 - 69 kg/ ha

Principais emissões de GEE pelo solo

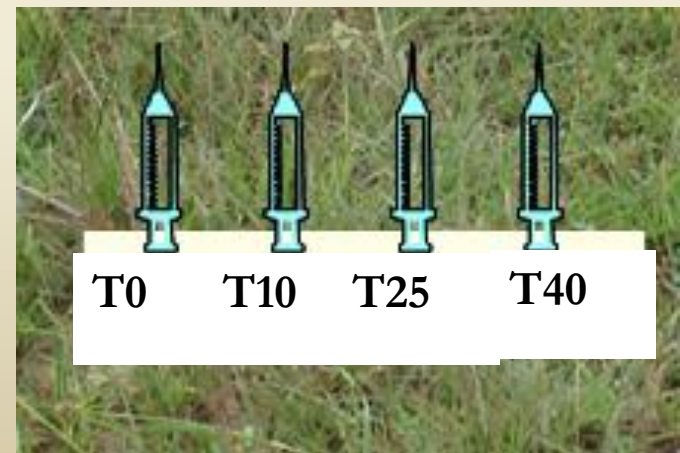
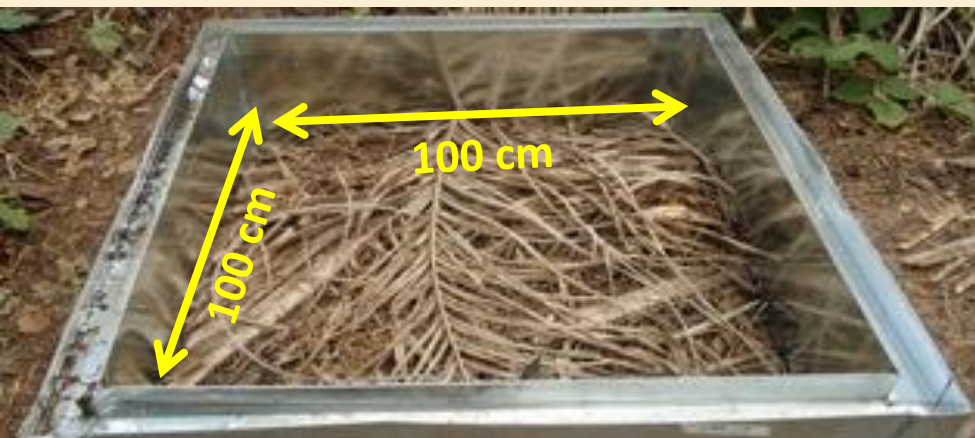
Leira



Determinação das emissões de GEE pelo solo



Determinação das emissões de GEE pelo solo



Emissões

N_2O

CO_2

CH_4

Fase da planta

Viveiro

Plantio Jovem

Plantio Adulto

Fertilizante

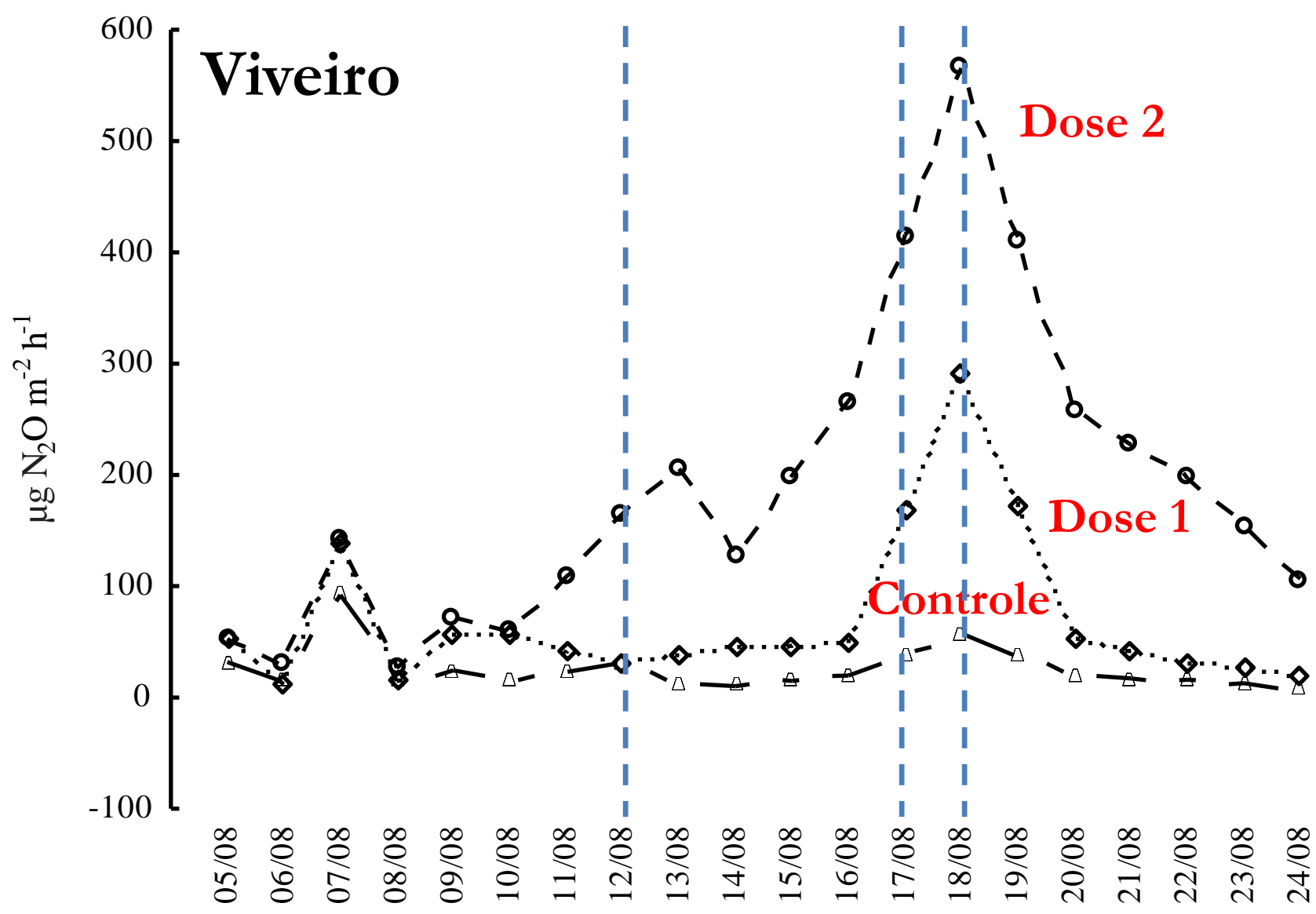
Dose 1

Dose 2

Dose 3

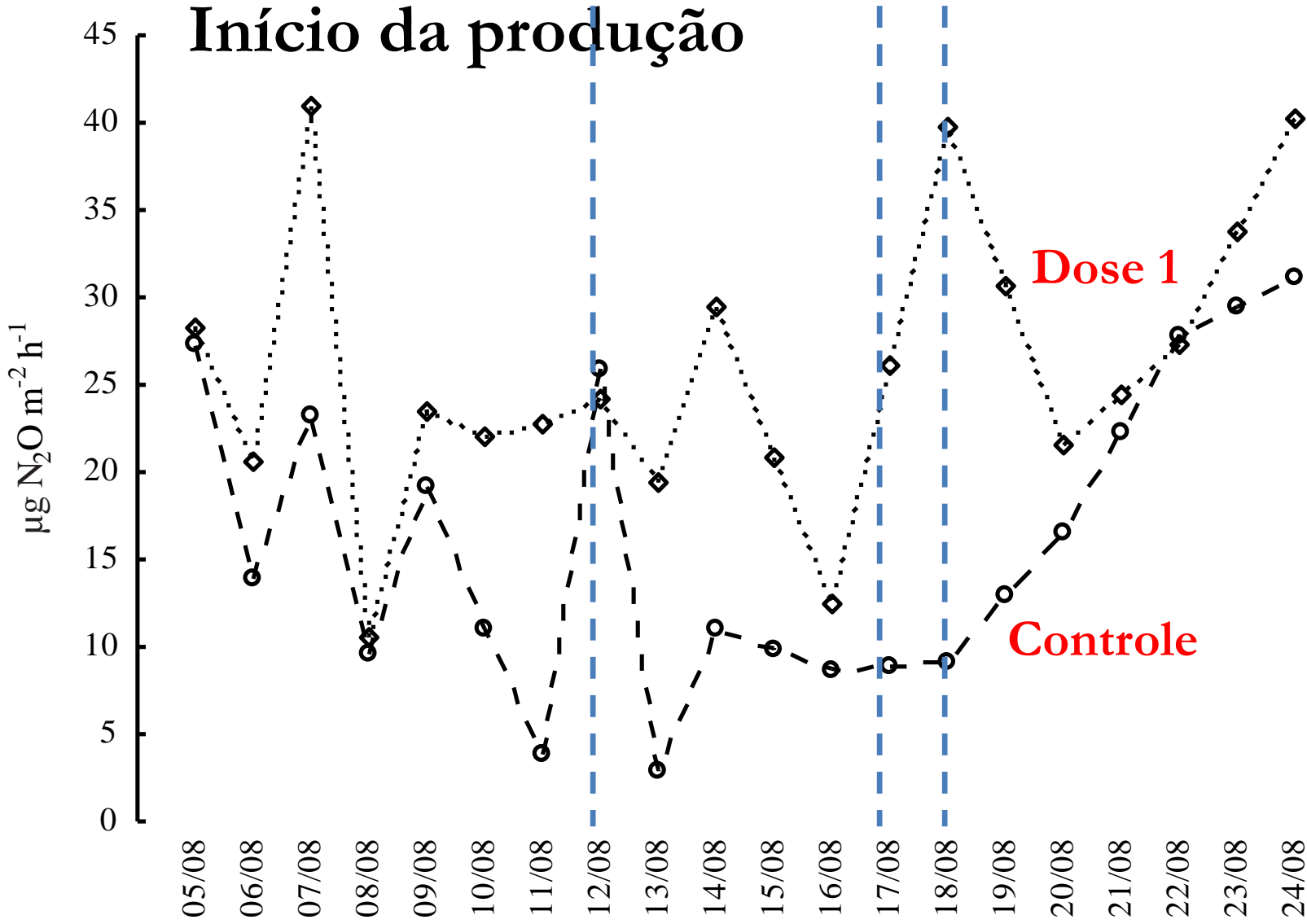
Controle

N₂O



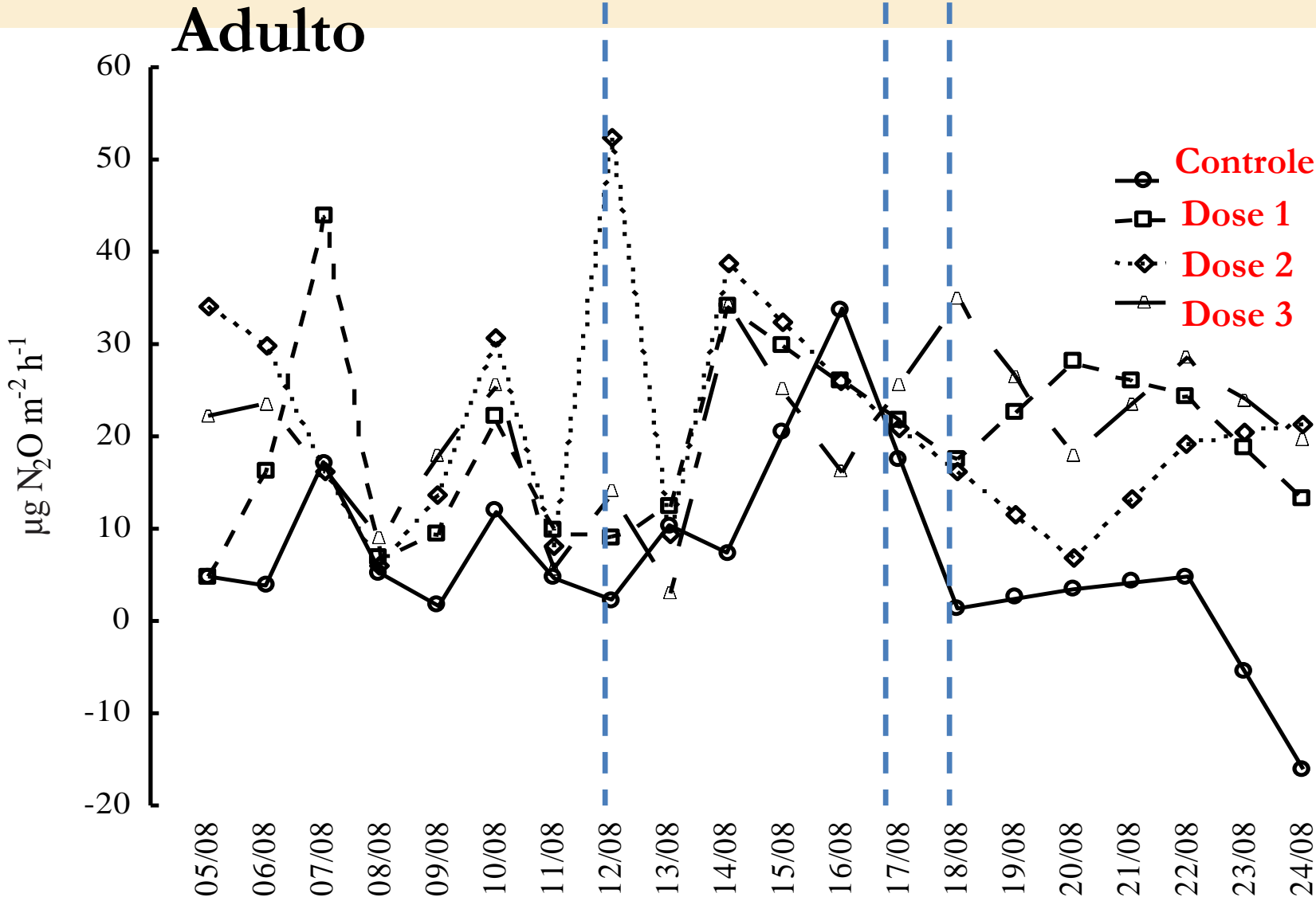
N₂O

Início da produção



N₂O

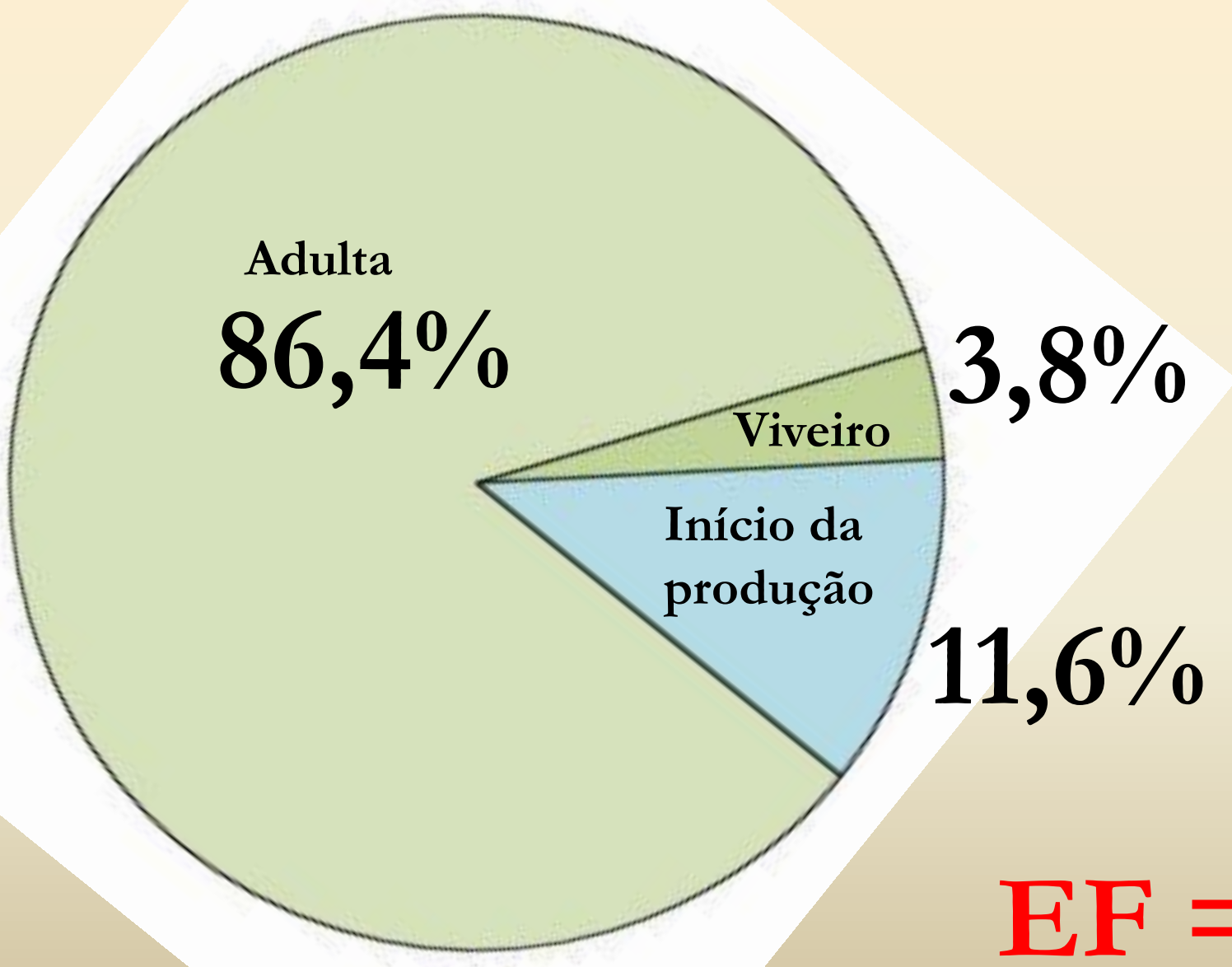
Adulto

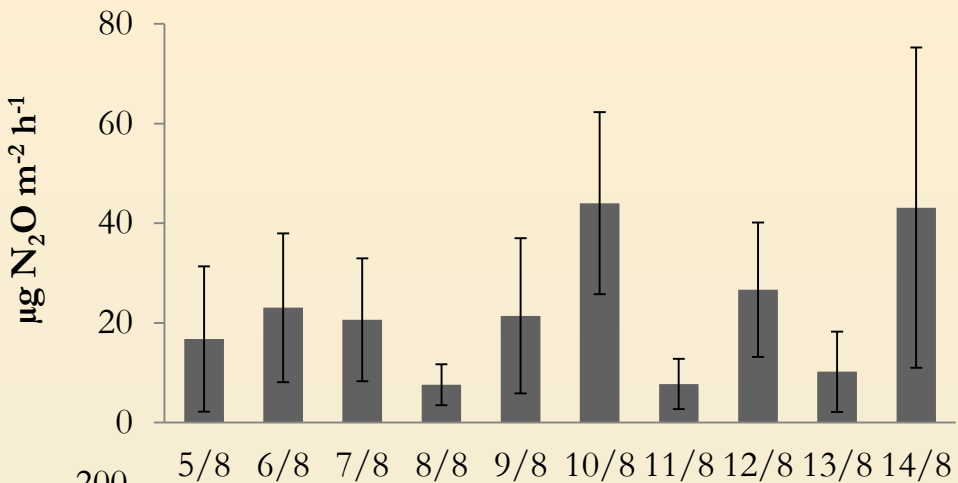


Fator de emissão

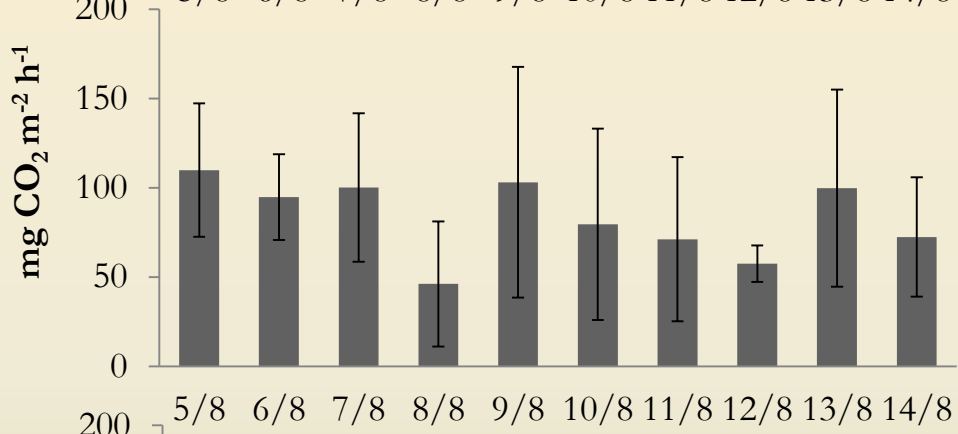
Fase	N kg ha ⁻¹	Fator de emissão (%)
VIVEIRO	0,25	6,38
	0,77	7,95
JOVEM	15,4	0,60
	24,0	0,50
ADULTO	51,0	0,24
	69,0	0,21

Participação de cada fase do ciclo da palma (dendê) no cálculo do fator de emissão

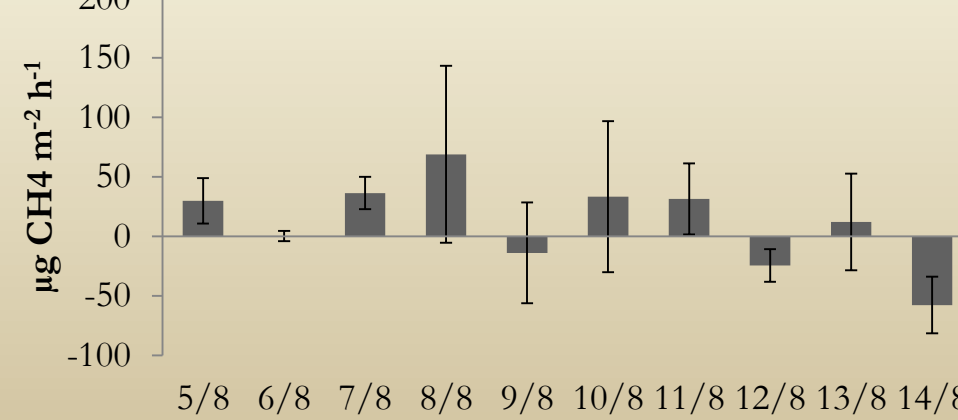




$22,1 \pm 13,1$
 $>$ Controle



$83,5 \pm 21,4$
 $>$ Controle



$11,6 \pm 35,5$
 $=$ Controle

Avaliação do estoque de C no solo e fluxo de GEE na mudança de uso da terra no Brasil

Conversão de vegetações nativas em agricultura

Floresta Amazônica em pastagens

Floresta Amazônica em palma (dendê)

Cerradão em soja

Caatinga em agricultura

Conversão de pastagens plantadas em agricultura

Pastagem em soja e outras culturas

Pastagem em cana-de-açúcar

Pastagem em reflorestamento

MUT Cerrado- soja

Tese mestrado joão

CONVERSÃO DO CERRADO PARA FINS AGRÍCOLAS NA AMAZÔNIA E SEUS IMPACTOS NO SOLO E NO AMBIENTE



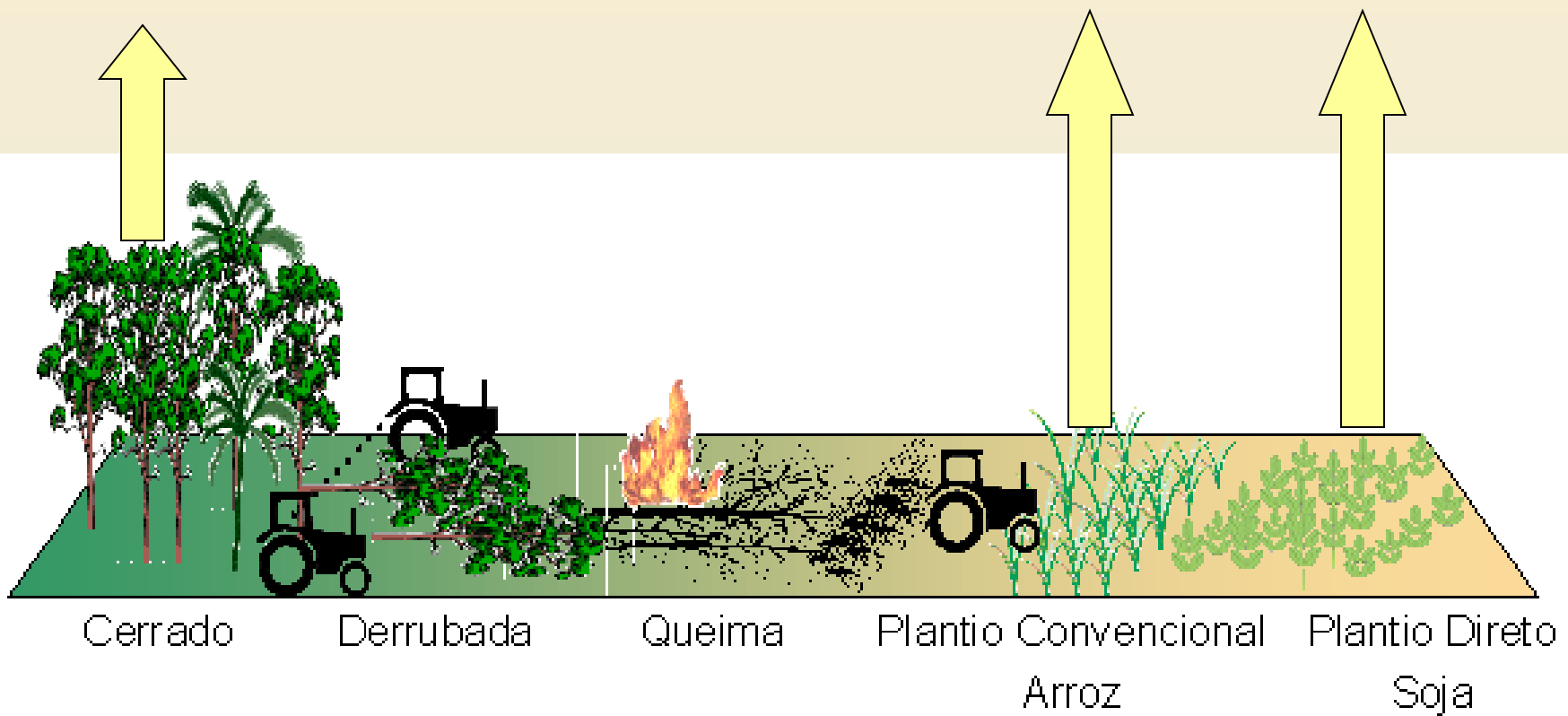
Mestrando: João Luís Nunes Carvalho

Orientador: Prof. Dr. Carlos Clemente Cerri

6 2 2006

Objetivos

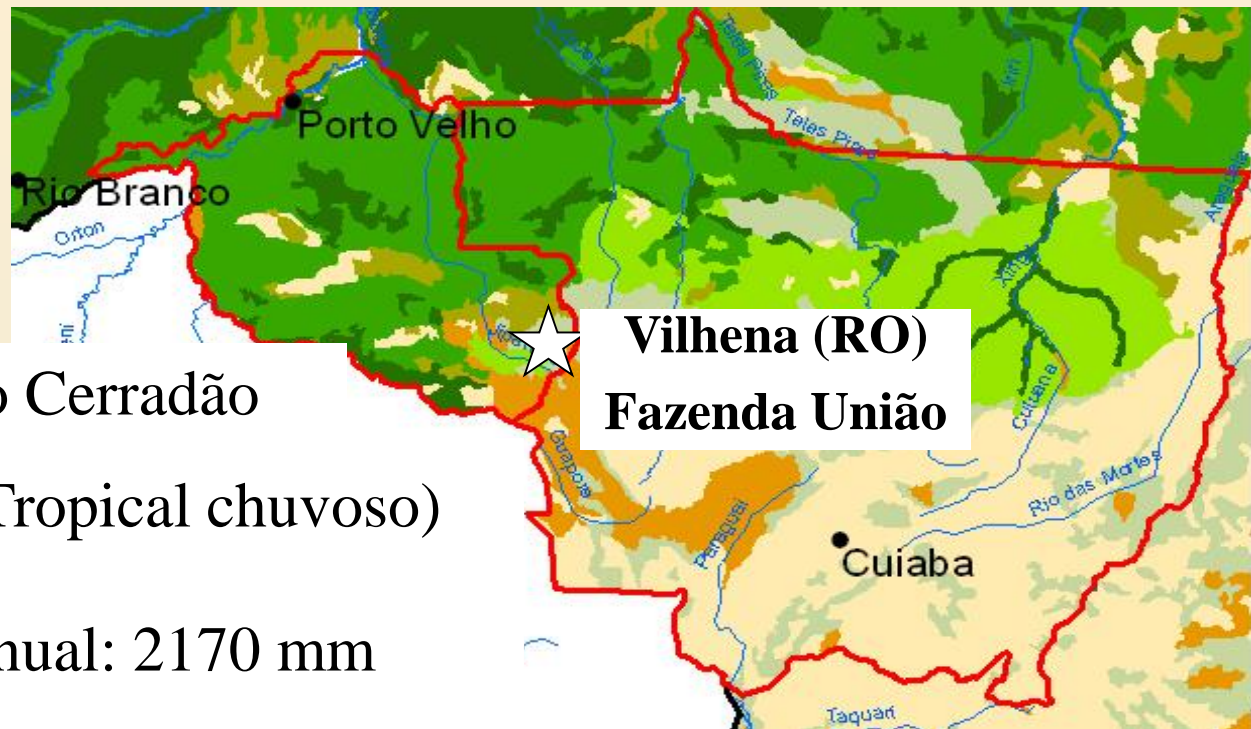
Avaliar as alterações nas características químicas, na MOS e no fluxo de gases do efeito estufa (CO_2 , N_2O e CH_4) nas principais fases de conversão do Cerrado amazônico em área agrícola com a cultura da soja em sistema de plantio direto



Material e Métodos

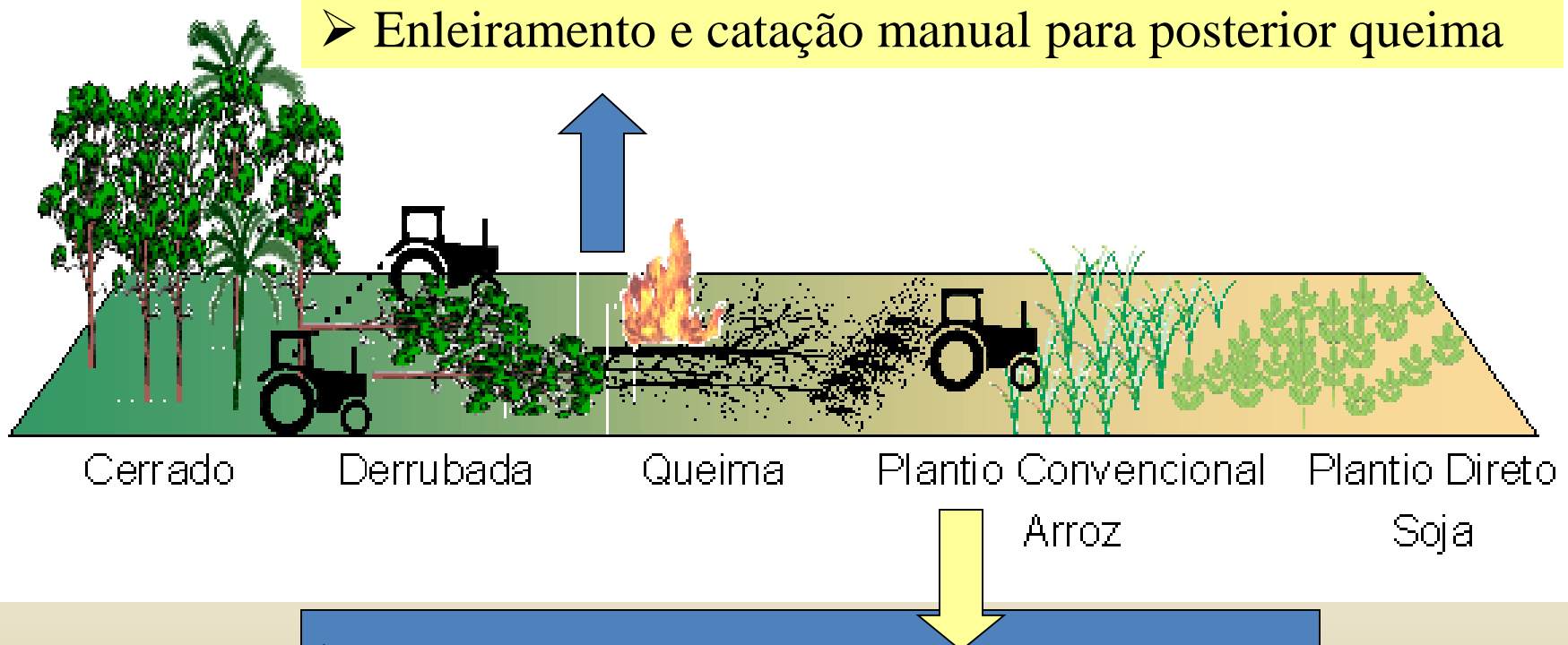
Descrição da área em estudo

- Vegetação nativa
 - ❖ Cerrado, sub-grupo Cerradão
- Clima regional: Aw (Tropical chuvoso)
- Precipitação média anual: 2170 mm
- Altitude média: 600 m
- Relevo: Suave ondulado
- Solo avaliado: Latossolo Vermelho Amarelo Distrófico típico muito argiloso ($730 \text{ g de argila kg}^{-1}$ de solo seco)



Material e Métodos

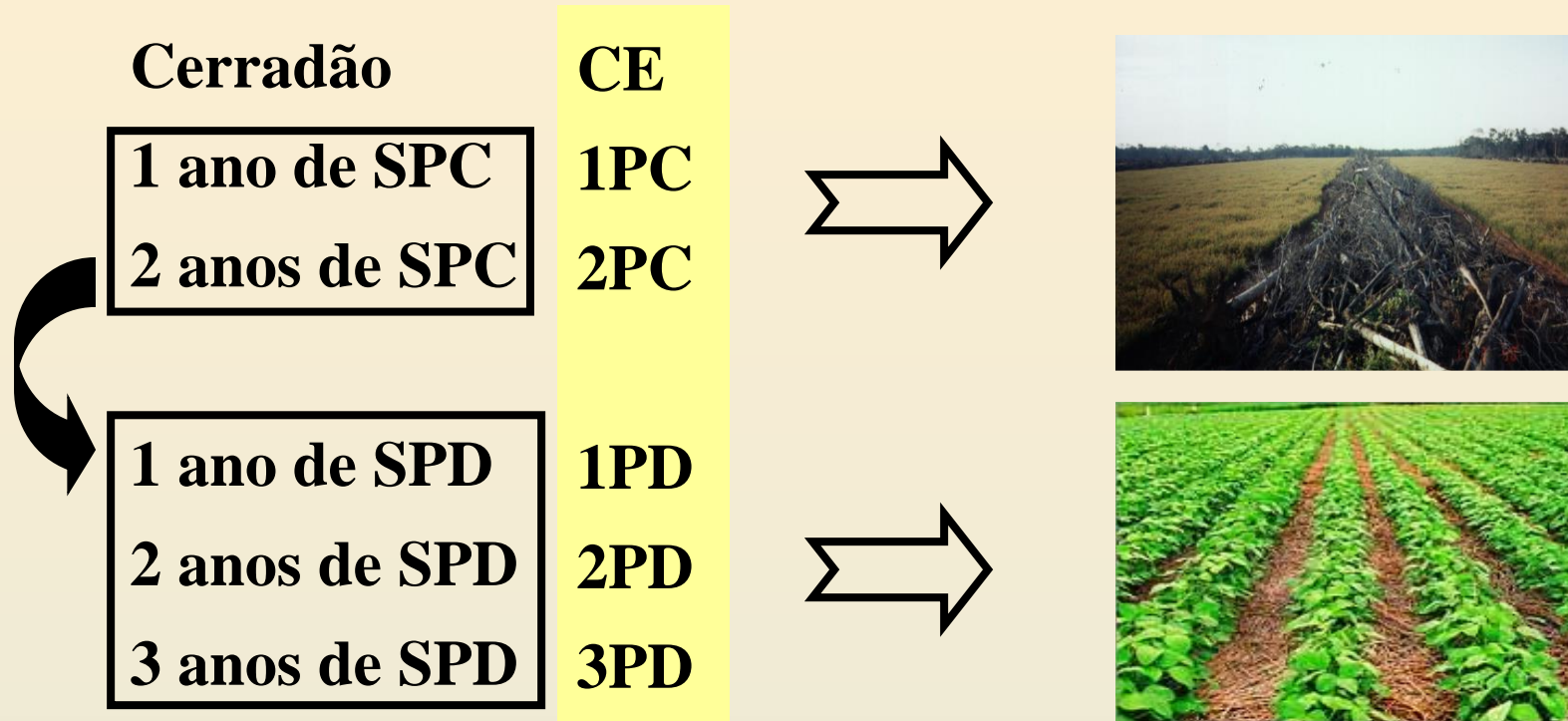
- A área foi desmatada desde 1999
- Após 20 dias a biomassa vegetal foi queimada
- Enleiramento e catação manual para posterior queima



- Gradagem aradora
- Calagem ($V = 50\%$), em 20 cm de solo
- Gradagem aradora e uma niveladora

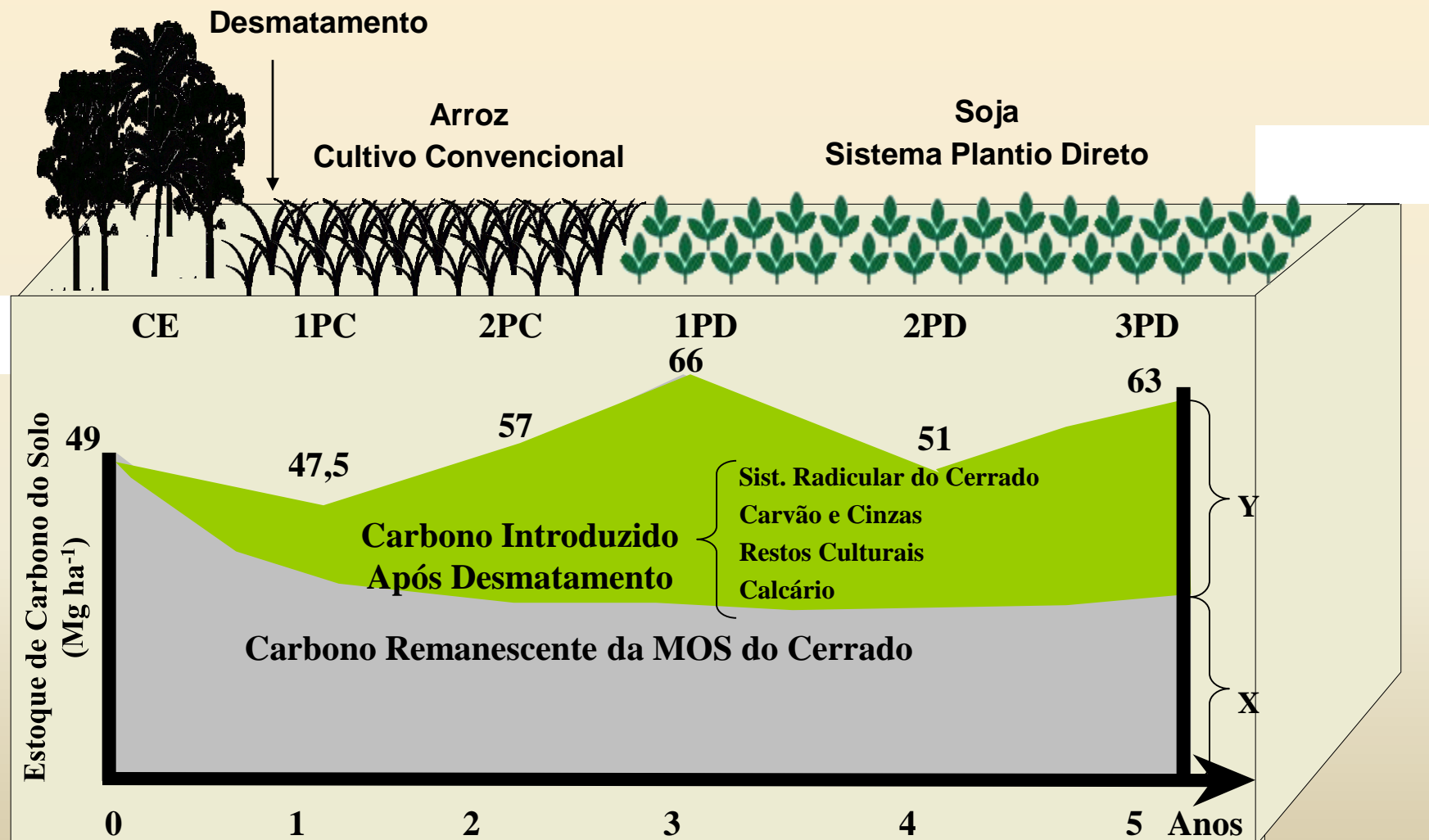
Material e Métodos

Situações avaliadas

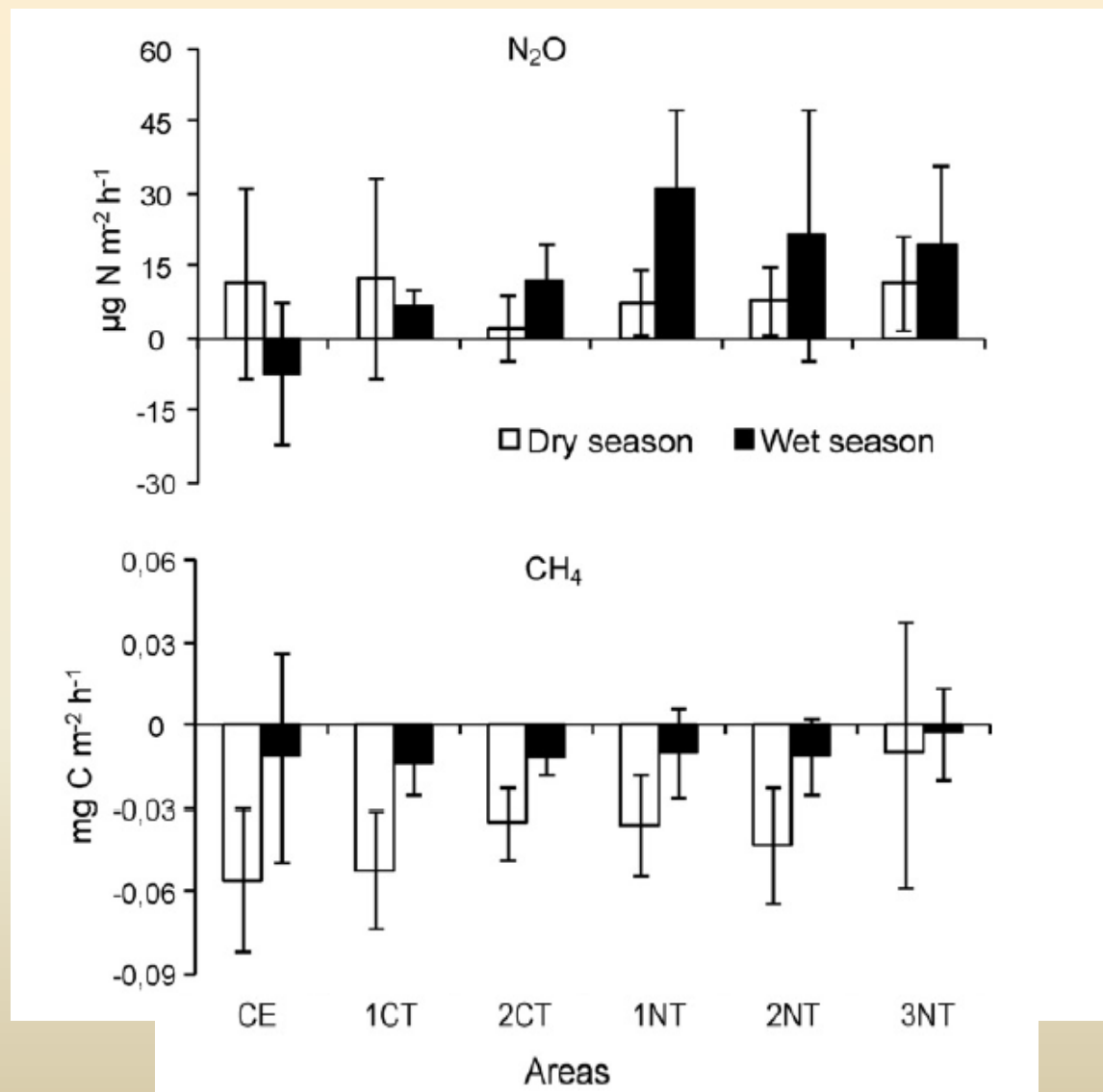


ESTOQUE DE CARBONO NO SOLO

Estoque de carbono no solo



Fluxo de GEE em função da mudança de uso da terra



Cerradão em Vilhena (RO)















Avaliação do estoque de C no solo e fluxo de GEE na mudança de uso da terra no Brasil

Conversão de vegetações nativas em agricultura

Floresta Amazônica em pastagens

Floresta Amazônica em palma (dendê)

Cerradão em soja

Caatinga em agricultura

Conversão de pastagens plantadas em agricultura

Pastagem em soja e outras culturas

Pastagem em cana-de-açúcar

The image shows a dense thicket of Caatinga vegetation. The ground is covered with a thick layer of dry, brown, tangled branches and twigs. Interspersed among them are several vertical tree trunks with smooth, greyish-brown bark. Some of these trees have sparse, light green leaves at their very tops. The overall scene is one of a dry, scrubby forest or thicket.

Caatinga de Irecê-BA

Vegetação nativa = Caatinga

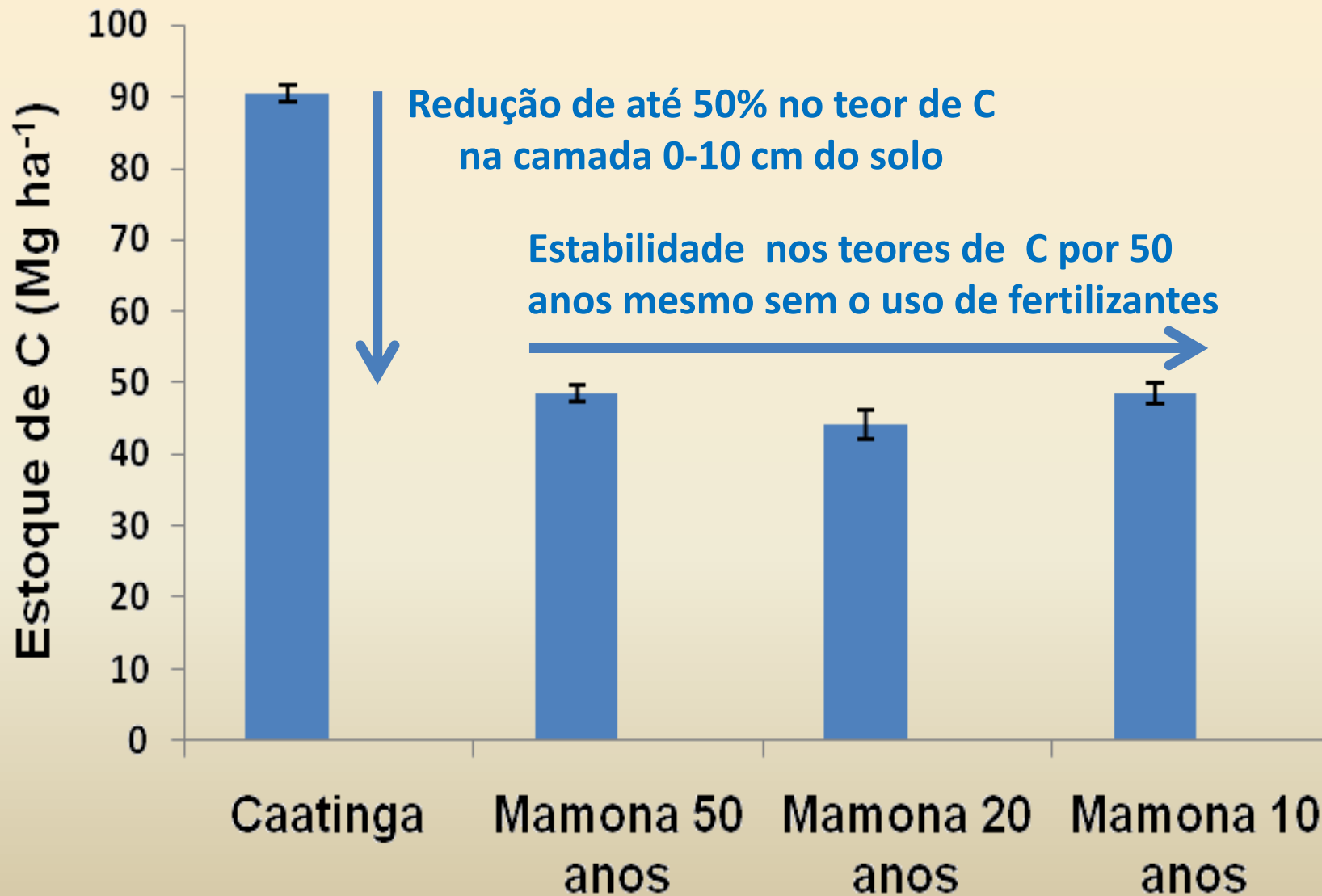


**Produção de $3.600 \text{ kg ha}^{-1} \text{ ano}^{-1}$
sem uso de fertilizantes**

**Cultivo de mamona por
10 anos
20 anos
50 anos**



Alterações no estoque de C do solo ao longo de 50 anos de cultivo



Avaliação do estoque de C no solo e fluxo de GEE

Situações

Ecossistemas naturais não perturbados do Brasil

Emissão de GEE pelas atividades agrícolas no Brasil

Agrossistemas do Brasil

Mudança de uso da terra

Mudança de manejo

Estratégias de avaliação

Utilizando fatores

Analisando amostras de terra

Cronossequências

Pares

ESTOQUE DE CARBONO NO SOLO E FLUXO DE GEE: exemplos na agricultura, pecuária e reflorestamento no Brasil

Introdução

Estoque de carbono nos solos do Brasil

Emissão de GEE pelas atividades agrícolas no Brasil

Mudança do estoque de carbono do solo devido ao uso da terra

Geral do Brasil

Conversão de vegetações nativas em agricultura

Conversão de pastagens plantadas em agricultura

Mudança do estoque de carbono do solo devido ao manejo agrícola

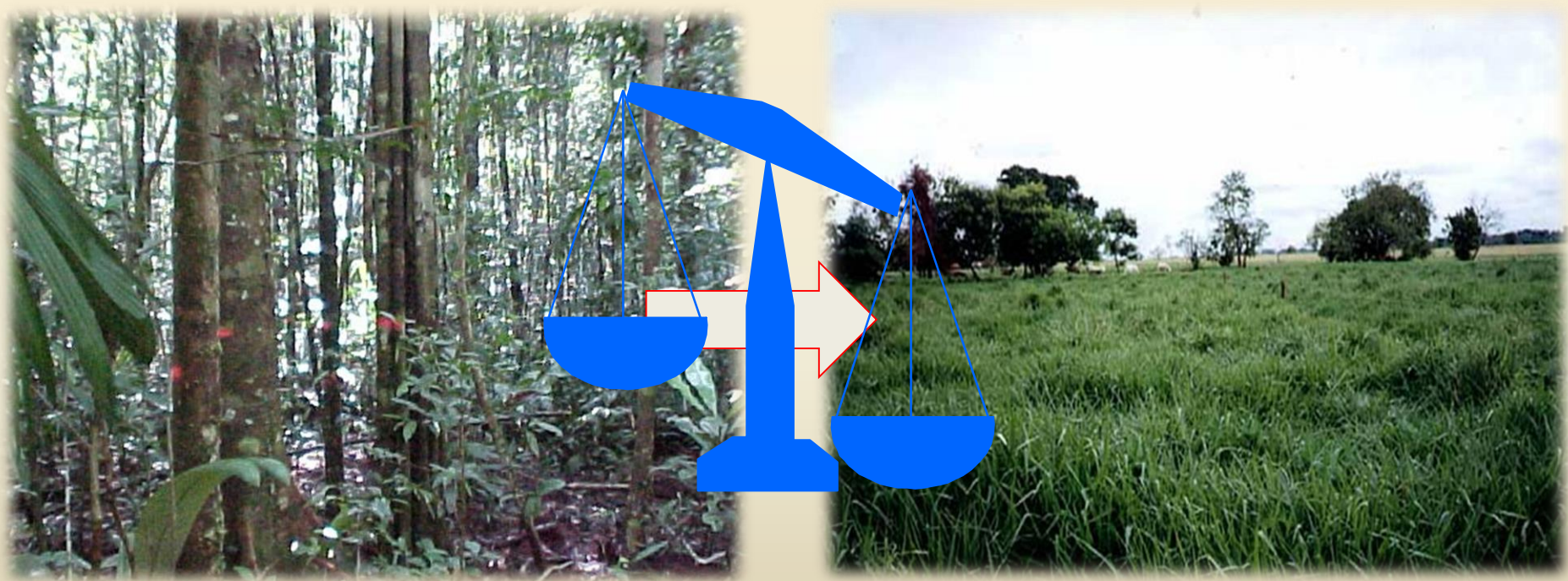
Considerações finais

Mudança de manejo na pastagem recuperação de pastagem degradada

Conversão floresta Amazônica em pastagem

Floresta

Pastagem bem manejada

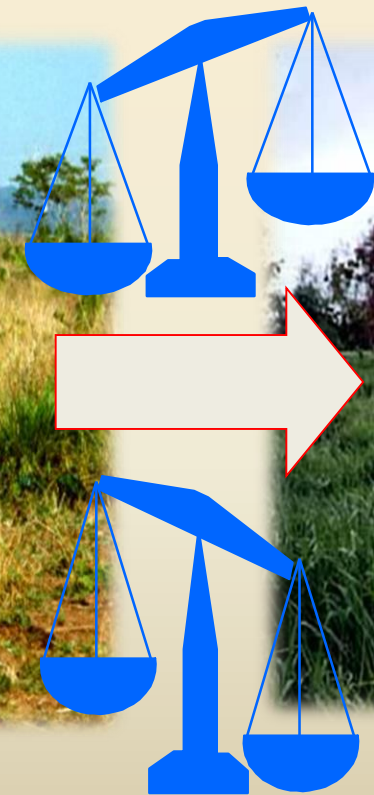


Conversão floresta Amazônica em pastagem

Recuperação de Pastagem

Pastagem degradada

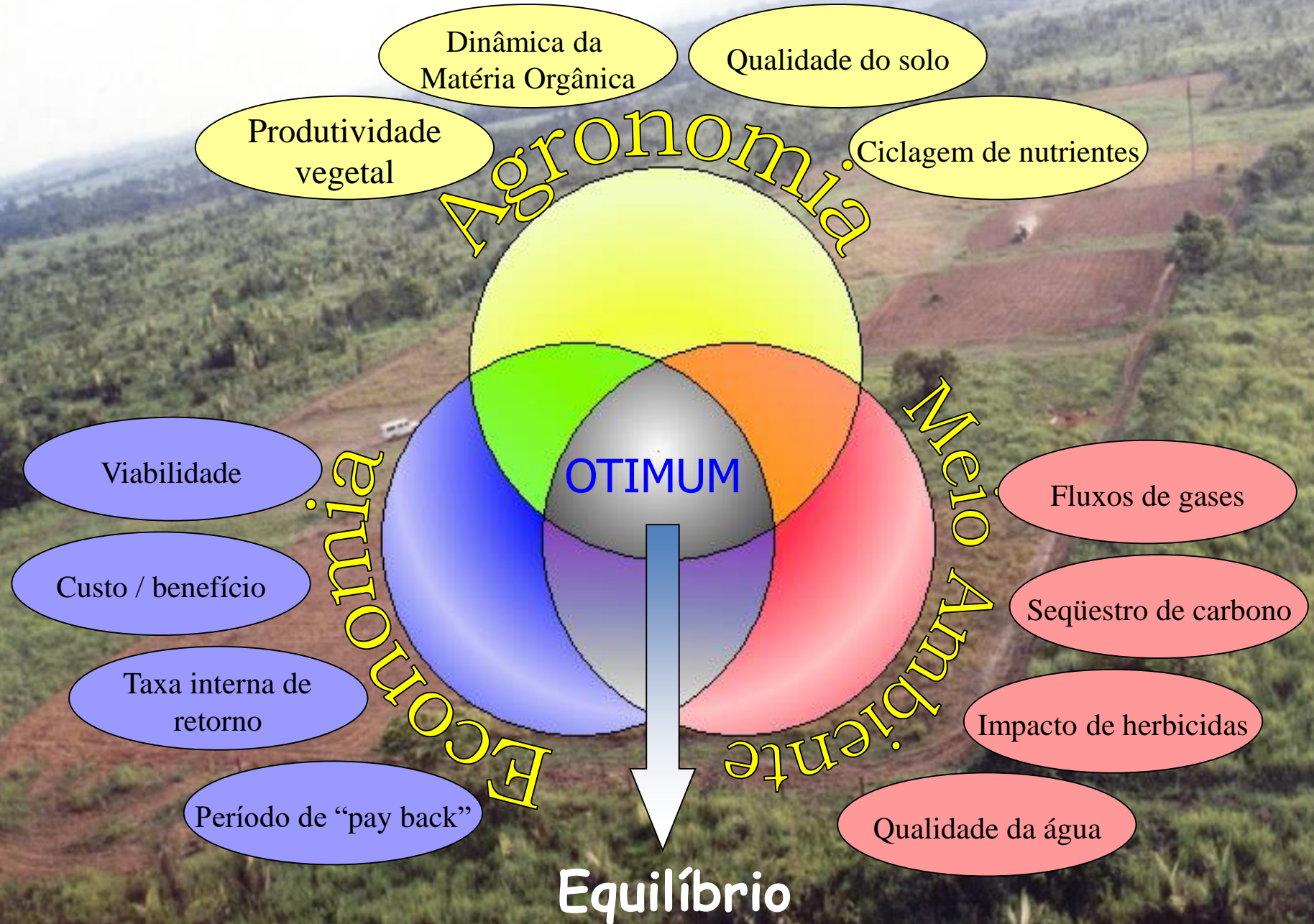
Pastagem bem manejada



An aerial photograph showing a series of agricultural fields on a steep, green hillside. The fields are planted in different colors, likely representing different crops or treatments. A dirt road runs along the side of the hill, and a small white vehicle is visible on it. The background shows more hills under a clear sky.

Tratamentos:

- Controle;
- Plantio direto Arroz;
- Herbicida;
- Gradagem;
- Plantio direto Soja.



An aerial photograph showing a hilly landscape with various agricultural plots. Some fields are green and covered in crops, while others are brown and appear to be fallow or recently tilled. A dirt road cuts through the fields, and a small white vehicle is visible on it. The terrain is uneven and slopes down from left to right.

Resultados Preliminares

- Avaliação agronômica
- Avaliação ambiental
- Avaliação econômica

An aerial photograph showing a landscape of green hills and fields. Some fields are tilled brown earth, while others are covered in green vegetation. A dirt road cuts through the fields. In the distance, a small white vehicle is visible.

Resultados Preliminares

- Avaliação agronômica
- Avaliação ambiental
- Avaliação econômica

Emissão de CO₂ e N₂O durante 6 meses

	kg C-CO ₂	kg N-N ₂ O	kg eqC
Controle	6780	0,07	6789
Plantio Direto	6120	1,62	6326
Gradagem	8690	2,23	<u>8973</u>

+42%

ESTOQUE DE CARBONO NO SOLO E FLUXO DE GEE: exemplos na agricultura, pecuária e reflorestamento no Brasil

Introdução

Estoque de carbono nos solos do Brasil

Emissão de GEE pelas atividades agrícolas no Brasil

Mudança do estoque de carbono do solo devido ao uso da terra

Geral do Brasil

Conversão de vegetações nativas em agricultura

Conversão de pastagens plantadas em agricultura

Mudança do estoque de carbono do solo devido ao manejo agrícola

Considerações finais

CO₂

CO₂

CO₂

CO₂

CO₂

CO₂

CO_2

CO₂

CO₂

CO₂

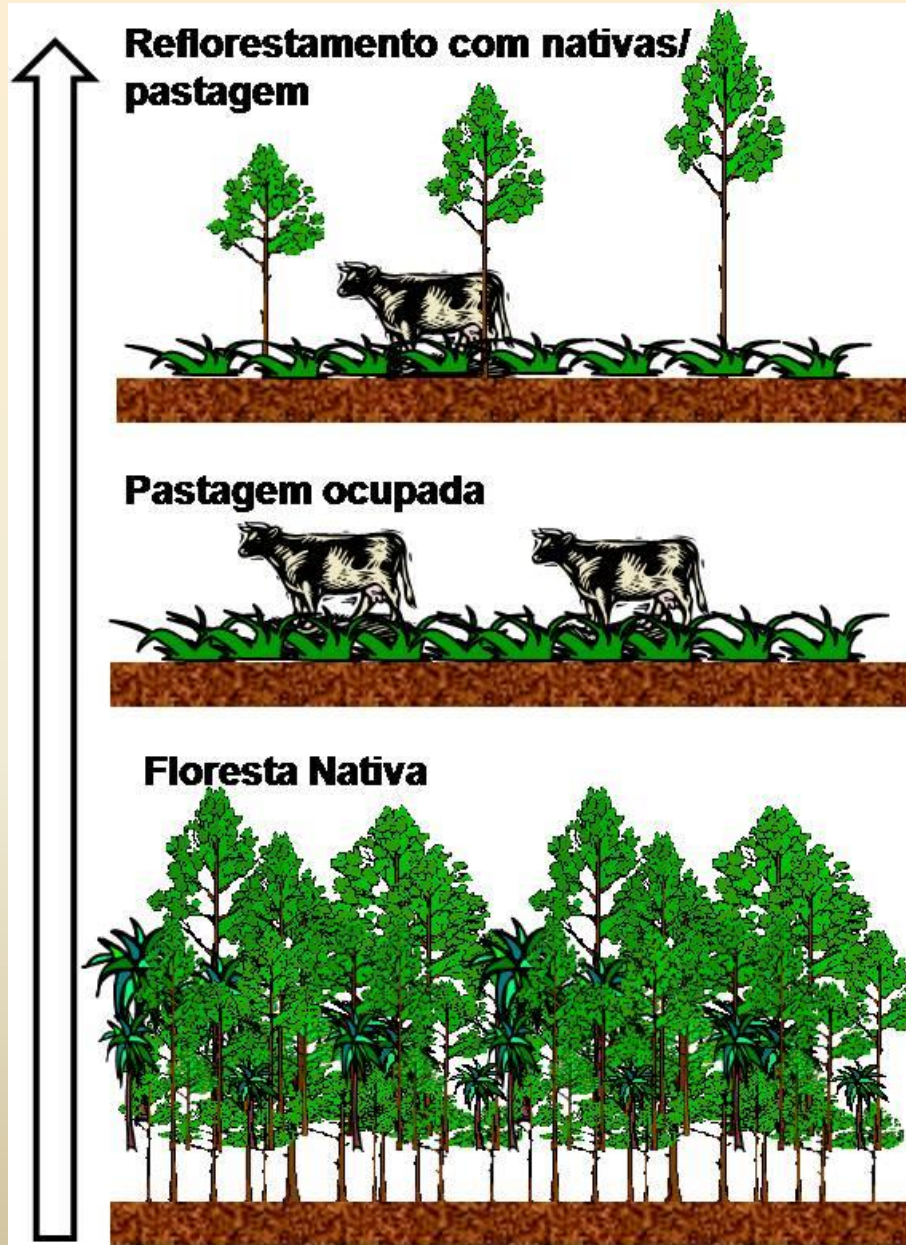
Situação atual



Mudança de uso da terra de pastagem para reflorestamento



Dinâmica da mudança do uso do solo



Dinâmica da mudança do uso do solo



Vegetação nativa



1980



Pastagem

1º Ciclo - 7 anos



*2003

2º Ciclo - 14 anos



*1996

3º Ciclo - 21 anos



*1989

Eucalipto

* Ano do 1º plantio

• *Marcação dos pontos de amostragem - Pasto*

Material e Métodos



- *Perfil do solo sob Eucalipto*

Liteira

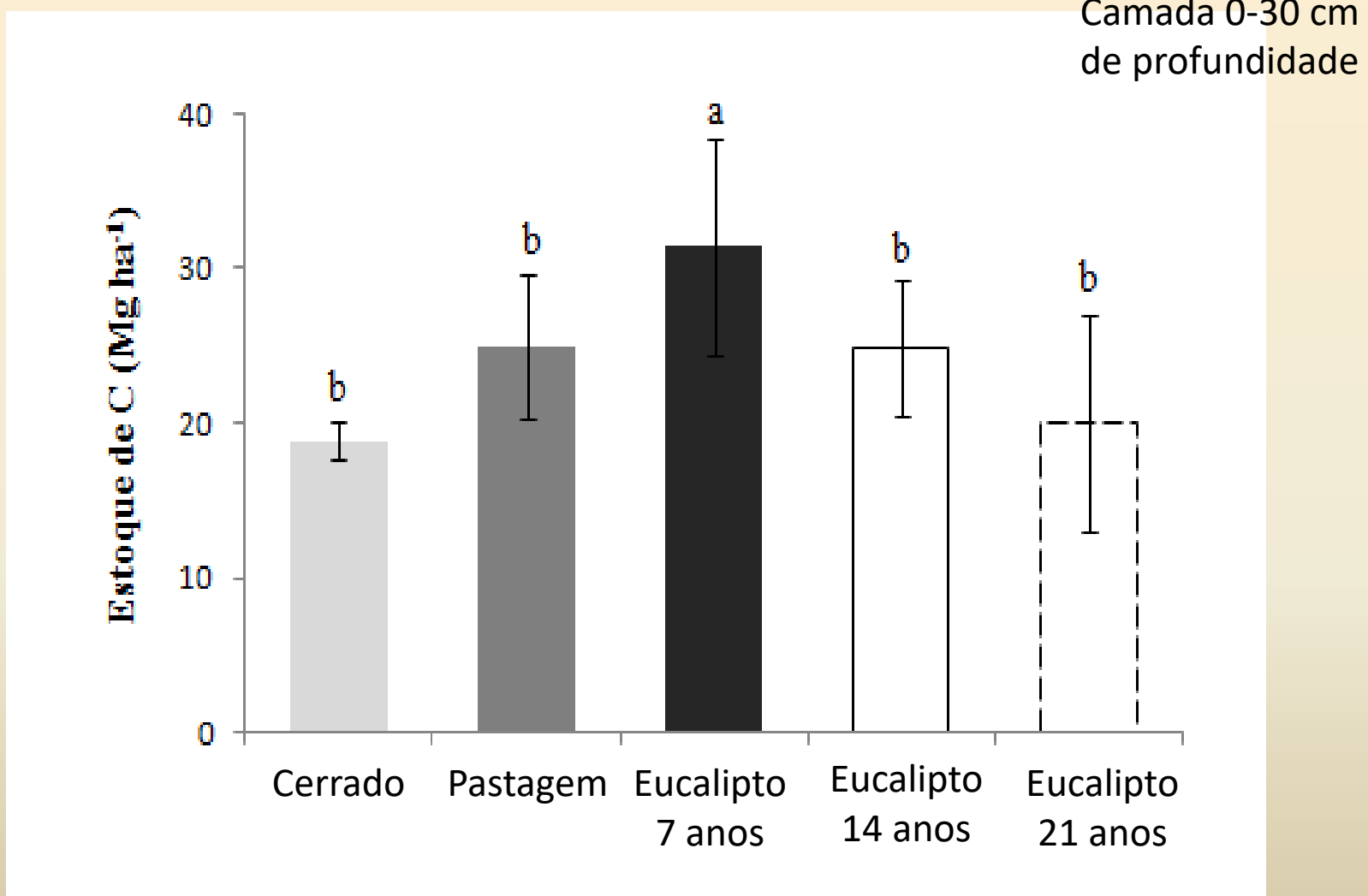


- *Perfil da mini-trincheira de solo - Eucalipto*

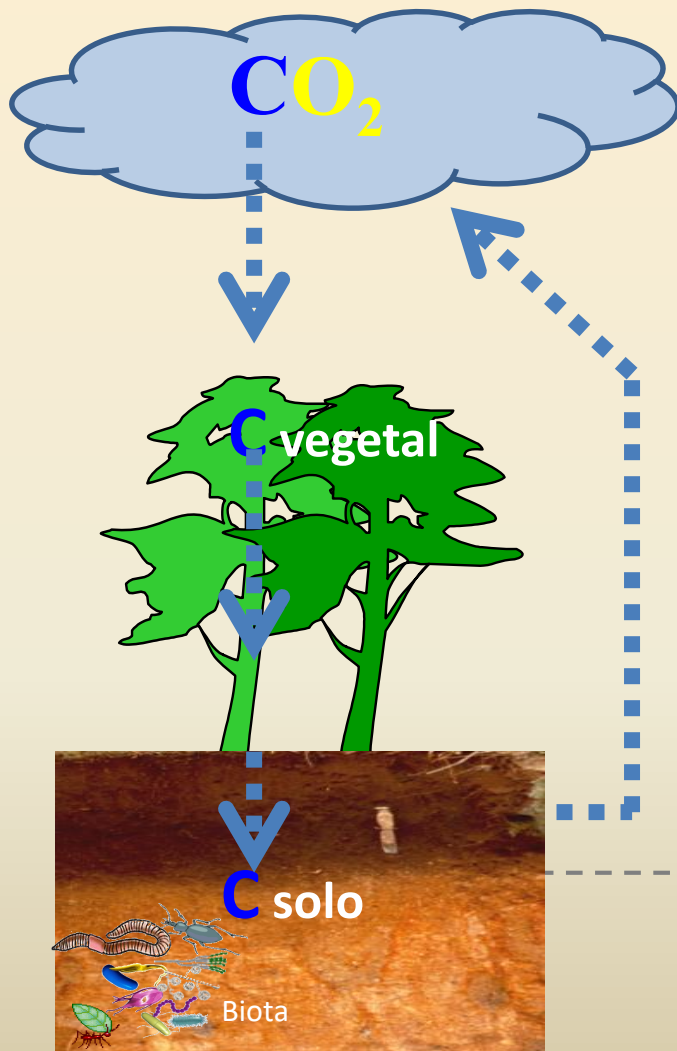


ESTOQUE DE CARBONO

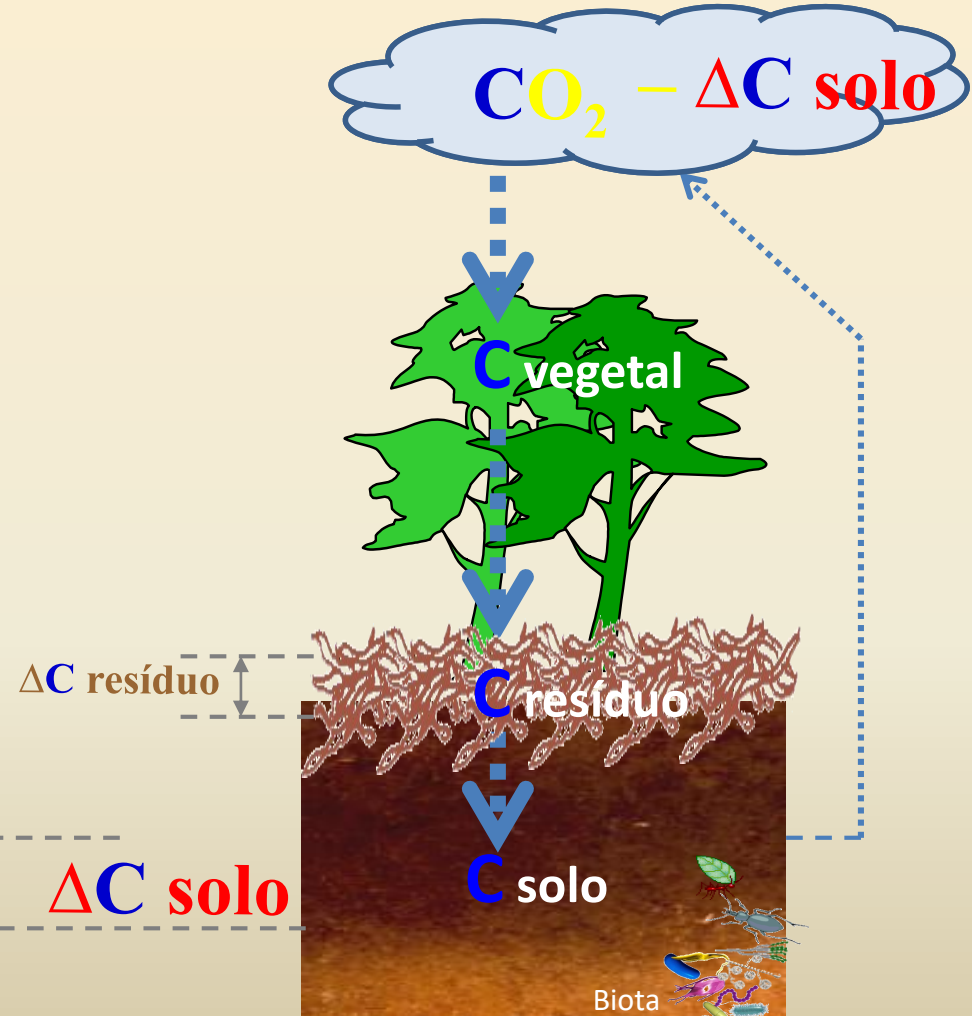
Reflorestamento Eucalipto



SEM APLICAÇÃO DE RESÍDUOS ORGÂNICOS



COM APLICAÇÃO DE RESÍDUOS ORGÂNICOS



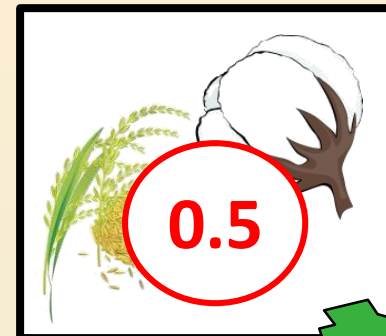
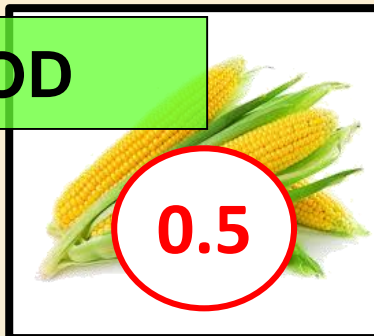
Mudança do uso da terra pastagem-cana

Foreseen expansion in area Million ha for the next 10 years

Soybean

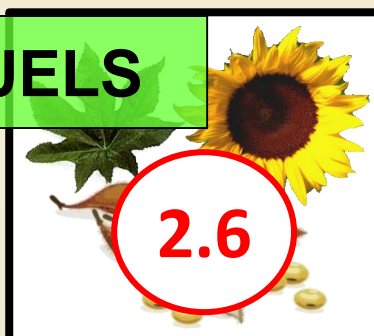
Corn

Others

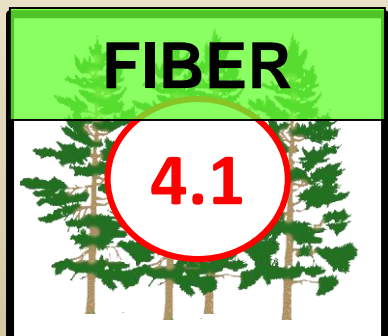


Sugarcane

Oilseeds



Reforestation



18-20 Mha

How can the agricultural area be expanded in a sustainable way?



Expansion of agricultural area

without further deforestation...



Pasture 192 million ha

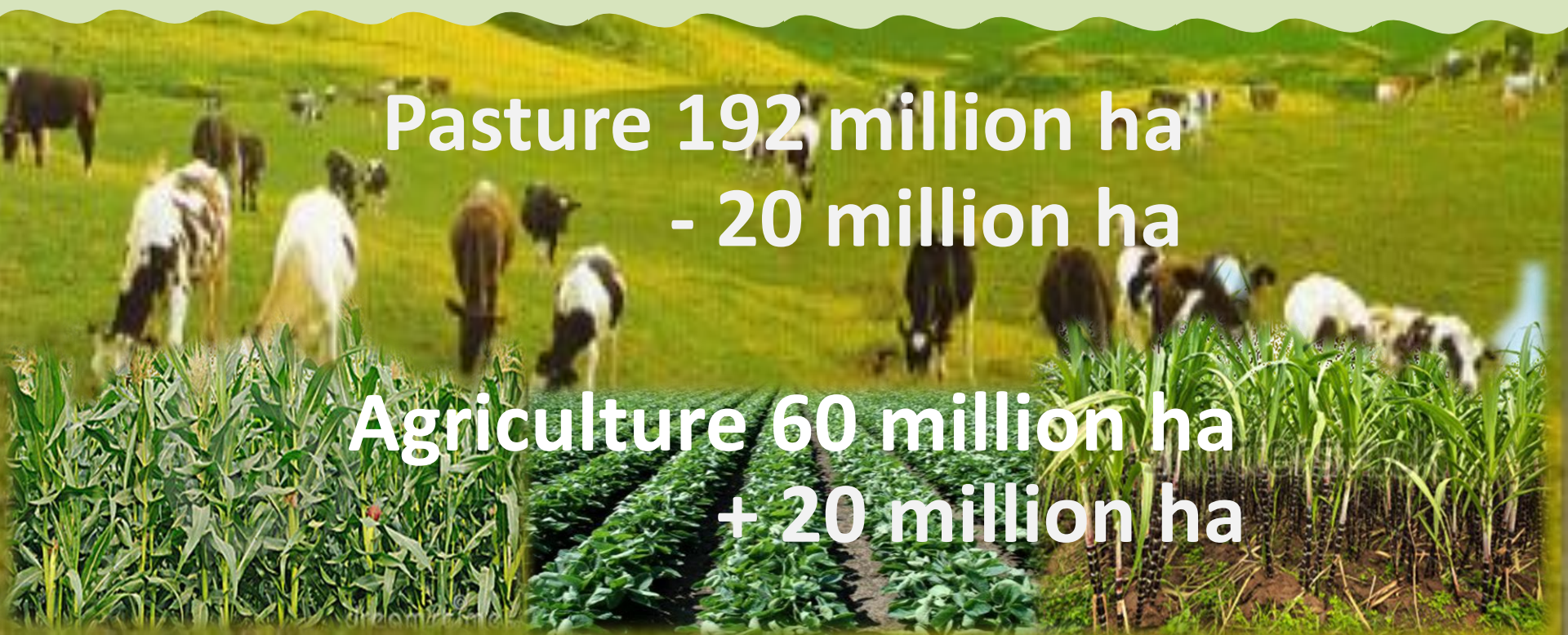


Agriculture 60 million ha

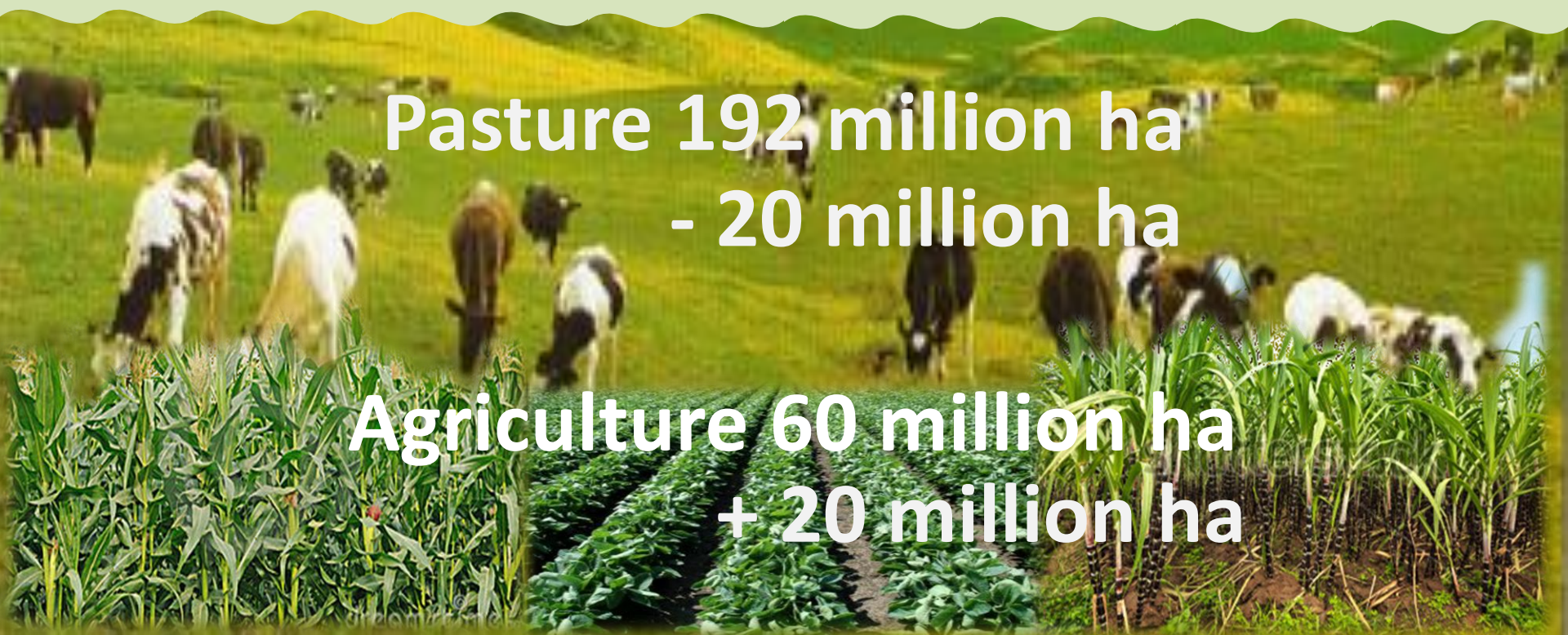


Expansion of agricultural area

without further deforestation...



Pasture 192 million ha
- 20 million ha



Agriculture 60 million ha
+ 20 million ha

Foreseen expansion in area (10^6 ha) for the next 10 years

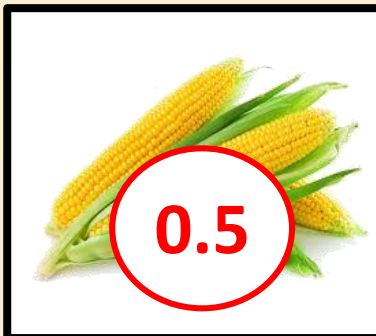
Soybean

Corn

Others



5



0.5



0.5

Sugar-cane

Oilseeds

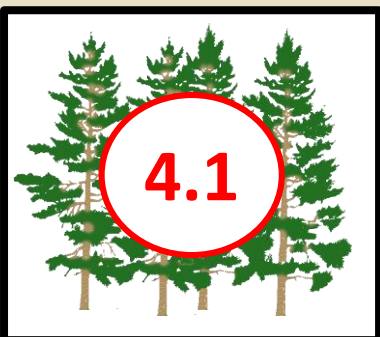


7



2.6

Reforestation



4.1

18-20 Mha



4 million people
US \$ 28 billion
1.5% Brazil's GDP

Conversion from Annual Cropland to Sugar Cane



Conversion from Pasture to Sugar Cane



The effects of land-use-change
on soil carbon balance
have to be taken into account
in calculating the CO₂ savings
attributed to bioenergy crops

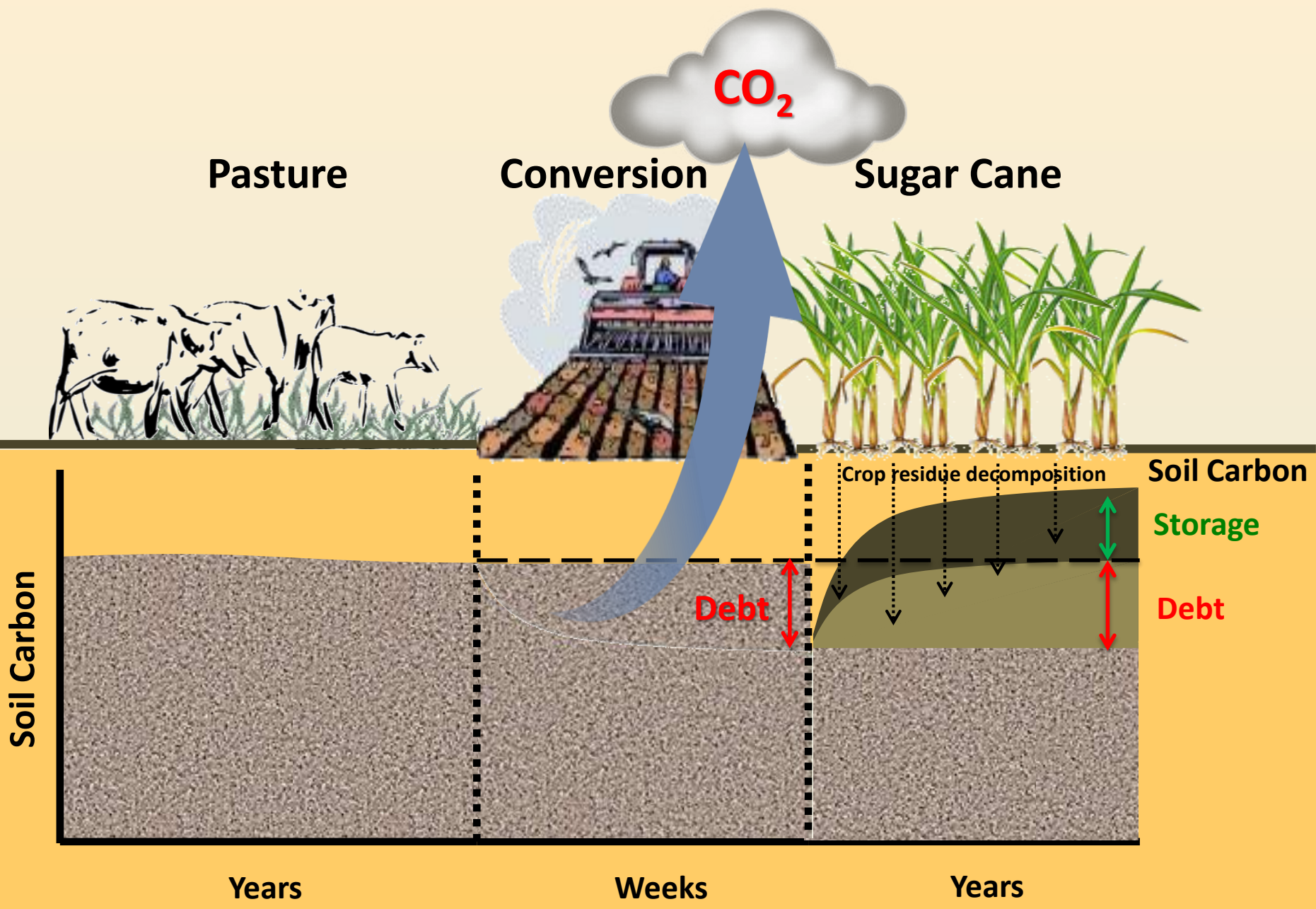
Couple of questions:

- How much is the Soil Carbon Debt and Payback Time due to these conversions?
- How to produce sugar cane ethanol in a sustainable way and increase the fossil fuel offset?

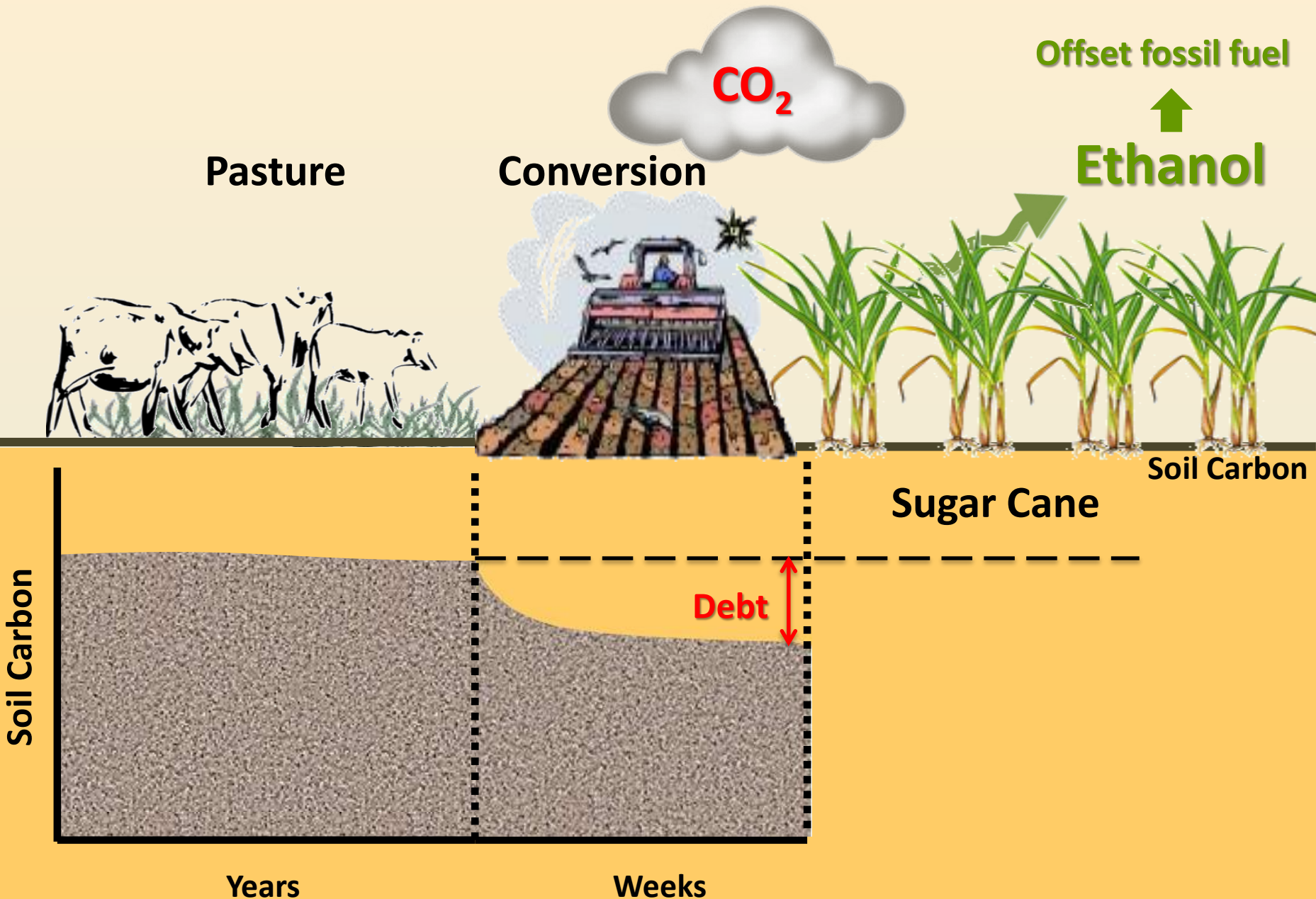
Couple of questions:

- **How much is the Soil Carbon Debt and Payback Time due to these conversions?**
- **How to produce sugar cane ethanol in a sustainable way and increase the fossil fuel offset?**

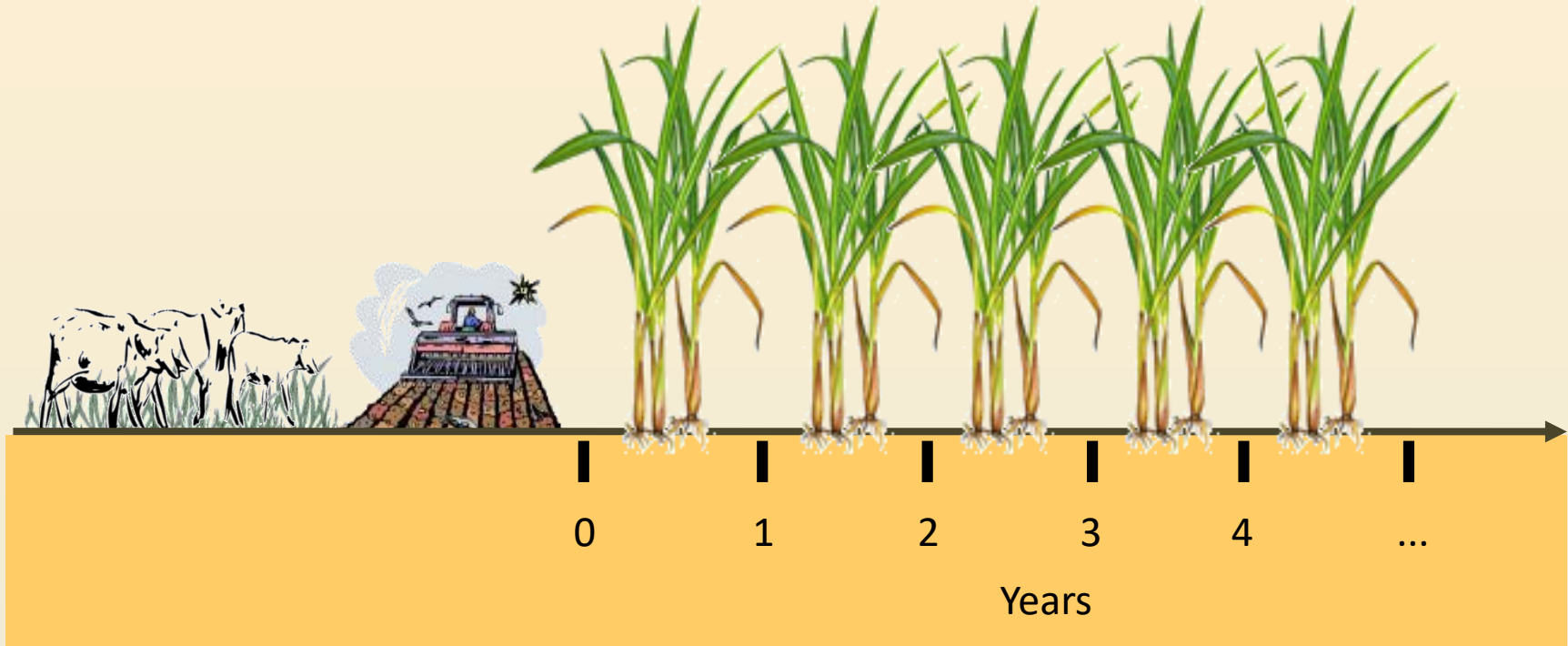
Soil Carbon stock balance after Land Use Change



Payback time



Payback time



“Time span that the conversion of a specific land into sugarcane would need to compensate emissions resulted from LUC considering the offset associated to the replacement of fossil fuel by sugarcane ethanol.”

Soil Carbon Debt and Payback Time CALCULATIONS



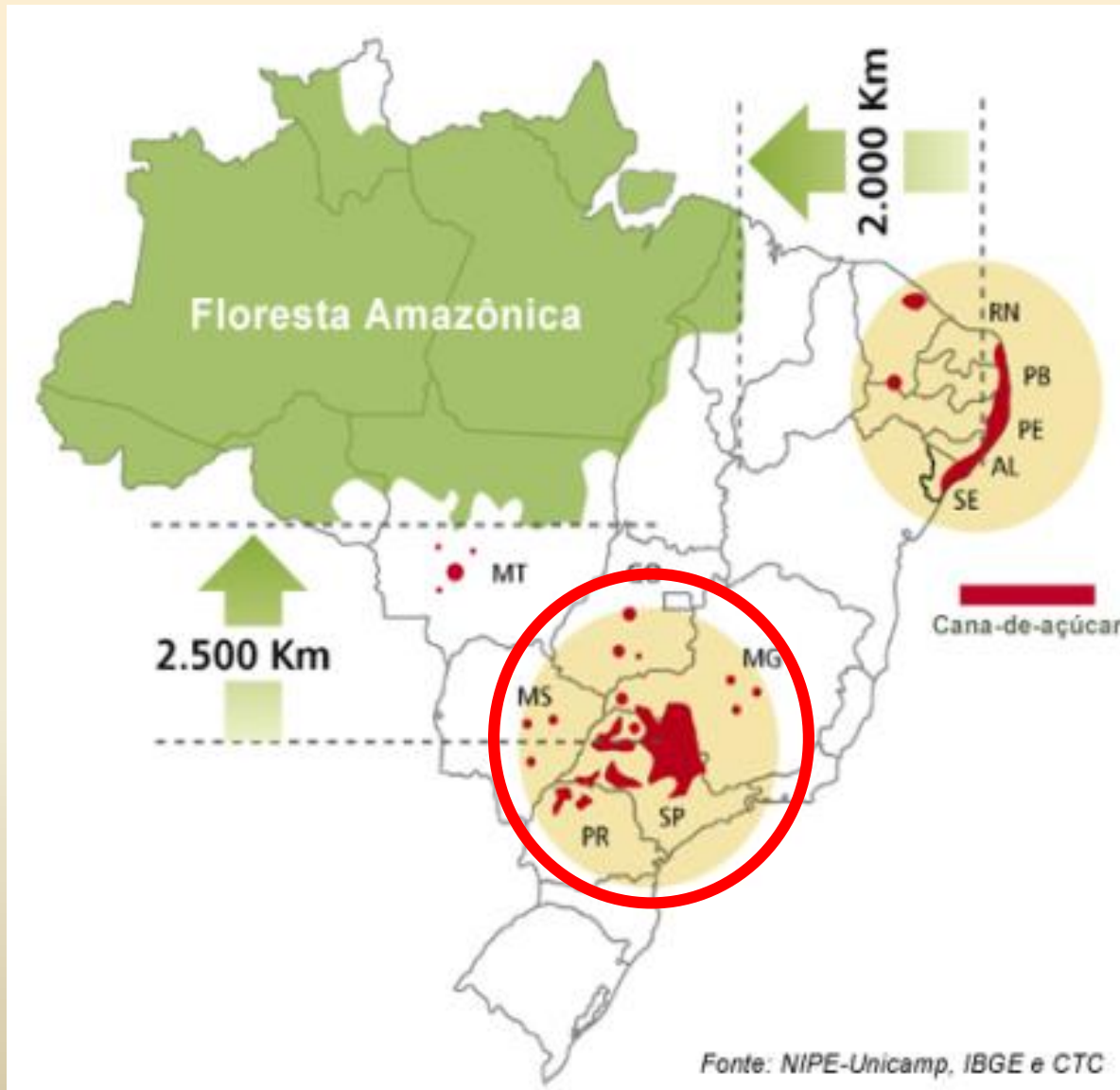
Methodology

- Find comparison soil pairs
- Soil sampling
- Determination:
 - Soil organic carbon LECO - Analyzer
 - Soil bulk density

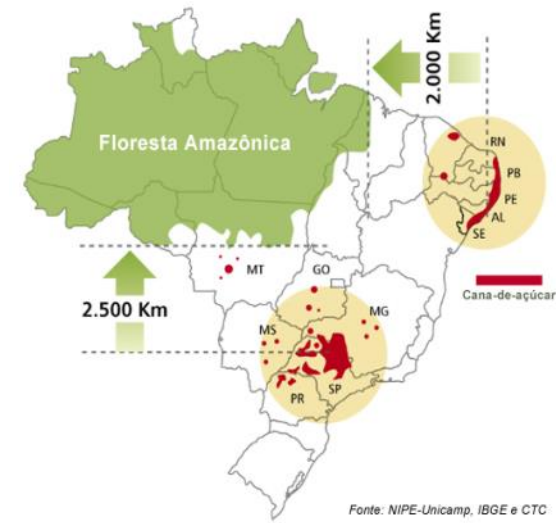
- Estimate of CO₂ emitted (-) or accumulated (+) in soils using Tier 2 approach (2006, IPCC)



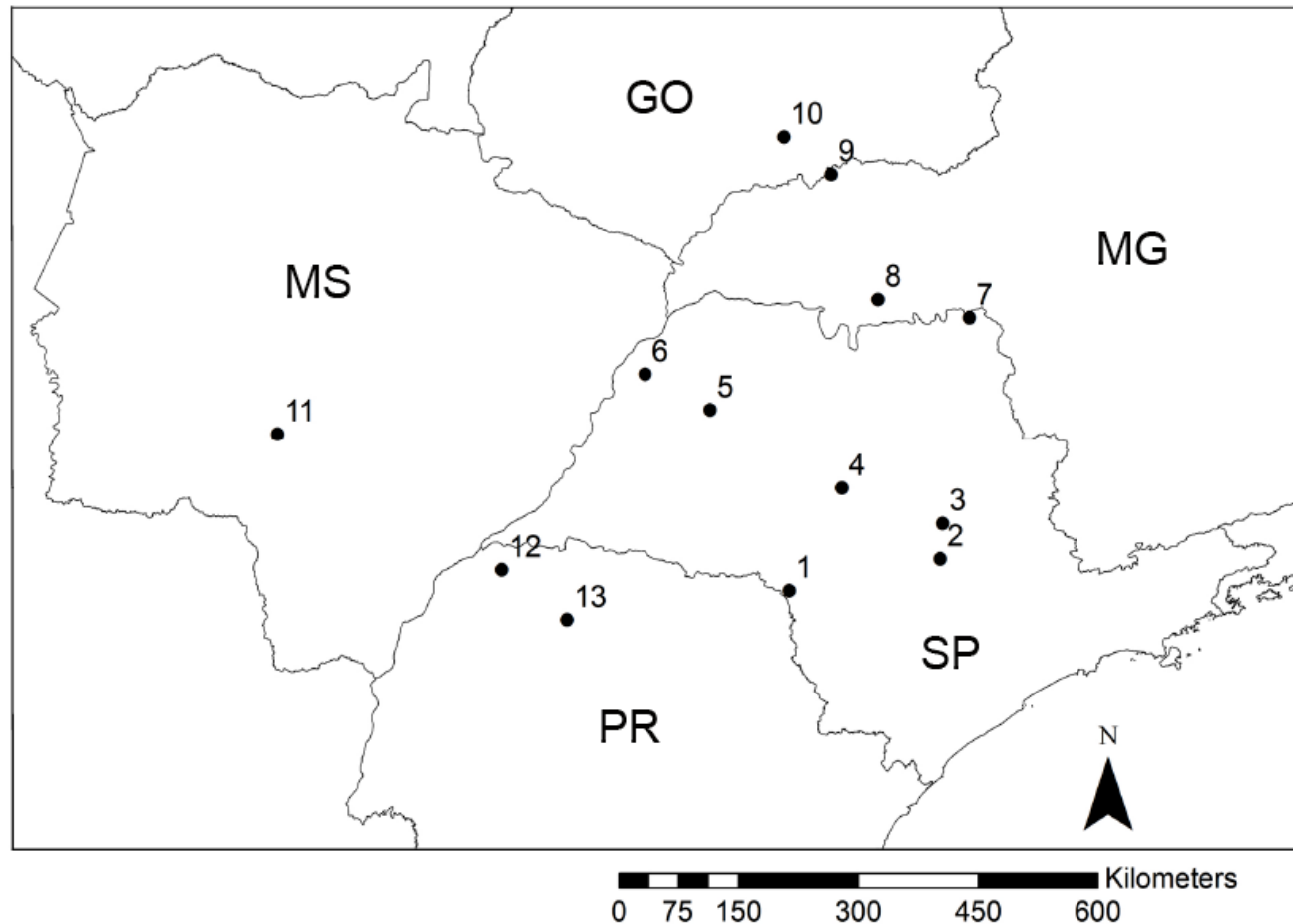
Region selected



Places selected



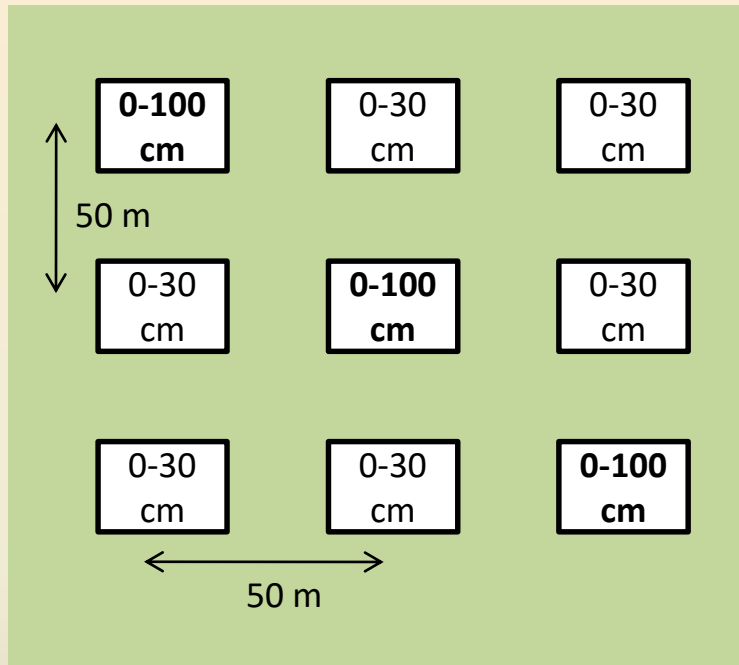
Fonte: NIPE-Unicamp, IBGE e CTC



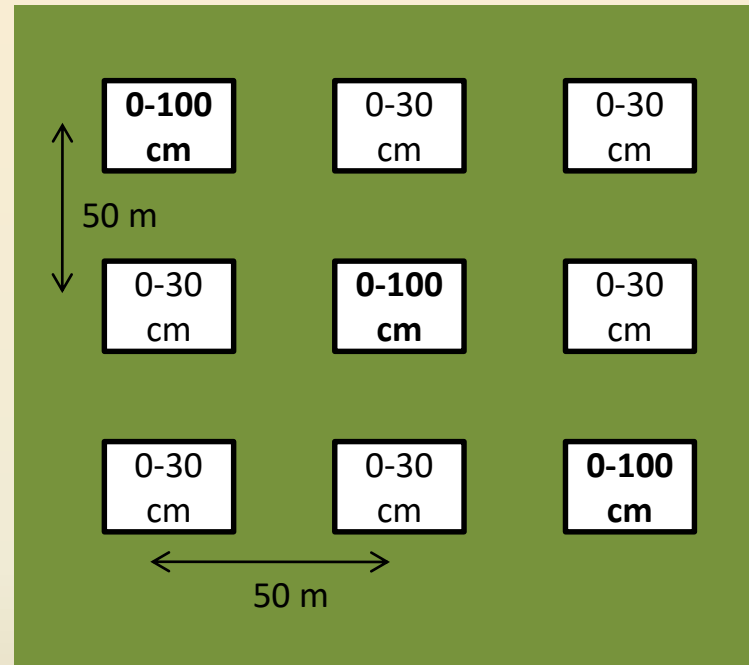
Soil sampling strategy

Soil pairs (side by side)

Pasture



Sugar Cane



Soil depths:

0-10, 10-20, 20-30 cm

0-10, 10-20, 20-30, 40-
50, 70-80, 90-100 cm

Conversion from Pasture to Sugar-Cane

70%



Conversion from Annual Cropland to Sugar-Cane

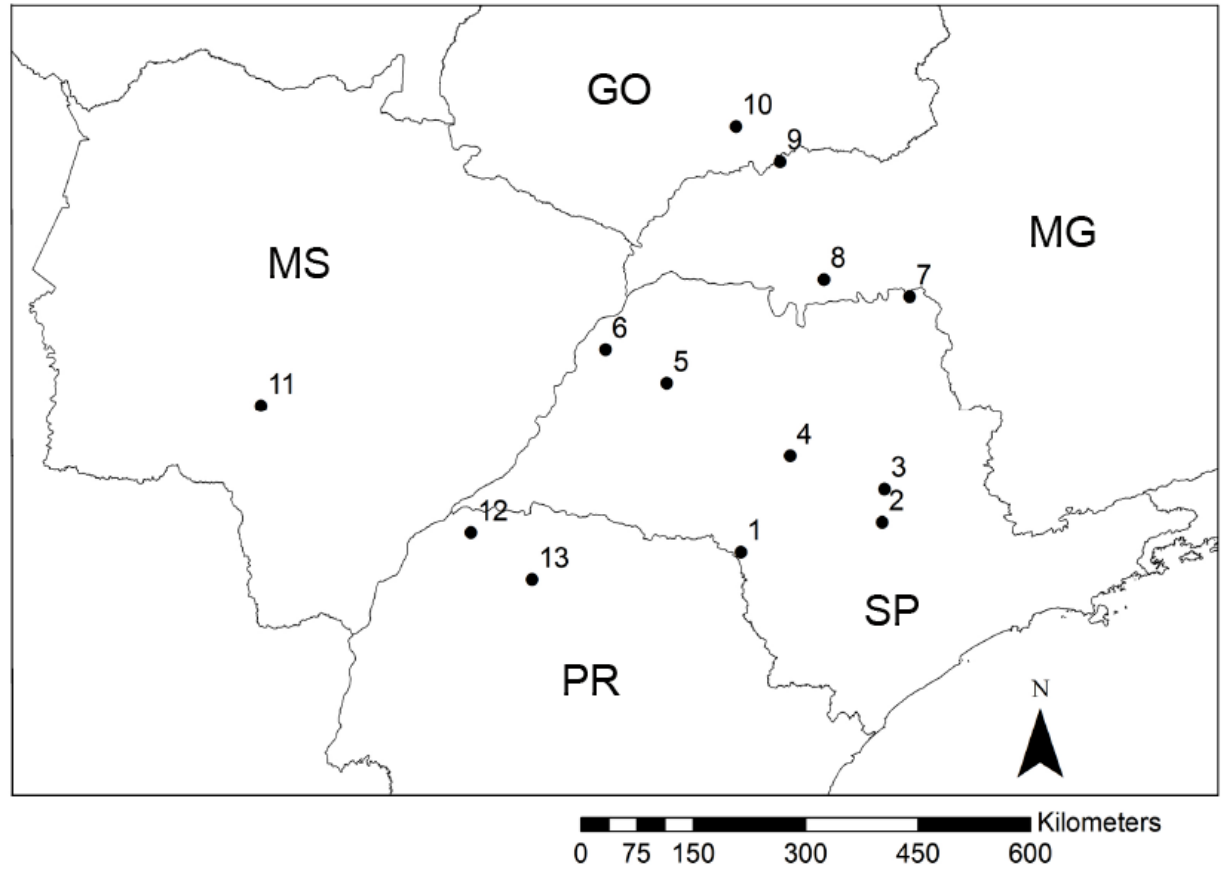
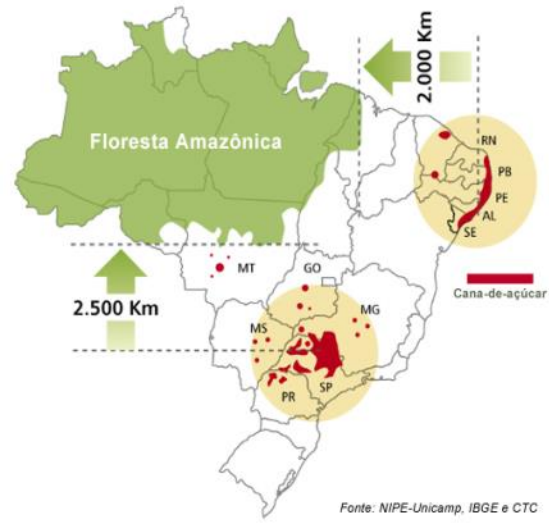
25%



Conversion from Cerrado to Sugar-Cane

< 1%





135 study sites = 75 pairs

Pasture	to	sugar cane	57
Annual cropland	to	sugar cane	13
Cerrado	to	sugar cane	05

≈6,000 Soil samples

Soil Carbon Debt and Payback Time

RESULTS

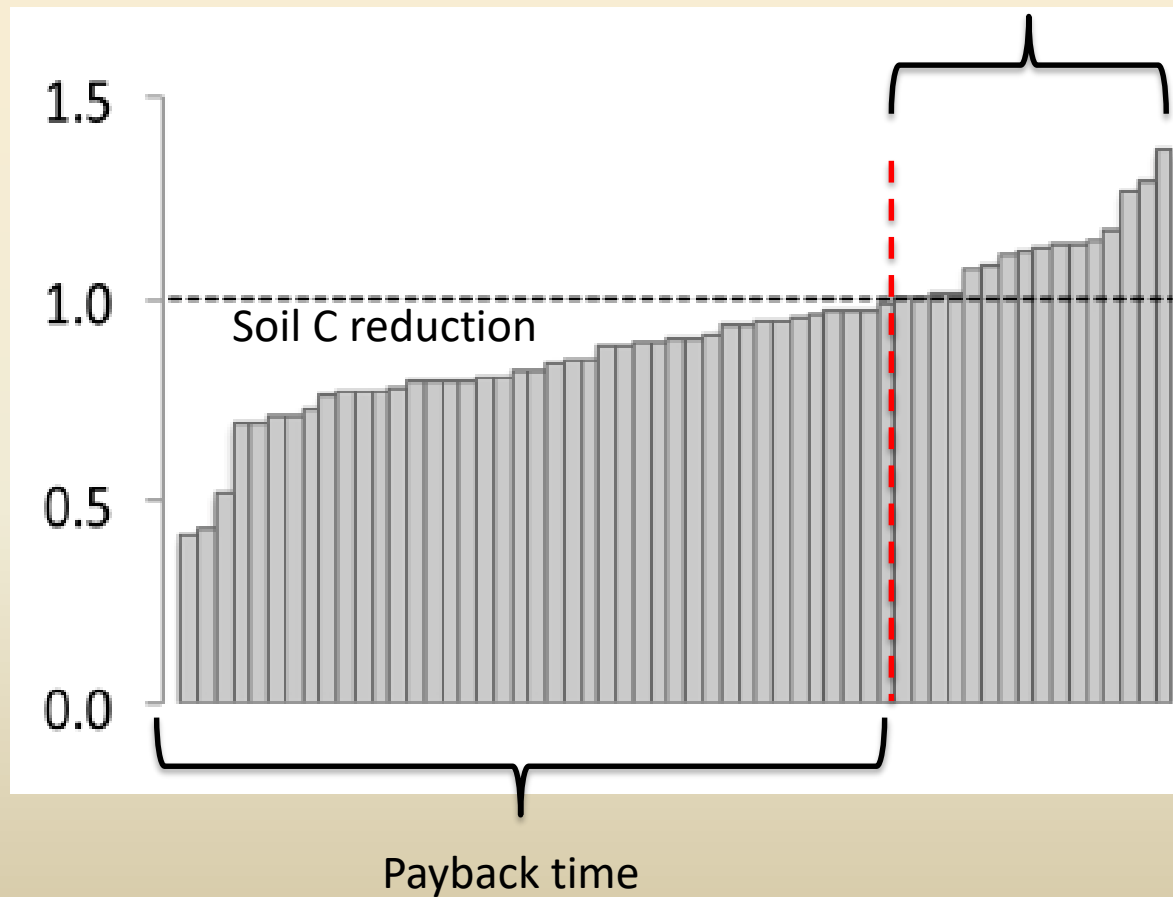
$$\text{Response Ratio (Mg C ha}^{-1}\text{)} = \frac{\text{Soil C stock Sugar Cane}}{\text{Soil C stock References}}$$

Pasture
Agriculture
Cerrado

Pasture-> Sugar cane

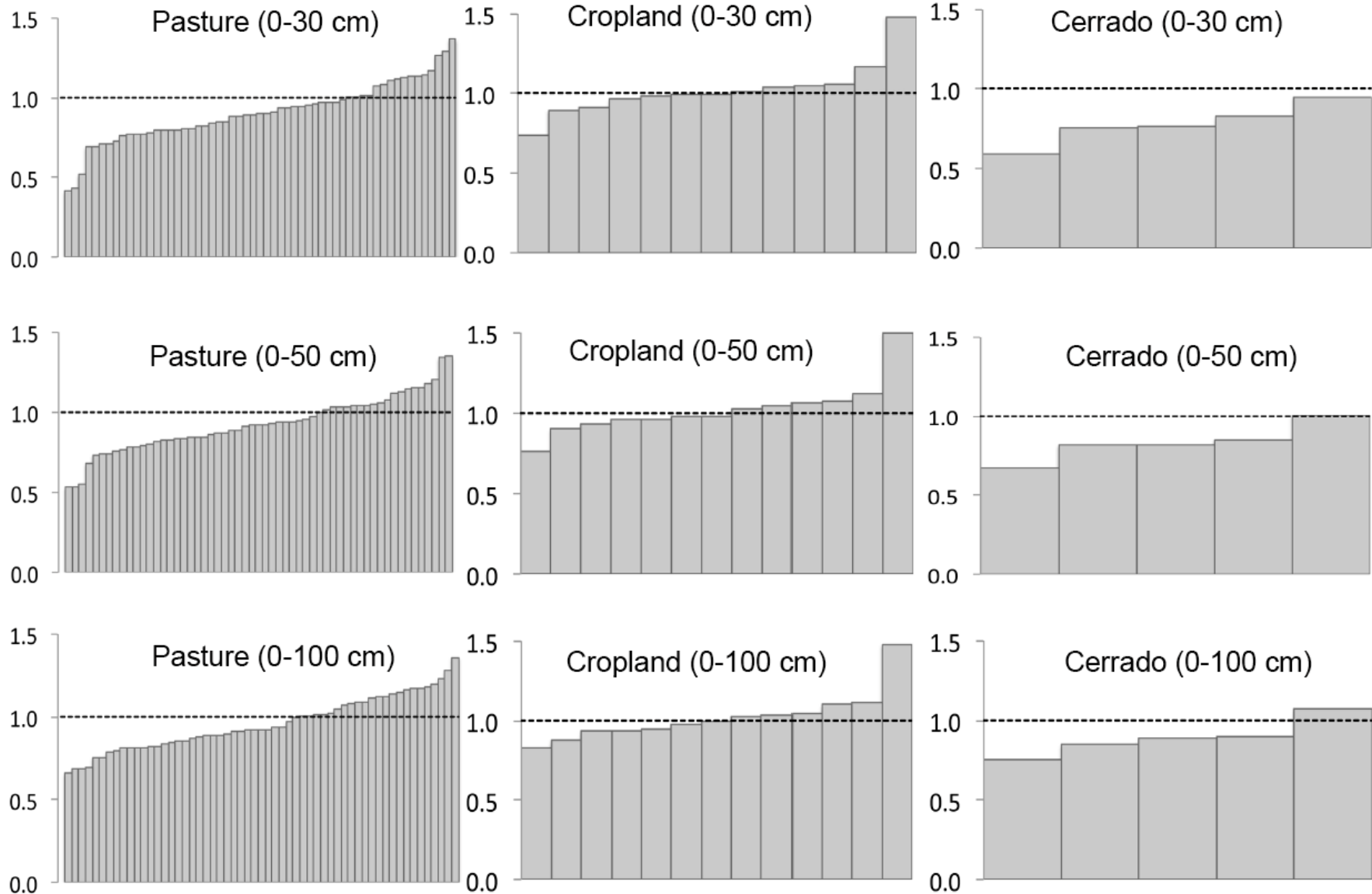
0-30 cm

Soil C storage



Soil C stock Sugar Cane
Soil C stock References

Response Ratios



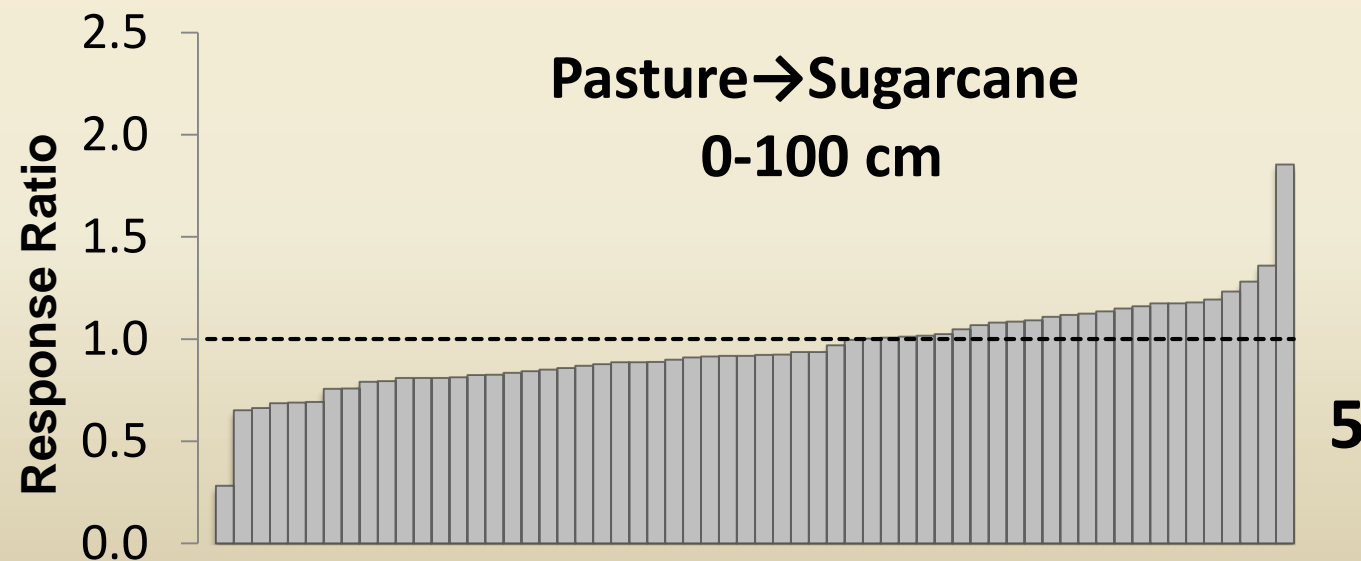
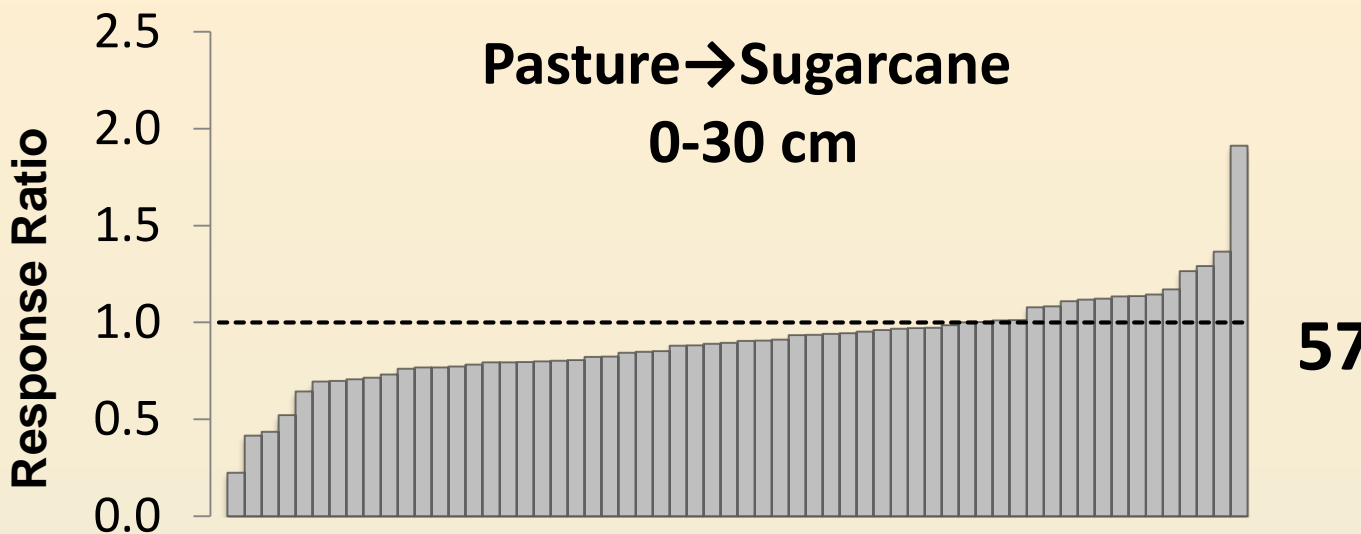
Sites

16

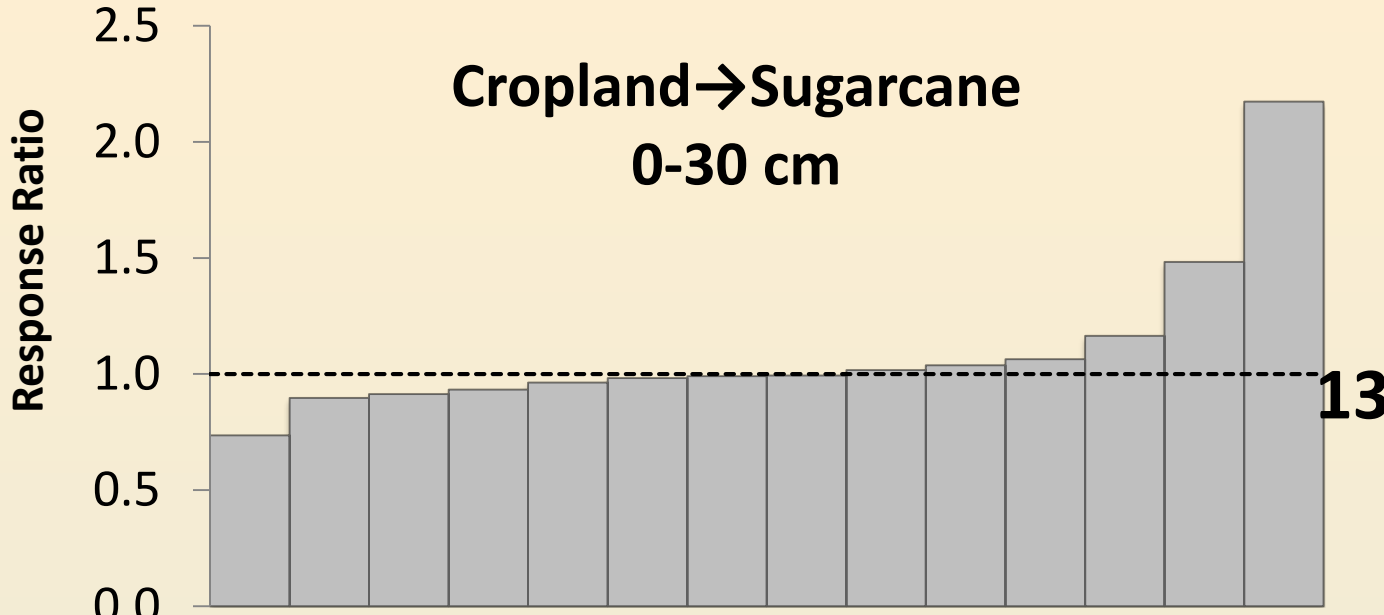
41

23

34

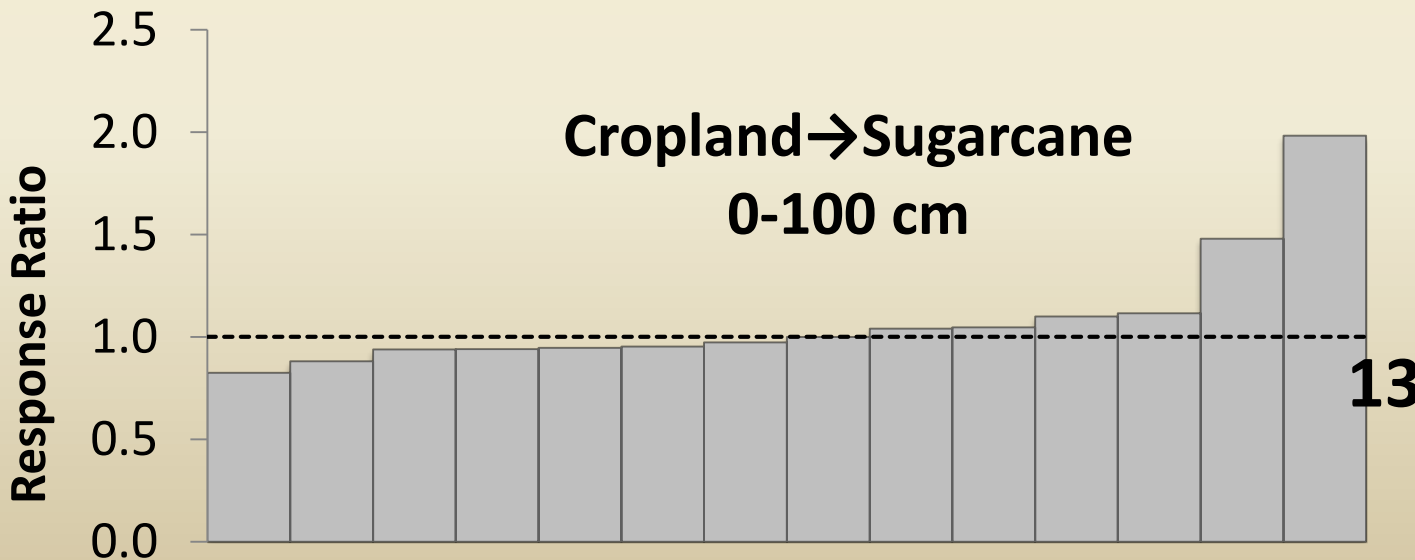


Sites



6

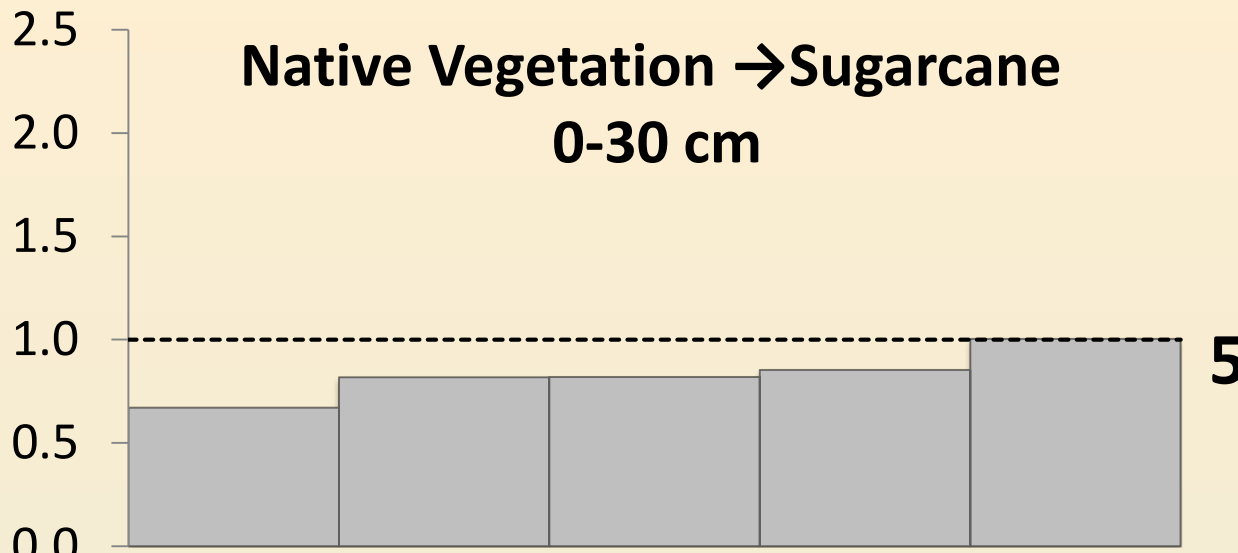
7



7

6

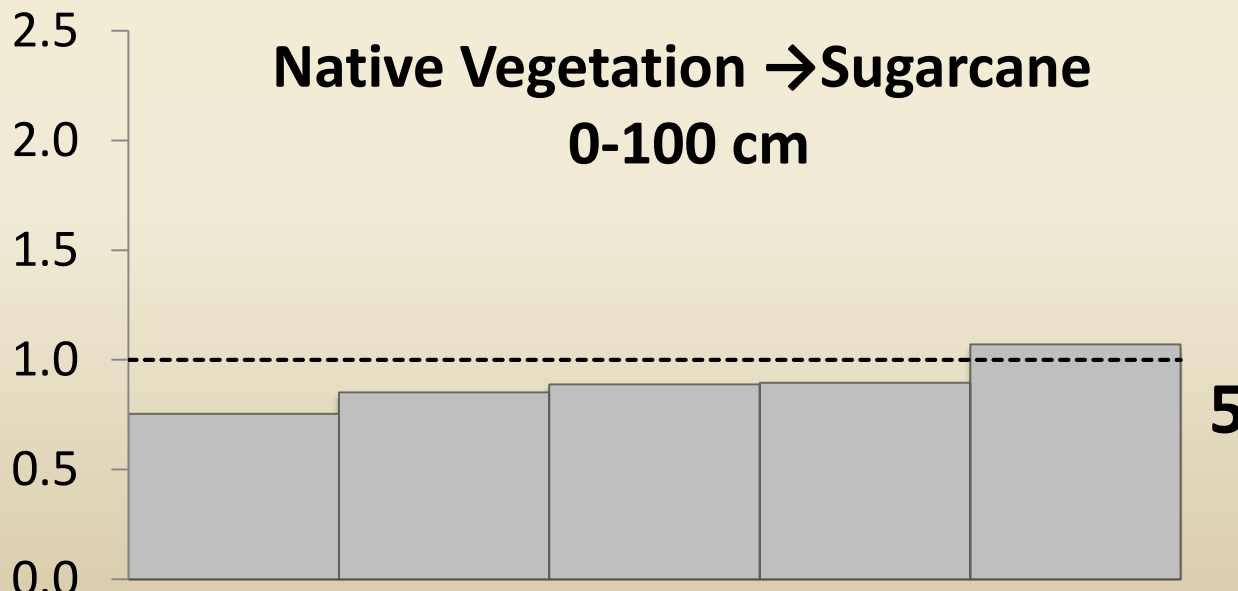
Response Ratio



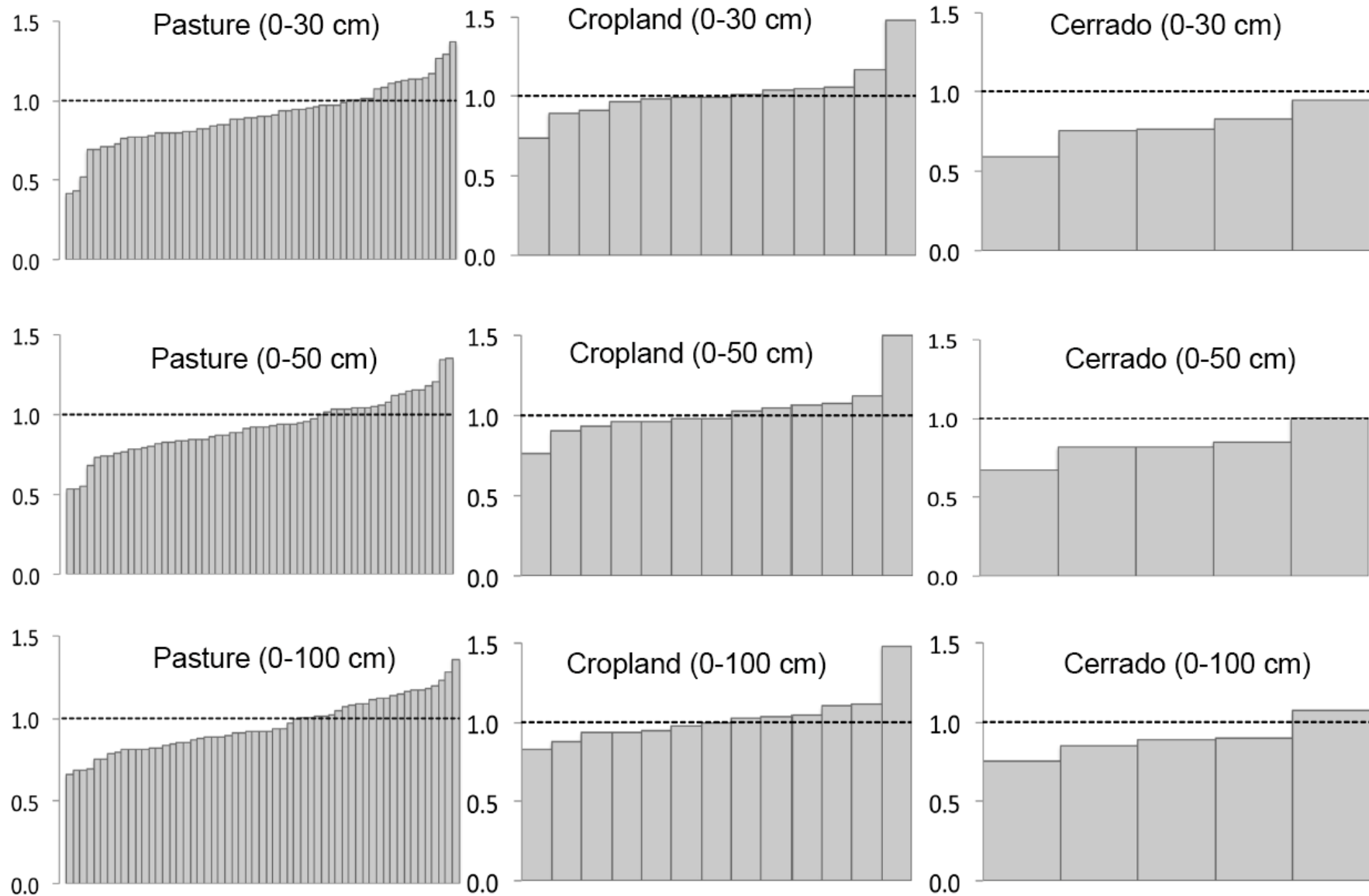
Sites



Response Ratio



Response Ratios



Response Ratios

Pasture (0-30 cm)



Pasture (0-100 cm)



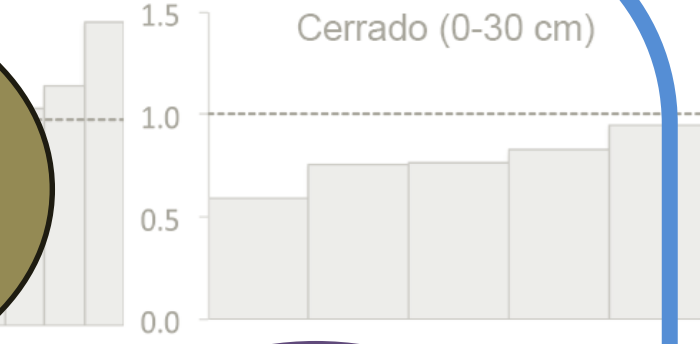
Soil C stocks
from sugar
cane and
references

Time span
after LUC
land use change

Land use
change factor

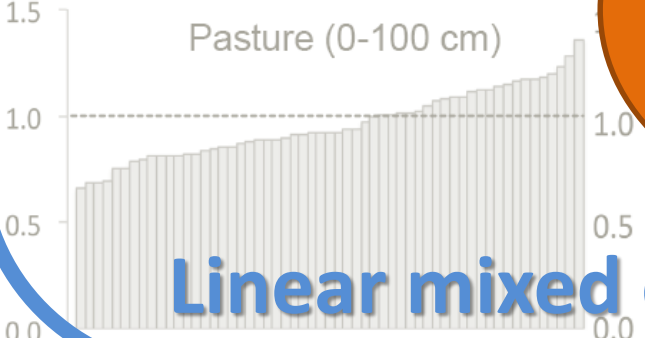
Soil type, soil
texture,
climate
factors

Cerrado (0-30 cm)



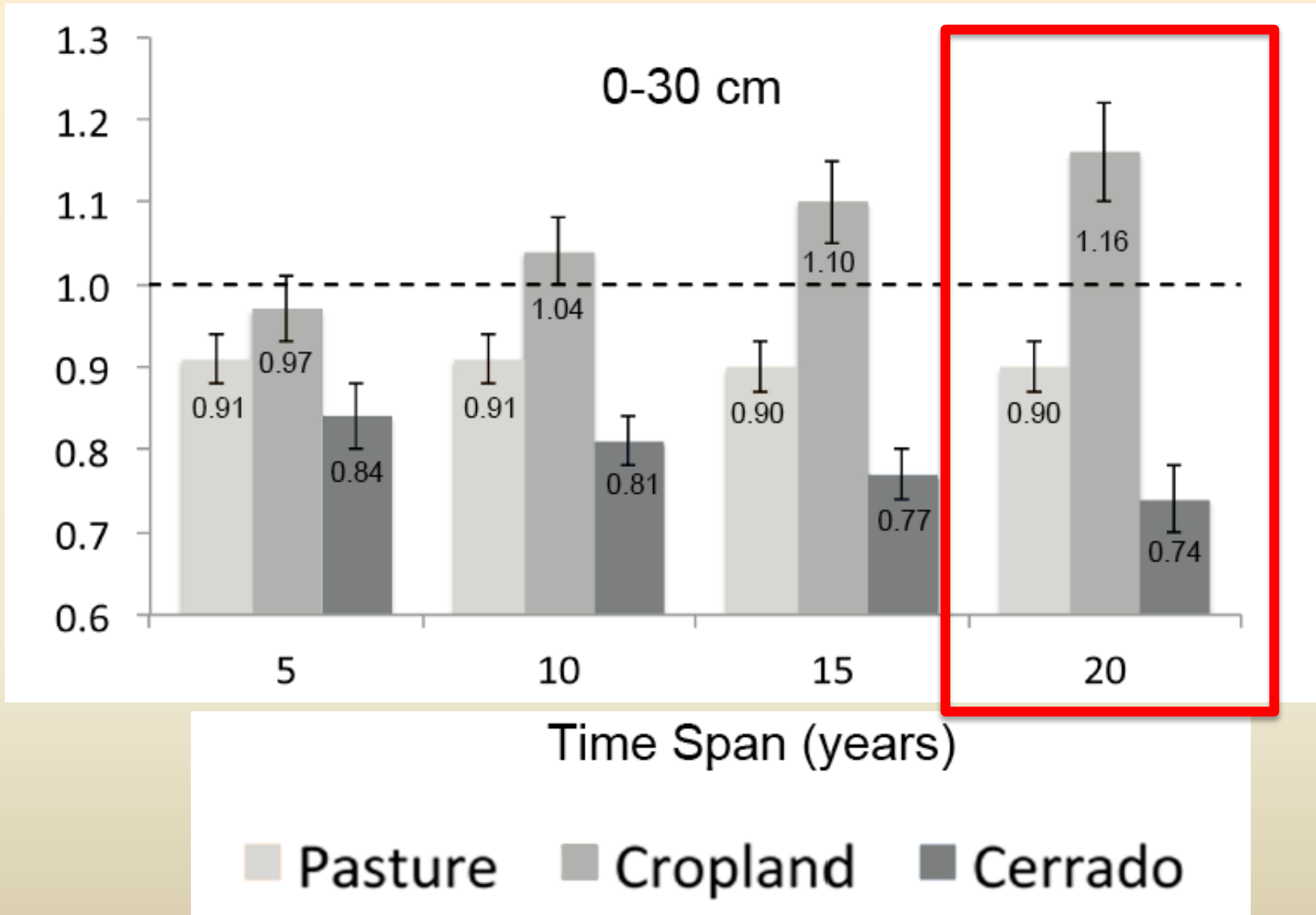
Adopted
management
burnt vs unburnt

Cerrado (0-100 cm)



Linear mixed effect modeling approach

Land use change factor



Conversion from Cerrado to Sugar Cane (< 1%)



Carbon Debt (20 years)

-77.8 Mg CO₂ ha⁻¹

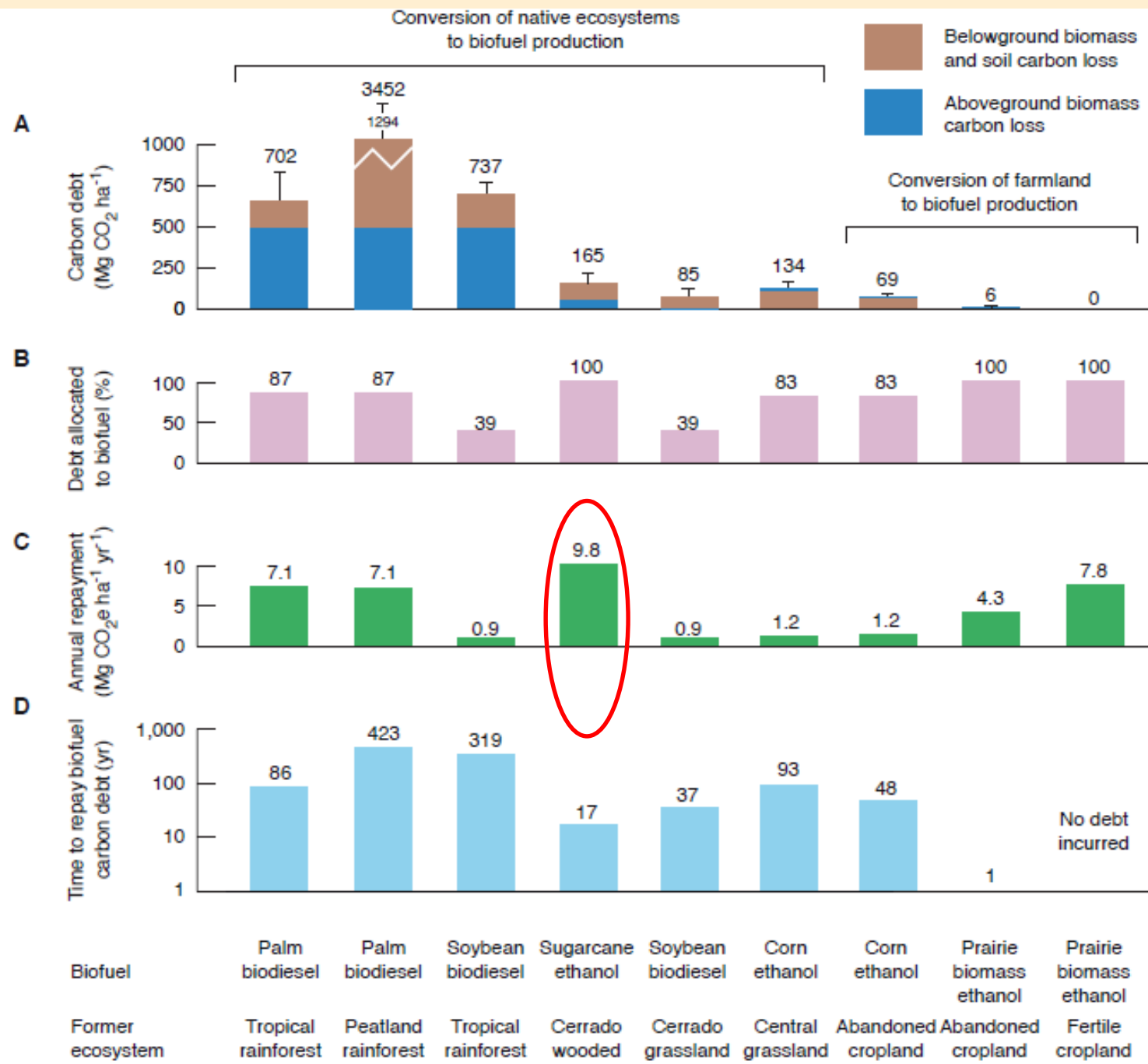
0-30 cm

PAYBACK TIME CALCULATION

Sugar Cane Ethanol Offset

9.8 Mg CO₂ ha⁻¹ yr⁻¹

Fargione et al. (2008) Science



Conversion from Cerrado to Sugar Cane (< 1%)



Payback time = 8 years

Conversion from Pasture to Sugar Cane



Carbon Debt (20 years)

-20 Mg CO₂ ha⁻¹ 0-30 cm
-32 Mg CO₂ ha⁻¹ 0-100 cm

Conversion from Pasture to Sugar Cane



Payback time = 2 to 3 years

Conversion from Annual Cropland to Sugar Cane



Carbon storage (20 years)

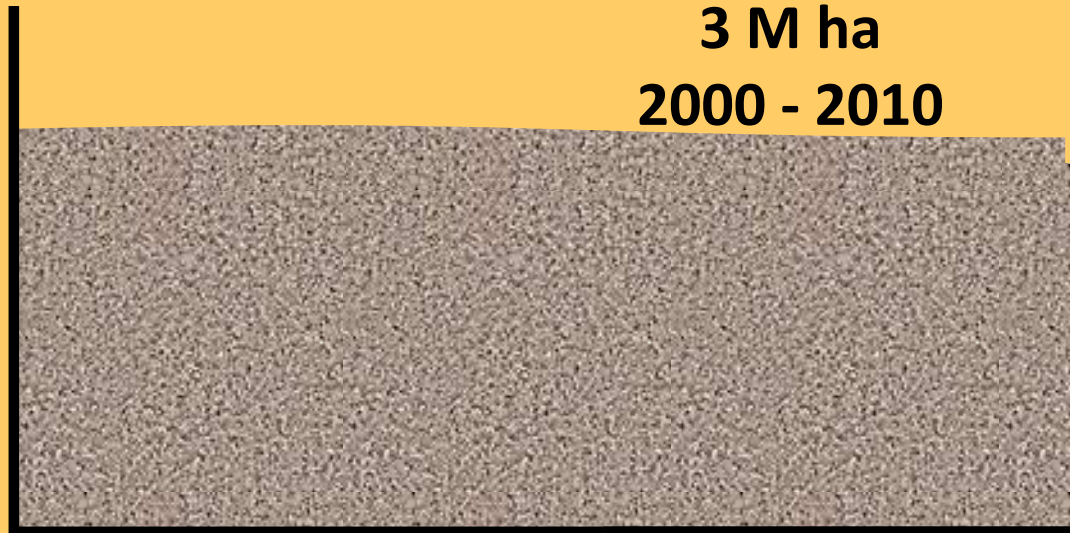
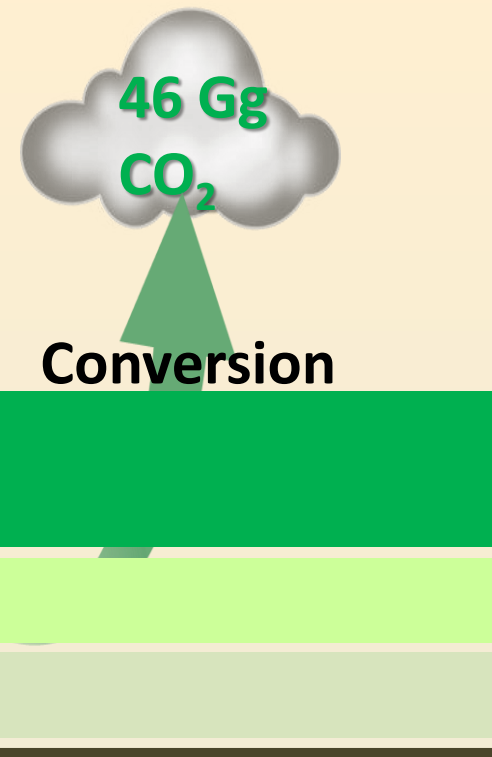
+36 Mg CO₂ ha⁻¹ 0-30 cm

+79 Mg CO₂ ha⁻¹ 0-100 cm

Conversion from Annual Cropland to Sugar Cane



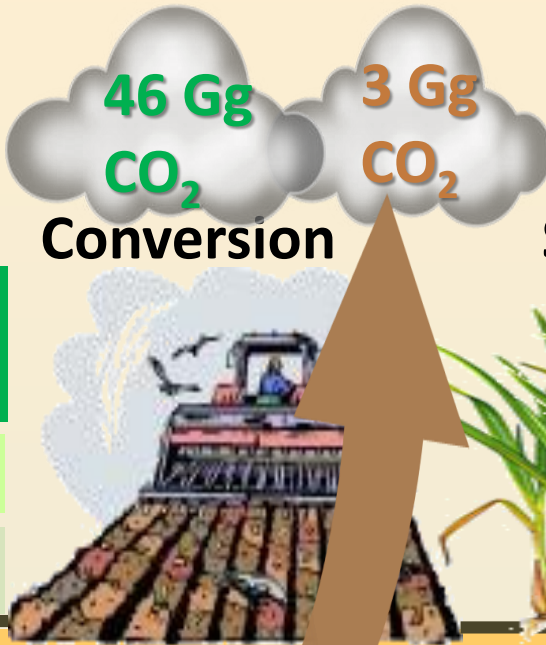
Payback time = ZERO



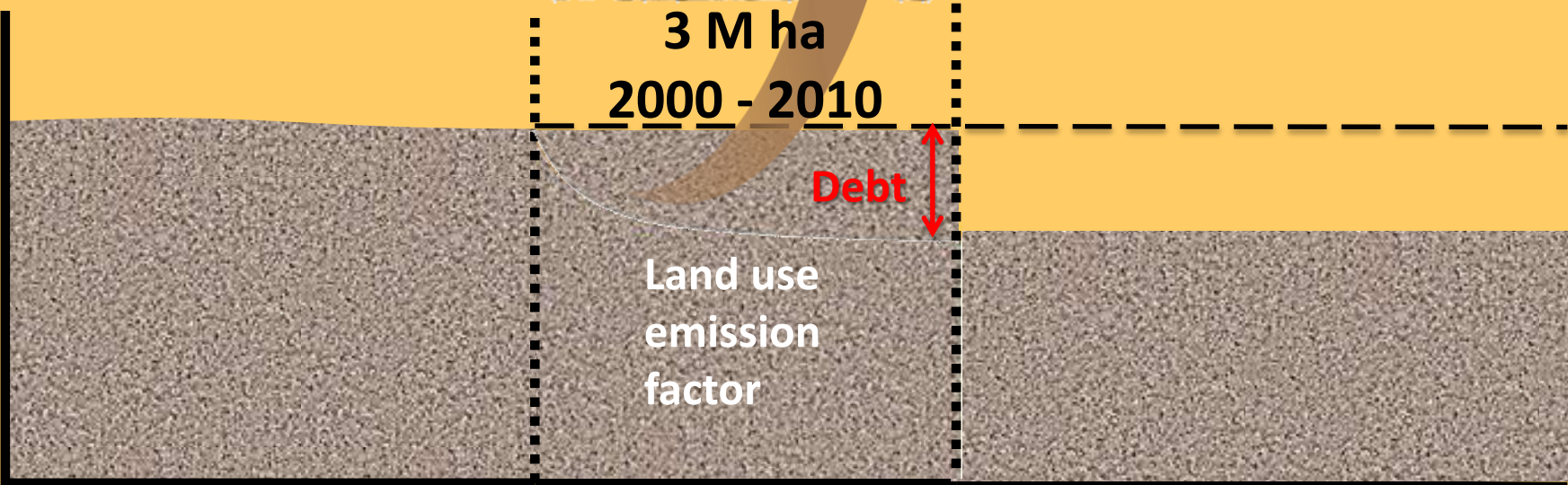
Yields Net Ecosystem Emissions
 $0.7 - 1.0 \text{ Mg CO}_2 \text{ ha}^{-1} \text{ yr}^{-1}$

Offset
 $9.8 \text{ Mg CO}_2 \text{ ha}^{-1} \text{ yr}^{-1}$

Biomass Carbon



Soil Carbon



Years

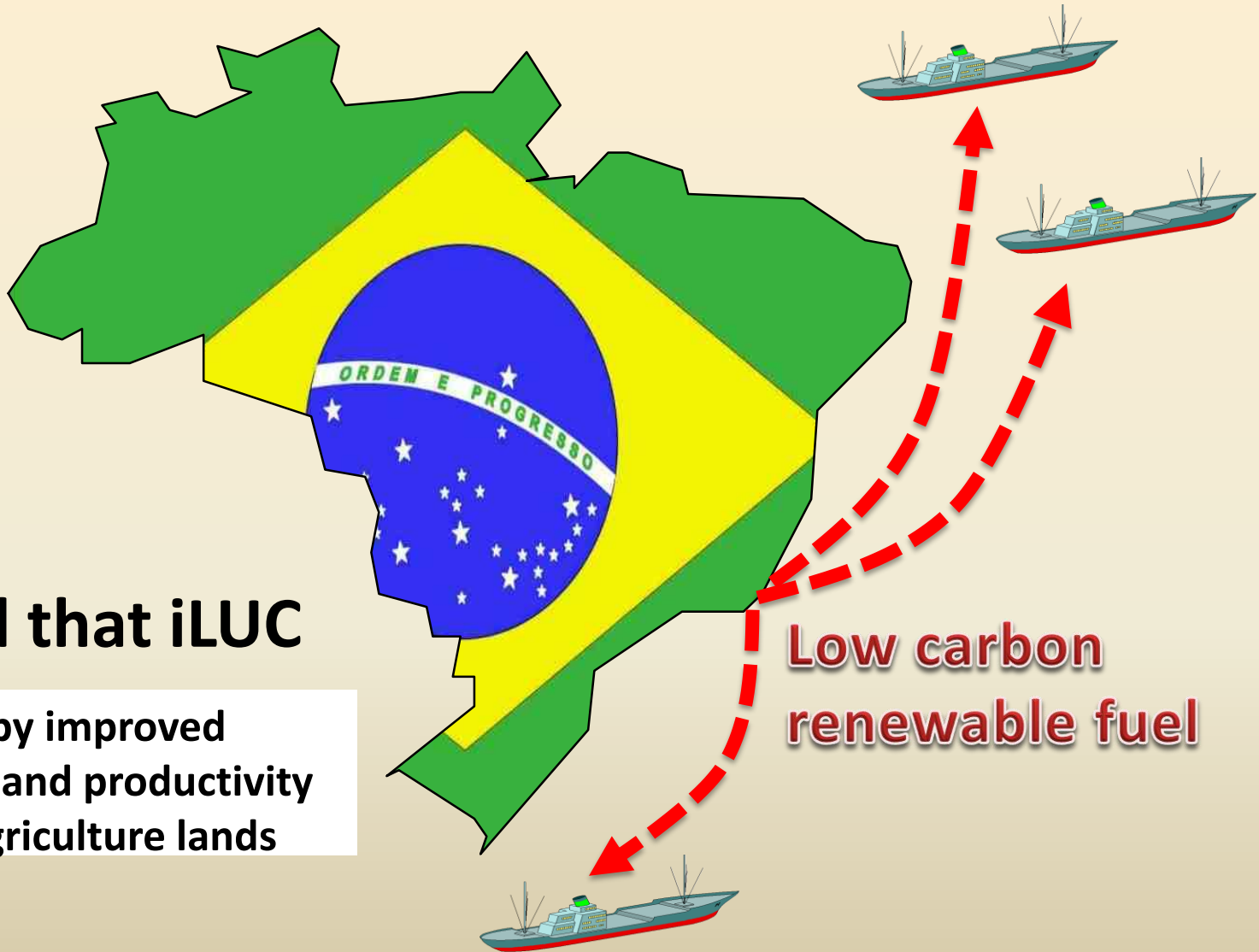
Weeks

Years

Significant role in delivering

Provided that iLUC

Is minimized by improved
management and productivity
on residual agriculture lands



Payback time for soil carbon and sugar-cane ethanol

Francisco F. C. Mello^{1,2*}, Carlos E. P. Cerri³, Christian A. Davies⁴, N. Michele Holbrook^{2,5}, Keith Paustian⁶, Stoécio M. F. Maia⁷, Marcelo V. Galdos⁸, Martial Bernoux⁹ and Carlos C. Cerri¹

Couple of questions:

- How much is the Soil Carbon Debt and Payback Time due to these conversions?
- How to produce sugar cane ethanol in a sustainable way and increase the fossil fuel offset?

$\text{CO}_2\text{eq liter}^{-1}$



Fossil Fuel

Extraction
Transport
Processing
Combustion

CO_2 **N_2O** **CH_4**

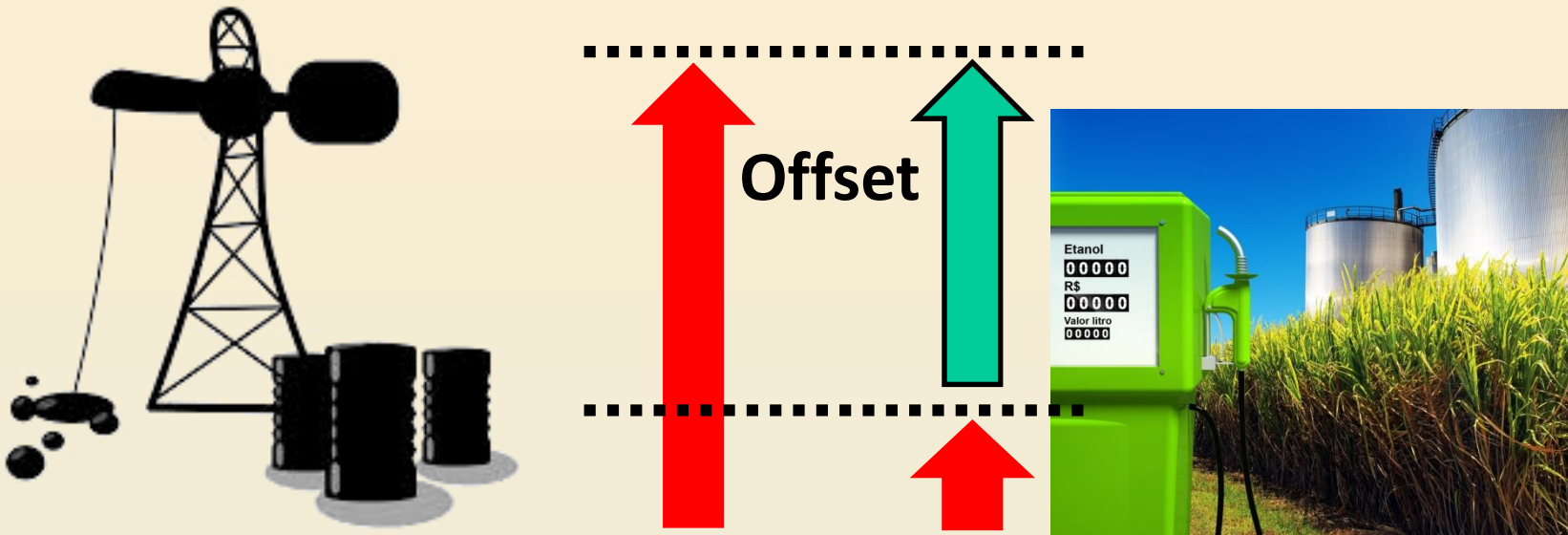


Biofuel

Emissions from field
Industry
Transport
Combustion

CO_2 **N_2O** **CH_4**
fossil

$\text{CO}_2\text{eq liter}^{-1}$



Fossil Fuel

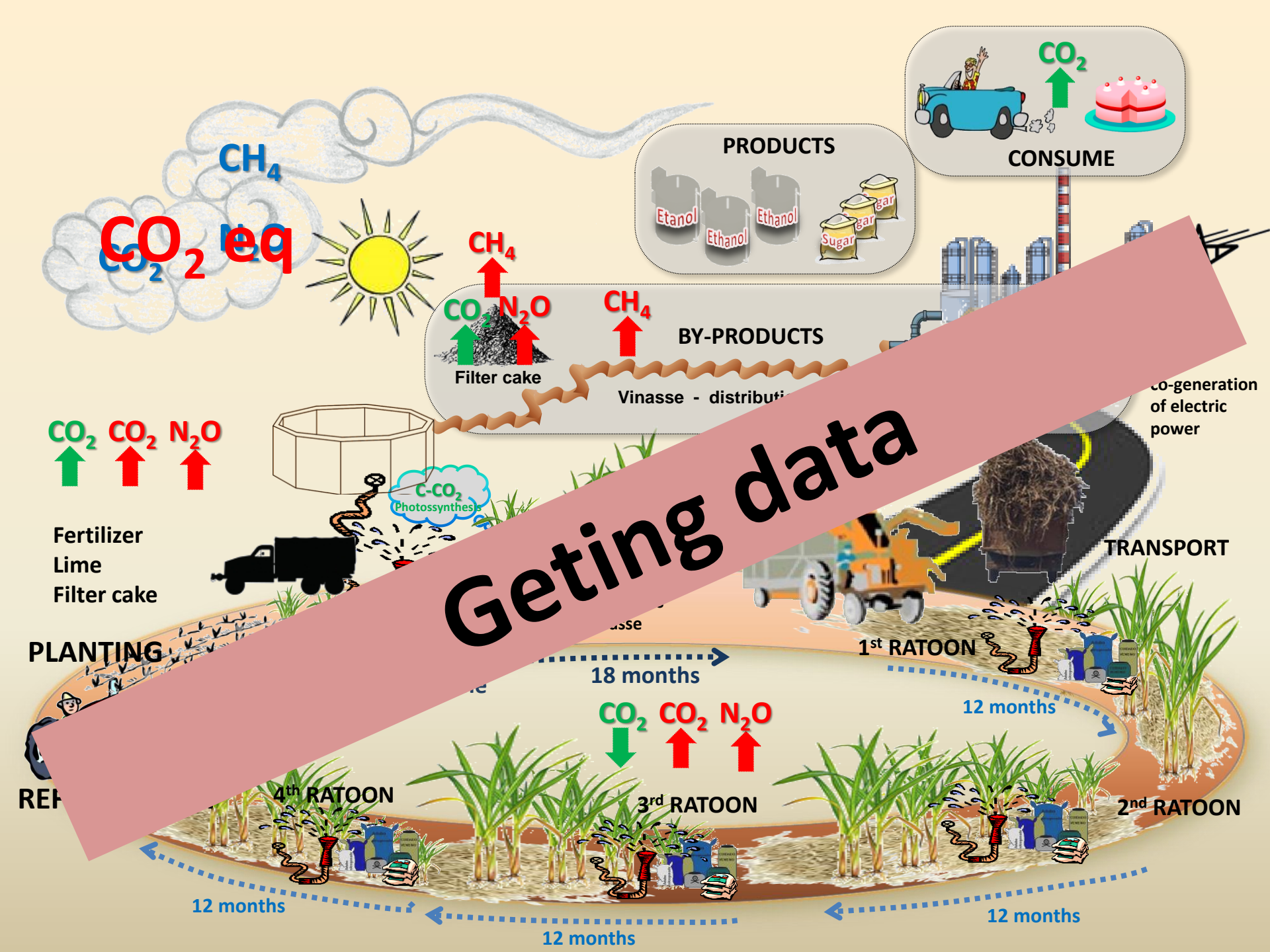
Extraction
Transport
Processing
Combustion

CO_2 **N_2O** **CH_4**

Biofuel

Emissions from field
Industry
Transport
Combustion

CO_2 **N_2O** **CH_4**
fossil





1

2

3

4

5

6

7

8

9

10

11

12

13

14

15

16

17

18

19

20

21

22

23

24

25

26

27

28

29

30

31

32

33

34

35

36

37

38

39

40

41

42

43

44

45

46

47

48

49

50

51

52

53

54

55

56

57

58

59

60

61

62

63

64

65

66

67

68

69

70

71

72

73

74

75

76

77

78

79

80

81

82

83

84

85

86

87

88

89

90

91

92

93

94

95

96

97

98

99

100

101

102

103

104

105

106

107

108

109

110

111

112

113

114

115

116

117

118

119

120

121

122

123

124

125

126

127

128

129

130

131

132

133

134

135

136

137

138

139

140

141

142

143

144

145

146

147

148

149

150

151

152

153

154

155

156

158

159

160

161

162

163

164

165

166

167

168

169

170

171

172

173

174

175

176

177

178

179

180

181

182

183

184

185

186

187

188

189

190

191

192

193

194

195

196

197

198

199

200

201

202

203

204

205

206

207

208

209

210

211

212

213

214

215

216

217

218

219

220

221

222

223

224

225

226

227

228

229

230

231

232

233

234

235

236

237

238

239

240

241

242

243

244

245

246

247

248

249

250

251

252

253

254

255

256

257

258

259

260

264

265

266

267

268

269

270

271

272

273

274

276

277

278

279

280

281

282

283

284

285

286

288

289

290

291

292

293

294

295

296

297

298

299

300

301

302

303

304

305

306

307

308

309

310

311

312

313

314

315

316

317

318

319

320

321

322

323

324

325

326

327

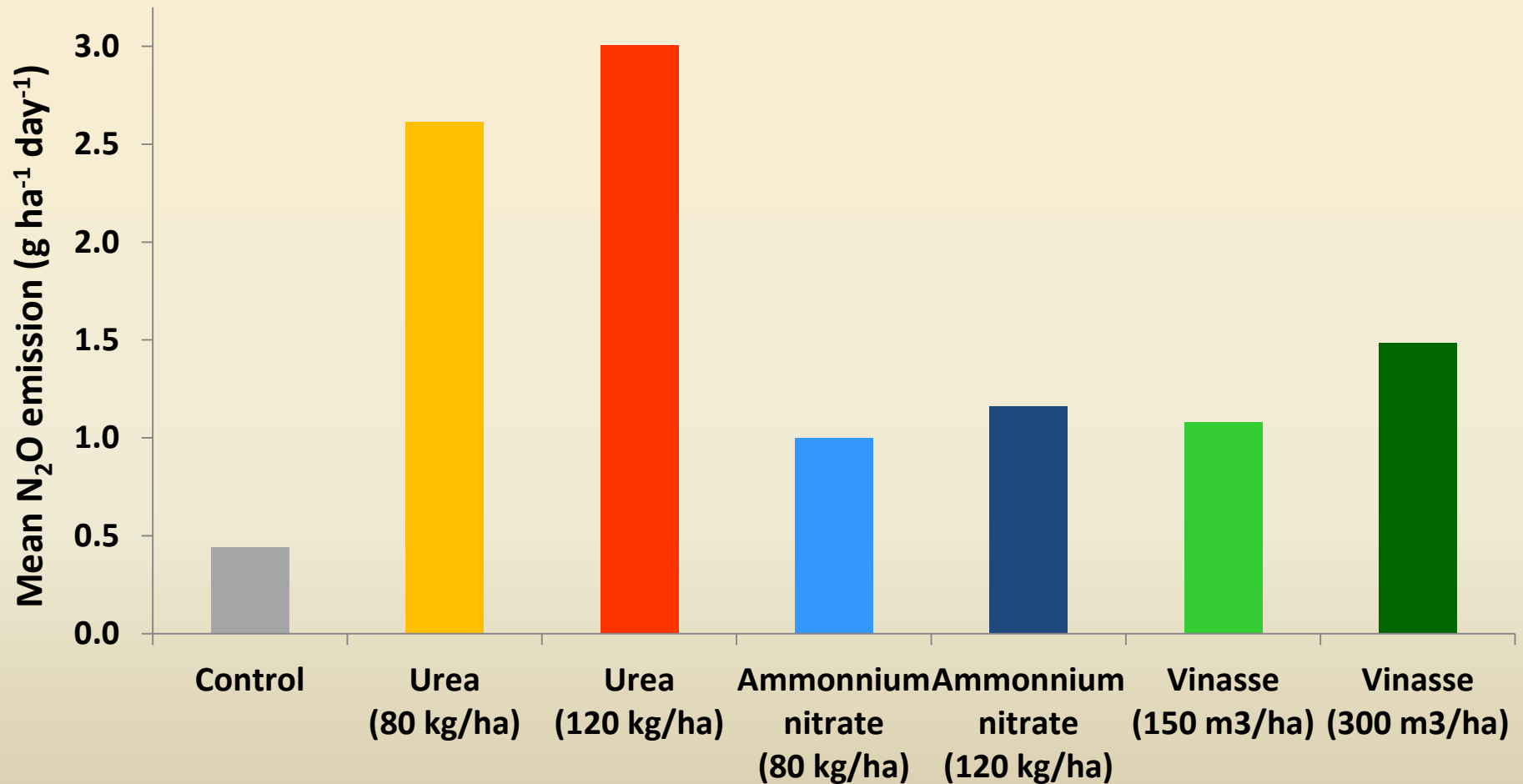






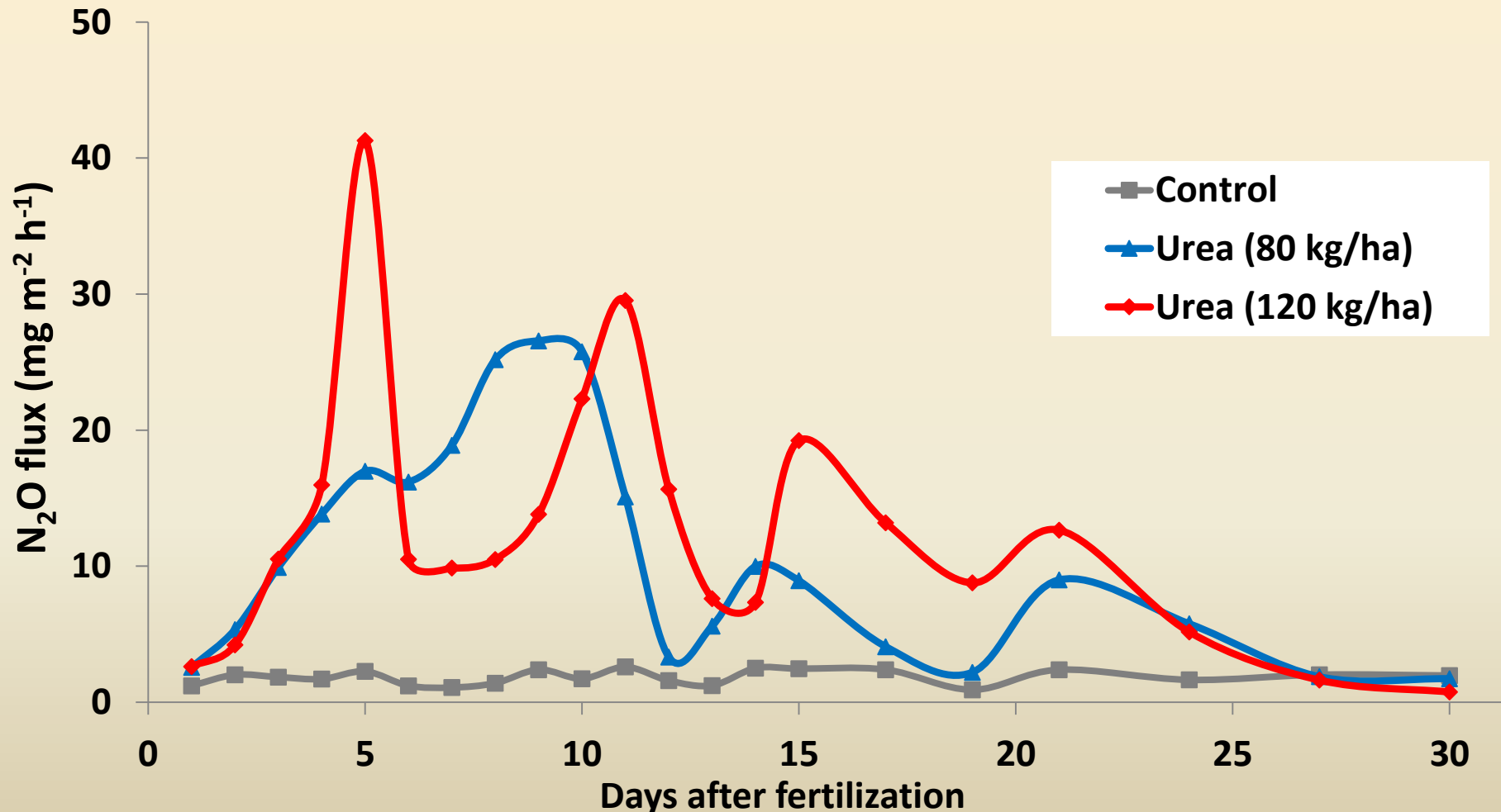
N_2O EMISSIONS FROM SUGARCANE CULTIVATION

N_2O from N-fertilizer and vinasse application in the ratoon sugarcane



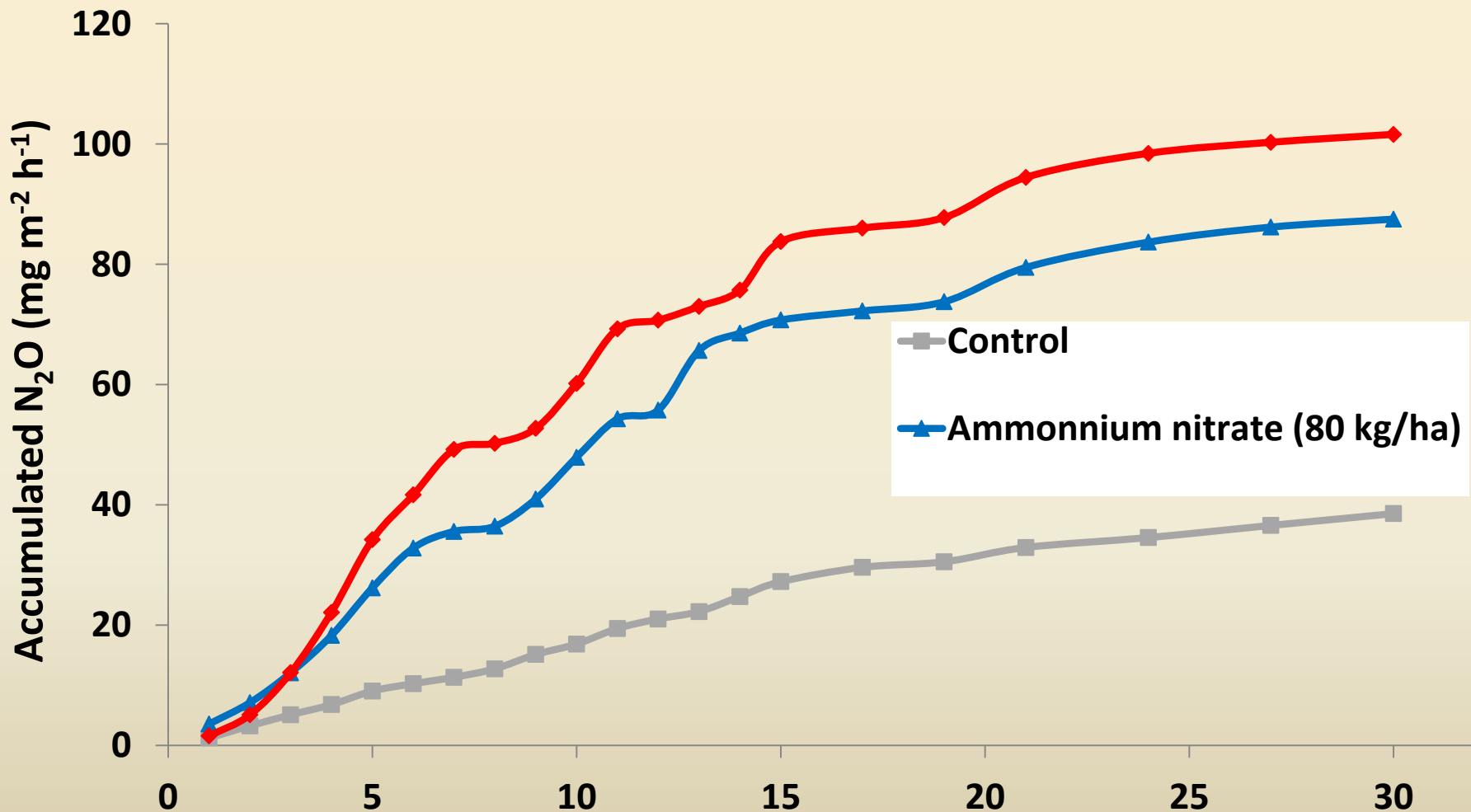
N_2O EMISSIONS FROM SUGARCANE CULTIVATION

N_2O from N-fertilizer (urea) application in the ratoon sugarcane



N_2O EMISSIONS FROM SUGARCANE CULTIVATION

N_2O from N-fertilizer (ammonium nitrate) application in the ratoon sugarcane



Sampling of methane emitted by vinasse



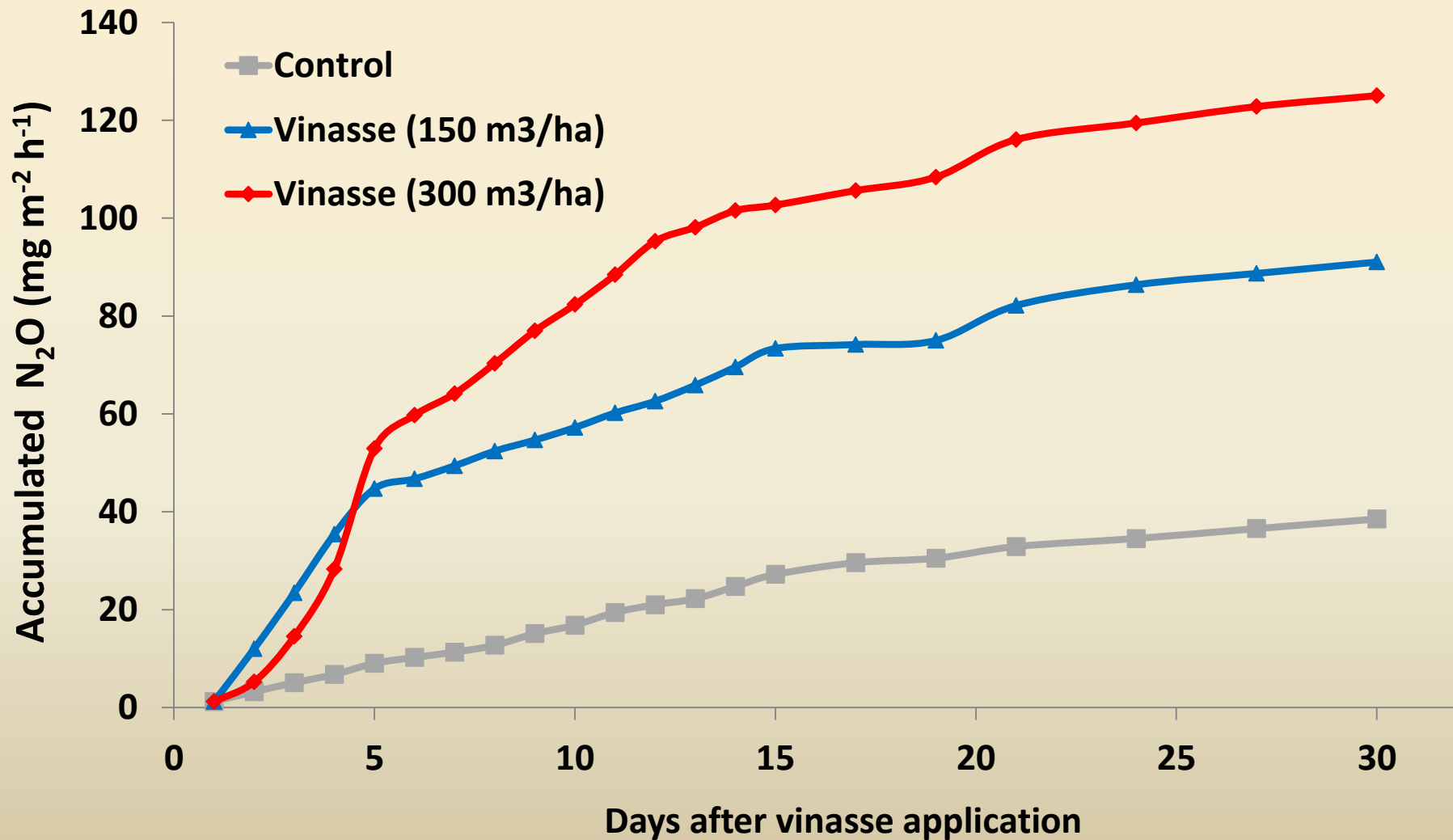
GHG sampling

Automatic chambers



N_2O EMISSIONS FROM SUGARCANE CULTIVATION

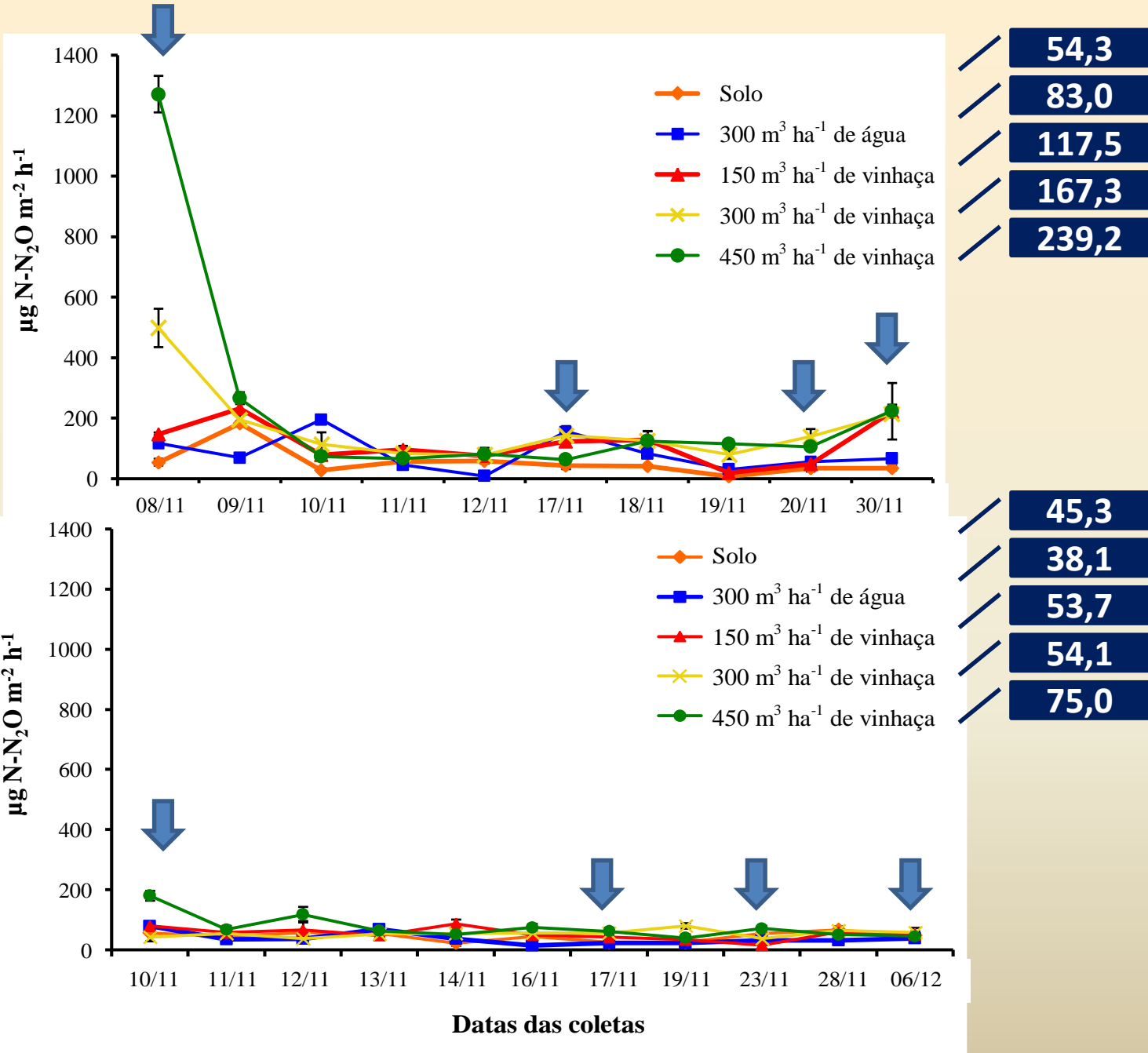
N_2O from vinasse application in the ratoon sugarcane



ÓXIDONITROSO

2011

2012



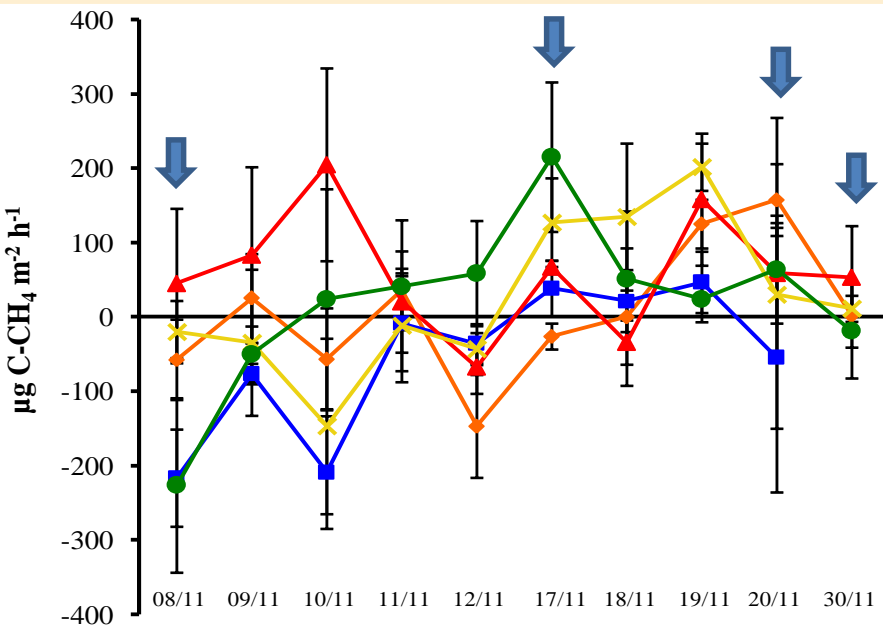
Fluxos acumulados de N₂O em área cultivada com cana-de-açúcar no município de Piracicaba-SP em 2011 e 2012

Tratamentos	2011	2012
		<i>g N-N₂O ha⁻¹</i>
Solo	210,5 c	253,2 b
300 m³ ha⁻¹ de água	395,8 b	253,5 b
150 m³ ha⁻¹ de vinhaça	466,5 b	306,4 ab
300 m³ ha⁻¹ de vinhaça	525,5 b	363,0 a
450 m³ ha⁻¹ de vinhaça	660,1 a	407,3 a

Médias seguidas pelas mesmas letras não diferem pelo teste de Tukey (*p*<0,05).

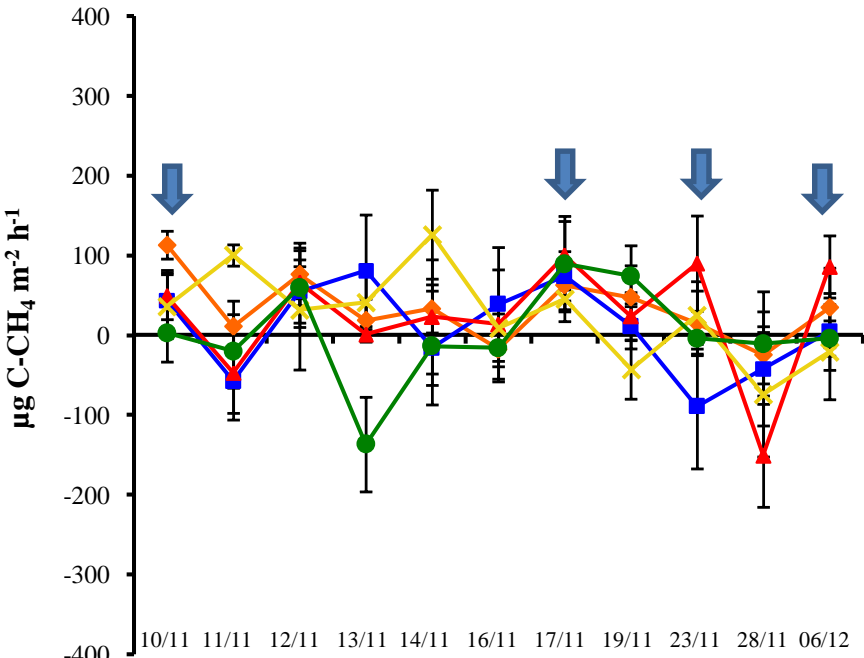
METANO

2011



Solo
300 $\text{m}^3 \text{ ha}^{-1}$ de água
150 $\text{m}^3 \text{ ha}^{-1}$ de vinhaça
300 $\text{m}^3 \text{ ha}^{-1}$ de vinhaça
450 $\text{m}^3 \text{ ha}^{-1}$ de vinhaça

2012



Solo
300 $\text{m}^3 \text{ ha}^{-1}$ de água
150 $\text{m}^3 \text{ ha}^{-1}$ de vinhaça
300 $\text{m}^3 \text{ ha}^{-1}$ de vinhaça
450 $\text{m}^3 \text{ ha}^{-1}$ de vinhaça

5,7
-54,8
58,8
24,7
18,2

35,0
9,3
23,0
25,0
1,8

t

Datas das Coletas

Fluxos acumulados de CH₄ em área cultivada com cana-de-açúcar no município de Piracicaba-SP em 2011 e 2012

Tratamentos	2011	2012
Solo		$g\ C\text{-}CH_4\ ha^{-1}$
300 m³ ha⁻¹ de água	-12,1 a	47,5 a
150 m³ ha⁻¹ de vinhaça	-129,0 a	34,0 a
300 m³ ha⁻¹ de vinhaça	-333,9 a	35,3 a
450 m³ ha⁻¹ de vinhaça	-146,0 a -97,3 a	37,8 a 39,9 a

Médias seguidas pelas mesmas letras não diferem pelo teste de Tukey ($p<0,05$).

SUMIDOURO

FONTE

Conversão dos fluxos de N-N₂O e C-CH₄ em CO₂ equivalente (CO₂eq)

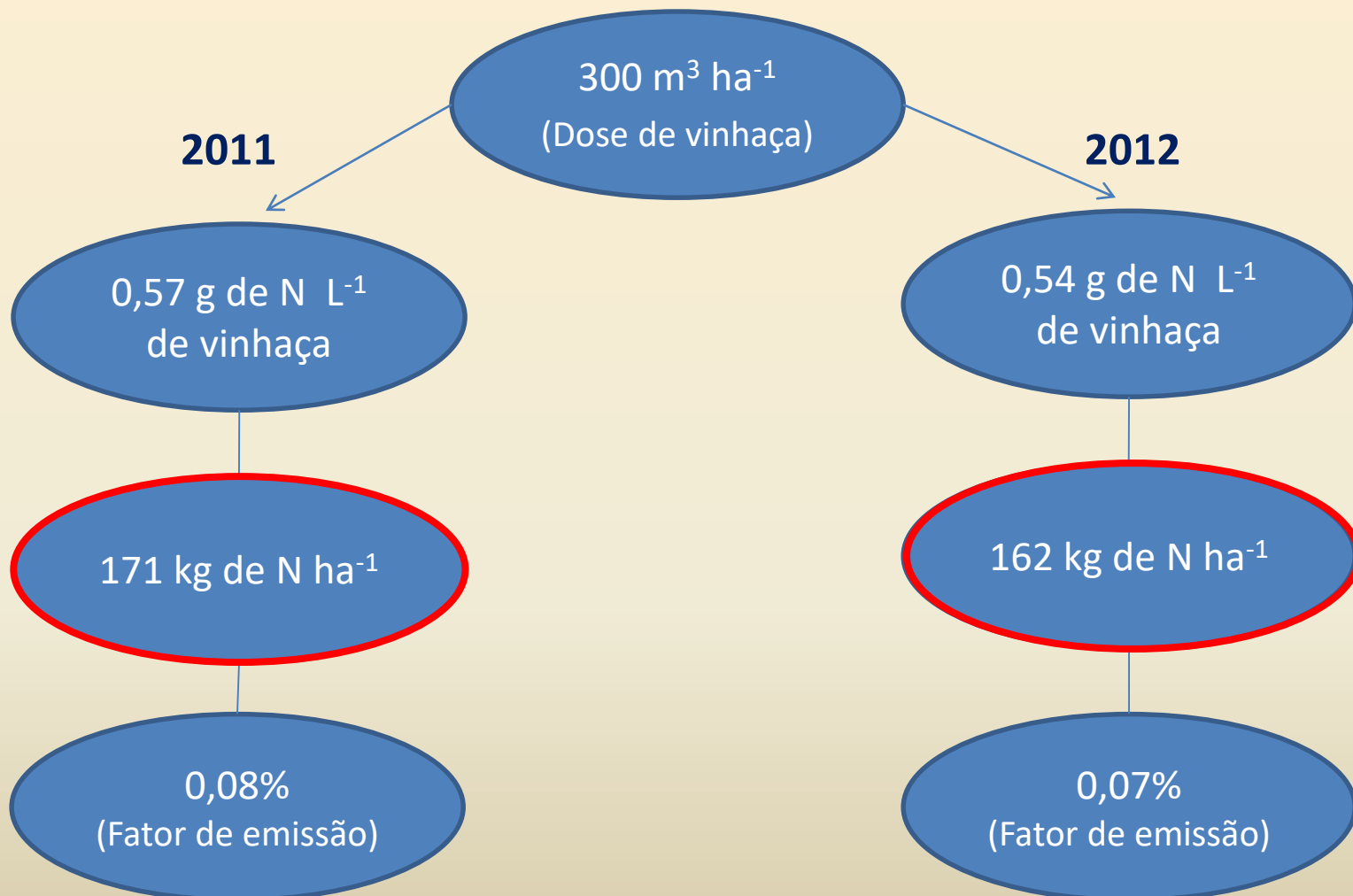
Tratamentos	CO ₂ eq (N ₂ O)	CO ₂ eq (CH ₄)	CO ₂ eq Total
Solo	98,58	-0,40	98,18
300 m ³ ha ⁻¹ de água	185,34	-4,30	181,04
150 m ³ ha ⁻¹ de vinhaça	218,48	-11,13	207,35
300 m ³ ha ⁻¹ de vinhaça	246,11	-4,87	241,24
450 m ³ ha ⁻¹ de vinhaça	309,09	-3,24	305,85

2011

Tratamentos	CO ₂ eq (N ₂ O)	CO ₂ eq (CH ₄)	CO ₂ eq Total
Solo	118,58	1,58	120,17
300 m ³ ha ⁻¹ de água	118,74	1,13	119,87
150 m ³ ha ⁻¹ de vinhaça	143,47	1,18	144,65
300 m ³ ha ⁻¹ de vinhaça	170,00	1,26	171,26
450 m ³ ha ⁻¹ de vinhaça	190,76	1,33	192,08

2012

Fator de emissão de N₂O devido à aplicação de vinhaça no solo



Foreseen expansion in area (10^6 ha) for the next 10 years

Soybean

Corn

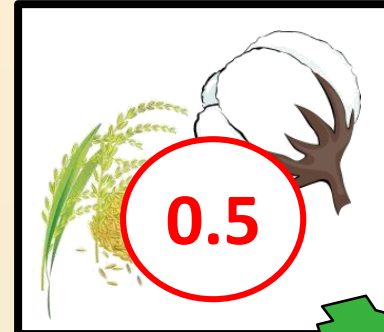
Others



5



0.5



0.5

Sugarcane

Oilseeds

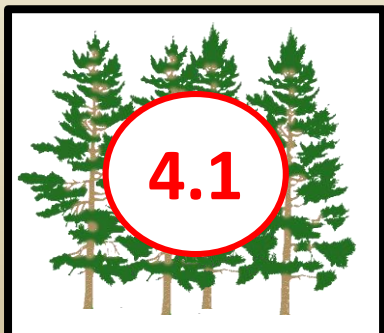


7



2.6

Reforestation



4.1

18-20 Mha



What about livestock ??

Uso da Terra no Brasil



212 M animals

196 Mha pasture

CC: 1.08 heads ha⁻¹

225 M animals

192 Mha pasture

CC: 1.17 heads ha⁻¹

+ 4 Mha

244 M animals

185 Mha pasture

CC: 1.32 heads ha⁻¹

+ 11 Mha

Avanço da cana é maior nas pastagens

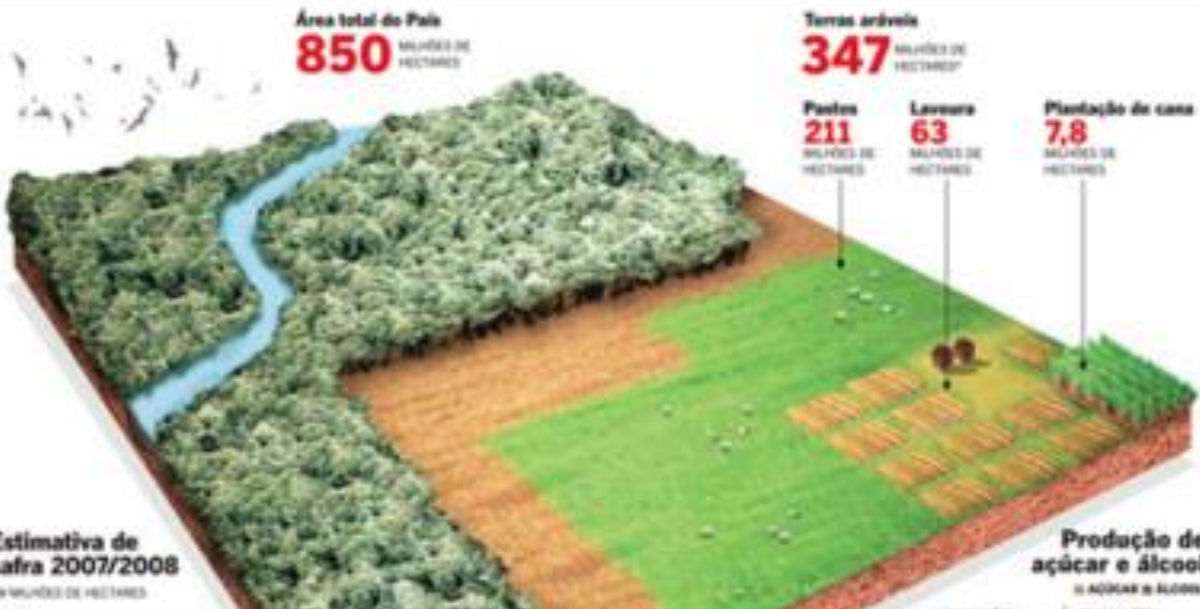
Estudo derruba tese de que etanol reduz a produção de alimentos

Le Alko Otto
BRASÍLIA

criação de gado, ela foi ocupada por canaviais. Não há, porém, prejuízos para a

NÚMEROS DO CAMPO O uso das terras no Brasil

A lavoura de cana-de-açúcar está avançando no País, mas, de acordo com estudo da Conab, não ameaça a área onde são produzidos alimentos



Sugar Cane expansion

244 M animals

185 Mha pasture

CC: 1.32 heads ha⁻¹

+ 11 Mha

2021

Cerri 2014



Livestock
Improving efficiency

+ 25 %

Avanço da cana é maior nas pastagens

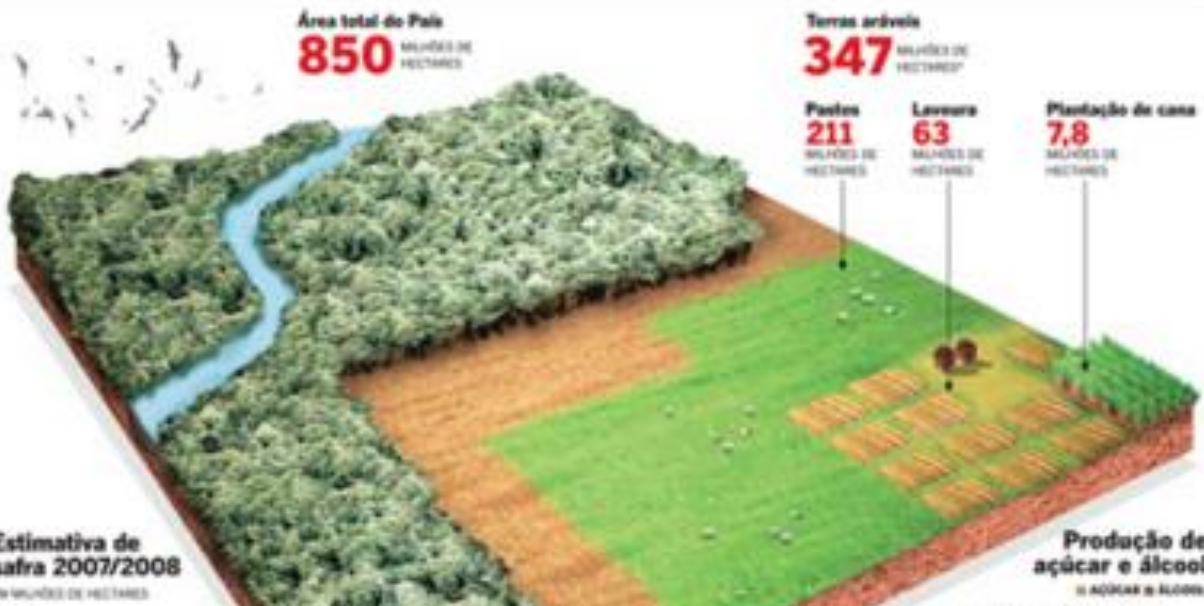
Estudo derruba tese de que etanol reduz a produção de alimentos

Le Aliko Otta
BRASÍLIA

criação de gado, ela foi ocupada por canavais. Não há, porém, prejuízos para a

NÚMEROS DO CAMPO O uso das terras no Brasil

A lavoura de cana-de-açúcar está avançando no País, mas, de acordo com estudo da Conab, não ameaça a área onde são produzidos alimentos



Livestock

Improving efficiency

+ 15 % heads

+ 25 %

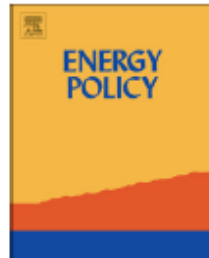
- 10 % land area



Contents lists available at [ScienceDirect](#)

Energy Policy

journal homepage: www.elsevier.com/locate/enpol



Short Communication

Meeting the global demand for biofuels in 2021 through sustainable land use change policy



José Goldemberg ^{a,*}, Francisco F.C. Mello ^b, Carlos E.P. Cerri ^c,
Christian A. Davies ^d, Carlos C. Cerri ^b

^a IIE-Institute of Energy and Environment, University of São Paulo, São Paulo, SP, Brazil

^b Center for Nuclear Energy in Agriculture, University of São Paulo, Piracicaba, SP, Brazil

^c "Luiz de Queiroz" College of Agriculture, University of São Paulo, Piracicaba, SP, Brazil

^d Shell Technology Centre Houston, 3333 Highway 6 South, Houston, TX 77082, USA

Avaliação do estoque de C no solo e fluxo de GEE

Situações

Ecossistemas naturais não perturbados do Brasil

Emissão de GEE pelas atividades agrícolas no Brasil

Agrossistemas do Brasil

Mudança de uso da terra

Mudança de manejo

Estratégias de avaliação

Utilizando fatores

Analisando amostras de terra

Cronossequências

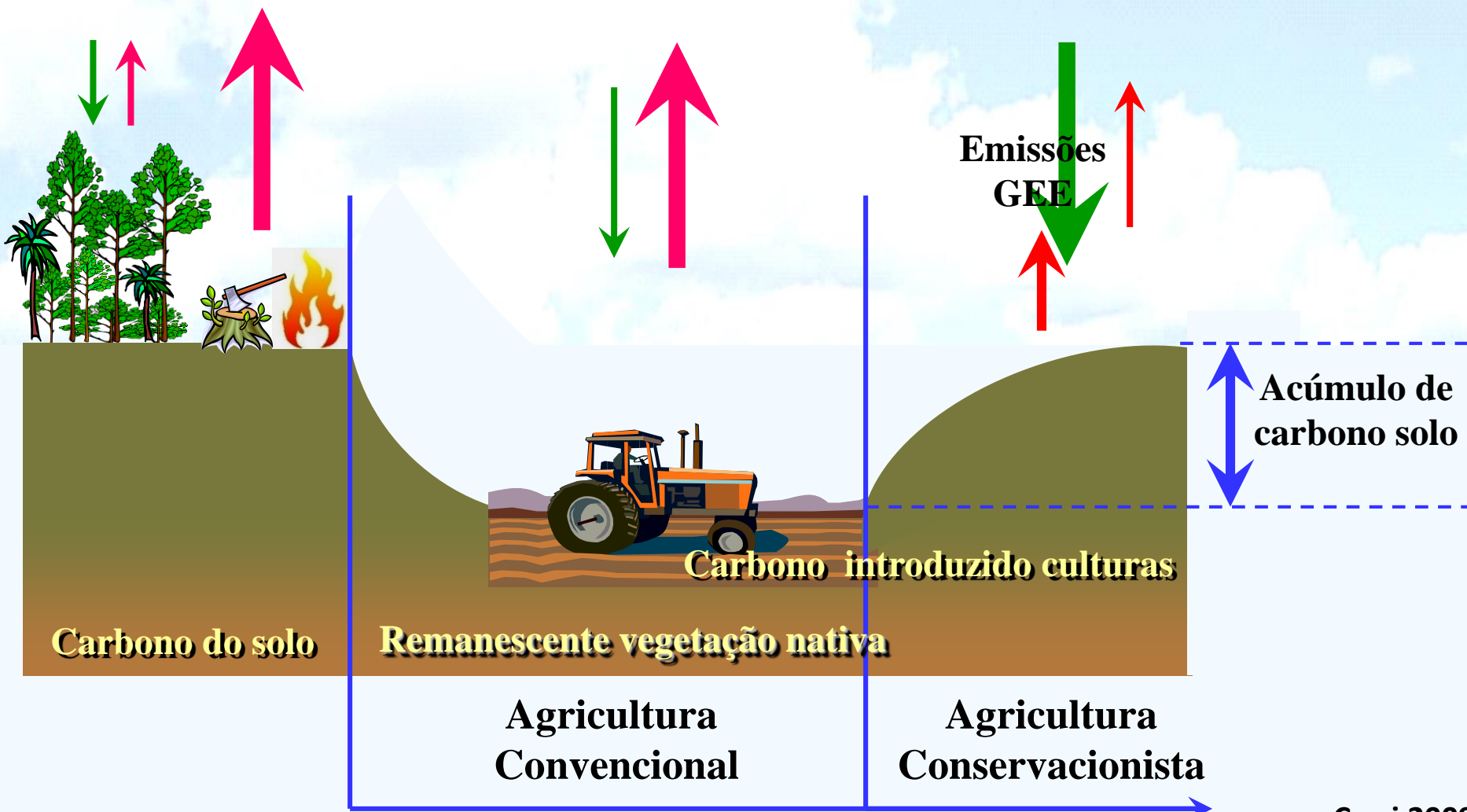
Pares

**Seqüestro
C solo**

=

**Acúmulo
C solo**

**Emissão de
Gases de Efeito Estufa**

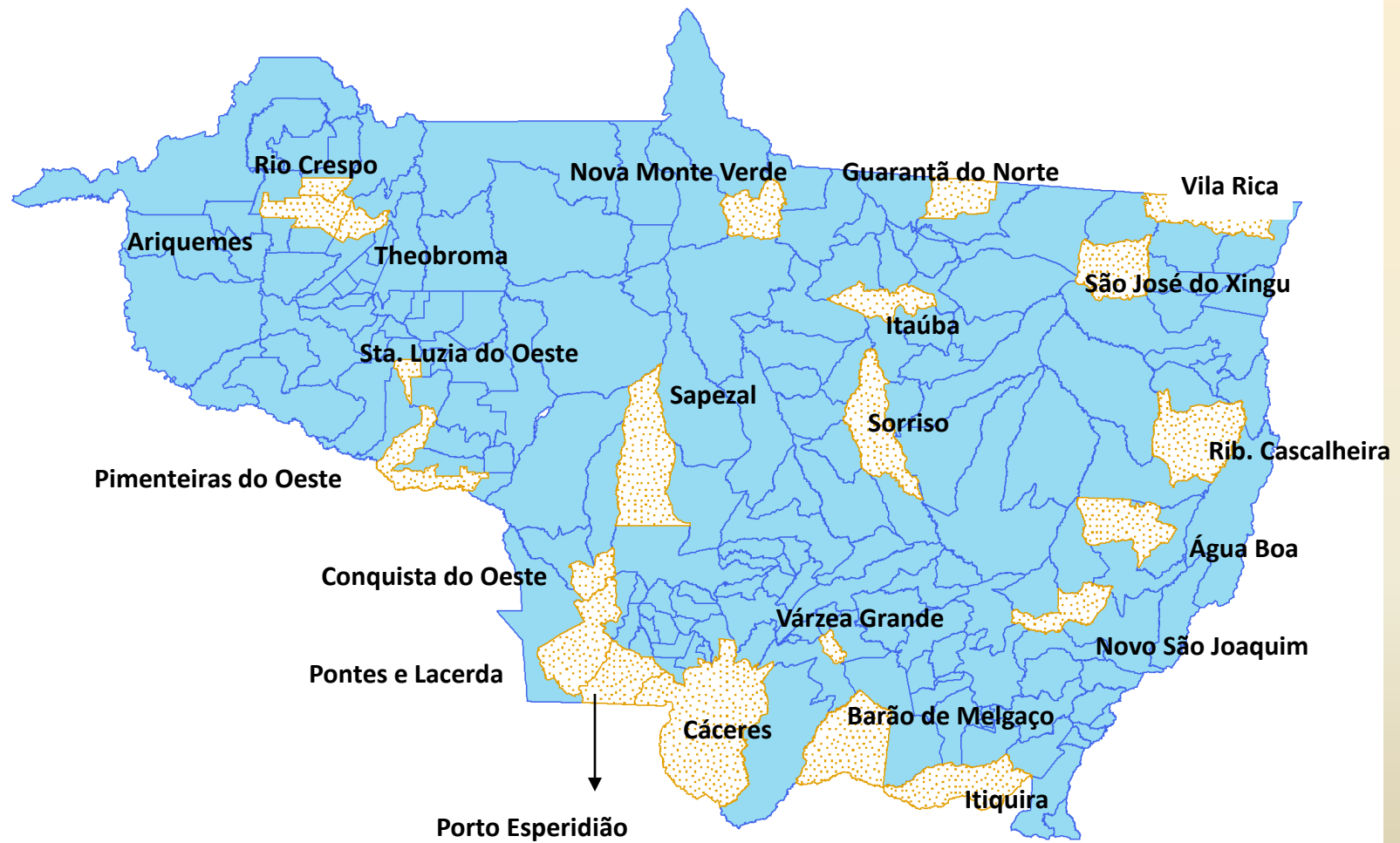


Avaliação do estoque de C no solo e fluxo de GEE devido à mudança do manejo agrícola

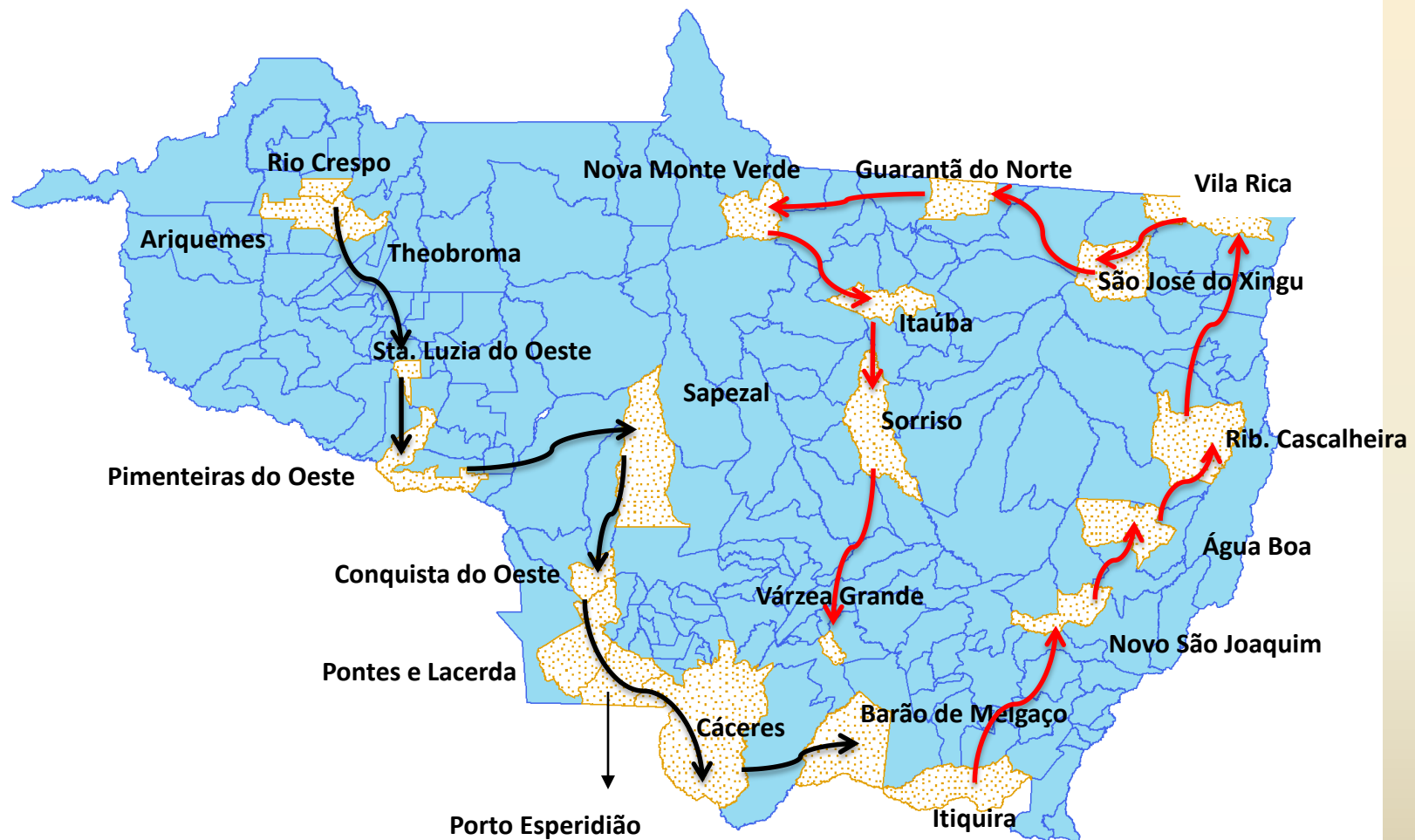
Melhoramento de pastagens

Cana-de-açúcar: colheita precedida ou não por queima da palhada

Preparo convencional do solo versus plantio direto na palha



Missão de campo



Validação das ecorregiões em expedição de campo



Vista da vegetação nativa (Cerrado) (a), pastagem em condição normal de uso (b), área cultivada com soja com safrinha de milheto (c) e área com cultivo de algodão (d) no município de Novo São Joaquim (MT).

Validação das ecorregiões em expedição de campo



Vista da vegetação nativa (Cerrado) (a), da superfície do solo (b) e de um perfil de solo (c) de um Latossolo Petrico com no Alto Pantanal no município de Poconé (MT).

Validação das ecorregiões em expedição de campo



Vista da vegetação nativa (Floresta Ombrófila) (a), áreas sob plantio convencional de soja em pousio (b), áreas com plantio direto de soja e com safrinha de milho (c), pastagem altamente degradada (d) e, pastagem moderadamente degradada (e) no município de Pimenteiras d' Oeste (RO).

Validação das ecorregiões em expedição de campo



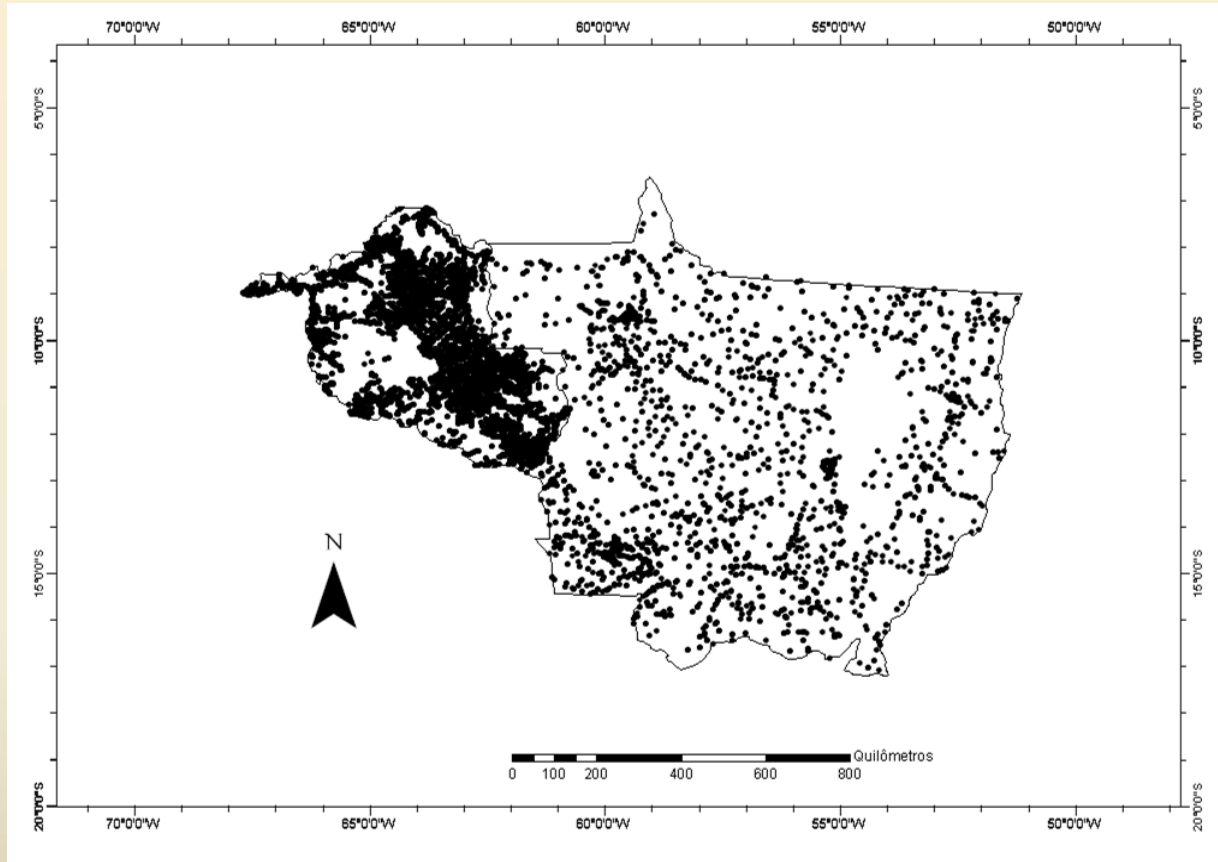
Vista da vegetação nativa (Cerrado) (a), da mini-trincheira para a amostragem de solo sob vegetação nativa (b) e um perfil no Latossolo vermelho (c) na Fazenda Carioca no município de Itiquira (MT).

Validação das ecorregiões em expedição de campo



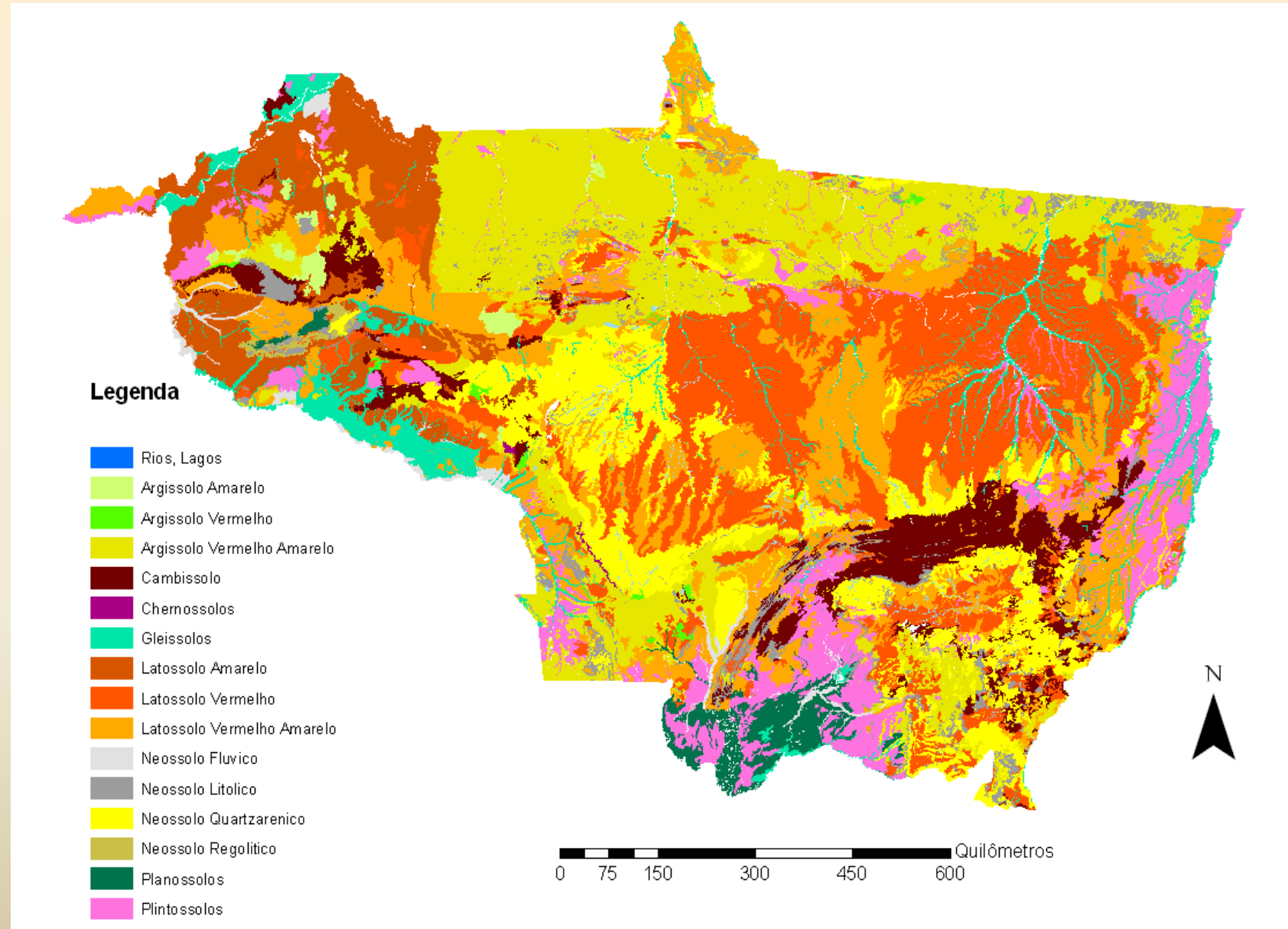
Vista da vegetação nativa (Cerrado) (a), pastagem com 12 anos (b) e pastagem com 21 anos (c) no município de Porto Esperidião (MT).

ORGANIZAÇÃO DOS DADOS DE COBERTURA E USO DA TERRA

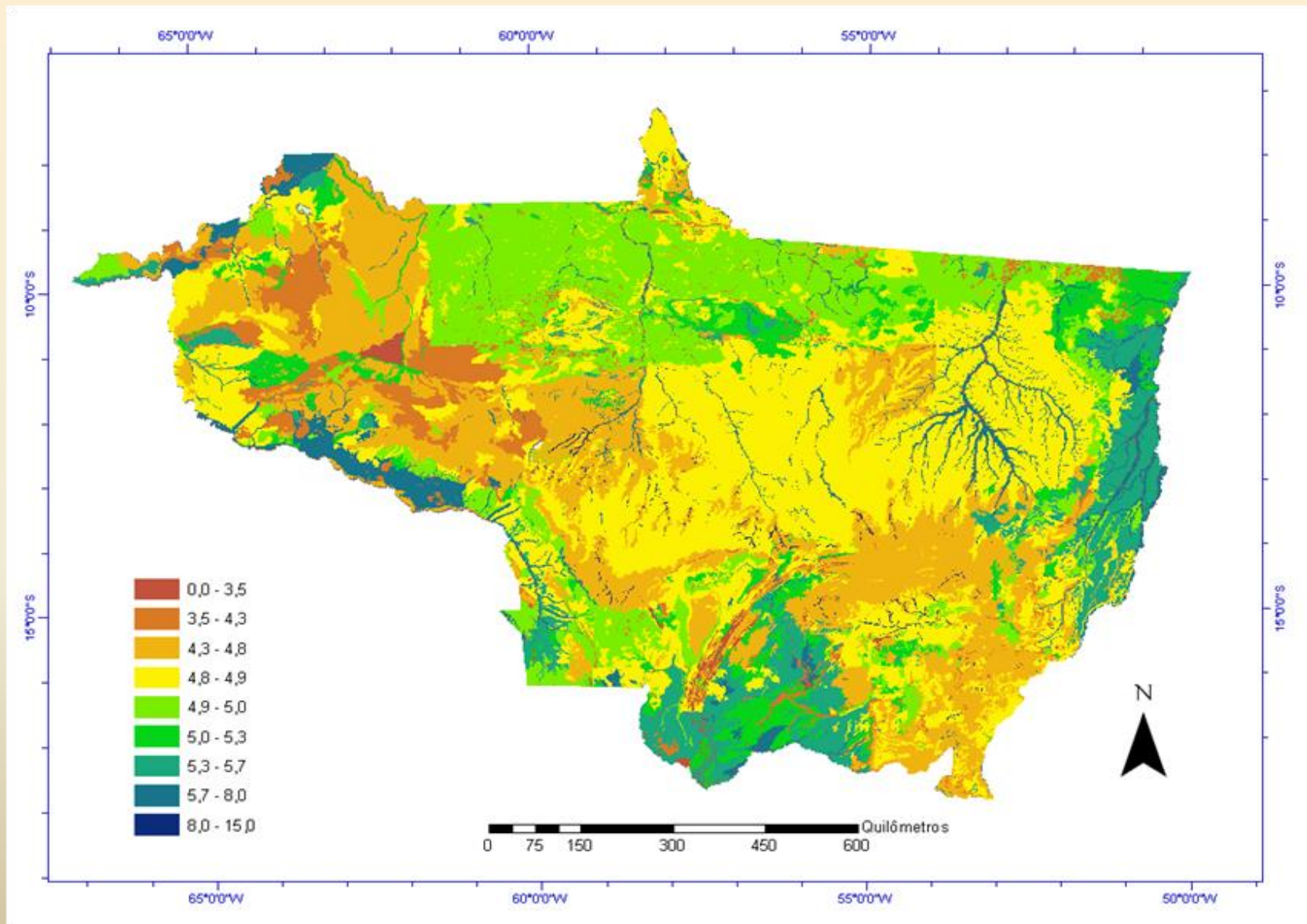


Cobertura espacial dos perfis de solo consistidos na base de dados georreferenciados.

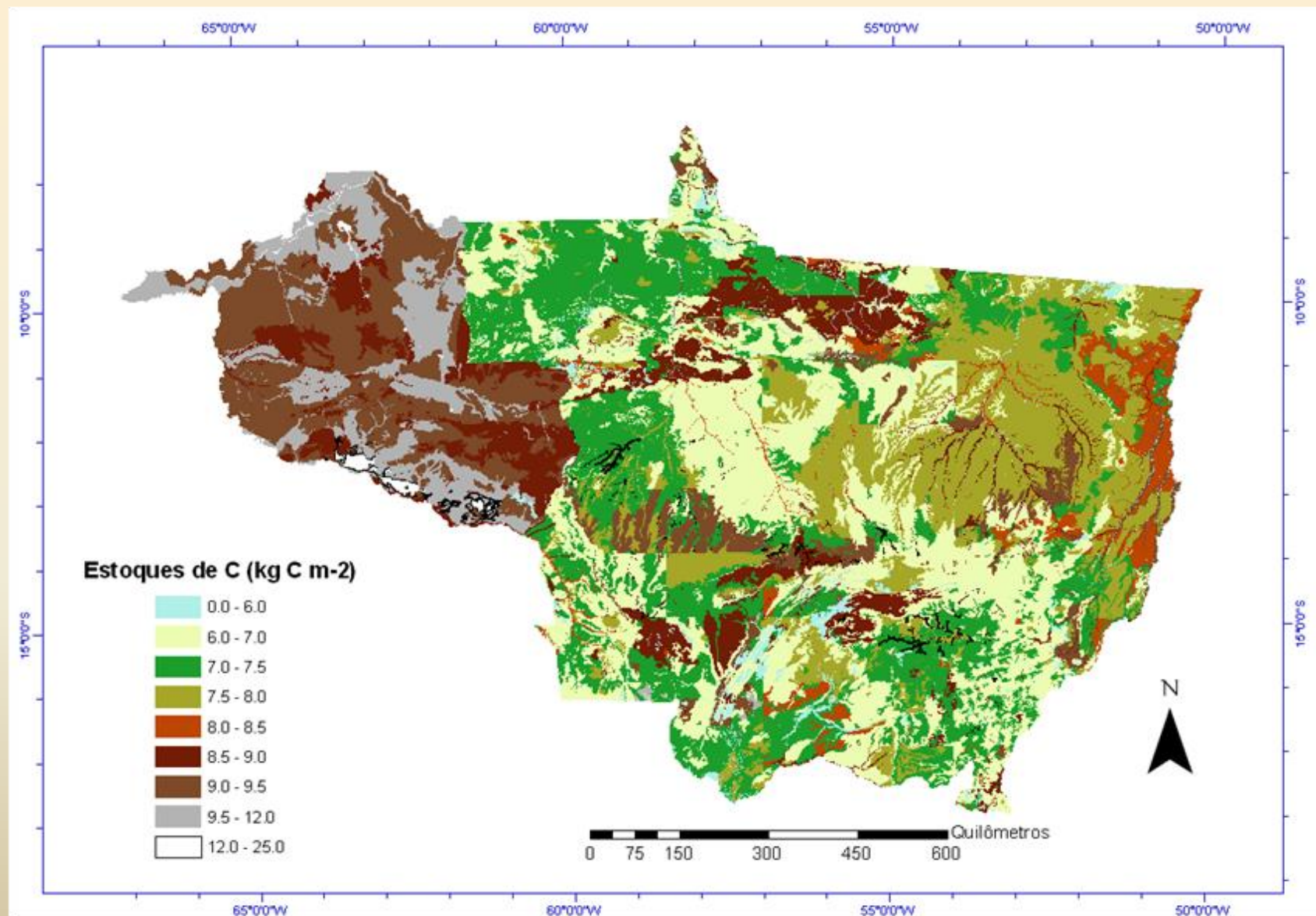
Mapa dos solos dos estados de Rondônia e Mato Grosso



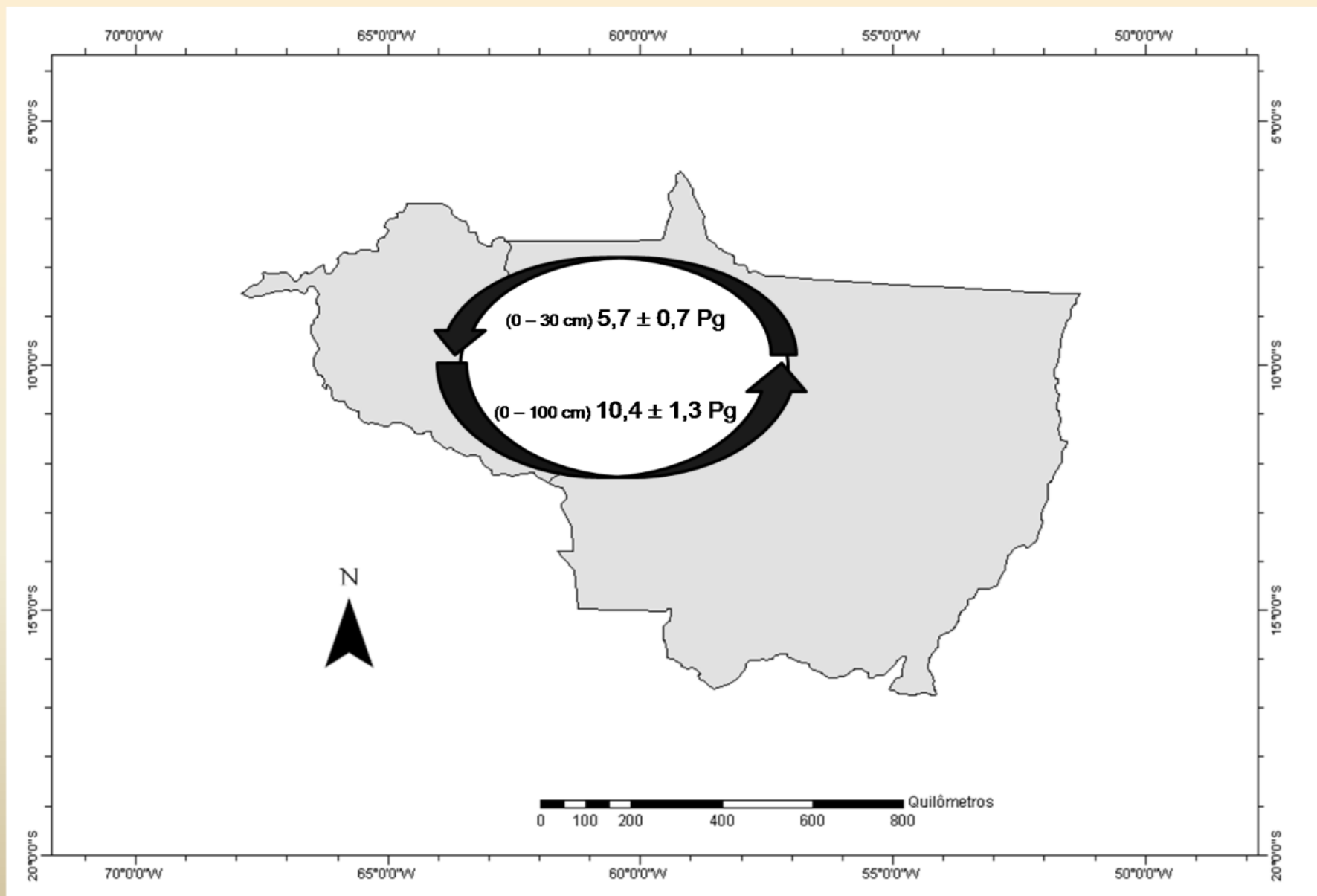
Mapa dos estoques de C para os estados de RO e MT para a camada 0–30 cm



Mapa dos estoques de C para os estados de RO e MT para a camada 0–100 cm



Estoques totais de C dos solos de RO e MT anteriores a intervenção antrópica



Melhoramento do manejo



Pastagem degradada



Pastagem melhorada

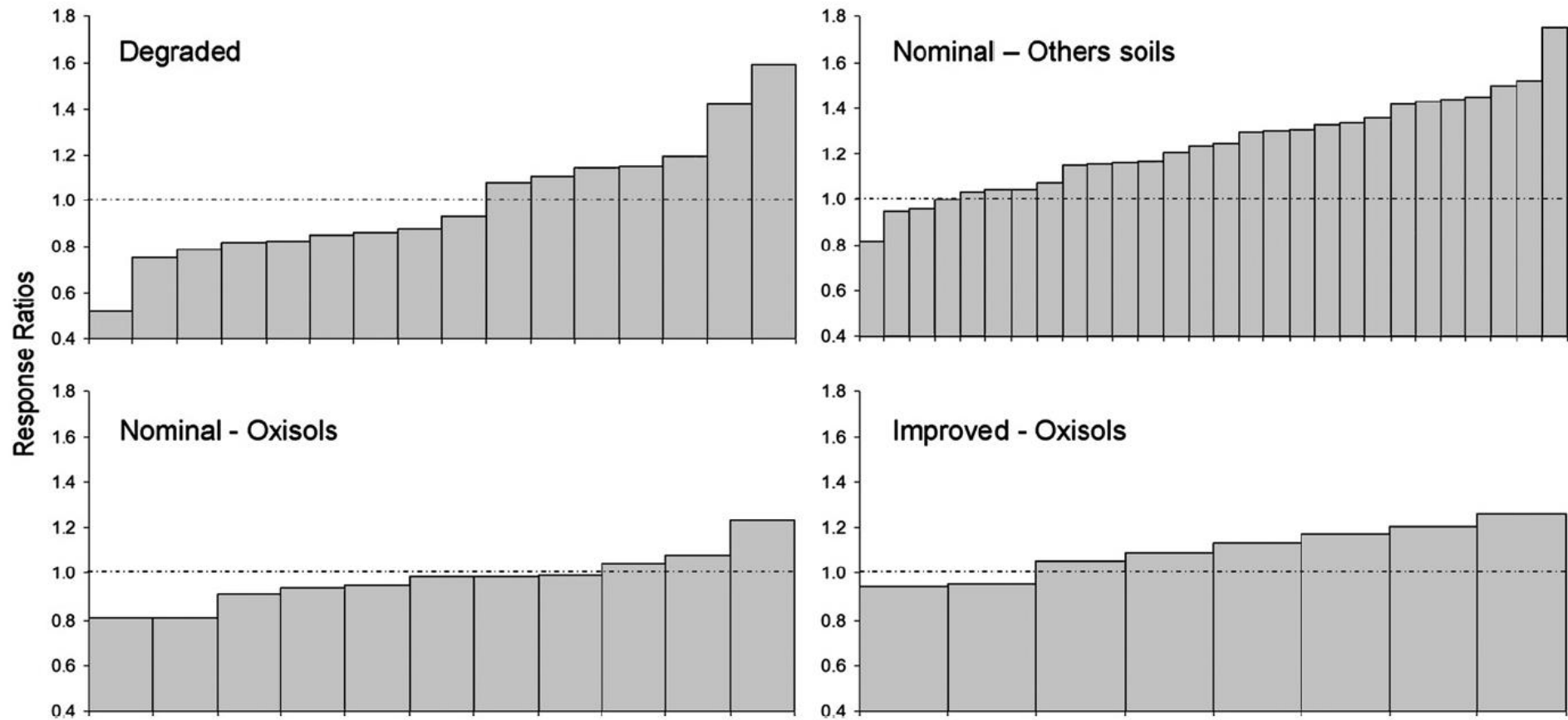


Fig. 3. Response ratios (ratio of SOC content in grassland management relative to native vegetation) from individual observations.

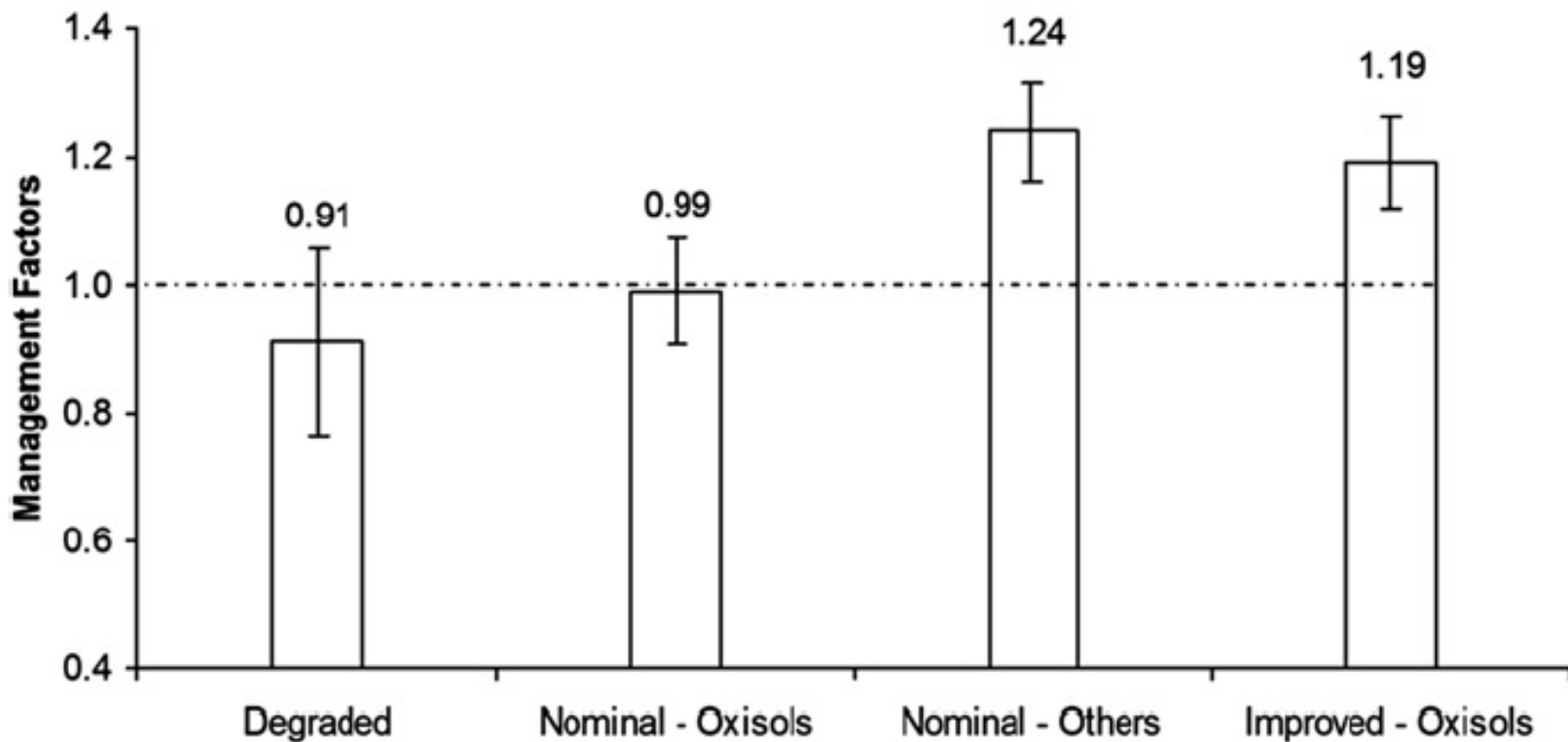


Fig. 2. Management factors estimates ($\pm 2\text{SD}$) (integrated effect of management over the top 30 cm of the soil profile) for the change in SOC storage due to changing from native vegetation to grassland management (after 20 years) in Rondônia and Mato Grosso states.

Management conversion



Full Tillage



Zero Tillage

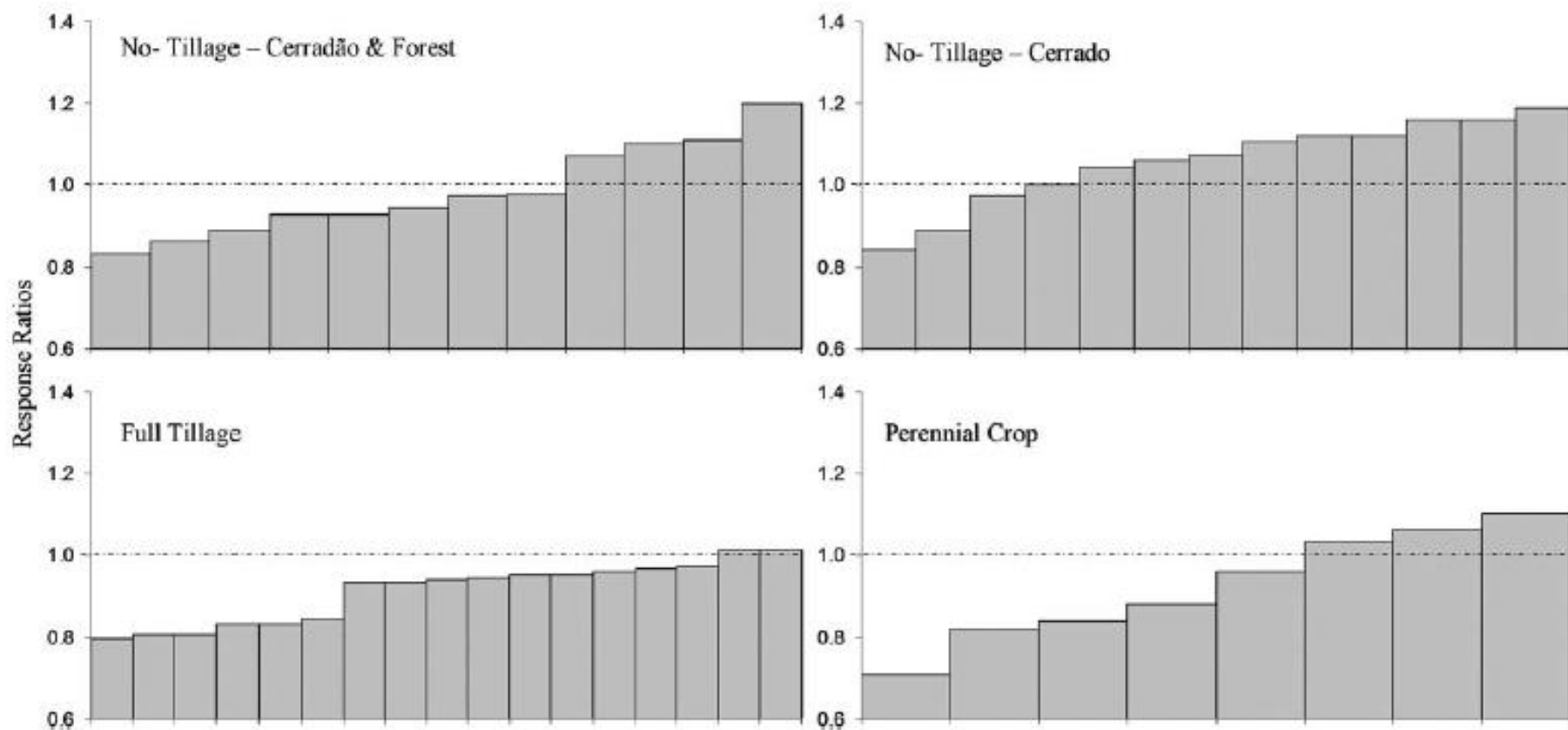


Fig. 3. Response ratios (ratio of SOC content in managed cropland relative to native vegetation) from individual observations.

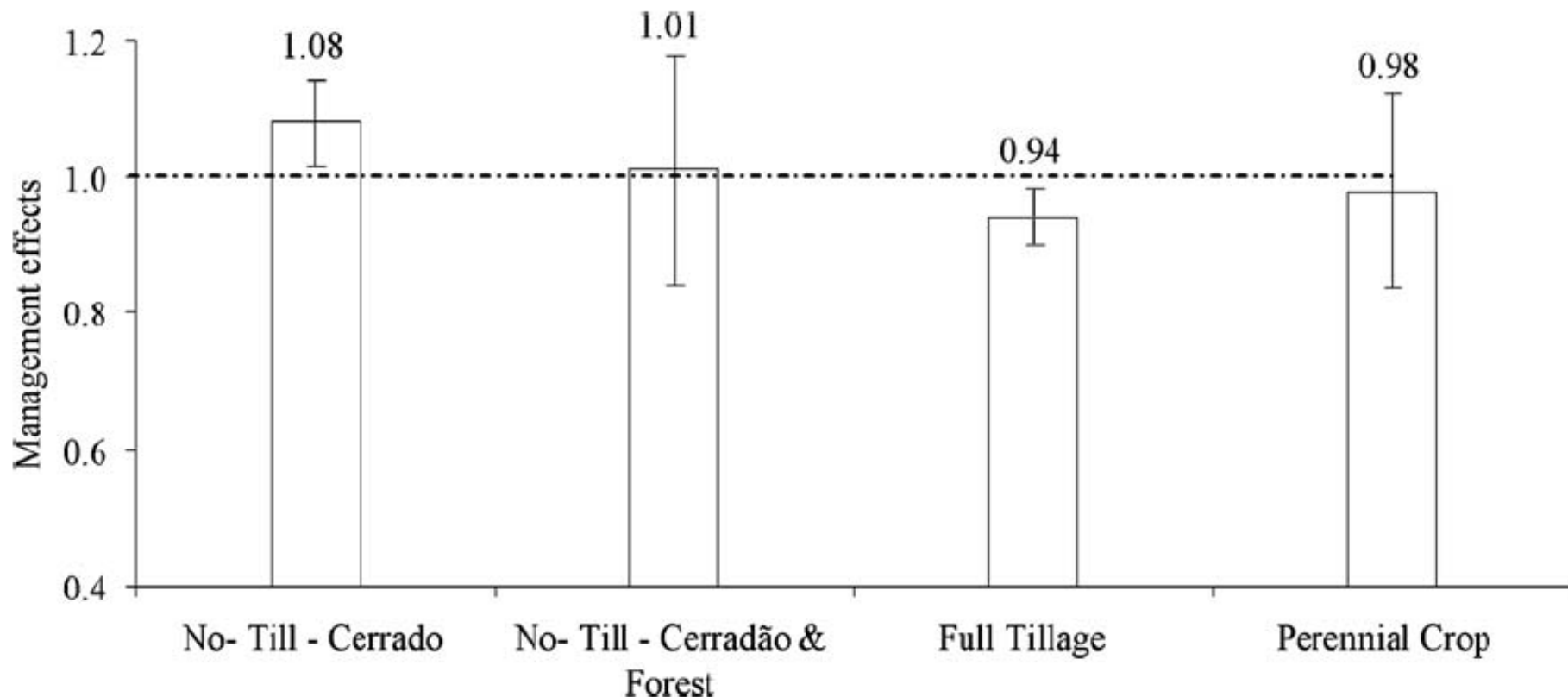
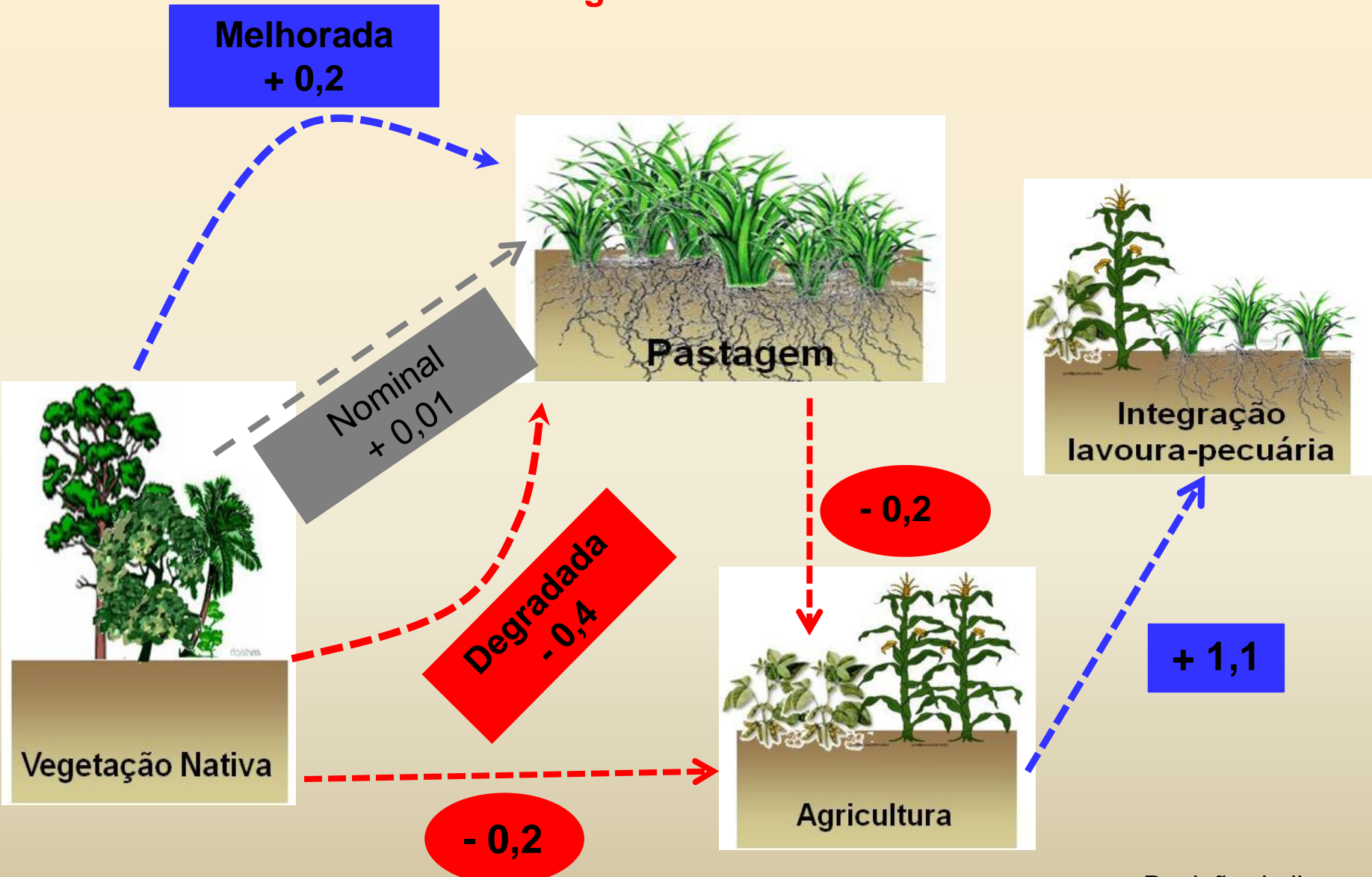


Fig. 2. Management factors estimates (± 2 SD) (integrated effect of management over the top 30 cm of the soil profile) for the change in SOC storage associated with different management options (after 20 years) in Rondônia and Mato Grosso states.

CARBONO NO SOLO NA INTEGRAÇÃO LAVOURA/PASTAGEM

Mg de C ha⁻¹ ano⁻¹



Dinâmica do carbono e fluxo de gases do efeito estufa em sistemas de integração lavoura-pecuária na Amazônia e no Cerrado



Doutorando: João Luís Nunes Carvalho

Orientador: Prof. Dr. Carlos Clemente Cerri

Objetivo

CO₂ N₂O CH₄

Carbono

Floresta



Pastagem

Integração
lavoura-pecuária



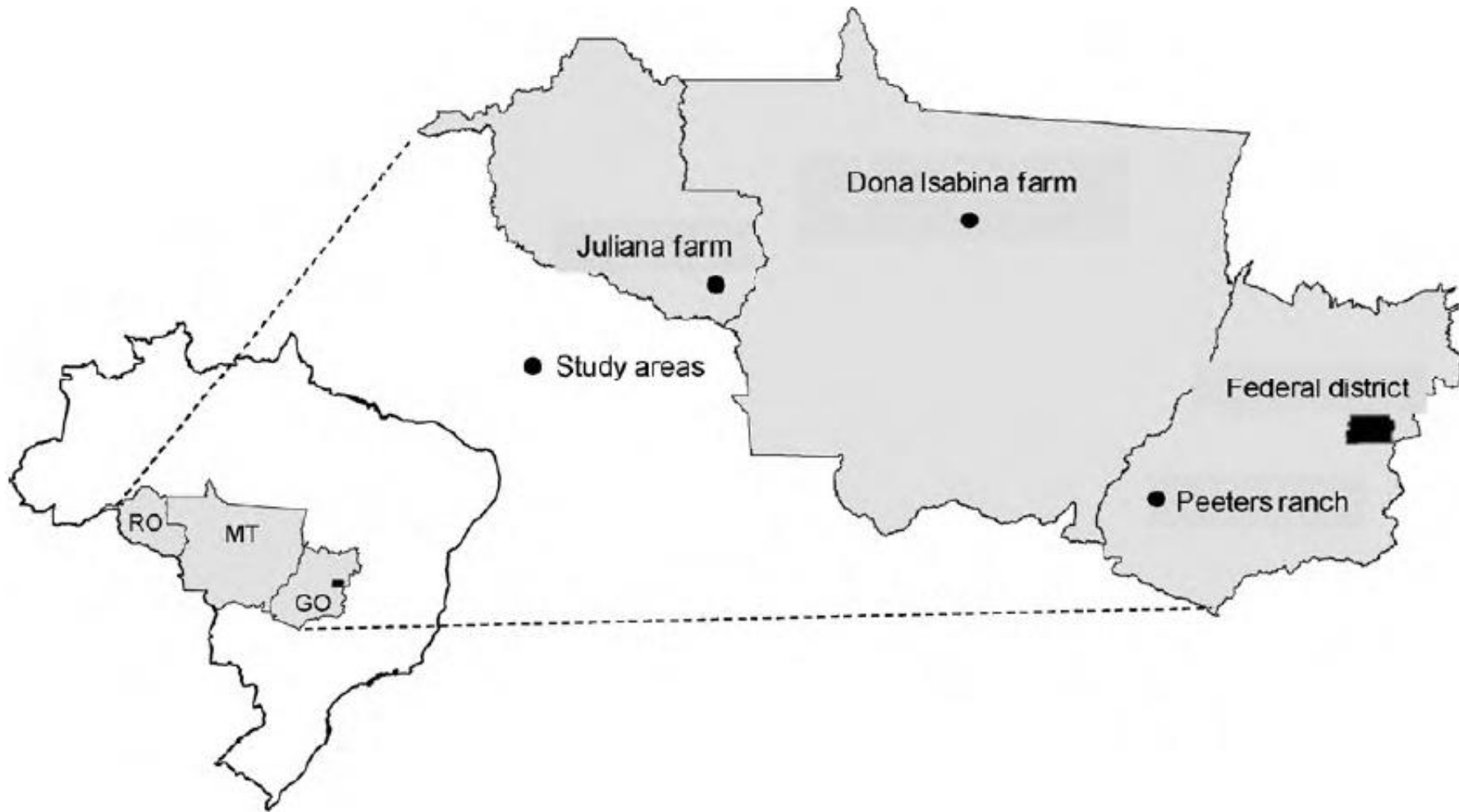
Cerrado

Agricultura

Mudança de uso da terra



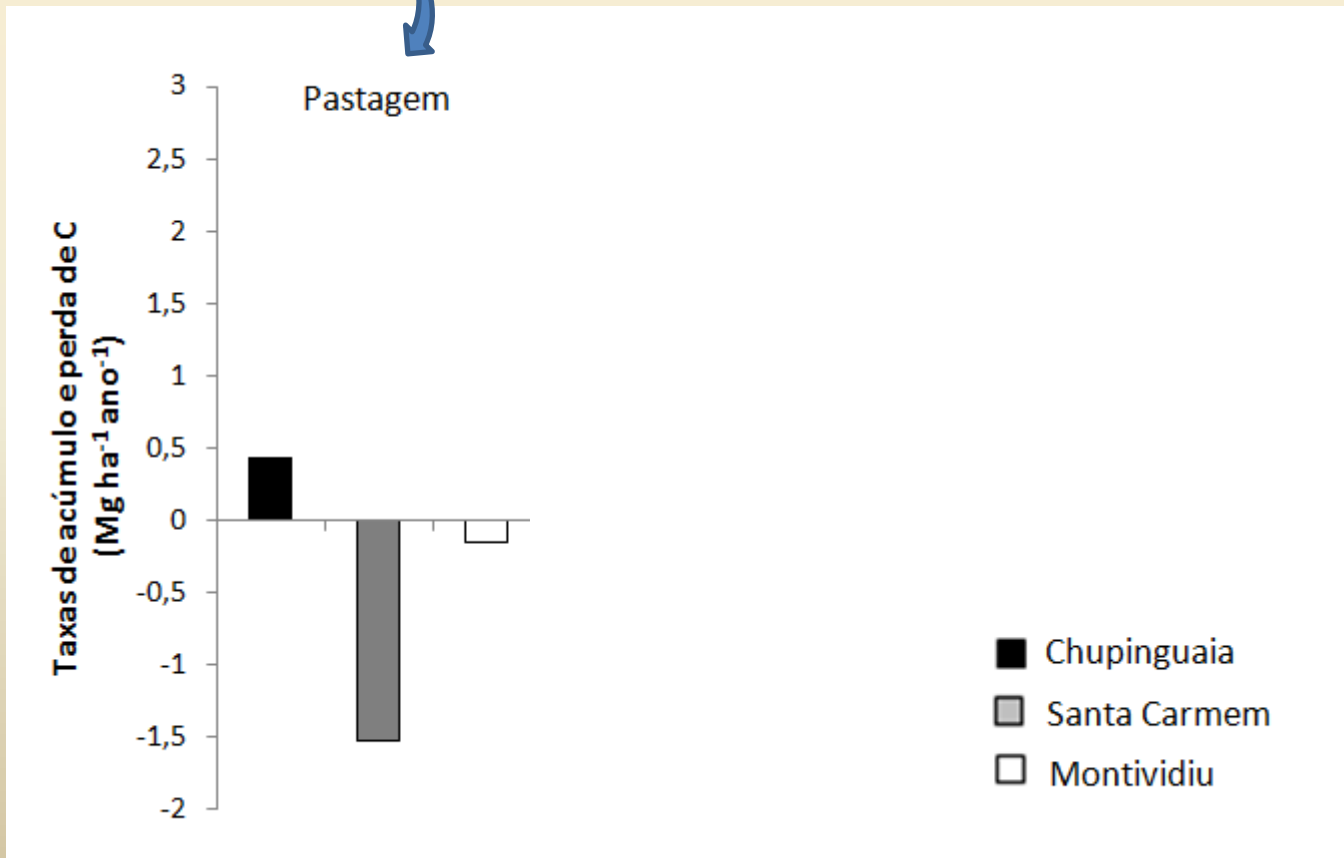
Localização das áreas em estudo



Resultados

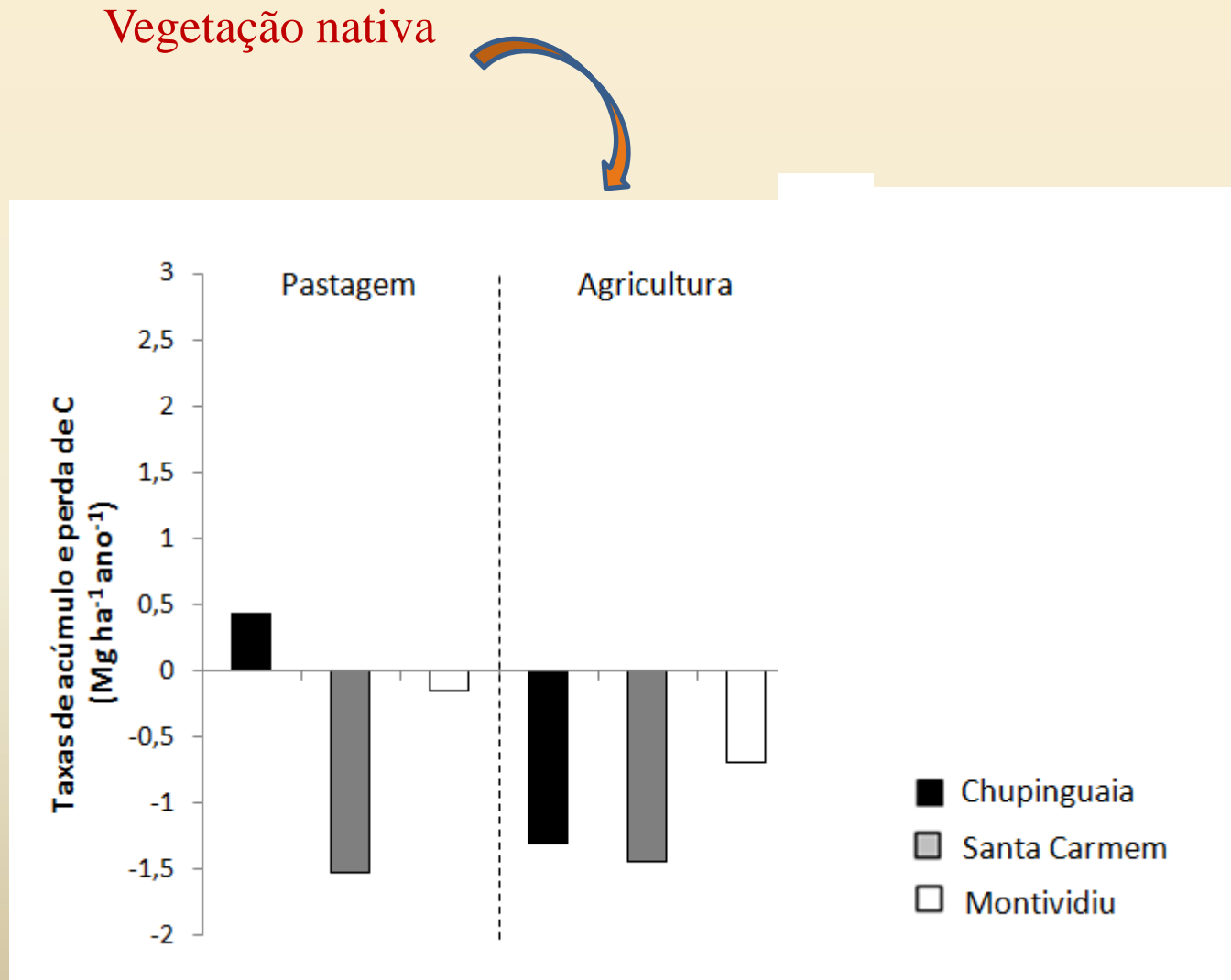
Estoques de C do solo na mudança de uso da terra

Vegetação nativa



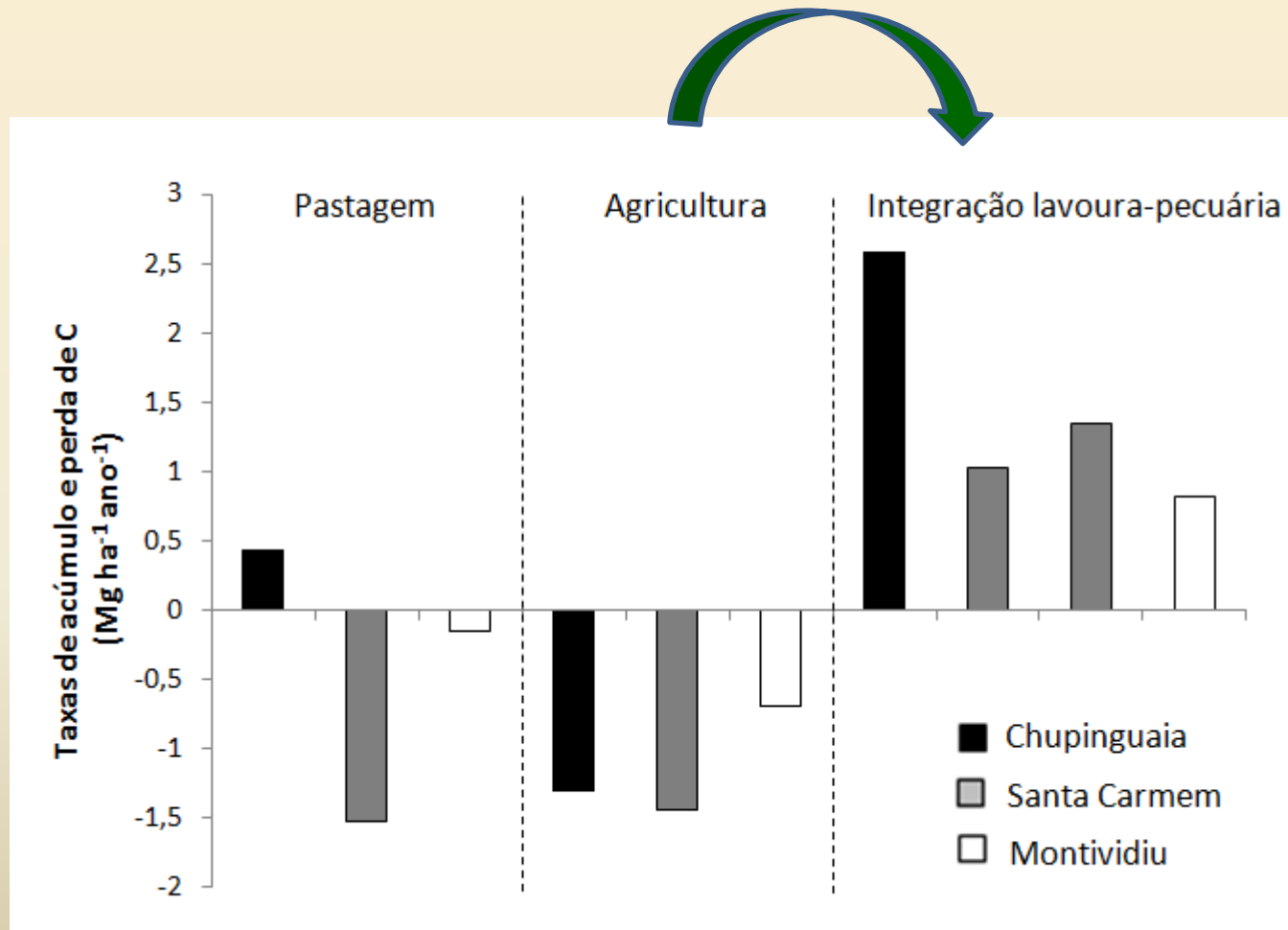
Resultados

Estoques de C do solo na mudança de uso da terra



Resultados

Estoques de C do solo na mudança de uso da terra



Results

Net soil GHG emissions in Montividui, GO

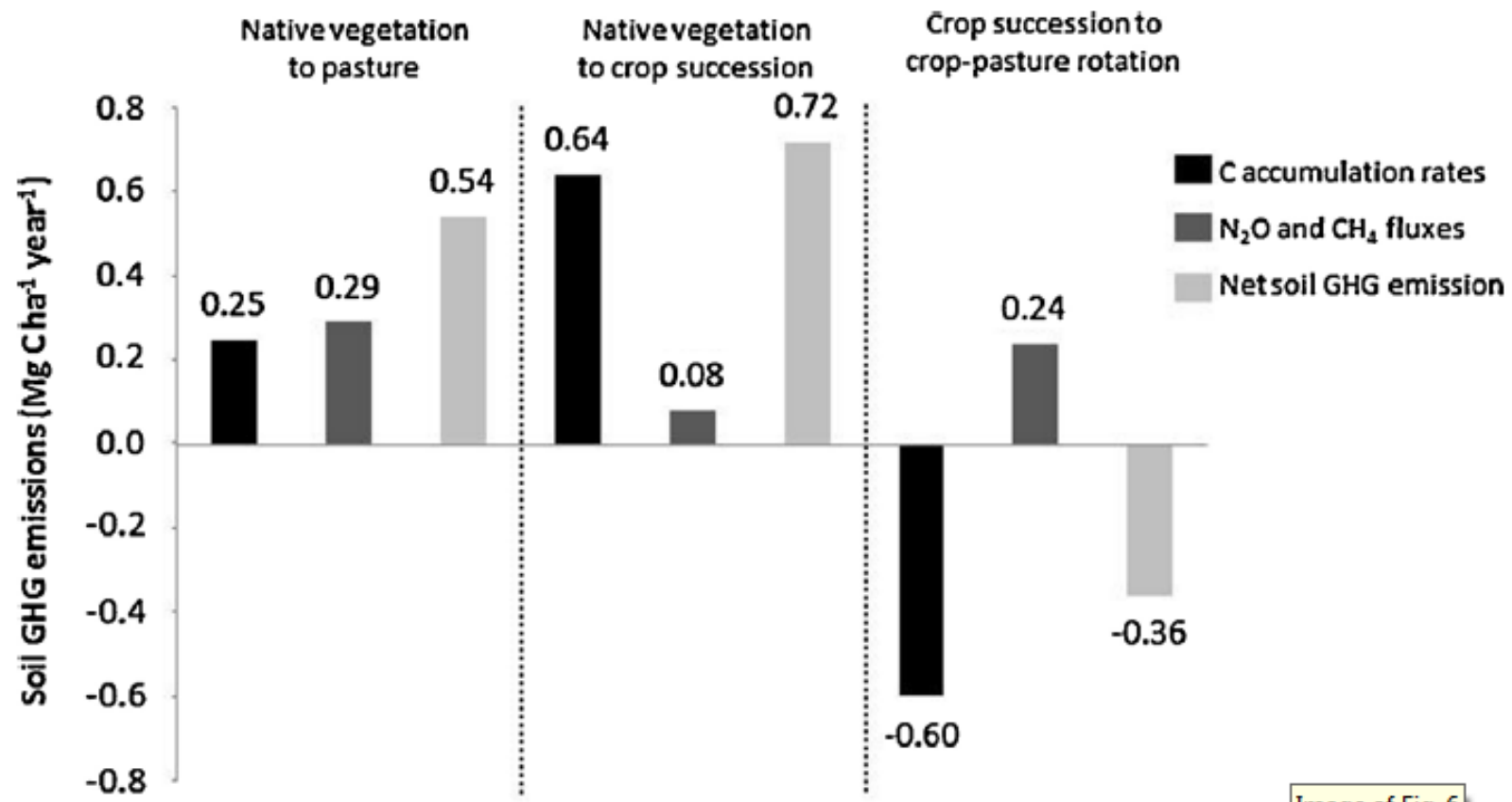


Image of Fig. 6

Avaliação do estoque de C no solo e fluxo de GEE devido à mudança do manejo agrícola

Melhoramento de pastagens

Cana-de-açúcar: colheita precedida ou não por queima da palhada

Preparo convencional do solo versus plantio direto na palha

Mudança do estoque de carbono no solo

Colheita com queima



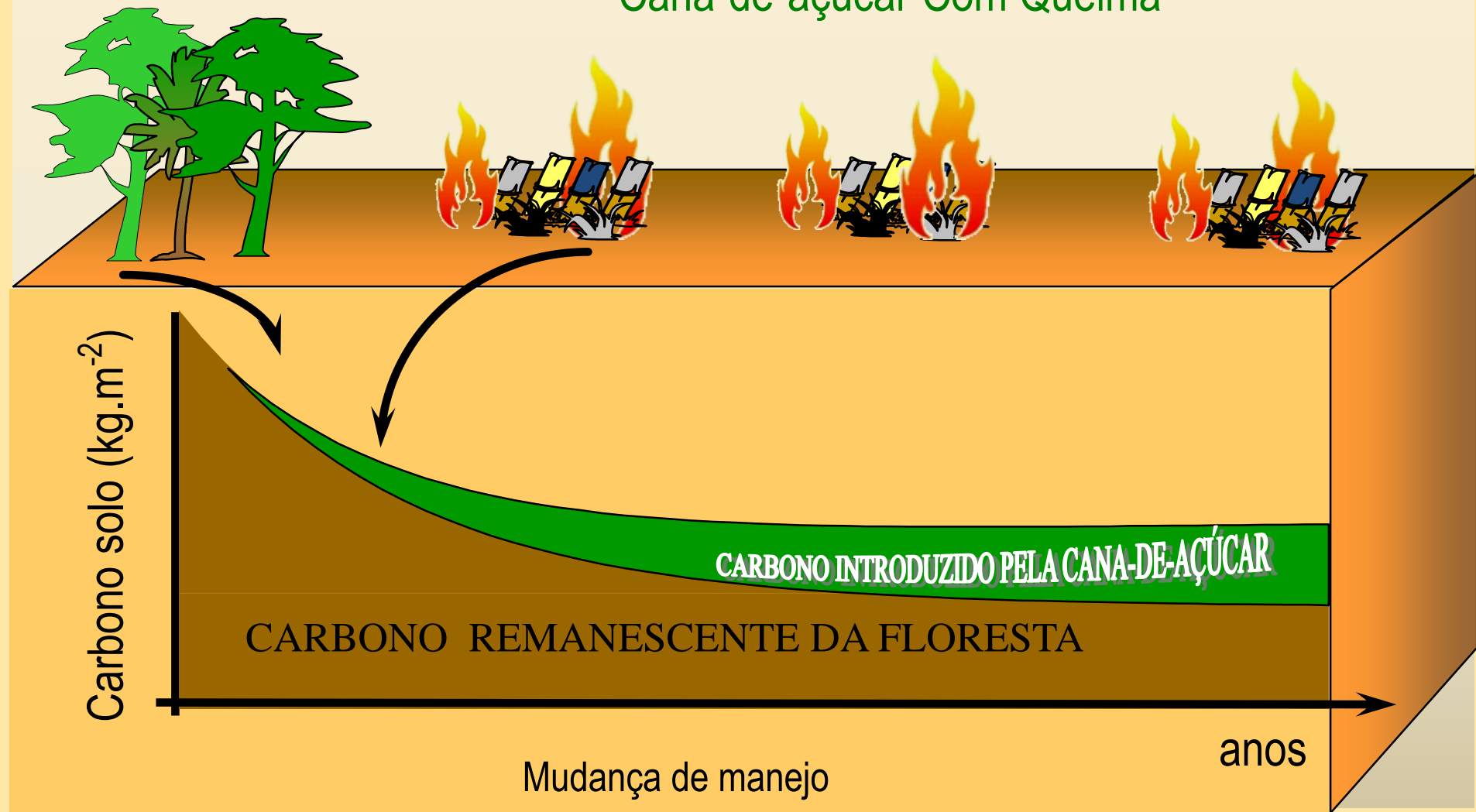
Colheita sem queima



Mudança nos estoques de carbono sob cana-de-açúcar

Vegetação nativa

Cana-de-açúcar Com Queima

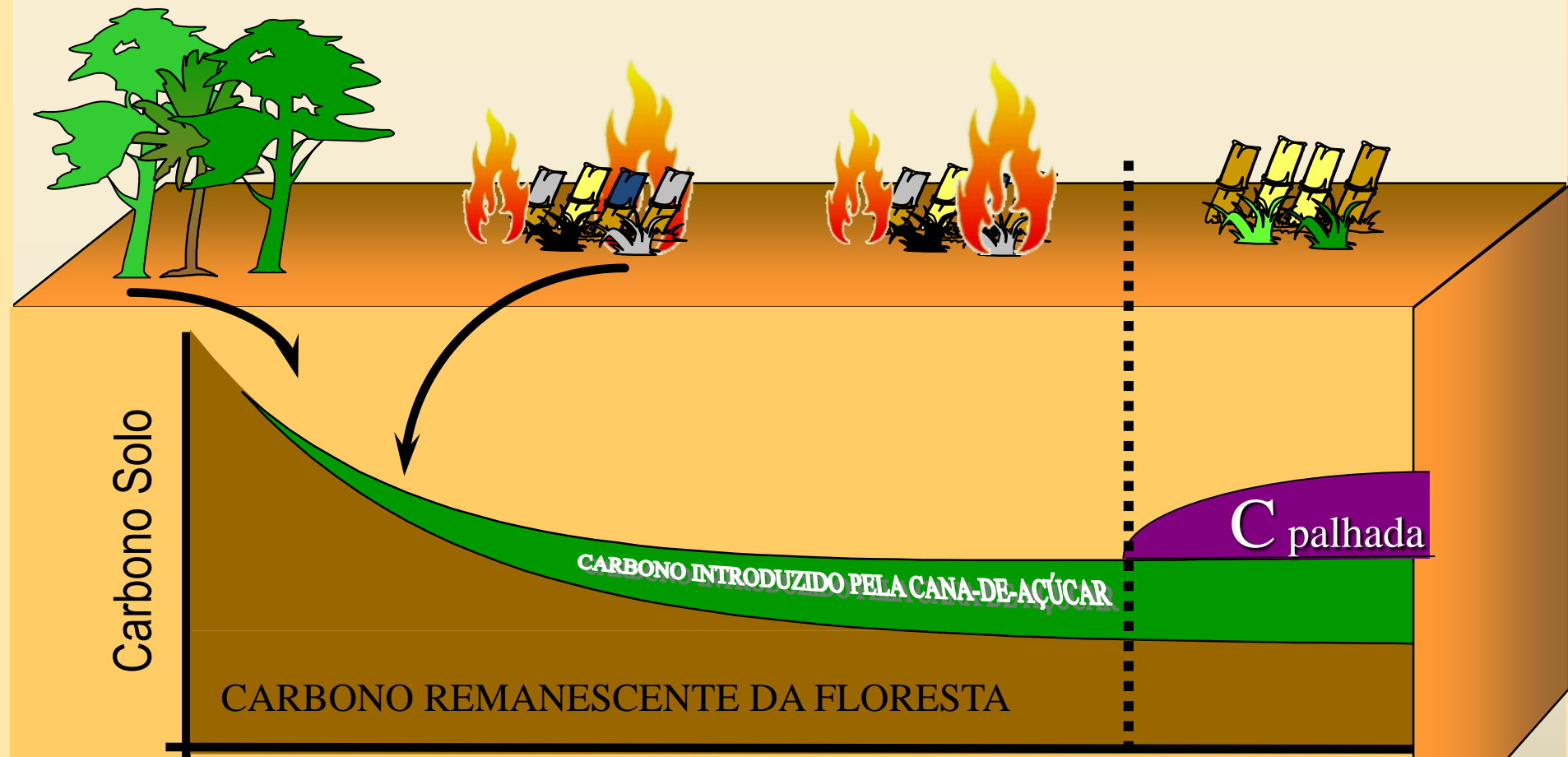


Mudança nos estoques de carbono sob cana-de-açúcar

Vegetação nativa

Cana Com Queima

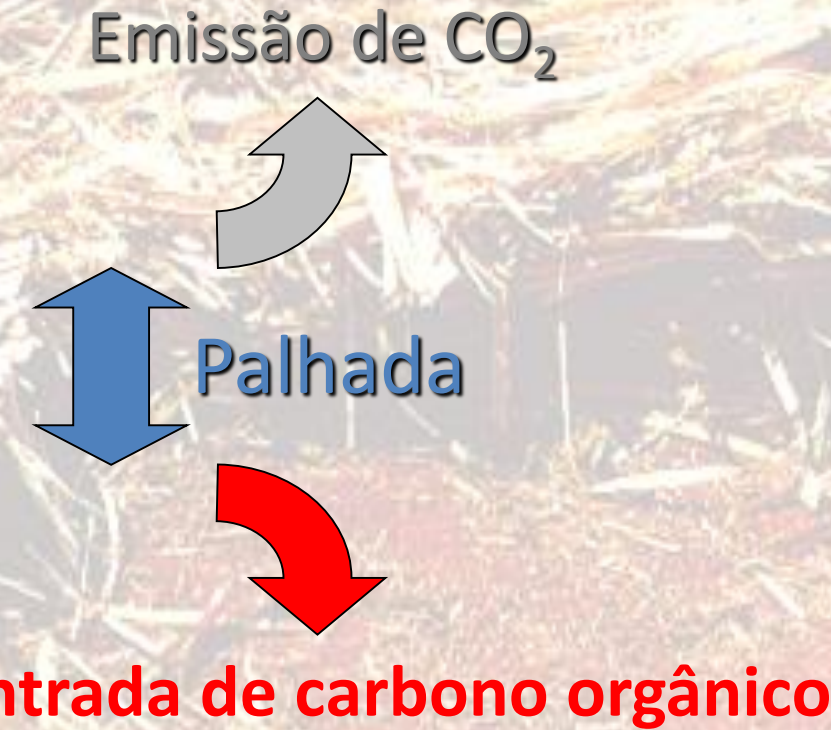
Cana Sem Queima



Mudança de manejo



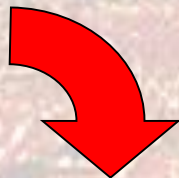
Transferência de carbono da palhada ao solo e atmosfera



Transferência de carbono da palhada ao solo e atmosfera



Palhada



12-16 Mg MS ha / ano

6-8 Mg C ha / ano

Entrada de carbono orgânico

?

0,3-1,6 Mg C ha / ano

?

1,0 Mg C / ha = 16,3 g CO₂ / MJ etanol

Mudança no estoque de carbono do solo

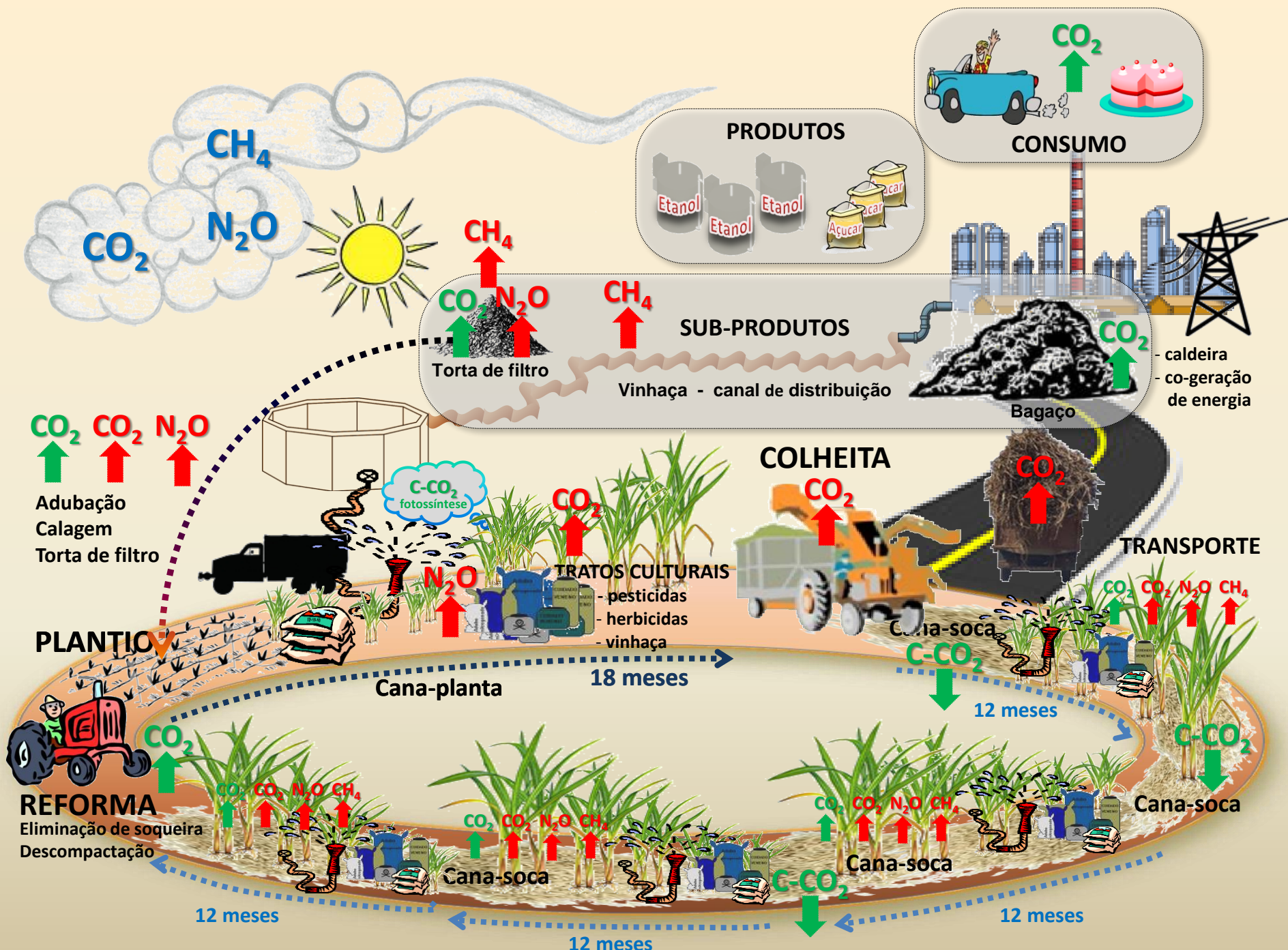


48 950

55 450

$\Delta C = 4\ 870 \text{ kg C ha}^{-1}$ em 4 anos (0-30cm)

Aumento de C no solo = $1\ 625 \text{ kg C ha}^{-1} \text{ ano}^{-1}$



Avaliação do estoque de C no solo e fluxo de GEE devido à mudança do manejo agrícola

Melhoramento de pastagens

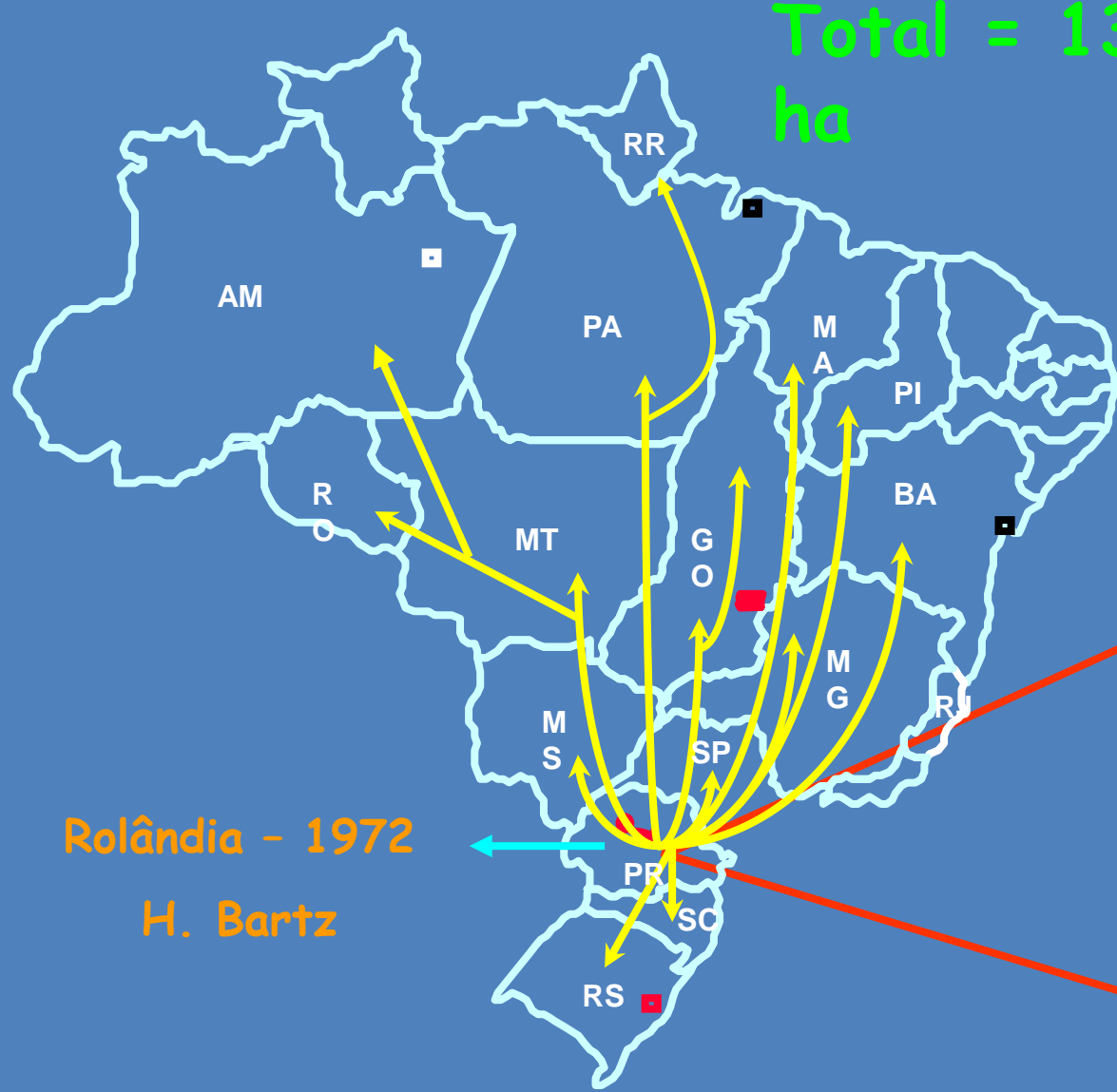
Cana-de-açúcar: colheita precedida ou não por queima da palhada

Preparo convencional do solo versus plantio direto na palha

Dinâmica do carbono do solo em sistemas de manejo convencional e plantio direto



Plantio direto no Brasil



Total = 13,5 milhões de
ha

32 % da área
com produção
de grãos

Ponta
Grossa
Tibagi
Castro
Centro
de
difusão



Sistema Plantio Direto

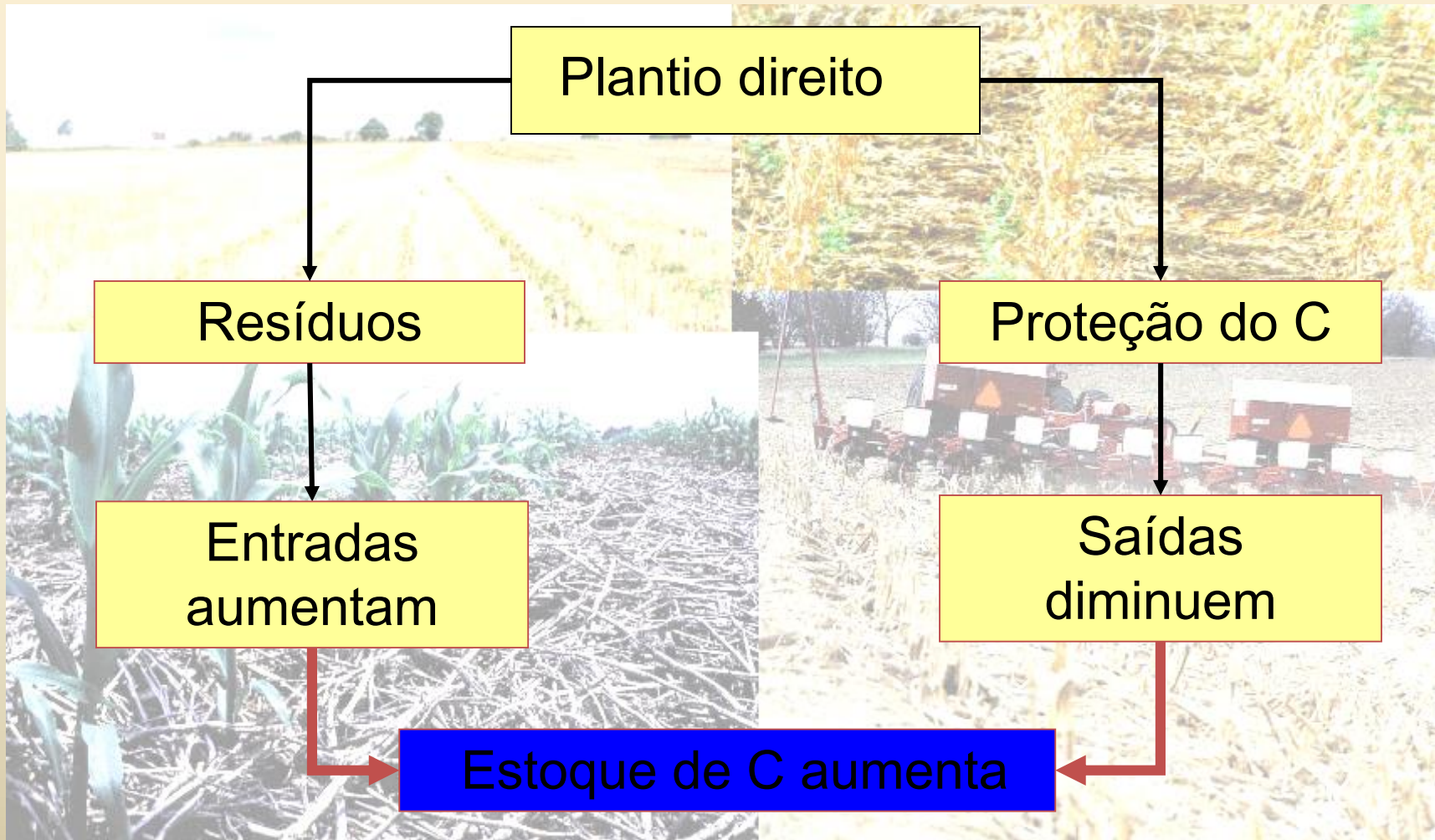
Conceito: Processo de semeadura em solo não revolvido no qual a semente é colocada em sulcos abertos sobre os resíduos culturais.

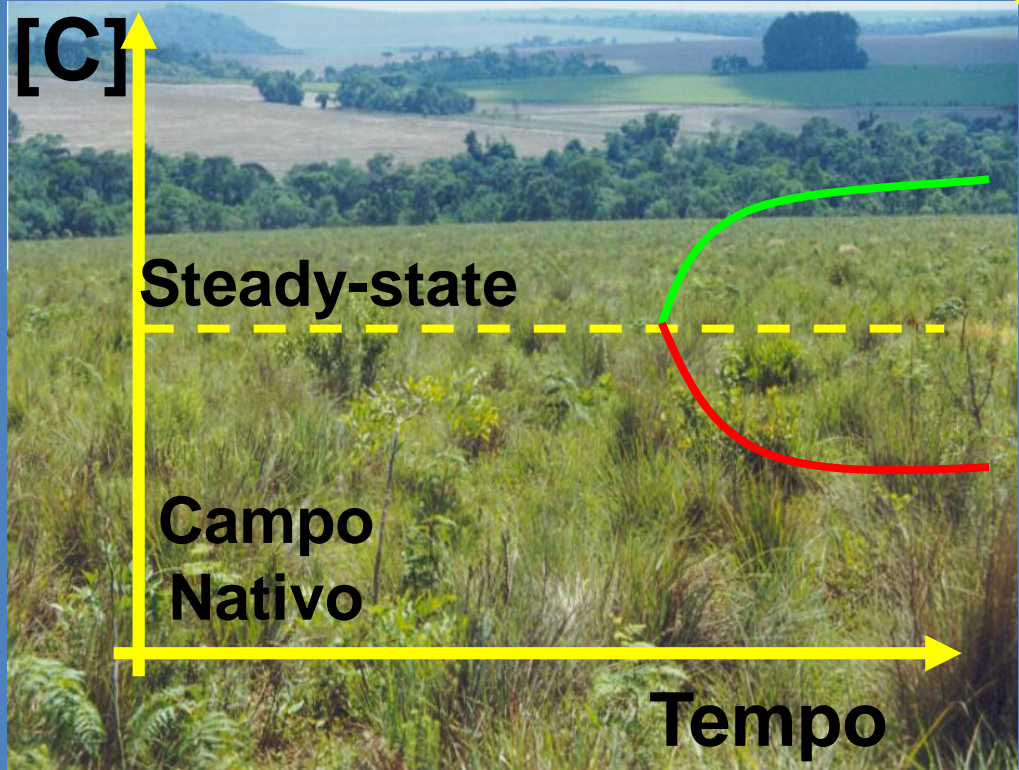
(Jones et al., 1968)

Plantio convencional versus plantio direto



Mecanismos do incremento do C estocado

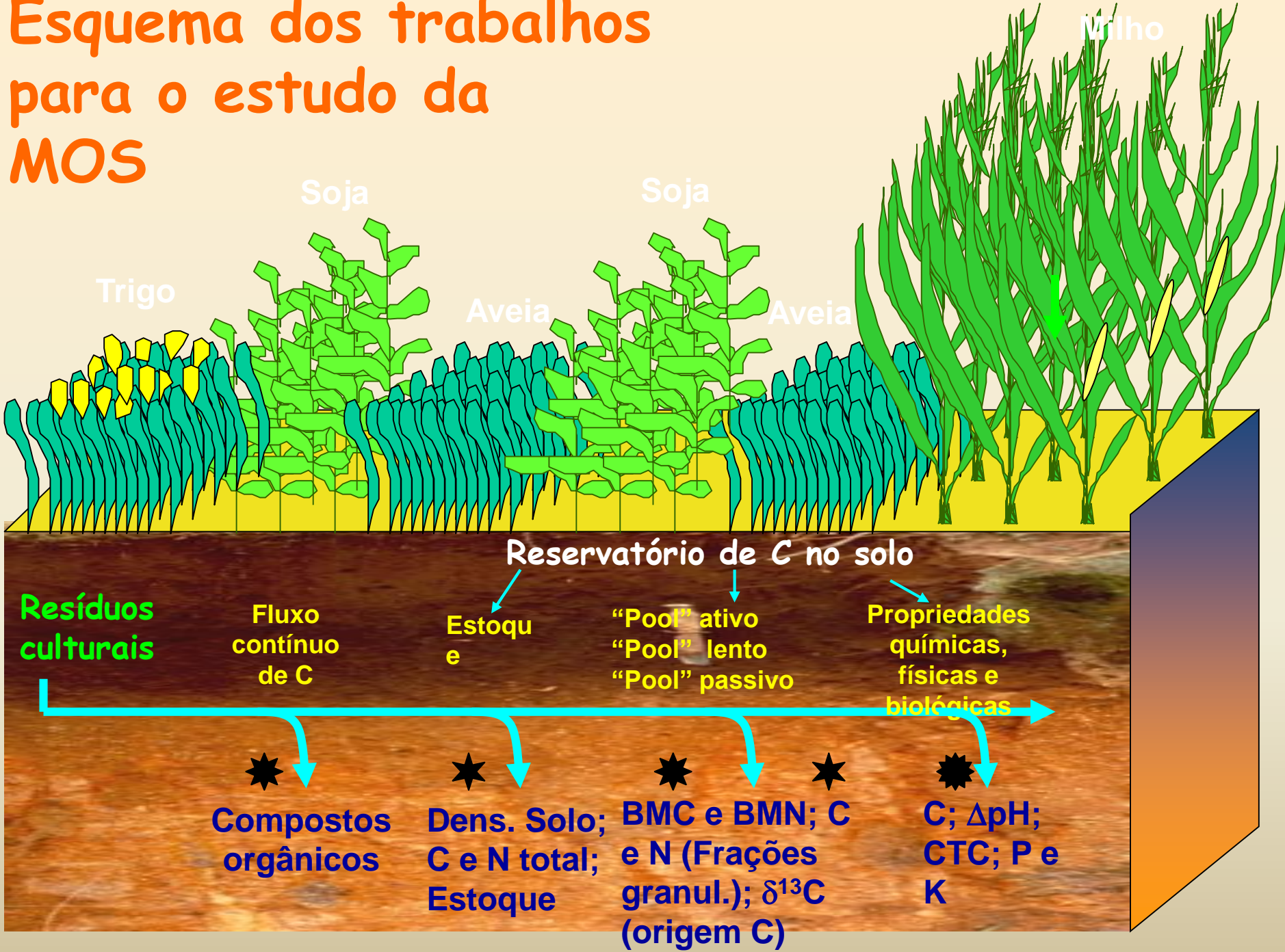




**Plantio
Convencional**

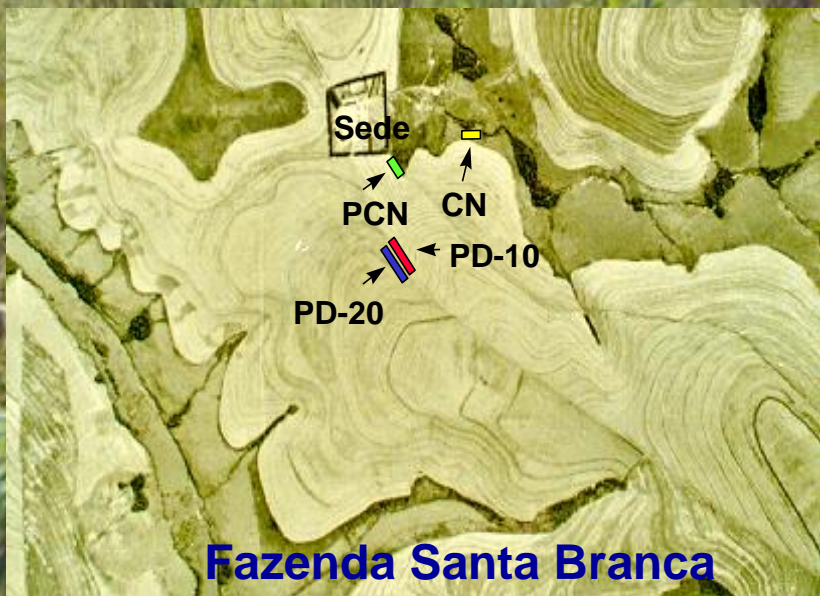


Esquema dos trabalhos para o estudo da MOS

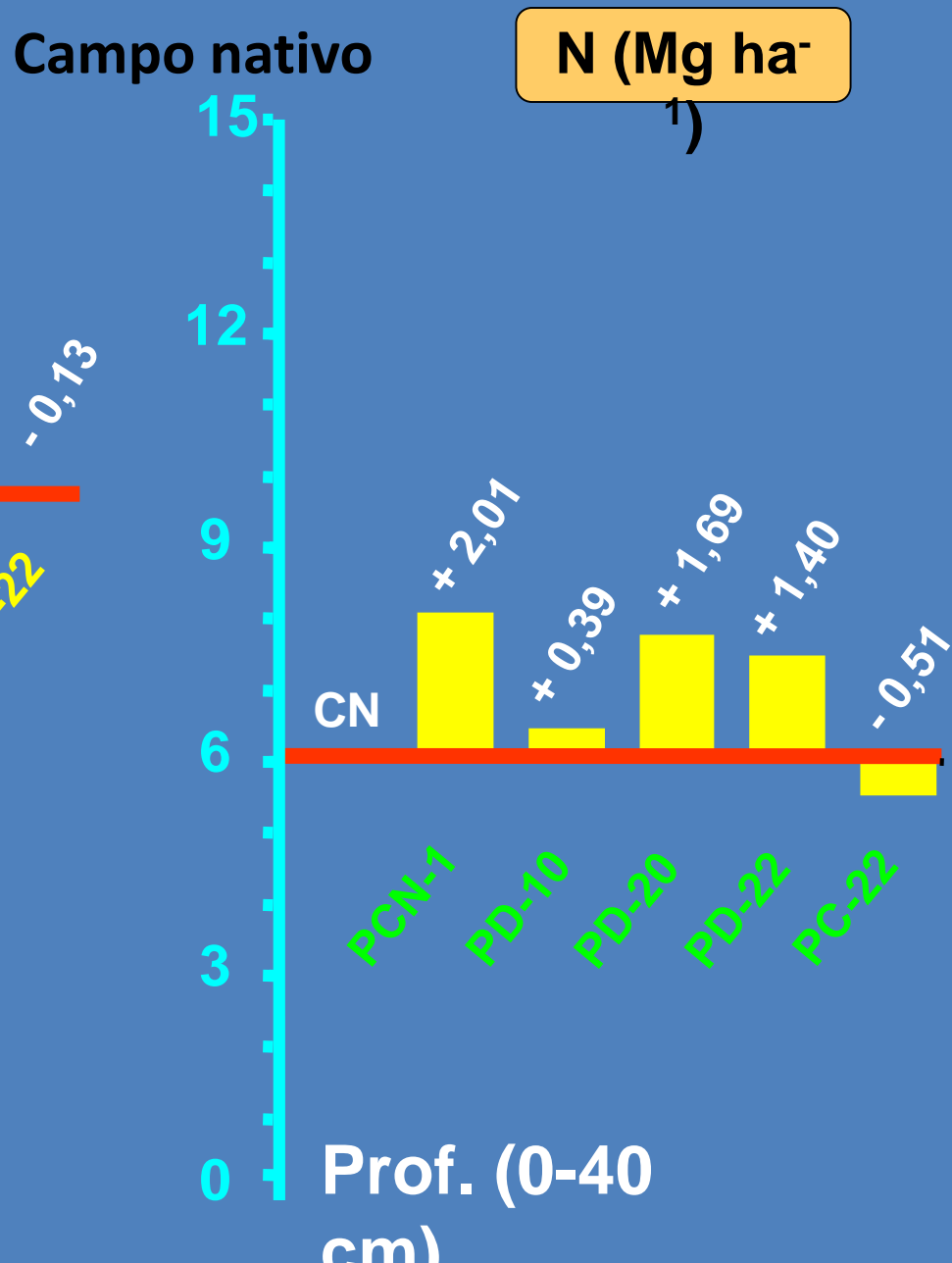
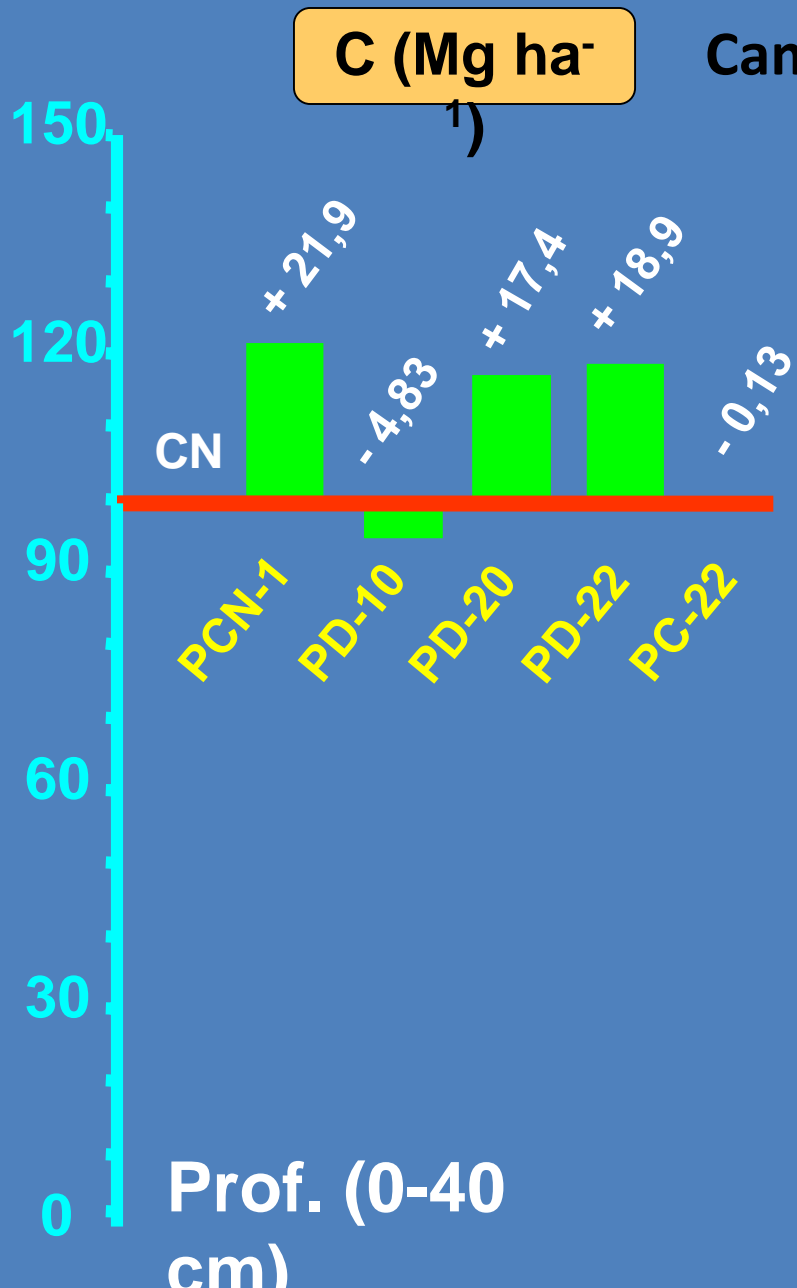


A cronossequência - Critério de escolha

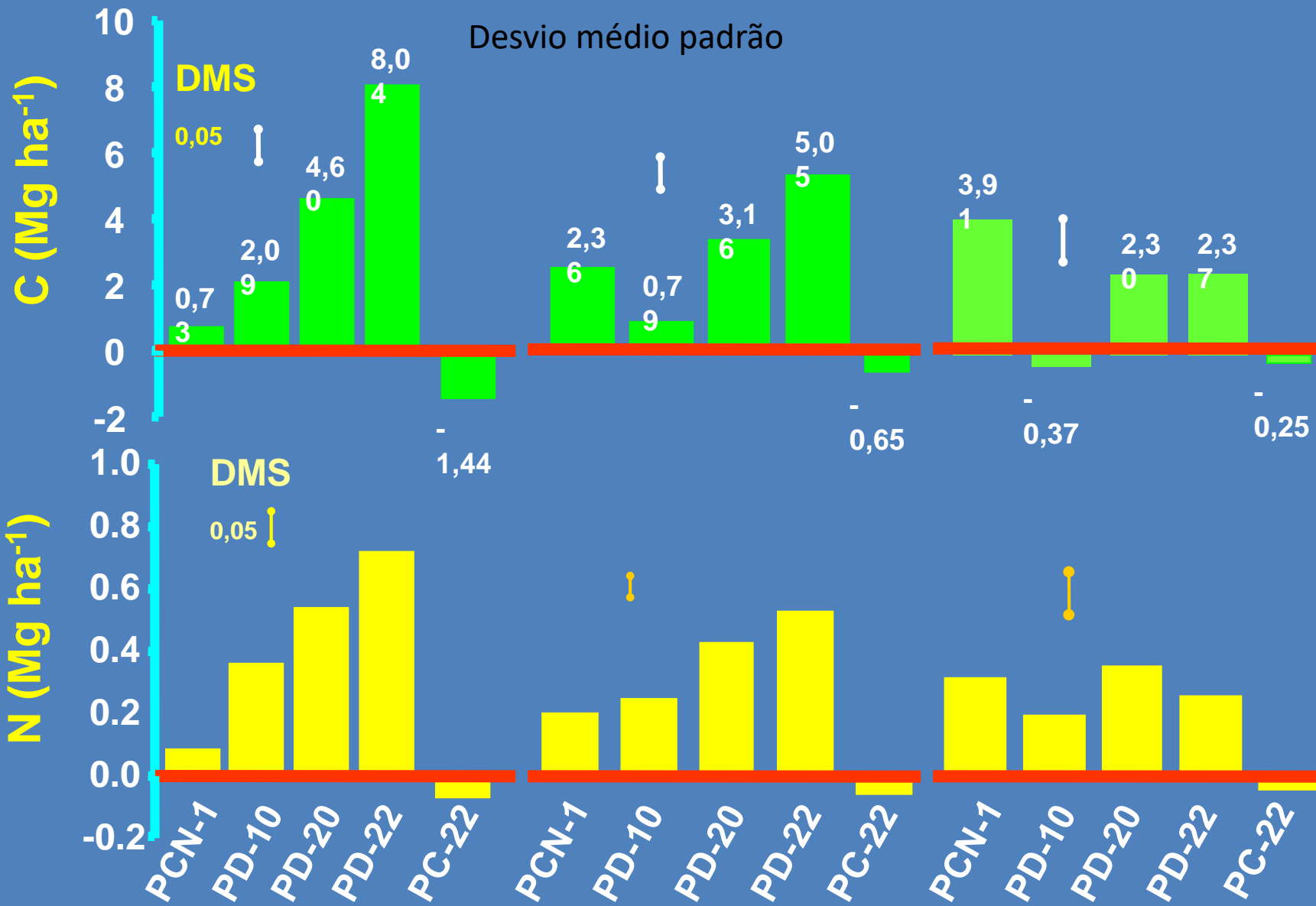
- O ponto de referência: a vegetação natural
- Características comuns: material de origem; unidade de solo; classe textural; posição na vertente; altitude e pluviosidade
- Rotação de culturas semelhante e detalhado histórico de uso de insumos



Estoque de C e N no solo (L.vermelho)



Estratificação do estoque de C e N (camada 0-10 cm)



Estratificação do estoque de C e N (camada 0-10 cm)



O ganho de C e N no PD-10 se restringiu a camada de 0-5 cm, indicando que o processo de recuperação da MOS é de longo prazo.



O ganho de C e N no PD-20 representou 57,9 e 96,6% e no PD-22 foi de 81,8 e 98,9%.



As perdas de C e N no PC-22 em relação ao Campo Nativo, apesar de significativas, foram sensivelmente inferiores ao PD-22, indicando a estreita associação entre entrada de resíduos e a ausência de preparo.

Taxas de acúmulo do C



Lal et al., 1995

- Semi-arido e (sub)tropical:
- Temperado:

$tC\ ha^{-1}\ ano^{-1}$

0,05-0,2

0,10-0,5

Six et al., 2002

- Temperado e Tropical (0-30 cm):

$0,3 \pm 0,1$



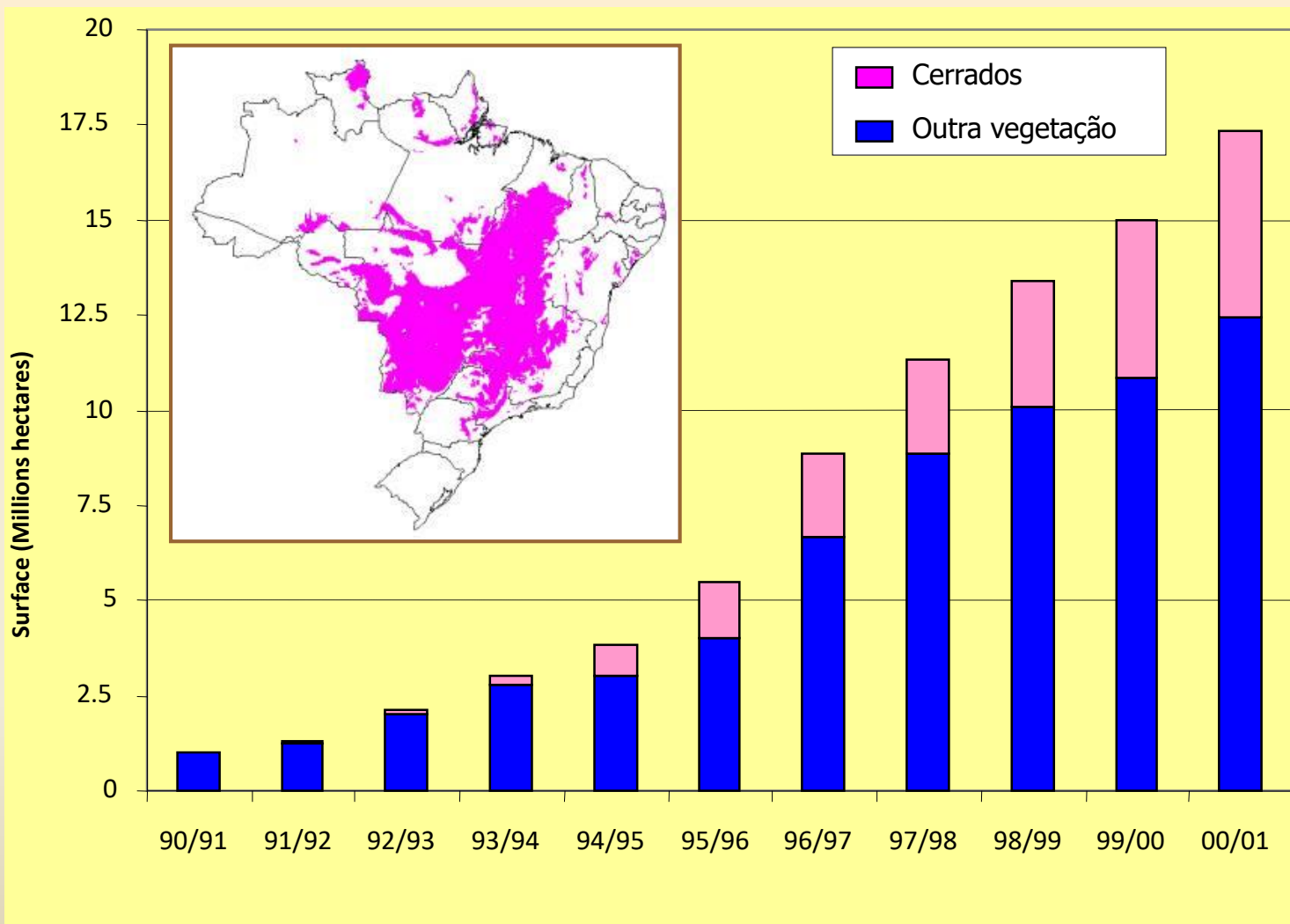
Bernoux et al., 2004 (revisão da literatura)

Média de $0,65-0,70\ tC\ ha^{-1}\ ano^{-1}$ para a camada 0-20 cm

Cerri et al., 2007 (revisão da literatura)

Média de $0,50\ tC\ ha^{-1}\ ano^{-1}$ para a camada 0-20 cm

MATÉRIA ORGÂNICA DO SOLO: *Sistema Plantio Direto*



Atualmente
~26 M ha:
Taxa anual
~13 Mt C

Mas é preciso considerar os fluxos de N_2O e CH_4 , e outros fluxos de CO_2

Carbono no sistema Plantio Direto

Seqüestro de C no solo

(incremento no solo – fluxo de gases para atmosfera)

	Equivalente em C	
	Tibagi (PR)	Rio Verde (GO)
		Mg ha ⁻¹ ano ⁻¹
Incremento no solo	1,62	1,26
Fluxo de gases	0,26	0,32
Sequestro C	1,36	0,94

MATÉRIA ORGÂNICA DO SOLO: *Sistema Plantio Direto*



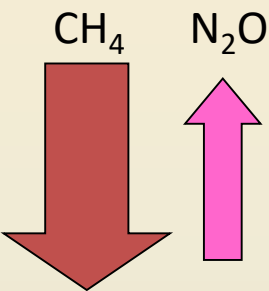
Plantio Direto PD



Plantio Convencional PC

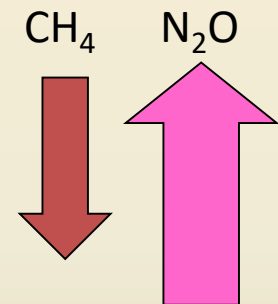


C solo



Ceq-PD

C solo



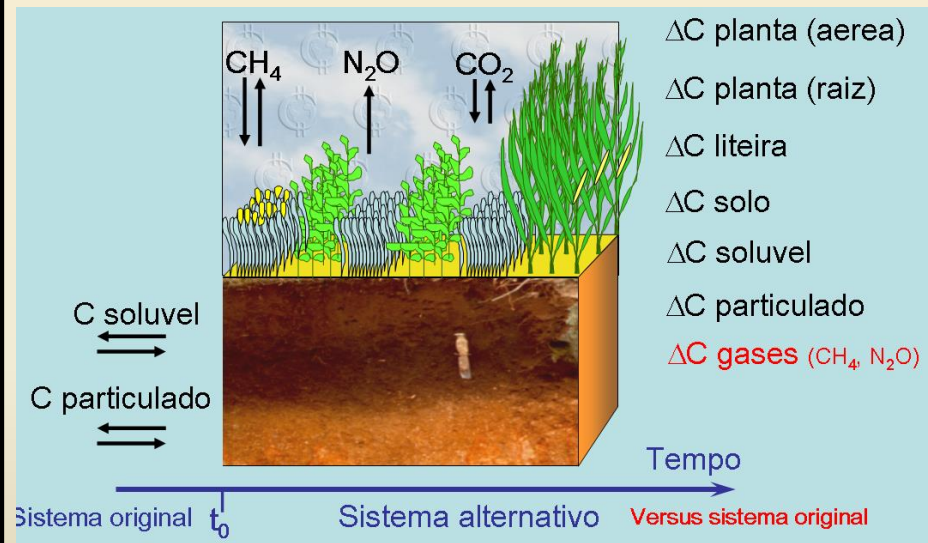
Ceq-PC

Serviços ambientais do sistema Plantio Direto



Luta contra erosão

Seqüestro de carbono



Outros: biodiversidade, ciclo da água,....

MATÉRIA ORGÂNICA DO SOLO: *Sistema Plantio Direto*



Locais estratégicos

Sinop

Vilhena

Balsas ?

**Rio Verde
Montividiu**

Goiania

**Tibagi
Ponta Grossa**

RS ?

Soja (ha plantado)

- V1 - Open Amazon forest
- V2 - Dense Amazon forest
- V3 - Atlantic forest
- V4 - Seasonal deciduous forest
- V5 - Seasonal semi-deciduous forest
- V6 - Mixed ombrophylous forest
- V7 - South savanna
- V8 - Amazon savanna
- V9 - Savanna (cerrado)
- V10 - South steppe
- V11 - Northeast steppe
- V12 - Western steppe
- V13 - Highland fields
- V14 - Pioneer formations
- V15 - Woody oligotrophic vegetation



MATÉRIA ORGÂNICA DO SOLO: *Sistema Plantio Direto*



Locais estratégicos

Sinop

Vilhena

Balsas ?

**Rio Verde
Montividiu**

Goiania

**Tibagi
Ponta Grossa**

RS ?

Soja (ha plantado)

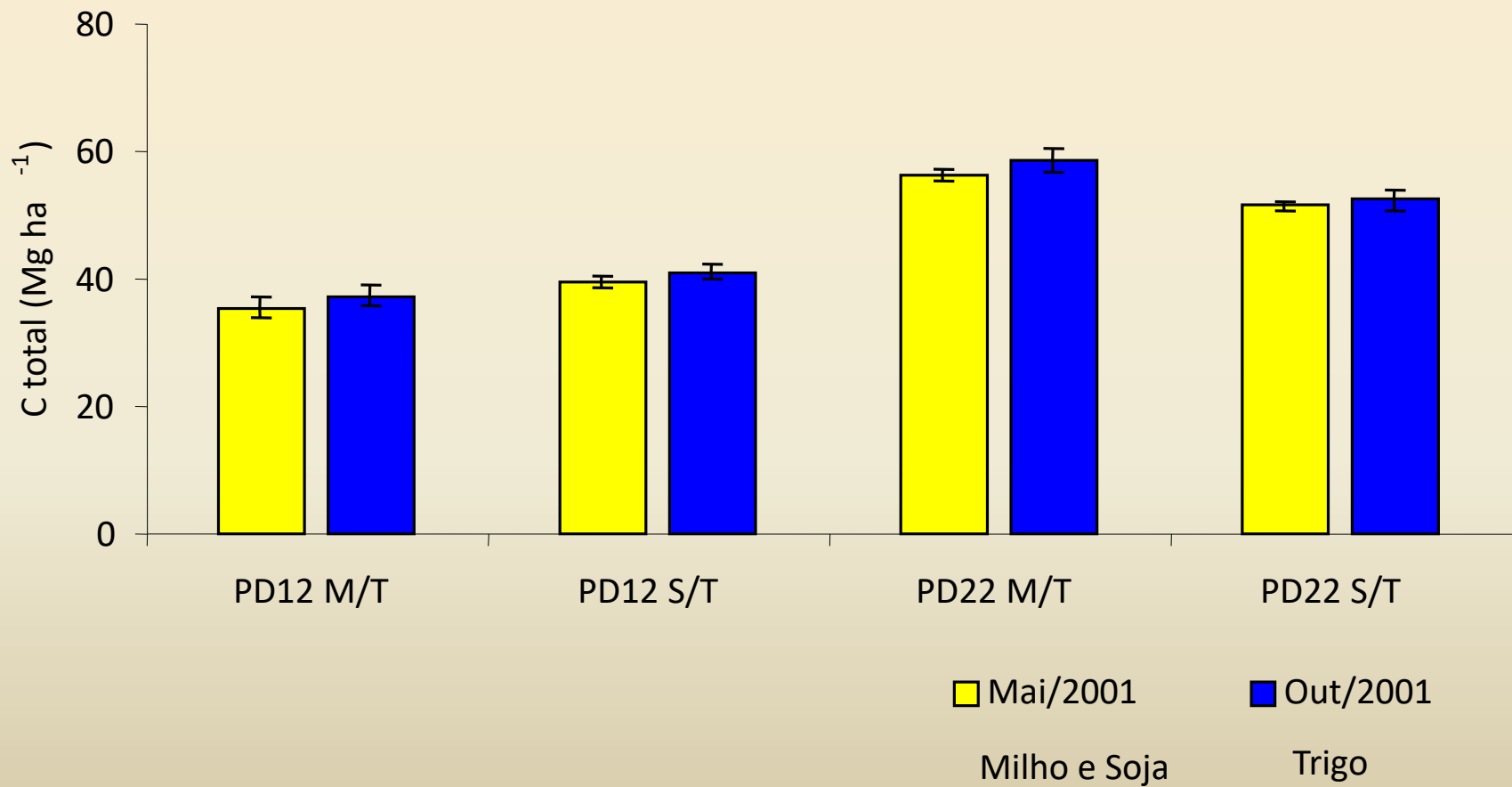
0 - 100
100 - 1000
1000 - 5000
5000 - 10000
10000 - 50000

50000 - 100000
100000 - 250000
250000 - 500000

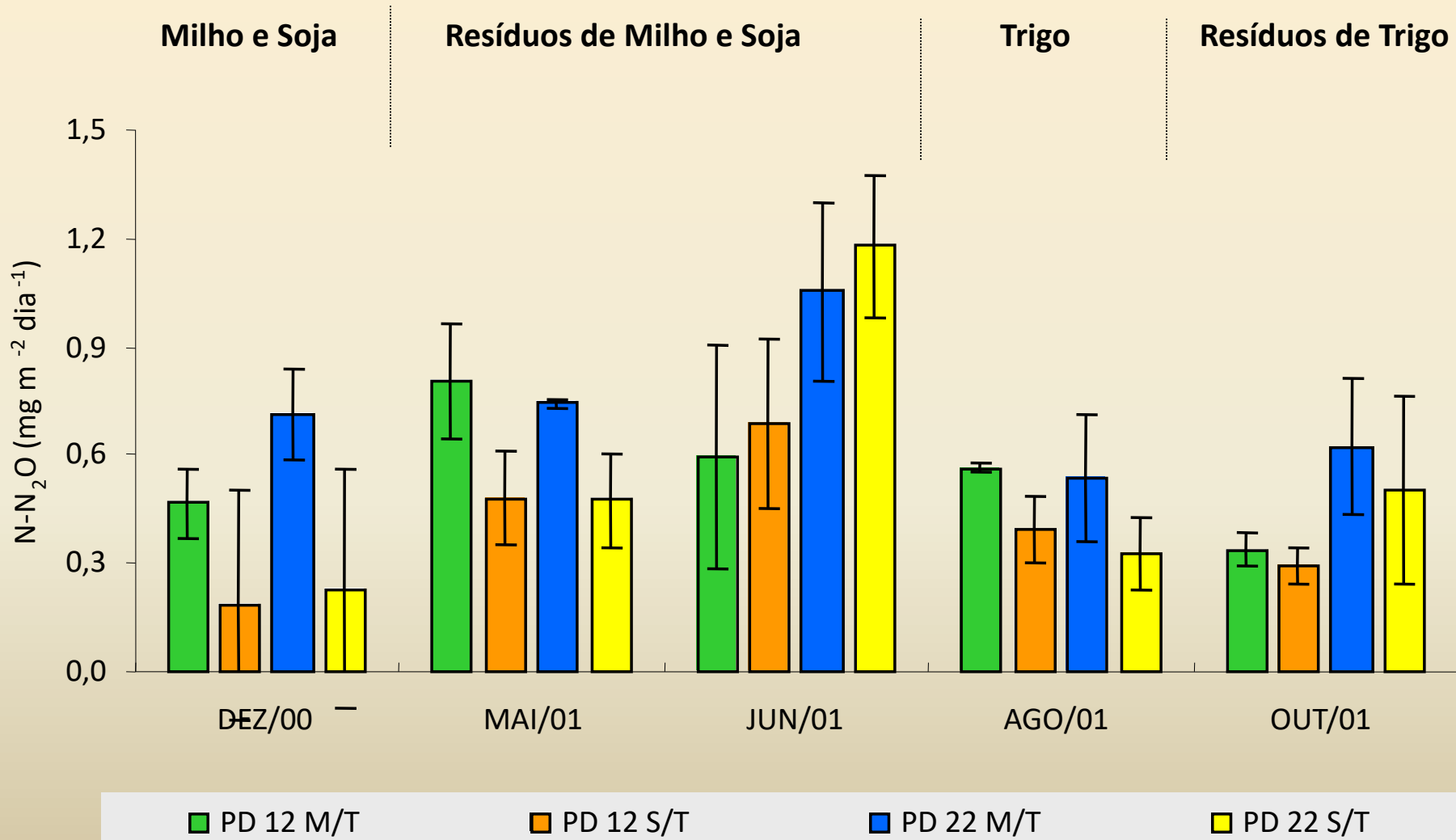
- V1 - Open Amazon forest
- V2 - Dense Amazon forest
- V3 - Atlantic forest
- V4 - Seasonal deciduous forest
- V5 - Seasonal semi-deciduous forest
- V6 - Mixed ombrophylous forest
- V7 - South savanna
- V8 - Amazon savanna
- V9 - Savanna (cerrado)
- V10 - South steppe
- V11 - Northeast steppe
- V12 - Western steppe
- V13 - Highland fields
- V14 - Pioneer formations
- V15 - Woody oligotrophic vegetation

Estoque de C do solo – Tibagi (PR)

0-20 cm profundidade



Fluxos de N₂O do solo – Tibagi (PR)



MATÉRIA ORGÂNICA DO SOLO: *Sistema Plantio Direto*



Locais estratégicos

Sinop

Vilhena

Balsas ?

Rio Verde
Montividiu

Goiania

Tibagi
Ponta Grossa

RS ?

Soja (ha plantado)

0 - 100
100 - 1000
1000 - 5000
5000 - 10000
10000 - 50000

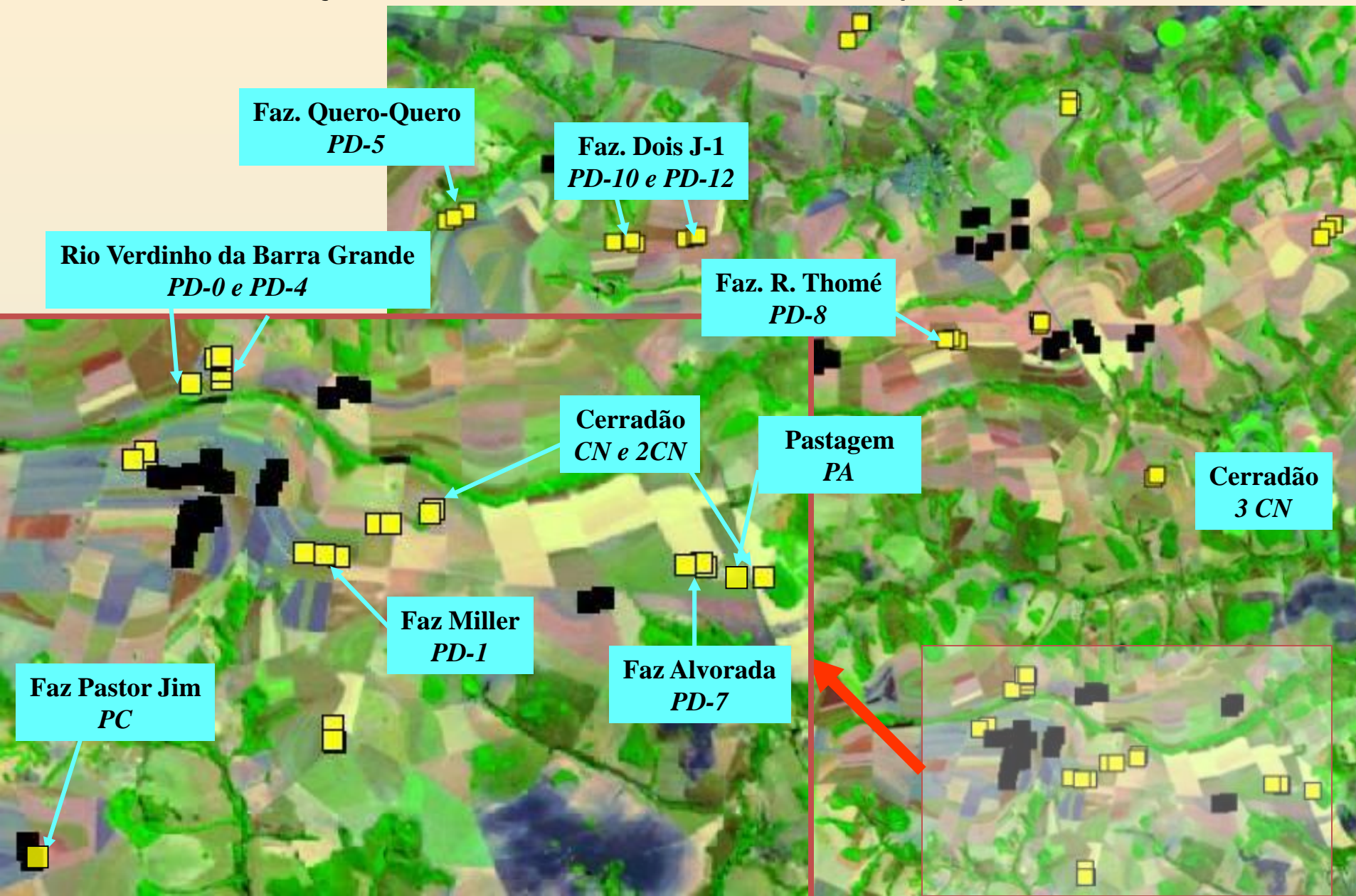
50000 - 100000
100000 - 250000
250000 - 500000

- V1 - Open Amazon forest
- V2 - Dense Amazon forest
- V3 - Atlantic forest
- V4 - Seasonal deciduous forest
- V5 - Seasonal semi-deciduous forest
- V6 - Mixed ombrophylous forest
- V7 - South savanna
- V8 - Amazon savanna
- V9 - Savanna (cerrado)
- V10 - South steppe
- V11 - Northeast steppe
- V12 - Western steppe
- V13 - Highland fields
- V14 - Pioneer formations
- V15 - Woody oligotrophic vegetation

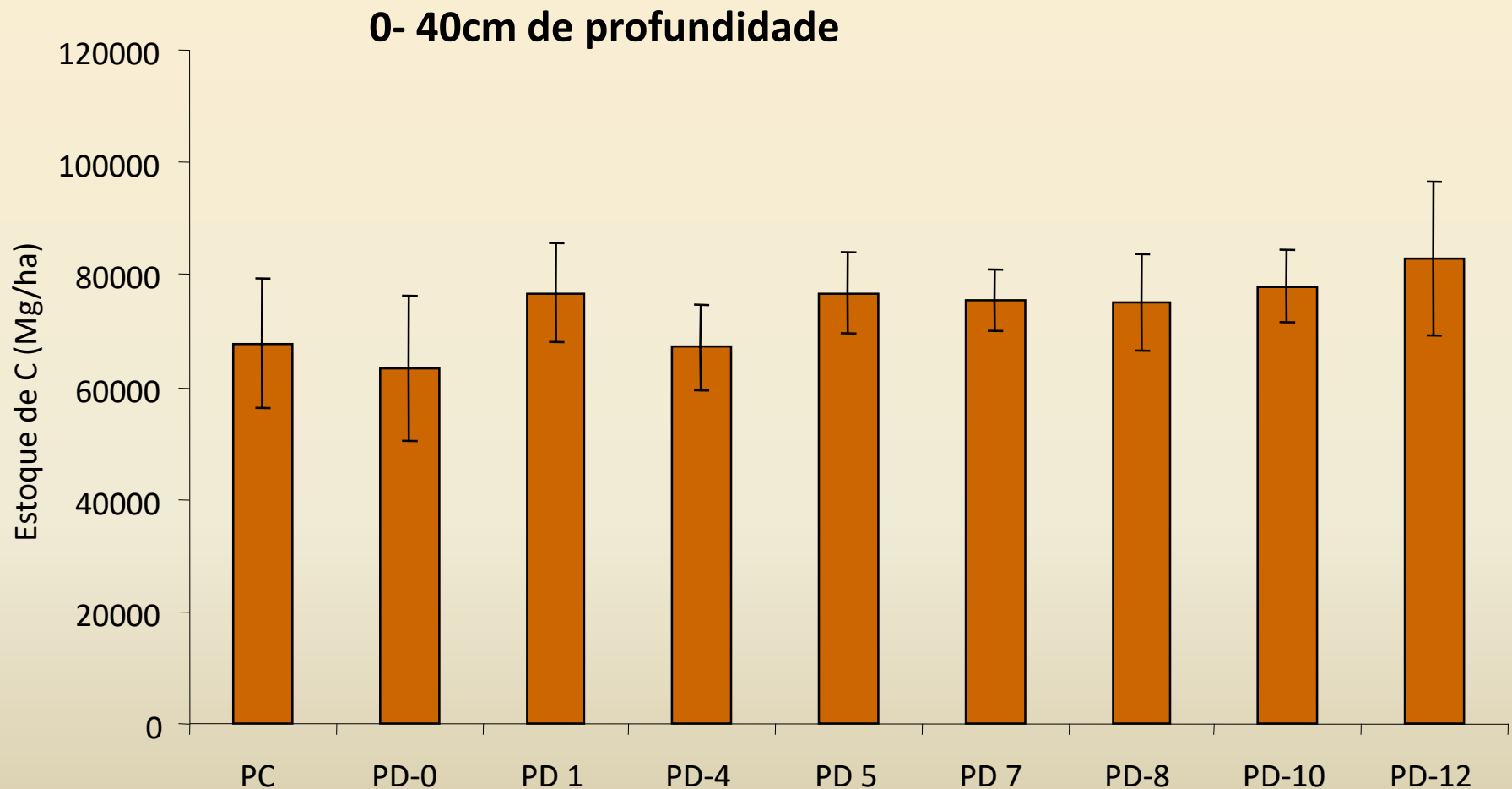
MATÉRIA ORGÂNICA DO SOLO: *Sistema Plantio Direto*



Localização das área amostradas - Rio Verde (GO)



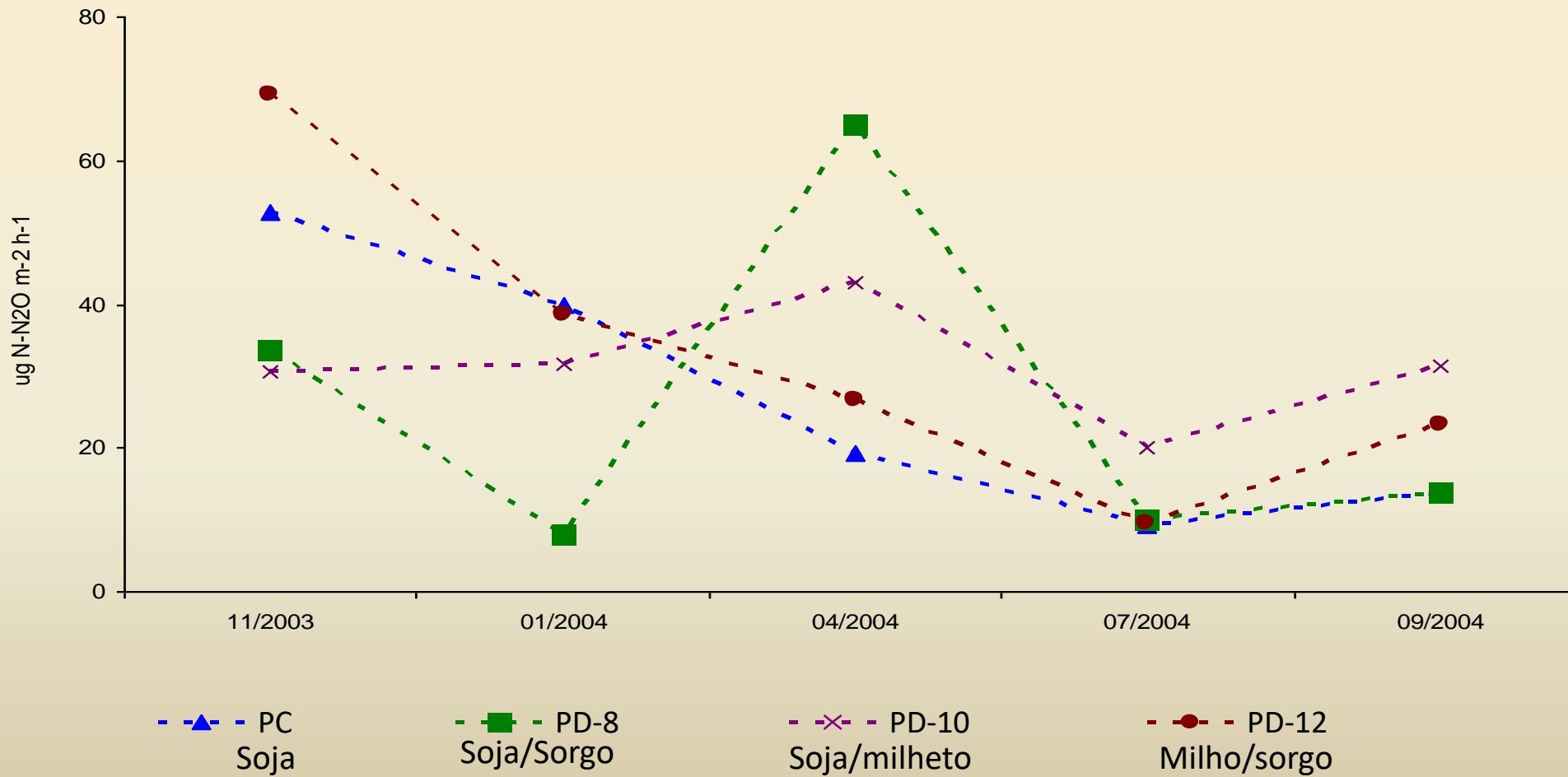
Estoque de C do solo - Rio Verde (GO)



PC = Plantio Convencional ; PD = Plantio Direto

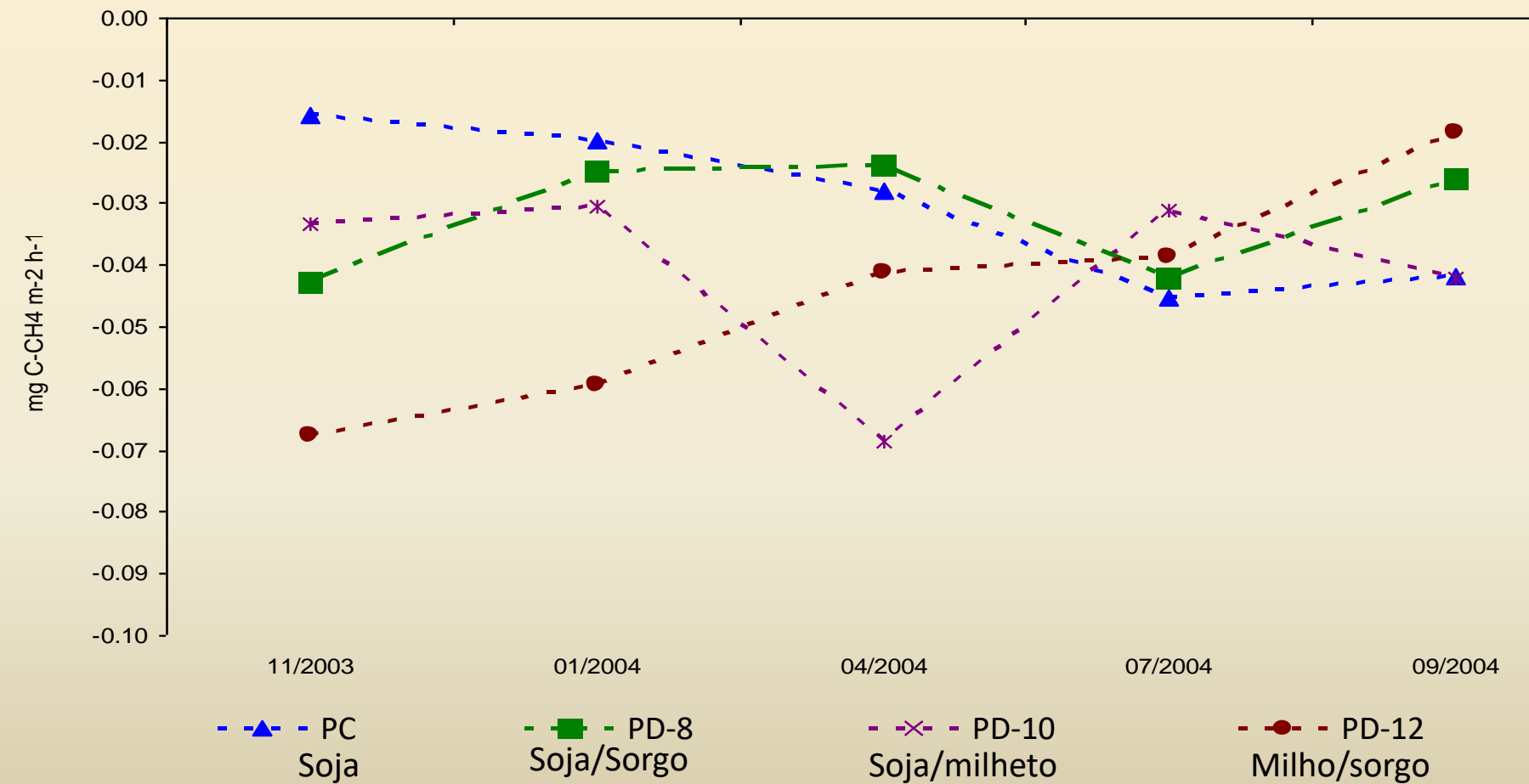
Fluxos de gases do efeito estufa - Rio Verde (GO)

Fluxo de N-NO₂



Fluxos de gases do efeito estufa - Rio Verde (GO)

Fluxo de C-CH₄



ESTOQUE DE CARBONO NO SOLO E FLUXOS DE GEE: exemplos na agricultura, pecuária e reflorestamento no Brasil

Introdução

Estoque de carbono nos solos do Brasil

Mudança do estoque de carbono do solo devido ao uso da terra

Geral do Brasil

Conversão de vegetações nativas em agricultura

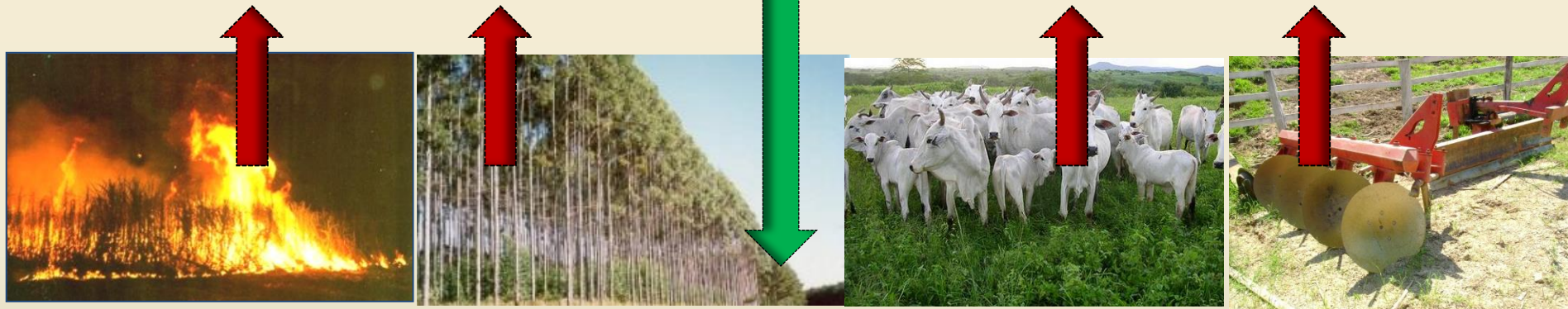
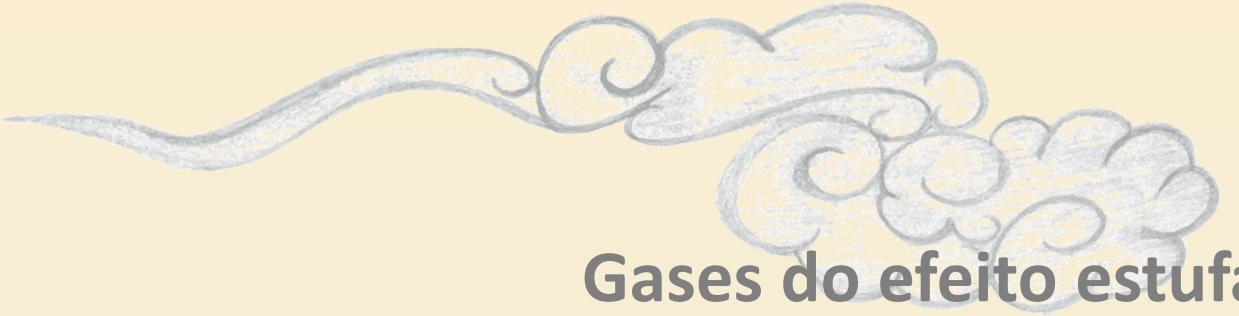
Conversão de pastagens plantadas em agricultura

Mudança do estoque de carbono do solo devido ao manejo agrícola

Considerações finais

Aquecimento Global

Mudanças
climáticas



Adoção de práticas conservacionistas





Manejo do solo



Manejo da água



Preservação da biodiversidade



Gases do efeito estufa:



Adoção de práticas conservacionistas

